



**АО «ВНИИНЕФТЕМАШ»**

**ОАО «Славнефть-ЯНОС»**

**Установка производства серы и регенерации сульфидсодержащих стоков**

**Котел-утилизатор  
поз. 20/30КУ-3N**

**Расчеты**

**20/30КУ-3N-2470.00.00.000 PP**

Инв. № подл.	Подп. и дата	Взам. инв.	Инв. №	Подп. и дата

Москва  
2018 г.

## РАСЧЕТ НА ПРОЧНОСТЬ ВЫПОЛНЕН В СООТВЕТСТВИИ С:

ГОСТ Р 52857.1-2007 «Сосуды и аппараты. Нормы и методы расчета на прочность. Общие требования».

ГОСТ Р 52857.2-2007 «Сосуды и аппараты. Нормы и методы расчета на прочность. Расчет цилиндрических и конических обечаек, выпуклых и плоских днищ и крышек».

ГОСТ Р 52857.3-2007 «Сосуды и аппараты. Нормы и методы расчета на прочность. Укрепление отверстий в обечайках и днищах при внутреннем и внешнем давлениях. Расчет на прочность обечаек и днищ при внешних статических нагрузках на штуцер».

ГОСТ Р 52857.4-2007 «Сосуды и аппараты. Нормы и методы расчета на прочность. Расчет на прочность и герметичность фланцевых соединений».


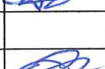


ГОСТ Р 52857.5-2007 «Сосуды и аппараты. Нормы и методы расчета на прочность. Расчет обечаек и днищ от воздействия опорных нагрузок».

ГОСТ 52857.7-2007 «Сосуды и аппараты. Нормы и методы расчета на прочность. Теплообменные аппараты».

ASME Boiler and Pressure Vessel Code. Расчет на прочность и плотность арматурных фланцев.

## РАСЧЕТ НА ПРОЧНОСТЬ ВЫПОЛНЕН С ПОМОЩЬЮ:

Пакета прикладных программ расчета на прочность элементов сосудов, аппаратов и трубопроводов PVP DESIGN (разработчик – ООО «ПВП ДИЗАЙН»).

Подп. и дата	Инд. №	Взам. инв.						
Подп. и дата	Инд. № подл.	Взам. инв.	Изм.	Лист	№ док.	Подпись	Дата	<b>ОАО «Славнефть-ЯНОС»</b>  <b>Установка производства серы и регенерации</b> <b>сульфидсодержащих стоков</b>  <b>20/30КУ-3N-2470.00.00.000 PP</b>  <b>Котел-утилизатор</b> <b>поз. 20/30КУ-3N</b> <b>Расчеты</b>
			3	Изм.	б / н	Редикульцев	06.18	
			2	Изм.	б / н	Редикульцев	06.18	
			1	Изм.	б / н	Редикульцев	05.18	
			Изм.	Лист	№ док.	Подпись	Дата	
			Разраб.		Редикульцев		04.18	
			Пров.		Дундуков		04.18	<b>АО «ВНИИНЕФТЕМАШ»</b>
			Н. контр.		Капацкая		04.18	
			Утв.		Дундуков		04.18	

## СОДЕРЖАНИЕ

<b>1. Расчет корпуса котла при внутреннем давлении</b>	<b>5</b>
1.1. Цилиндрическая обечайка корпуса DN1600	5
1.2. Неподвижная трубная решетка	7
1.3. Седловая опора (неподвижная)	15
1.4. Седловая опора (подвижная)	20
1.5. Штуцера Q1, Q2, Q3 DN85	25
1.6. Штуцера R1, R2, R3 DN50	28
1.7. Патрубки штуцеров R1, R2, R3 DN50	30
1.8. Отводы 1 R1, R2, R3 DN50	31
1.9. Патрубки 2 штуцеров R1, R2, R3 DN50	36
1.10. Отводы 2 R1, R2, R3 DN50	37
1.11. Штуцер H DN50	42
1.12. Патрубок штуцера H DN50	45
1.13. Фланец штуцера H DN50 PN63	46
1.14. Штуцер F DN25	52
1.15. Фланец штуцера F DN25 PN63	54
1.16. Штуцер G DN50	60
1.17. Фланец штуцера G DN50 PN63	63
1.18. Цилиндрическая обечайка выходной камеры	69
1.19. Штуцер P DN50	71
1.20. Фланец штуцера P DN50 PN63	73
1.21. Крышка штуцера P DN50 PN63	77
1.22. Штуцер T DN25	79
<b>2. Расчет корпуса котла при внешнем давлении</b>	<b>81</b>
2.1. Цилиндрическая обечайка корпуса DN1600	81
2.2. Неподвижная трубная решетка	83
2.3. Седловая опора (неподвижная)	91
2.4. Седловая опора (подвижная)	96
2.5. Штуцера Q1, Q2, Q3 DN85	101
2.6. Штуцера R1, R2, R3 DN50	104
2.7. Патрубки штуцеров R1, R2, R3 DN50	106
2.8. Отводы 1 R1, R2, R3 DN50	108
2.9. Патрубки 2 штуцеров R1, R2, R3 DN50	113
2.10. Отводы 2 R1, R2, R3 DN50	115
2.11. Штуцер H DN50	120
2.12. Патрубок штуцера H DN50	123
2.13. Штуцер F DN25	125
2.14. Штуцер G DN50	127
2.15. Цилиндрическая обечайка выходной камеры	130
2.16. Штуцер P DN50	132
2.17. Штуцер T DN25	134
<b>3. Расчет барабана котла при внутреннем давлении</b>	<b>136</b>
3.1. Эллиптическое днище барабана DN1000	136
3.2. Цилиндрическая обечайка барабана DN1000	137
3.3. Штуцера Q1, Q2, Q3 DN85	139
3.4. Штуцера R1, R2, R3 DN50	142
3.5. Патрубки штуцеров R1, R2, R3 DN50	144
3.6. Штуцера L1 и L3 DN50	145
3.7. Штуцера M1, M3, M5 DN50	147
3.8. Штуцера L2 и L4 DN50	149

Инв. № подл.	Подп. и дата	Взам. инв.	Инв. №	Подп. и дата	2.2. Неотъемлемый грузовой решетчатый	95
					2.3. Седловая опора (неподвижная)	91
					2.4. Седловая опора (подвижная)	96
					2.5. Штуцера Q1, Q2, Q3 DN85	101
					2.6. Штуцера R1, R2, R3 DN50	104
					2.7. Патрубки штуцеров R1, R2, R3 DN50	106
					2.8. Отводы 1 R1, R2, R3 DN50	108
					2.9. Патрубки 2 штуцеров R1, R2, R3 DN50	113
					2.10. Отводы 2 R1, R2, R3 DN50	115
					2.11. Штуцер Н DN50	120
					2.12. Патрубок штуцера Н DN50	123
					2.13. Штуцер F DN25	125
					2.14. Штуцер G DN50	127
					2.15. Цилиндрическая обечайка выходной камеры	130
					2.16. Штуцер Р DN50	132
					2.17. Штуцер Т DN25	134
					<b>3. Расчет барабана котла при внутреннем давлении</b>	136
					3.1. Эллиптическое днище барабана DN1000	136
					3.2. Цилиндрическая обечайка барабана DN1000	137
					3.3. Штуцера Q1, Q2, Q3 DN85	139
					3.4. Штуцера R1, R2, R3 DN50	142
					3.5. Патрубки штуцеров R1, R2, R3 DN50	144
					3.6. Штуцера L1 и L3 DN50	145
					3.7. Штуцера M1, M3, M5 DN50	147
					3.8. Штуцера L2 и L4 DN50	149

3	Изм.	б / н	Редикульцев	06.18	20/30КУ-3N-2470.00.00.000 PP	Лист
2	Изм.	б / н	Редикульцев	06.18		3
Изм.	Лист	№ док.	Подпись	Дата		



# 1. Расчет корпуса котла при внутреннем давлении

## 1.1. Цилиндрическая обечайка корпуса DN1600

Расчёт на прочность по ГОСТ Р 52857.2-2007

Расчёт выполнен с помощью пакета прикладных программ расчёта на прочность элементов сосудов, аппаратов и трубопроводов PVP Design (Свидетельство о государственной регистрации 2008614973)

Элемент: Гладкая цилиндрическая обечайка, работающая под действием внутреннего давления - изгибающего момента.

Режим: Рабочий.

### Исходные данные

Материал обечайки

20КА, Лист

Расчётная температура	T	300	°C
Расчётное давление в сосуде	P	4.51	МПа
Расчётный изгибающий момент	M	2.944e+07	Н·мм
Расчётное поперечное усилие	Q	5.181e+04	Н
Внутренний диаметр обечайки	D	1600	мм
Фактическая длина обечайки	Lact	3780	мм
Расчётная длина обечайки	L	4322	мм
Толщина стенки обечайки	S	36	мм
Прибавка на коррозию	c <sub>1</sub>	3	мм
Прибавка – минусовый допуск	c <sub>2</sub>	1.1	мм
Прибавка технологическая	c <sub>3</sub>	0	мм
Сумма прибавок к расчётной толщине стенки (см. п.12 ГОСТ Р 52857.1)	c	4.1	мм
Коэффициент прочности продольного сварного шва	φ <sub>p</sub>	1	
Допускаемое напряжение	[σ]	119	МПа
Модуль продольной упругости	E	1.71e+05	МПа

### Результаты расчёта

Минимально допустимая расчётная толщина стенки обечайки от действия давления

$$S_p = \frac{pD}{2[\sigma]\phi_p - p} = 30.9 \text{ мм}$$

Минимально допустимая расчётная толщина стенки обечайки от действия давления с учетом прибавки

$$S \geq S_p + C = 35 \text{ мм}$$

Допускаемое внутреннее давление

$$[p] = \frac{2[\sigma]\phi_p(S - C)}{D + (S - C)} = 4.652 \text{ МПа}$$

Допускаемое осевое сжимающее усилие из условия местной устойчивости в пределах упругости

$$[F]_{E1} = \frac{31 \cdot 10^{-5} E}{n_y} D^2 \left[ \frac{100(S - C)}{D} \right]^{2.5} = 3.174e+08 \text{ Н}$$

Подп. и дата	Инов. №	Взам. инв.	Подп. и дата	Инов. № подл.					
					3	Изм.	б / н	Редикульцев	06.18
					2	Изм.	б / н	Редикульцев	06.18
					Изм.	Лист	№ док.	Подпись	Дата
					20/30КУ-3N-2470.00.00.000 PP				
					Лист				
					5				





Инв. № подл.	Подп. и дата	Взам. инв.	Инв. №	Подп. и дата	Толщина трубой решетки в сечений канавки под перегородку	S <sub>п</sub>	40	мм			
					Толщина трубой решетки в зоне кольцевой канавки	S <sub>р1</sub>	40	мм			
					Прибавка к толщине трубой решетки для компенсации коррозии и эрозии	Cp1	6	мм			
					Прибавка к толщине трубой решетки для компенсации минусового допуска	Cp2	0	мм			
					Прибавка технологическая к толщине трубой решетки	Cp3	0	мм			
					Расчётная прибавка к толщине трубой решетки	C	6	мм			
					Диаметр отверстий под трубы в решетке	d <sub>о</sub>	50.5	мм			
					Шаг расположения отверстий под трубы в решетке	t <sub>р</sub>	65	мм			
					Глубина развальцовки труб	l <sub>в</sub>	29	мм			
					Высота сварного шва в месте приварки трубы к решетке	δ	3	мм			
					Диаметр окружности, вписанной в максимальную беструбную площадь	D <sub>е</sub>	200	мм			
					Эффективный коэффициент концентрации напряжений в месте приварки решетки	K <sub>σ</sub>	1.7				
					Максимальный пролет трубы между решеткой и перегородкой	l <sub>1r</sub>	900	мм			
					Максимальный пролет трубы между перегородками	l <sub>2r</sub>	895	мм			
					<b>Результаты расчёта</b>						
Внутренний радиус кожуха:											
$\alpha = \frac{D}{2} = 800 \text{ мм}$											
Инв. № подл.	Подп. и дата	Взам. инв.	Инв. №	Подп. и дата	3	Изм.	б / н	Редикульцев	06.18	20/30КУ-3N-2470.00.00.000 PP	Лист
					2	Изм.	б / н	Редикульцев	06.18		8
					Изм.	Лист	№ док.	Подпись	Дата		



Относительная характеристика беструбного края:

$$m_{\kappa} = \alpha / \alpha_1 = 1.29$$

Коэффициент влияния давления в межтрубном пространстве на трубную решетку:

$$\eta_M = 1 - \frac{id_T^2}{4\alpha_1^2} = 0.4521$$

Коэффициент влияния давления в трубном пространстве на трубную решетку:

$$\eta_T = 1 - \frac{i(d_T - 2S_T)^2}{4\alpha_1^2} = 0.5757$$

Коэффициент ослабления трубной решетки:

$$\varphi_p = 1 - \frac{d_o}{t_o} = 0.2231$$

Коэффициент жесткости перфорированной плиты:

$$\psi_o = 0.2757$$

Модуль упругости основания (системы труб):

$$K_y = \frac{E_T(\eta_T - \eta_M)}{l} = 11.66 \text{ Н/мм}^3$$

Приведенное отношение жесткости труб к жесткости кожуха:

$$\rho = \frac{K_y \alpha_1 l}{E_{\kappa} S_{\kappa}} = 2.117$$

Коэффициенты изменения жесткости системы трубы-кожух:

$$K_q = 1$$

$$K_p = 1$$

Приведенное давление:

$$P_o = [\alpha_k(t_k - t_o) - \alpha_T(t_T - t_o)]K_y l + \\ + [\eta_T - 1 + m_{\varphi} + m_{\kappa}(m_{\kappa} + 0.5\rho K_q)]P_T - \\ + [\eta_M - 1 + m_{\varphi} + m_{\kappa}(m_{\kappa} + 0.3\rho K_p)]P_M = 10.01$$

где:

$$m_{\varphi} = 0.15 \frac{i(d_T - S_T)^2}{\alpha_1^2} = 0.2905$$

Коэффициент системы решетка - трубы:

$$\beta = \frac{1.82}{S_p} \sqrt[4]{\frac{K_y S_p}{\psi_o E_p}} = 0.0146 \text{ 1/мм}$$

Коэффициент системы кожух-решетка камеры:

$$\beta_1 = \frac{1.3}{\sqrt{a S_1}} = 0.00766 \text{ 1/мм}$$

Коэффициент системы обечайка-фланец камеры:

$$\beta_2 = \frac{1.3}{\sqrt{a S_2}} = 0.00766 \text{ 1/мм}$$

Жесткость фланцевого соединения при изгибе:

$$K_{\Phi} = K_{\Phi 1} + K_{\Phi 2} = 2.55e+07 \text{ Н·мм/мм}$$

Инв. № подл.	Подп. и дата	Инв. №	Взам. инв.	Подп. и дата	Инв. № подл.
3	Изм.	б / н	Редикульцев	06.18	<div>20/30КУ-3N-2470.00.00.000 PP</div> <div>Лист</div> <div>9</div>
2	Изм.	б / н	Редикульцев	06.18	
Изм.	Лист	№ док.	Подпись	Дата	

где:

$$K_{\#1} = \frac{E_1 h_1^3 b_1}{12 R_1^2} + K_1 \left(1 + \frac{\beta_1 h_1}{2}\right) = 1.294\text{e}+07 \text{ Н} \cdot \text{мм}/\text{мм}$$

$$K_{\#2} = \frac{E_2 h_2^3 b_2}{12 R_2^2} + K_2 \left(1 + \frac{\beta_2 h_2}{2}\right) = 1.256\text{e}+07 \text{ Н} \cdot \text{мм}/\text{мм}$$

$$K_1 = \frac{\beta_1 a E_K S_1^3}{5.5 R_1} = 1.118\text{e}+07 \text{ Н} \cdot \text{мм}/\text{мм}$$

$$K_2 = \frac{\beta_2 a E_D S_2^3}{5.5 R_2} = 1.089\text{e}+07 \text{ Н} \cdot \text{мм}/\text{мм}$$

Коэффициент влияния давления на изгиб фланцев:

$$m_1 = \frac{1 + \beta_1 h_1}{2 \beta_1^2} = 1.113\text{e}+04 \text{ мм}^2$$

Коэффициент влияния давления на изгиб фланцев:

$$m_2 = \frac{1 + \beta_2 h_2}{2 \beta_2^2} = 1.113\text{e}+04 \text{ мм}^2$$

Приведенное отношение жесткости труб к жесткости фланцевого соединения:

$$\rho_1 = \frac{K_y a a_1}{\beta^2 K_{\#} R_1} = 1.303$$

Приведенный безразмерный радиус трубного пучка:

$$\omega = \beta a_1 = 9.053$$

Коэффициенты, учитывающие влияние беструбного края решетки и поддерживающее влияние труб:

$$\begin{aligned} \Phi_1 &= 13.44 \\ \Phi_2 &= 9.254 \\ \Phi_3 &= 13.16 \end{aligned}$$

Коэффициент  $T_1$ :

$$T_1 = \Phi_1 [m_{\#} + 0.5(1 + m_{\#} t)(t - 1)] = 191.3$$

Коэффициент  $T_2$ :

$$T_2 = \Phi_2 t = 43.3$$

Коэффициент  $T_3$ :

$$T_3 = \Phi_3 m_{\#} = 16.97$$

где:

$$t = 1 + 1.4 \omega (m_{\#} - 1) = 4.68$$

Изгибающий момент, распределенный по краю трубной решетки:

$$M = \left(\frac{a_1}{\beta}\right) \frac{P_1 (T_1 + \rho K_q) - P_o T_2}{(T_1 + \rho K_q)(T_3 + \rho_1) - T_2^2} = -1.834\text{e}+04 \text{ Н} \cdot \text{мм}/\text{мм}$$

Перерезывающая сила, распределенная по краю трубной решетки:

$$Q = a_1 \frac{P_o (T_3 + \rho_1) - P_1 T_2}{(T_1 + \rho K_q)(T_3 + \rho_1) - T_2^2} = 92.02 \text{ Н}/\text{мм}$$

где:

Инв. № подл.	Подп. и дата	Взам. инв.	Инв. №	Подп. и дата	$\Phi_1 =$	13.44					
					$\Phi_2 =$	9.254					
					$\Phi_3 =$	13.16					
					Коэффициент $T_1$ :						
					$T_1 = \Phi_1[m_n + 0.5(1 + m_n t)(t - 1)] =$	191.3					
Инв. № подл.	Подп. и дата	Взам. инв.	Инв. №	Подп. и дата	Коэффициент $T_2$ :						
					$T_2 = \Phi_2 t =$	43.3					
					Коэффициент $T_3$ :						
					$T_3 = \Phi_3 m_n =$	16.97					
					где:						
Инв. № подл.	Подп. и дата	Взам. инв.	Инв. №	Подп. и дата	$t = 1 + 1.4\omega(m_n - 1) =$	4.68					
					Изгибающий момент, распределенный по краю трубной решетки:						
					$M = (\frac{a_1}{\beta}) \frac{P_1(T_1 + \rho K_q) - P_o T_2}{(T_1 + \rho K_q)(T_3 + \rho_1) - T_2^2} =$	-1.834e+04 Н·мм/мм					
					Перерезывающая сила, распределенная по краю трубной решетки:						
					$Q = a_1 \frac{P_o(T_3 + \rho_1) - P_1 T_2}{(T_1 + \rho K_q)(T_3 + \rho_1) - T_2^2} =$	92.02 Н/мм					
Инв. № подл.	Подп. и дата	Взам. инв.	Инв. №	Подп. и дата	где:						
Инв. № подл.	Подп. и дата	Взам. инв.	Инв. №	Подп. и дата	20/30КУ-3N-2470.00.00.000 PP	3	Изм.	б / н	Редикульцев	06.18	Лист
						2	Изм.	б / н	Редикульцев	06.18	10
						Изм.	Лист	№ док.	Подпись	Дата	

$$P_1 = \frac{K_y}{\beta K_\Phi} (m_1 P_M - m_2 P_T) = -1.467 \text{ МПа}$$

Изгибающий момент, распределенный по периметру перфорированной зоны решетки:

$$M_a = M + (a - a_1) Q = -1776 \text{ Н} \cdot \text{мм/мм}$$

Перерезывающая сила, распределенная по периметру перфорированной зоны решетки:

$$Q_a = m_n Q = 118.7 \text{ Н/мм}$$

Осевая сила, действующая на трубу:

$$N_T = \frac{\pi a_1}{i} [(\eta_M P_M - \eta_T P_T) a_1 + \Phi_1 Q_a + \Phi_2 \beta M_a] = -984.1 \text{ Н}$$

Изгибающий момент, действующий на трубу:

$$M_T = \frac{E_T J_T \beta}{K_y a_1 l_{np}} (\Phi_2 Q_a + \Phi_3 \beta M_a) = 1.093 \text{e}+05 \text{ Н} \cdot \text{мм}$$

где:

$$l_{np} = 300 \text{ мм}$$

Осевая сила, распределенная по периметру кожуха:

$$Q_K = \frac{a}{2} P_T - Q = 1712 \text{ Н/мм}$$

Изгибающий момент, распределенный по периметру кожуха:

$$M_K = \frac{K_1}{\rho_1 K_\Phi \beta} (T_2 Q_n + T_3 \beta M) - \frac{P_M}{2 \beta_1^2} = -1.547 \text{e}+04 \text{ Н} \cdot \text{мм/мм}$$

Осевая сила, действующая на кожух:

$$F = \pi D Q_K = 8.605 \text{e}+06 \text{ Н}$$

Расчётное изгибное напряжение в трубной решетке в месте соединения с кожухом:

$$\sigma_{P1} = \frac{6|M|}{(S_{1P} - C)^2} = 95.19 \text{ МПа}$$

Расчётное касательное напряжение в трубной решетке в месте соединения с кожухом:

$$\tau_{P1} = \frac{|Q|}{(S_{1P} - C)} = 2.707 \text{ МПа}$$

Максимальный расчётный изгибающий момент в перфорированной части трубной решетки:

$$M_{\max} = \left\{ \begin{array}{l} A \frac{|Q_a|}{\beta} \text{ при } -1.0 \leq \frac{\beta M_a}{Q_a} \leq 1.0 \\ B |M_a| \text{ при } \frac{\beta M_a}{Q_a} < -1.0 \text{ и } \frac{\beta M_a}{Q_a} > 1.0 \end{array} \right\} = 2457$$

где:

$$A \left( \omega, \frac{\beta M_a}{Q_a} \right) = 0.3021$$

Расчётное изгибное напряжение в перфорированной части трубной решетки:

Инв. № подл.	Подп. и дата		Инв. №		Взам. инв.		Подп. и дата																	
<p>Расчётное изгибное напряжение в трубной решетке в месте соединения с кожухом:</p> $\sigma_{P1} = \frac{6 M }{(S_{1P} - C)^2} = 95.19 \text{ МПа}$ <p>Расчётное касательное напряжение в трубной решетке в месте соединения с кожухом:</p> $\tau_{P1} = \frac{ Q }{(S_{1P} - C)} = 2.707 \text{ МПа}$ <p>Максимальный расчётный изгибающий момент в перфорированной части трубной решетки:</p> $M_{\max} = \left\{ \begin{array}{l} A \frac{ Q_a }{\beta} \text{ при } -1.0 \leq \frac{\beta M_a}{Q_a} \leq 1.0 \\ B  M_a  \text{ при } \frac{\beta M_a}{Q_a} < -1.0 \text{ и } \frac{\beta M_a}{Q_a} > 1.0 \end{array} \right\} = 2457$ <p>где:</p> $A \left( \varphi, \frac{\beta M_a}{Q_a} \right) = 0.3021$ <p>Расчётное изгибное напряжение в перфорированной части трубной решетки:</p>																								
<table><tr><td>3</td><td>Изм.</td><td>б / н</td><td>Редикульцев</td><td>06.18</td></tr><tr><td>2</td><td>Изм.</td><td>б / н</td><td>Редикульцев</td><td>06.18</td></tr><tr><td>Изм.</td><td>Лист</td><td>№ док.</td><td>Подпись</td><td>Дата</td></tr></table>					3	Изм.	б / н	Редикульцев	06.18	2	Изм.	б / н	Редикульцев	06.18	Изм.	Лист	№ док.	Подпись	Дата	<div>20/30КУ-3N-2470.00.00.000 PP</div>				Лист
3	Изм.	б / н	Редикульцев	06.18																				
2	Изм.	б / н	Редикульцев	06.18																				
Изм.	Лист	№ док.	Подпись	Дата																				
					11																			

$$\sigma_{P2} = \frac{6M_{\max}}{\varphi_p(S_p - C)^2} = 57.16 \text{ МПа}$$

Расчётное касательное напряжение в перфорированной части трубной решетки:

$$\tau_{P2} = \frac{|Q_a|}{\varphi_p(S_p - C)} = 15.66 \text{ МПа}$$

Мембранные напряжения в меридиональном направлении в кожухе в месте присоединения к решетке:

$$\sigma_{MK} = \frac{|Q_K|}{(S_1 - C_K)} = 53.5 \text{ МПа}$$

Изгибные напряжения в меридиональном направлении в кожухе в месте присоединения к решетке:

$$\sigma_{UX} = \frac{6|M_K|}{(S_1 - C_K)^2} = 90.66 \text{ МПа}$$

Мембранные напряжения в окружном направлении в кожухе в месте присоединения к решетке:

$$\sigma_{M\phi} = \frac{|P_M|a}{(S_1 - C_K)} = 7.5 \text{ МПа}$$

Изгибные напряжения в окружном направлении в кожухе в месте присоединения к решетке:

$$\sigma_{U\phi} = 0.3\sigma_{UX} = 27.2 \text{ МПа}$$

Расчётные мембранные напряжения в трубах в осевом направлении:

$$\sigma_{1T} = \frac{|N_T|}{\pi(d_T - S_T)S_T} = 2.223 \text{ МПа}$$

Расчётные суммарные напряжения в трубах в осевом направлении:

$$\sigma_1 = \sigma_{1T} + \frac{d_T|M_T|}{2J_T} = 24.48 \text{ МПа}$$

Расчётные напряжения в трубах в окружном направлении:

$$\sigma_{2T} = \frac{(d_T - S_T) \max\{|P_T|; |P_M|; |P_T - P_M|\}}{2S_T} = 35.33 \text{ МПа}$$

*Условия статической прочности решетки:*

Максимальное касательное напряжение в решетке:

$$\max\{\tau_{P1}; \tau_{P2}\} = 15.66 \text{ МПа}$$

Допускаемое касательное напряжение в решетке:

$$0.8[\sigma]_p = 78.4 \text{ МПа}$$

Необходимая толщина решетки из условия прочности беструбной зоны:

$$S_p \geq 0.5D_E \sqrt{\frac{P_R}{[\sigma]_p}} + C = 27.45 \text{ мм}$$

*Условия малоциклового прочности решетки:*

Расчётная амплитуда напряжений в решетке в месте соединения с кожухом:

$$\sigma_a = K_\sigma \frac{\sigma_{P1}}{2} = 80.91 \text{ МПа}$$

Расчётная амплитуда напряжений в перфорированной зоне решетки:

Инв. № подл.	Подп. и дата		Инв. №		Взам. инв.		Подп. и дата																
<p>Расчётные суммарные напряжения в трубах в осевом направлении:</p> $\sigma_1 = \sigma_{\Gamma} + \frac{d_{\Gamma}  M_{\Gamma} }{2J_{\Gamma}} = 24.48 \text{ МПа}$ <p>Расчётные напряжения в трубах в окружном направлении:</p> $\sigma_{2\Gamma} = \frac{(d_{\Gamma} - S_{\Gamma}) \max\{ P_{\Gamma} ,  P_M ,  P_{\Gamma} - P_M \}}{2S_{\Gamma}} = 35.33 \text{ МПа}$ <p>Условия статической прочности решетки:</p> <p>Максимальное касательное напряжение в решетке:</p> $\max\{\tau_{p1}; \tau_{p2}\} = 15.66 \text{ МПа}$ <p>Допускаемое касательное напряжение в решетке:</p> $0.8[\sigma]_p = 78.4 \text{ МПа}$ <p>Необходимая толщина решетки из условия прочности беструбной зоны:</p> $S_p \geq 0.5 D_{\text{в}} \sqrt{\frac{P_R}{[\sigma]_p}} + C = 27.45 \text{ мм}$ <p>Условия малоцикловой прочности решетки:</p> <p>Расчётная амплитуда напряжений в решетке в месте соединения с кожухом:</p> $\sigma_a = K_{\sigma} \frac{\sigma_{p1}}{2} = 80.91 \text{ МПа}$ <p>Расчётная амплитуда напряжений в перфорированной зоне решетки:</p>																							
<table><tr><td>3</td><td>Изм.</td><td>б / н</td><td>Редикульцев</td><td>06.18</td></tr><tr><td>2</td><td>Изм.</td><td>б / н</td><td>Редикульцев</td><td>06.18</td></tr><tr><td>Изм.</td><td>Лист</td><td>№ док.</td><td>Подпись</td><td>Дата</td></tr></table>					3	Изм.	б / н	Редикульцев	06.18	2	Изм.	б / н	Редикульцев	06.18	Изм.	Лист	№ док.	Подпись	Дата	20/30КУ-3N-2470.00.00.000 PP			Лист
3	Изм.	б / н	Редикульцев	06.18																			
2	Изм.	б / н	Редикульцев	06.18																			
Изм.	Лист	№ док.	Подпись	Дата																			
					12																		

$$\sigma_a = \frac{\sigma_{p2}}{2} = 28.58 \text{ МПа}$$

Допускаемая амплитуда напряжений для материала решетки:

$$[\sigma_a]_p = 437 \text{ МПа}$$

Условие статической прочности кожуха:

Мембранное напряжение в кожухе в месте приварки к решетке:

$$\sigma_{MX} = 53.5 \text{ МПа}$$

Допускаемое местное мембранное напряжение в кожухе:

$$1.3[\sigma]_K = 154.7 \text{ МПа}$$

Условие малоциклового прочности кожуха:

Расчётная амплитуда напряжений в кожухе в месте приварки к решетке:

$$\sigma_a = K_\sigma \max \left\{ \left| \sigma_{MX} + \sigma_{UX} \right|, \left| \sigma_{M\varphi} + \sigma_{U\varphi} \right|, \left| (\sigma_{MX} + \sigma_{UX}) - (\sigma_{M\varphi} + \sigma_{U\varphi}) \right| \right\} = 122.5 \text{ МПа}$$

Допускаемая амплитуда напряжений для материала кожуха:

$$[\sigma_a]_K = 460.5 \text{ МПа}$$

Условие устойчивости кожуха (по ГОСТ Р 52857.2):

Условие статической прочности труб:

Максимальное мембранное напряжение в трубах:

$$\max\{\sigma_{1T}; \sigma_{2T}\} = 35.33 \text{ МПа}$$

Допускаемое напряжение для материала труб:

$$[\sigma]_T = 119 \text{ МПа}$$

Расчётная амплитуда напряжений в трубах:

$$\sigma_a = \frac{\sigma_1}{2} = 12.24 \text{ МПа}$$

Допускаемая амплитуда напряжений для материала труб:

$$[\sigma_a]_T = 460.5 \text{ МПа}$$

Проверка устойчивости и жесткости труб:

Расчётное сжимающее напряжение в трубах:

$$\sigma_{1T} = 2.223 \text{ МПа}$$

Допускаемое сжимающее напряжение в трубах:

$$\varphi_T [\sigma]_T = 109.8 \text{ МПа}$$

где:

Коэффициент уменьшения допускаемого напряжения при продольном изгибе:

$$\varphi_T(\lambda) = 0.9227$$

$$\lambda = 1.3 \sqrt{\frac{[\sigma]_T}{E_T} \frac{l_R}{(d_T - S_T)}} = 0.6465$$

$$l_R = 895 \text{ мм}$$

Прогиб трубы:

$$Y = A_Y \frac{|M_T|}{|N_T|} = 0.23 \text{ мм}$$

где:

$$A_Y(\lambda_Y) = 0.00207$$

Инв. № подл.	Подп. и дата	Инв. №	Взам. инв.	Подп. и дата					
3	Изм.	б / н	Редикульцев	06.18	20/30КУ-3N-2470.00.00.000 PP				
2	Изм.	б / н	Редикульцев	06.18					
Изм.	Лист	№ док.	Подпись	Дата					
									Лист
									13

$$\lambda_y = \frac{|N_T| \cdot l_{np}^2}{E_T J_T} = 0.004133$$

Проверка прочности крепления труб в решетке:

Расчётная нагрузка на соединение трубы с решеткой:

$$|N_T| = -984.1 \text{ Н}$$

Допускаемая нагрузка на соединение трубы с решеткой с помощью развальцовки:

$$[N]_{TP} = 2.605 \times 10^4 \text{ Н}$$

Напряжение сдвига в сварном шве приварки трубы к решетке:

$$\tau = \frac{|N_T| \cdot d_T + 4|M_T|}{\pi d_r^2 \delta} = 20.66 \text{ МПа}$$

Допускаемое напряжение сдвига в сварном шве приварки трубы к решетке в случае крепления труб к решетке способом приварки или приварки с подвальцовкой:

$$[\tau] = \varphi_c \min\{[\sigma]_T; [\sigma]_P\} = 28.4 \text{ МПа}$$

где:

$$\varphi_c = \min\{0.5; (0.95 - 0.21 \lg N)\} = 0.2898$$

Условие прочности крепления труб к решетке способом развальцовки с обваркой:

$$\max\left\{\frac{\varphi_c \min\{[\sigma]_T; [\sigma]_P\}}{\tau} + 0.6 \frac{[N]_{TP}}{|N_T|}; \frac{[N]_{TP}}{|N_T|}\right\} = 26.47 > 1$$

Условия прочности и устойчивости элементов теплообменного аппарата выполняются.

Инв. № подл.	Подп. и дата	Взам. инв.	Инв. №	Подп. и дата
3	Изм.	б / н	Редикульцев	06.18
2	Изм.	б / н	Редикульцев	06.18
Изм.	Лист	№ док.	Подпись	Дата
20/30КУ-3N-2470.00.00.000 PP				

### 1.3. Седловая опора (неподвижная)

Расчёт на прочность по ГОСТ Р 52857.5-2007.

Расчёт выполнен с помощью пакета прикладных программ расчёта на прочность элементов сосудов, аппаратов и трубопроводов PVP Design (Свидетельство о государственной регистрации 2008614973)

Элемент: Цилиндрическая обечайка на седловых опорах, работающая под действием внутреннего давления.

С подкладным листом.

Седловая опора со сплошным сечением.

Режим: Рабочий.

Цилиндрическая обечайка, не подкреплённая элементами жесткости.

#### *Исходные данные*

Материал обечайки

20КА, Лист

Расчётная температура	T	300	°C
Расчётное давление	P	4.51	МПа
Опорное усилие, действующее на опору	F	8.18e+04	H
Максимальный момент над опорой	M	1.929e+07	H*мм
Расчётное поперечное усилие	Q	4.215e+04	H
Внутренний диаметр обечайки	D	1600	мм
Исполнительная толщина стенки обечайки	s	36	мм
Прибавка для компенсации коррозии и эрозии	c1	3	мм
Прибавка для компенсации минусового допуска	c2	1.1	мм
Прибавка технологическая	c3	0	мм
Сумма прибавок к толщине стенки обечайки	c	4.1	мм
Расстояние от края родительского элемента до седловой опоры	L <sub>p</sub>	782	мм
Длина цилиндрической выступающей части, включая отбортовку	a	782	мм
Коэффициент прочности сварных швов, расположенных в области опорного узла	φ	1	
Угол охвата седловой опоры, градусов	δ <sub>1</sub>	120	
Ширина седловой опоры	b	300	мм
Угол охвата подкладного листа, градусов	d <sub>2</sub>	140	
Ширина подкладного листа	b <sub>2</sub>	400	мм
Толщина подкладного листа	s <sub>2</sub>	36	мм
Допускаемое напряжение для материала обечайки	[σ]	119	МПа
Допускаемое осевое усилие из условий устойчивости по ГОСТ Р 52857.2-2007	[F]	2.011e+07	H
Допускаемый изгибающий момент из условий устойчивости по ГОСТ Р 52857.2-2007	[M]	8.048e+09	H·мм
Допускаемая перерезывающая сила по ГОСТ Р 52857.2-2007	[Q]	4.882e+06	H

#### *Результаты расчёта*

Проверка несущей способности обечайки в области опорного узла, при рассмотрении подкладного листа как седловой опоры шириной b<sub>2</sub> с углом охвата d<sub>2</sub>

Подп. и дата	Инв. №	Взам. инв.	Подп. и дата	Инв. № подл.	Привалка технологической					с	4.1	мм
					Сумма прибавок к толщине стенки обечайки					L_p	782	мм
					Расстояние от края родительского элемента до седловой опоры					a	782	мм
					Длина цилиндрической выступающей части, включая отбортовку					φ	1	
					Коэффициент прочности сварных швов, расположенных в области опорного узла					δ <sub>1</sub>	120	
					Угол охвата седловой опоры, градусов					b	300	мм
					Ширина седловой опоры					d <sub>2</sub>	140	
					Угол охвата подкладного листа, градусов					b <sub>2</sub>	400	мм
					Ширина подкладного листа					s <sub>2</sub>	36	мм
					Толщина подкладного листа					[σ]	119	МПа
Подп. и дата	Инв. № подл.	Допускаемое напряжение для материала обечайки					[F]	2.011e+07	H			
		Допускаемое осевое усилие из условий устойчивости по ГОСТ Р 52857.2-2007					[M]	8.048e+09	H·мм			
		Допускаемый изгибающий момент из условий устойчивости по ГОСТ Р 52857.2-2007					[Q]	4.882e+06	H			
Допускаемая перерезывающая сила по ГОСТ Р 52857.2-2007												
<b>Результаты расчёта</b>												
Проверка несущей способности обечайки в области опорного узла, при рассмотрении подкладного листа как седловой опоры шириной b2 с углом охвата d2												
3	Изм.	б / н	Редикульцев	06.18	20/30КУ-3N-2470.00.00.000 PP						Лист	
2	Изм.	б / н	Редикульцев	06.18							15	
Изм.	Лист	№ док.	Подпись	Дата								

$$\beta_1 = 0,91 \frac{b}{\sqrt{D(s-c)}} = 0.9841$$

$$\sigma_{\max} = \frac{4M_i}{\pi D^2(s-c)} = 0.1995 \text{ МПа}$$

$$K_{10} = 0.3163$$

$$K_{12} = 0.9816$$

$$K_{15} = 0.7283$$

$K_2 = 1.25$

Определение допускаемого опорного усилия от нагружения в осевом направлении:

$$\mathcal{G}_1 = -\frac{0.23 \cdot K_{13} \cdot K_{15}}{K_{12} \cdot K_{10}} = -0.1869$$

$$g_{21} = \frac{-\bar{\sigma}_{mx}}{K_2[\sigma]} = -0.001341$$

$$g_{2,2} = \left( \frac{pD}{4(s-c)} - \bar{\sigma}_{\text{mx}} \right) \frac{1}{K_2[\sigma]} = 0.2508$$

$$K_1(\mathfrak{g}_1; \mathfrak{g}_{2,1}) = \quad 1.397$$

$$K_1(\mathcal{G}_1; \mathcal{G}_{2,2}) = 1.499$$

$$[\sigma]_i = K_1 K_2 [\sigma] = 207.8 \text{ МПа}$$

$$[F]_2 = \frac{0.7[\sigma_i]_2 \sqrt{D(s-c)(s-c)}}{K_{10}K_{12}} = 6.25e+06 \text{ H}$$

Определение допускаемого опорного усилия от нагружения в окружном направлении:

$$\mathcal{G}_1 = -\frac{0.53 \cdot K_{11}}{K_{14} \cdot K_{16} \cdot K_{17} \cdot \sin(0.5\delta_1)} = -1.695$$

Инв. № подл.	Подп. и дата	Взам. инв.	Инв. №	Подп. и дата	$\mathcal{G}_{2,1} = \frac{\sigma_{\text{мк}}}{K_2[\sigma]} =$	-0.001341																			
					$\mathcal{G}_{2,2} = \left( \frac{pD}{4(s-c)} - \bar{\sigma}_{\text{мк}} \right) \frac{1}{K_2[\sigma]} =$	0.2508																			
					Коэффициент $K_1$ (принимается меньшее значение из двух):																				
					$K_1(\mathcal{G}_1; \mathcal{G}_{2,1}) =$	1.397																			
					$K_1(\mathcal{G}_1; \mathcal{G}_{2,2}) =$	1.499																			
					Предельное напряжение изгиба:																				
					$[\sigma]_i = K_1 K_2 [\sigma] =$	207.8 МПа																			
					Допускаемое опорное усилие от нагружения в осевом направлении:																				
					$[F]_2 = \frac{0.7[\sigma]_2 \sqrt{D(s-c)(s-c)}}{K_{10} K_{12}} =$	6.25e+06 Н																			
					Определение допускаемого опорного усилия от нагружения в окружном направлении:																				
					Коэффициент, представляющий отношение местных мембранных напряжений к местным напряжениям изгиба:																				
					$\mathcal{G}_1 = - \frac{0.53 \cdot K_{11}}{K_{14} \cdot K_{16} \cdot K_{17} \cdot \sin(0.5\delta_1)} =$	-1.695																			
Инв. № подл.	Подп. и дата	Взам. инв.	Инв. №	Подп. и дата		<table><tr><td>3</td><td>Изм.</td><td>б / н</td><td>Редикульцев</td><td>06.18</td></tr><tr><td>2</td><td>Изм.</td><td>б / н</td><td>Редикульцев</td><td>06.18</td></tr><tr><td>Изм.</td><td>Лист</td><td>№ док.</td><td>Подпись</td><td>Дата</td></tr></table>	3	Изм.	б / н	Редикульцев	06.18	2	Изм.	б / н	Редикульцев	06.18	Изм.	Лист	№ док.	Подпись	Дата	<div>20/30КУ-3N-2470.00.00.000 PP</div>	<table><tr><td>Лист</td></tr><tr><td>16</td></tr></table>	Лист	16
						3	Изм.	б / н	Редикульцев	06.18															
						2	Изм.	б / н	Редикульцев	06.18															
Изм.	Лист	№ док.	Подпись	Дата																					
Лист																									
16																									







Допускаемое опорное усилие от нагружения в окружном направлении:

$$[F]_3 = \frac{0.9[\sigma_i]_3 \sqrt{D(s_{\vartheta} - c)(s_{\vartheta} - c)}}{K_{14}K_{16}K_{17}} = 2.979e+06 \text{ Н}$$

Проверка прочности обечайки в области опорного узла:

Допускаемое усилие на опору:

$$[F_i] = \min \{ [F]_2; [F]_3 \} = 2.979e+06 \text{ Н}$$

Проверка устойчивости обечайки в области опорного узла:

Эффективное осевое усилие от местных мембранных напряжений, действующих в области опоры:

$$F_e = F_i \cdot \frac{\pi}{4} \sqrt{\frac{D}{(s - c)}} \cdot K_{13} \cdot K_{15} = 1.147e+05 \text{ Н}$$

Условие устойчивости обечайки, работающей под внутренним давлением:

$$\frac{|M_i|}{[M]} + \frac{|F_e|}{[F]} + \left( \frac{Q}{[Q]} \right)^2 = 0.008176 < 1$$

Цилиндрическая обечайка на седловых опорах отвечает условиям прочности и устойчивости в соответствии с требованиями ГОСТ Р 52857.5-2007.

Инв. № подл.	Подп. и дата	Взам. инв.	Инв. №	Подп. и дата					
3	Изм.	б / н	Редикульцев	06.18	20/30КУ-3N-2470.00.00.000 PP				
2	Изм.	б / н	Редикульцев	06.18					
Изм.	Лист	№ док.	Подпись	Дата					
									Лист
									19



$$\beta_1 = 0,91 \frac{b}{\sqrt{D(s-c)}} = 0.9841$$

$$\sigma_{\max} = \frac{4M_i}{\pi D^2(s-c)} = 0.3044 \text{ МПа}$$

$$K_{10} = 0.3163$$

$$K_{12} = 0.9816$$

[illegible]

$K_2 = 1.25$

Определение допускаемого опорного усилия от нагружения в осевом направлении:

$$\mathcal{G}_1 = -\frac{0.23 \cdot K_{13} \cdot K_{15}}{K_{12} \cdot K_{10}} = -0.2566$$

$$g_{21} = \frac{-\bar{\sigma}_{mx}}{K_\gamma[\sigma]} = -0.002047$$

$$\mathcal{G}_{2,2} = \left( \frac{pD}{4(s-c)} - \bar{\sigma}_{\text{mx}} \right) \frac{1}{K_2[\sigma]} = 0.2501$$

$$K_1(\mathfrak{g}_1; \mathfrak{g}_{2,1}) = \quad 1.325$$

$$K_1(\mathcal{G}_1; \mathcal{G}_{2,2}) = 1.475$$

$$[\sigma]_i = K_1 K_2 [\sigma] = 197 \text{ МПа}$$

$$[F]_2 = \frac{0.7[\sigma_i]_2 \sqrt{D(s-c)(s-c)}}{K_{10}K_{12}} = 5.928\text{e}+06 \text{ H}$$

Определение допускаемого опорного усилия от нагружения в окружном направлении:

$$\mathcal{G}_1 = -\frac{0.53 \cdot K_{11}}{K_{14} \cdot K_{16} \cdot K_{17} \cdot \sin(0.5\delta_1)} = -1.468$$

Инв. № подл.	Подп. и дата	Взам. инв.	Инв. №	Подп. и дата	$\mathcal{G}_{2,1} = \frac{\sigma_{\text{max}}}{K_2[\sigma]} =$	-0.002047
					$\mathcal{G}_{2,2} = \left( \frac{pD}{4(s-c)} - \bar{\sigma}_{\text{max}} \right) \frac{1}{K_2[\sigma]} =$	0.2501
					Коэффициент $K_1$ (принимается меньшее значение из двух):	
					$K_1(\mathcal{G}_1; \mathcal{G}_{2,1}) =$	1.325
					$K_1(\mathcal{G}_1; \mathcal{G}_{2,2}) =$	1.475
					Предельное напряжение изгиба:	
					$[\sigma]_i = K_1 K_2 [\sigma] =$	197 МПа
					Допускаемое опорное усилие от нагружения в осевом направлении:	
					$[F]_2 = \frac{0.7[\sigma_i]_2 \sqrt{D(s-c)(s-c)}}{K_{10} K_{12}} =$	5.928e+06 Н
					Определение допускаемого опорного усилия от нагружения в окружном направлении:	
					Коэффициент, представляющий отношение местных мембранных напряжений к местным напряжениям изгиба:	
					$\mathcal{G}_1 = - \frac{0.53 \cdot K_{11}}{K_{14} \cdot K_{16} \cdot K_{17} \cdot \sin(0.5\delta_1)} =$	-1.468
Инв. № подл.	Подп. и дата	Взам. инв.	Инв. №	Подп. и дата		
3	Изм.	б / н	Редикульцев	06.18	20/30КУ-3N-2470.00.00.000 PP	Лист
2	Изм.	б / н	Редикульцев	06.18		21
Изм.	Лист	№ док.	Подпись	Дата		



Коэффициенты, учитывающие влияние расстояния до днища:

$$K_{15} = 1$$

$$K_{16} = 0.9306$$

Коэффициент  $K_2$

$$K_2 = 1.25$$

Определение допускаемого опорного усилия от нагружения в осевом направлении:

Коэффициент, представляющий отношение местных мембранных напряжений к местным напряжениям изгиба:

$$g_1 = -\frac{0.23 \cdot K_{13} \cdot K_{15}}{K_{12} \cdot K_{10}} = -0.2566$$

Коэффициенты, учитывающие степень нагрузки общими мембранными напряжениями

$$g_{2,1} = \frac{-\bar{\sigma}_{mx}}{K_y[\sigma]} = -0.002047$$

$$g_{2,2} = \left( \frac{pD}{4(s_{\varphi} - c)} - \bar{\sigma}_{mx} \right) \frac{1}{K_2[\sigma]} = \quad 0.2501$$

Коэффициент  $K_1$  (принимается меньшее значение из двух):

$$K_1(\mathfrak{g}_1; \mathfrak{g}_{2,1}) = \quad 1.325$$

$$K_1(g_1; g_{2,2}) = 1.475$$

Предельное напряжение изгиба:

$$[\sigma]_i = K_1 K_2 [\sigma] = 197 \text{ МПа}$$

Допускаемое опорное усилие от нагружения в осевом направлении:

$$[F]_2 = \frac{0.7[\sigma_i]_2 \sqrt{D(s_{\text{eff}} - c)(s_{\text{eff}} - c)}}{K_{10}K_{12}} = 5.928\text{e}+06 \text{ H}$$

Определение допускаемого опорного усилия от нагружения в окружном направлении:

Коэффициент, представляющий отношение местных мембранных напряжений к местным напряжениям изгиба:

$$\mathcal{G}_1 = -\frac{0.53 \cdot K_{11}}{K_{14} \cdot K_{16} \cdot K_{17} \cdot \sin(0.5\delta_1)} = -1.468$$

Коэффициенты, учитывающие степень нагрузки общими мембранными напряжениями

$$\begin{aligned} g_{2,1} &= 0 \\ g_{2,2} &= \frac{pD}{2(s_{\sigma} - c)} \frac{1}{K_{\sigma}[\sigma]} = 0.5043 \end{aligned}$$

Коэффициент  $K_1$  (принимается меньшее значение из двух):

$$K_1(\mathfrak{g}_1; \mathfrak{g}_{2,1}) = 0.5437$$

$$K_1(\mathcal{G}_1; \mathcal{G}_{2,2}) = 0.8065$$

Предельное напряжение изгиба:

$$[\sigma]_i = K_1 K_2 [\sigma] = 80.88 \text{ МПа}$$

Инв. № подл.	Подп. и дата	Взам. инв.	Инв. №	Подп. и дата	Допускаемое опорное усилие от нагружения в осевом направлении: $[F]_2 = \frac{0.7[\sigma_i]_2 \sqrt{D(s_{\vartheta} - c)(s_{\vartheta} - c)}}{K_{10} K_{12}} =$ Определение допускаемого опорного усилия от нагружения в окружном направлении: Коэффициент, представляющий отношение местных мембранных напряжений к местным напряжениям изгиба: $\vartheta_1 = -\frac{0.53 \cdot K_{11}}{K_{14} \cdot K_{16} \cdot K_{17} \cdot \sin(0.5\delta_1)} =$ Коэффициенты, учитывающие степень нагрузки общими мембранными напряжениями $\vartheta_{2,1} =$ $\vartheta_{2,2} = \frac{pD}{2(s_{\vartheta} - c) K_2[\sigma]} \frac{1}{\sigma} =$ Коэффициент $K_1$ (принимается меньшее значение из двух): $K_1(\vartheta_1; \vartheta_{2,1}) =$ $K_1(\vartheta_1; \vartheta_{2,2}) =$ Предельное напряжение изгиба: $[\sigma]_i = K_1 K_2 [\sigma] =$	5.928e+06 Н  
--------------	--------------	------------	--------	--------------	--	---

Допускаемое опорное усилие от нагружения в окружном направлении:

$$[F]_3 = \frac{0.9[\sigma_i]_3 \sqrt{D(s_{\vartheta} - c)(s_{\vartheta} - c)}}{K_{14}K_{16}K_{17}} = 2.892e+06 \text{ Н}$$

Проверка прочности обечайки в области опорного узла:

Допускаемое усилие на опору:

$$[F_i] = \min \{ [F]_2, [F]_3 \} = 2.892e+06 \text{ Н}$$

Проверка устойчивости обечайки в области опорного узла:

Эффективное осевое усилие от местных мембранных напряжений, действующих в области опоры:

$$F_e = F_i \cdot \frac{\pi}{4} \sqrt{\frac{D}{(s - c)}} \cdot K_{13} \cdot K_{15} = 1.957e+05 \text{ Н}$$

Условие устойчивости обечайки, работающей под внутренним давлением:

$$\frac{|M_i|}{[M]} + \frac{|F_e|}{[F]} + \left( \frac{Q}{[Q]} \right)^2 = 0.0135 < 1$$

Цилиндрическая обечайка на седловых опорах отвечает условиям прочности и устойчивости в соответствии с требованиями ГОСТ Р 52857.5-2007.

Инв. № подл.	Подп. и дата	Взам. инв.	Инв. №	Подп. и дата
3	Изм.	б / н	Редикульцев	06.18
2	Изм.	б / н	Редикульцев	06.18
Изм.	Лист	№ док.	Подпись	Дата
20/30КУ-3N-2470.00.00.000 PP				
Лист				
24				



## 1.5. Штуцера Q1, Q2, Q3 DN85

Расчёт на прочность по ГОСТ Р 52857.3-2007.

Расчёт выполнен с помощью пакета прикладных программ расчёта на прочность элементов сосудов, аппаратов и трубопроводов PVP Design (Свидетельство о государственной регистрации 2008614973)

Элемент: Укрепление отверстий в обечайках и днищах.

Внутреннее давление.

Отверстие в цилиндрической обечайке.

Расчёт укрепления одиночного отверстия.

Укрепление непропущенным (непроходящим) штуцером.

Штуцер с осью нормальной к корпусу сосуда.

Расчёт с учетом внешних нагрузок методом конечных элементов.

Внешние нагрузки определялись без учета стесненности температурных деформаций.

Внешние нагрузки приложены в месте пересечения оси штуцера с образующей обечайки или днища.

Штуцер с утолщенной частью - переход в виде радиуса.

Режим: Рабочий.

### Исходные данные

Материал корпуса

20КА, Лист

Материал штуцера

20КА, Поковка

Расчётная температура

$T$  300 °C

Расчётное давление

$P$  4.51 МПа

Внутренний диаметр обечайки, днища или конического перехода, в месте расположения отверстия

$D$  1600 мм

Исполнительная толщина стенки обечайки, конического перехода или днища

$s$  36 мм

Коэффициент прочности сварных соединений обечаек и днищ

$\varphi$  1

Допускаемое напряжение для материала обечайки, перехода или днища при расчётной температуре

$[\sigma]$  119 МПа

Внутренний диаметр штуцера

$d$  85 мм

Исполнительная толщина усиленной части штуцера

$s_1$  50 мм

Исполнительная длина усиленной части штуцера

$l_1$  80 мм

Исполнительная толщина стенки штуцера

$s_{шт}$  25 мм

Исполнительная длина штуцера

$l_{шт}$  171 мм

Допускаемое напряжение для материала штуцера

$[\sigma]_1$  119 МПа

Коэффициент прочности продольного сварного шва штуцера

$\varphi_1$  1

Расстояние от наружной поверхности штуцера до ближайшего несущего конструктивного элемента (или  $L_k=0$ )

$L_k$  724.5 мм

Размер сварного шва приварки штуцера (по образующей обечайки)

$a$  0 мм

Размер сварного шва приварки штуцера (по образующей штуцера)

$b$  0 мм

Вылет штуцера

$L_f$  171 мм

Осевая нагрузка на штуцер

$F_x$  -3.025e+04 Н

Изгибающий момент вокруг оси X действующий на штуцер

$M_x$  1.728e+07 Н\*мм

Изгибающий момент вокруг оси Y действующий на штуцер

$M_y$  1.728e+07 Н\*мм

Подп. и дата		Инв. №		Взам. инв.		Подп. и дата		Инв. № подл.	
3	Изм.	б / н	Редикульцев	06.18	20/30КУ-3N-2470.00.00.000 PP				Лист
2	Изм.	б / н	Редикульцев	06.18					25
Изм.	Лист	№ док.	Подпись	Дата					



$$V = \min \left\{ 1; \frac{1 + \frac{l_{1p}(s_1 - c_s) \chi_1 + l_{2p}s_2 \chi_2 + l_{3p}(s_3 - c_s - c_{s1}) \chi_3}{l_p(s - c)}}{1 + 0,5 \frac{d_p - d_{op}}{l_p} + K_1 \frac{d + 2c_s}{D_p} \frac{\varphi l_{1p}}{\varphi_1 l_p}} \right\} = 1$$

### Допускаемое давление для узла врезки штуцера

$$[p] = \frac{2K_1(s-c)\phi[\sigma]}{D_0 + (s-c)V} = 4.652 \text{ МПа}$$

где

$$K_1 = 1$$

### Приведенное суммарное напряжение в зоне обечайки

$$\sigma_{p-o} = 182.8 < 3[\sigma] = 357 \text{ MPa}$$

Приведенное мембранное напряжение в зоне обечайки

$$\sigma_{pm-o} = 165.8 < 1.5[\sigma] = 178.5 \text{ МПа}$$

Приведенное суммарное напряжение в зоне штуцера

$$\sigma_{p\_max} = 200.8 < 3[\sigma] = 357 \text{ МПа}$$

Приведенное мембранное напряжение в зоне штуцера

$$\sigma_{\text{max}} = 169.5 < 1.5[\sigma] = 178.5 \text{ МПа}$$

Приведенное суммарное напряжение на внутренней поверхности обечайки, перехода или днища

$$\sigma_{p\_en\_o} = 275.3 < 3[\sigma] = 357 \text{ MPa}$$

Приведенное суммарное напряжение на внутренней поверхности штуцера

$$\sigma_{p\_en\_wm} = 317 < 3[\sigma] = 357 \text{ MPa}$$

Узел врезки отвечает условиям прочности в соответствии с требованиями ГОСТ Р 52857.3-2007.

Инв. № подл.

Подп. и дата

Взам. инв.

Инв. №

Подп. и дата

$$\sigma_{\text{р-ен-шм}} = 317 < 3[\sigma] = 357 \text{ МПа}$$

Узел врезки отвечает условиям прочности в соответствии с требованиями ГОСТ Р 52857.3-2007.

Лист

27

3	Изм.	б / н	Редикульцев	06.18	<b>20/30КУ-3N-2470.00.00.000 PP</b>	
2	Изм.	б / н	Редикульцев	06.18		
Изм.	Лист	№ док.	Подпись	Дата		



Сумма прибавок к расчётной толщине стенки штуцера  $c_s$  3 мм

**Результаты расчёта**

Расчётный внутренний диаметр цилиндрической обечайки  
 $D_p = D =$  1600 мм

Расчётная толщина стенки корпуса  
 $s_p = \frac{pD}{2[\sigma]\varphi_1 - p} =$  30.9 мм

Расчётный диаметр отверстия  
 $d_p = d + 2c_s =$  58 мм

Расчётная толщина стенки штуцера  
 $s_{1p} = \frac{p(d + 2c_s)}{2[\sigma]_1 \varphi_1 - p} =$  1.12 мм

Расчётная длина штуцера  
 $l_{1p} = \min \{l_1; 1,25\sqrt{(d + 2c_s)(s_1 - c_s)}\} =$  50 мм

Отношение допускаемых напряжений штуцера и корпуса  
 $\chi_1 = \min \left\{ 1, 0; \frac{[\sigma]_1}{[\sigma]} \right\} =$  1

Ширина зоны укрепления, прилегающей к штуцеру  
 $L_0 = \sqrt{D_p(s - c)} =$  225.9 мм

Расчётная ширина зоны укрепления, прилегающей к штуцеру  
 $l_p =$  225.9 мм

Расчётный диаметр неукрепляемого отверстия  
 $d_{оп} = 0,4\sqrt{D_p(s - c)} =$  90.37 мм

Коэффициент понижения прочности узла врезки штуцера  
 $V = \min \left\{ 1; \frac{1 + \frac{l_{1p}(s_1 - c_s)}{l_p} \chi_1 + l_{2p}s_2 \chi_2 + l_{3p}(s_3 - c_s - c_{s1}) \chi_3}{l_p(s - c)} \right\} =$  1

Допускаемое давление для узла врезки штуцера  
 $[p] = \frac{2K_1(s - c)\varphi[\sigma]V}{D_p + (s - c)V} =$  4.652 МПа

где  
 $K_1 =$  1

Узел врезки отвечает условиям прочности в соответствии с требованиями ГОСТ Р 52857.3-2007.

Подп. и дата									
Инв. №									
Взам. инв.									
Подп. и дата									
Инв. № подл.									
3	Изм.	б / н	Редикульцев	06.18	20/30КУ-3N-2470.00.00.000 PP				Лист
2	Изм.	б / н	Редикульцев	06.18					29
Изм.	Лист	№ док.	Подпись	Дата					

1.7. Патрубки штуцеров R1, R2, R3 DN50

Расчёт на прочность по ГОСТ Р 52857.2-2007.

Расчёт выполнен с помощью пакета прикладных программ расчёта на прочность элементов сосудов, аппаратов и трубопроводов PVP Design (Свидетельство о государственной регистрации 2008614973)

Элемент: Гладкая цилиндрическая обечайка, работающая под действием внутреннего давления.  
Режим: Рабочий.

Исходные данные

Материал обечайки	20КА, Труба		
Расчётная температура	T	300	°C
Расчётное давление в сосуде	P	4.51	МПа
Внутренний диаметр обечайки	D	52	мм
Фактическая длина обечайки	Lact	129	мм
Толщина стенки обечайки	S	8	мм
Прибавка на коррозию	c <sub>1</sub>	3	мм
Прибавка – минусовый допуск	c <sub>2</sub>	1.2	мм
Прибавка технологическая	c <sub>3</sub>	0	мм
Сумма прибавок к расчётной толщине стенки (см. п.12 ГОСТ Р 52857.1)	c	4.2	мм
Коэффициент прочности продольного сварного шва	φ <sub>p</sub>	1	
Допускаемое напряжение	[σ]	119	МПа

Результаты расчёта

Минимально допустимая расчётная толщина стенки обечайки от действия давления		$S_p = \frac{pD}{2[\sigma]\phi_p - p} =$	1.004 мм
Минимально допустимая расчётная толщина стенки обечайки от действия давления с учетом прибавки		$S \geq S_p + C =$	5.204 мм
Допускаемое внутреннее давление		$[p] = \frac{2[\sigma]\phi_p(S - C)}{D + (S - C)} =$	16.21 МПа
Наибольший диаметр отверстия не требующего доп. укрепления		$d_o =$	52 мм
Обечайка отвечает условиям прочности в соответствии с требованиями ГОСТ Р 52857.2-2007.			

Подп. и дата						
Инв. №						
Взам. инв.						
Подп. и дата						
Инв. № подл.						
<div>Результаты расчёта</div> <div>Минимально допустимая расчётная толщина стенки обечайки от действия давления<div><math display="block">S_p = \frac{pD}{2[\sigma]_{\varphi_p} - p} =</math>1.004 мм</div></div> <div>Минимально допустимая расчётная толщина стенки обечайки от действия давления с учетом прибавки<div><math display="block">S \geq S_p + C =</math>5.204 мм</div></div> <div>Допускаемое внутреннее давление<div><math display="block">[p] = \frac{2[\sigma]_{\varphi_p}(S - C)}{D + (S - C)} =</math>16.21 МПа</div></div> <div>Наибольший диаметр отверстия не требующего доп. укрепления<div><math display="block">d_o =</math>52 мм</div></div> <div>Обечайка отвечает условиям прочности в соответствии с требованиями ГОСТ Р 52857.2-2007.</div>						
3	Изм.	б / н	Редикульцев	06.18	20/30КУ-3N-2470.00.00.000 PP	Лист
2	Изм.	б / н	Редикульцев	06.18		30
Изм.	Лист	№ док.	Подпись	Дата		

## 1.8. Отводы 1 R1, R2, R3 DN50

Расчёт на прочность по ПНАЭ Г-7-002-86 и ГОСТ Р 52857.1.

Расчёт выполнен с помощью пакета прикладных программ расчёта на прочность элементов сосудов, аппаратов и трубопроводов PVP Design (Свидетельство о государственной регистрации 2008614973)

Элемент: Отвод.

Расчёт на действие давления и внешних нагрузок от присоединенного трубопровода.

Толщины стенок с внешней и внутренней сторон отвода одинаковые.

Режим: Рабочий.

### Исходные данные

Материал отвода	20КА, Труба		
Расчётная температура	$T$	300	°C
Расчётное давление	$P$	4.51	МПа
Внешняя перерезывающая сила из плоскости отвода, действующая по оси x	$F_{x0}$	0	Н
Внешняя перерезывающая сила в плоскости отвода, действующая по оси y	$F_{y0}$	0	Н
Внешняя осевая сила, действующая по оси z	$F_{z0}$	0	Н
Внешний изгибающий момент, действующий из плоскости отвода, относительно оси x	$M_{x0}$	0	Н мм
Внешний изгибающий момент, действующий в плоскости отвода, относительно оси y	$M_{y0}$	0	Н мм
Внешний крутящий момент, действующий относительно оси z	$M_{z0}$	0	Н мм
Радиусгиба (измеряется по оси отвода)	$R_s$	100	мм
Наружный диаметр	$D_2$	68	мм
Овальность поперечного сечения	$a$	12.5	%
Угол поворота отвода	$\alpha$	90	град
Номинальная толщина стенки	$s$	8	мм
Прибавка для компенсации коррозии	$c_1$	3	мм
Минусовой допуск на толщину стенки	$c_2$	1	мм
Технологическая прибавка к толщине стенки	$c_3$	0	мм
Допускаемое напряжение для материала отвода	$[\sigma]$	119	МПа
Модуль продольной упругости	$E$	1.71e+05	МПа
Коэффициент прочности продольного сварного шва	$\varphi_p$	1	
Коэффициент прочности кольцевого сварного шва	$\varphi_T$	1	

### Результаты расчёта

Расчёт на действие давления

Вспомогательный коэффициент  $b$

$$b = \text{Max} \left\{ \frac{P}{2[\sigma] + P}; 0.03 \right\} = 0.03$$

Подп. и дата	Инв. №	Взам. инв.	Подп. и дата	Инв. № подл.	Внешний крутящий момент, действующий относительно оси z						$M_{z0}$	0	Н	мм	
					Радиус гиба (измеряется по оси отвода)						$R_3$	100	мм		
					Наружный диаметр						$D_a$	68	мм		
					Овальность поперечного сечения						$a$	12.5	%		
					Угол поворота отвода						$\alpha$	90	град		
					Номинальная толщина стенки						$s$	8	мм		
					Прибавка для компенсации коррозии						$c_1$	3	мм		
					Минусовой допуск на толщину стенки						$c_2$	1	мм		
					Технологическая прибавка к толщине стенки						$c_3$	0	мм		
					Допускаемое напряжение для материала отвода						$[\sigma]$	119	МПа		
					Модуль продольной упругости						$E$	1.71e+05	МПа		
					Коэффициент прочности продольного сварного шва						$\varphi_p$	1			
					Коэффициент прочности кольцевого сварного шва						$\varphi_T$	1			
Результаты расчёта															
Расчёт на действие давления															
Вспомогательный коэффициент    b															
$b = \text{Max} \left\{ \frac{p}{2[\sigma] + p}; 0.03 \right\} =$															
0.03															
Инв. № подл.	3	Изм.	б / н	Редикульцев	06.18	20/30КУ-3N-2470.00.00.000 PP									Лист
	2	Изм.	б / н	Редикульцев	06.18										31
	Изм.	Лист	№ док.	Подпись	Дата										

Вспомогательный коэффициент q

$$q = \text{Min} \left\{ \left( 2b \frac{R_s}{D_a} + 0.5 \right); 1.0 \right\} = 0.5882$$

Торовый коэффициент для внешней стороны отвода

$$K_1 = \frac{4R_s + D_a}{4R_s + 2D_a} = 0.8731$$

Торовый коэффициент для внутренней стороны отвода

$$K_2 = \frac{4R_s - D_a}{4R_s - 2D_a} = 1.258$$

Торовый коэффициент для средней части отвода (+-15% от нейтральной линии)

$$K_3 = 1 = 1$$

Коэффициент формы для внешней стороны отвода

$$Y_1 = \text{Max} \left\{ 0.12 \left( 1 + \sqrt{1 + 0.4 \frac{a}{b} q} \right); 1.0 \right\} = 1.314$$

Коэффициент формы для внутренней стороны отвода

$$Y_2 = Y_1 = 1.314$$

Коэффициент формы для средней части отвода (+-15% от нейтральной линии)

$$Y_3 = \text{Max} \left\{ 0.12 \left( 1 + \sqrt{0.4 \frac{a}{b}} \right); 1.0 \right\} = 1.674$$

Расчётная толщина стенки для внешней стороны отвода

$$s_{1p} = \frac{p D_a Y_1 K_1}{2 \varphi_p [\sigma] + p} = 1.451 \text{ мм}$$

Расчётная толщина стенки для внутренней стороны отвода

$$s_{2p} = \frac{p D_a Y_2 K_2}{2 \varphi_p [\sigma] + p} = 2.09 \text{ мм}$$

Расчётная толщина стенки для средней части отвода (+-15% от нейтральной линии)

$$s_{3p} = \frac{p D_a Y_3 K_3}{2 \varphi_p [\sigma] + p} = 2.117 \text{ мм}$$

Допускаемое давление

$$[p] = \text{Min} \left\{ \frac{2(s_1 - c_1 - c_2 - c_{31}) \varphi_p [\sigma]}{K_1 Y_1 D_a - (s_1 - c_1 - c_2 - c_{31})}; \frac{2(s_2 - c_1 - c_2 - c_{32}) \varphi_p [\sigma]}{K_2 Y_2 D_a - (s_2 - c_1 - c_2 - c_{32})}; \frac{2(s_3 - c_1 - c_2 - c_{33}) \varphi_p [\sigma]}{K_3 Y_3 D_a - (s_3 - c_1 - c_2 - c_{33})} \right\} = 8.669 \text{ МПа}$$

Расчёт на совместное действие давления и внешних нагрузок

Площадь поперечного сечения

$$A_s = \frac{\pi}{4} \left( D_a^2 - [D_a - 2(s - c_1 - c_2)]^2 \right) = 804.2 \text{ мм}^2$$

Инв. № подл.	Подп. и дата	Инв. №	Взам. инв.	Подп. и дата	
3	Изм.	б / н	Редикульцев	06.18	
2	Изм.	б / н	Редикульцев	06.18	
Изм.	Лист	№ док.	Подпись	Дата	
20/30КУ-3N-2470.00.00.000 PP					Лист
					32



Инв. № подл.	Подп. и дата		Инв. №		Взам. инв.		Подп. и дата		
3		Изм.	б / н	Редикульцев	06.18	20/30КУ-3N-2470.00.00.000 PP			Лист
2		Изм.	б / н	Редикульцев	06.18				33
Изм.		Лист	№ док.	Подпись	Дата				

Инв. № подл.	Подп. и дата	Взам. инв.	Инв. №	Подп. и дата	$\sigma_{zp}$	$4A_3$	15.86 МПа				
					Расчётное радиальное напряжение						
					$\sigma_r = -\frac{p}{2} =$			-2.255 МПа			
					Условие статической прочности по суммарным мембранным и общим изгибным напряжениям:						
					$\sigma_2 = \text{Max} \left\{ \frac{1}{2} \left  2\sigma_z - \sigma_{\varphi} - \sigma_r \pm \sqrt{(\sigma_{\varphi} - \sigma_r)^2 + 4\tau^2} \right ; \sqrt{(\sigma_{\varphi} - \sigma_r)^2 + 4\tau^2} \right\} \leq [\sigma]_M = 1.5[\sigma]$						
					где:						
					Расчётное осевое напряжение						
					$\sigma_z = \pm \frac{\sqrt{M_x^2 + M_y^2}}{\varphi_T W} + \frac{F_z}{A_3} + \sigma_{zp}$						
					Расчётное напряжение кручения:						
					$\tau = \frac{M_x}{2 W}$						
					Дополнительное условие статической прочности по суммарным мембранным и общим изгибным напряжениям при $\lambda \leq 1.4$ :						
Инв. № подл.	Подп. и дата	Взам. инв.	Инв. №	Подп. и дата	3	Изм.	б / н	Редикульцев	06.18	20/30КУ-3N-2470.00.00.000 PP	Лист
					2	Изм.	б / н	Редикульцев	06.18		34
					Изм.	Лист	№ док.	Подпись	Дата		

$$\sigma_{22} = \frac{\Omega}{\Psi} \frac{\sqrt{M_x^2 + M_y^2 + M_z^2}}{\phi_W} \leq [\sigma]_M = 1.5[\sigma]$$

Условие статической прочности по суммарным местным мембранным и изгибным напряжениям:

$$\sigma_{RK} = \text{Max} \left\{ \begin{aligned} & \frac{1}{W} \sqrt{[|M_x| \gamma_m + |M_y| \beta_m + W \sigma_{xy}]^2 + M_z^2}; \\ & \frac{1}{W} \sqrt{[|M_x| \beta_m + |M_y| \gamma_m + W \sigma_{xy}]^2 + M_z^2}; \\ & \frac{1}{W} \sqrt{[|M_x| \gamma_m + W \beta \sigma_{xy}]^2 + M_z^2}; \\ & \frac{1}{W} \sqrt{[|M_y| \gamma_m + W \beta \sigma_{xy}]^2 + M_z^2} \end{aligned} \right\} \leq [\sigma]_R = 3[\sigma]$$

См. таблицу.

	$\alpha$	$\sigma_2$	$\sigma_{2a}$	$[\sigma]_{\mathcal{M}}$	$\sigma_{\mathcal{R}\mathcal{K}}$	$[\sigma]_{\mathcal{R}}$
1	0	36.08	0	178.5	41.07	357
2	15	36.08	0	178.5	41.07	357
3	30	36.08	0	178.5	41.07	357
4	45	36.08	0	178.5	41.07	357
5	60	36.08	0	178.5	41.07	357
6	75	36.08	0	178.5	41.07	357
7	90	36.08	0	178.5	41.07	357

Отвод отвечает условиям прочности в соответствии с требованиями ПНАЭ Г-7-002-86 и ГОСТ Р 52857.1.

Инв. № подл.	Подп. и дата					Взам. инв.	Инв. №	Подп. и дата
3	Изм.	б / н	Редикульцев	06.18	<b>20/30КУ-3N-2470.00.00.000 PP</b>			
2	Изм.	б / н	Редикульцев	06.18				
Изм.	Лист	№ док.	Подпись	Дата				
					Лист			
					35			

## 1.9. Патрубки 2 штуцеров R1, R2, R3 DN50

Расчёт на прочность по ГОСТ Р 52857.2-2007.

Расчёт выполнен с помощью пакета прикладных программ расчёта на прочность элементов сосудов, аппаратов и трубопроводов PVP Design (Свидетельство о государственной регистрации 2008614973)

Элемент: Гладкая цилиндрическая обечайка, работающая под действием внутреннего давления.  
Режим: Рабочий.

### Исходные данные

Материал обечайки	20КА, Труба		
Расчётная температура	T	300	°C
Расчётное давление в сосуде	P	4.51	МПа
Внутренний диаметр обечайки	D	52	мм
Фактическая длина обечайки	Lact	385	мм
Толщина стенки обечайки	S	8	мм
Прибавка на коррозию	c <sub>1</sub>	3	мм
Прибавка – минусовый допуск	c <sub>2</sub>	1.2	мм
Прибавка технологическая	c <sub>3</sub>	0	мм
Сумма прибавок к расчётной толщине стенки (см. п.12 ГОСТ Р 52857.1)	c	4.2	мм
Коэффициент прочности продольного сварного шва	φ <sub>p</sub>	1	
Допускаемое напряжение	[σ]	119	МПа

### Результаты расчёта

Минимально допустимая расчётная толщина стенки обечайки от действия давления

$$S_p = \frac{pD}{2[\sigma]\phi_p - p} = 1.004 \text{ мм}$$

Минимально допустимая расчётная толщина стенки обечайки от действия давления с учетом прибавки

$$S \geq S_p + C = 5.204 \text{ мм}$$

Допускаемое внутреннее давление

$$[p] = \frac{2[\sigma]\phi_p(S - C)}{D + (S - C)} = 16.21 \text{ МПа}$$

Наибольший диаметр отверстия не требующего доп. укрепления

$$d_o = 52 \text{ мм}$$

Обечайка отвечает условиям прочности в соответствии с требованиями ГОСТ Р 52857.2-2007.

Подп. и дата									
Инв. №									
Взам. инв.									
Подп. и дата									
Инв. № подл.									
3	Изм.	б / н	Редикульцев	06.18	20/30КУ-3N-2470.00.00.000 PP				Лист
2	Изм.	б / н	Редикульцев	06.18					36
Изм.	Лист	№ док.	Подпись	Дата					



Вспомогательный коэффициент q

$$q = \text{Min} \left\{ \left( 2b \frac{R_s}{D_a} + 0.5 \right); 1.0 \right\} = 0.5882$$

Торовый коэффициент для внешней стороны отвода

$$K_1 = \frac{4R_s + D_a}{4R_s + 2D_a} = 0.8731$$

Торовый коэффициент для внутренней стороны отвода

$$K_2 = \frac{4R_s - D_a}{4R_s - 2D_a} = 1.258$$

Торовый коэффициент для средней части отвода (+-15% от нейтральной линии)

$$K_3 = 1 = 1$$

Коэффициент формы для внешней стороны отвода

$$Y_1 = \text{Max} \left\{ 0.12 \left( 1 + \sqrt{1 + 0.4 \frac{a}{b} q} \right); 1.0 \right\} = 1.314$$

Коэффициент формы для внутренней стороны отвода

$$Y_2 = Y_1 = 1.314$$

Коэффициент формы для средней части отвода (+-15% от нейтральной линии)

$$Y_3 = \text{Max} \left\{ 0.12 \left( 1 + \sqrt{0.4 \frac{a}{b}} \right); 1.0 \right\} = 1.674$$

Расчётная толщина стенки для внешней стороны отвода

$$s_{1p} = \frac{p D_a Y_1 K_1}{2 \varphi_p [\sigma] + p} = 1.451 \text{ мм}$$

Расчётная толщина стенки для внутренней стороны отвода

$$s_{2p} = \frac{p D_a Y_2 K_2}{2 \varphi_p [\sigma] + p} = 2.09 \text{ мм}$$

Расчётная толщина стенки для средней части отвода (+-15% от нейтральной линии)

$$s_{3p} = \frac{p D_a Y_3 K_3}{2 \varphi_p [\sigma] + p} = 2.117 \text{ мм}$$

Допускаемое давление

$$[p] = \text{Min} \left\{ \frac{2(s_1 - c_1 - c_2 - c_{31}) \varphi_p [\sigma]}{K_1 Y_1 D_a - (s_1 - c_1 - c_2 - c_{31})}; \frac{2(s_2 - c_1 - c_2 - c_{32}) \varphi_p [\sigma]}{K_2 Y_2 D_a - (s_2 - c_1 - c_2 - c_{32})}; \frac{2(s_3 - c_1 - c_2 - c_{33}) \varphi_p [\sigma]}{K_3 Y_3 D_a - (s_3 - c_1 - c_2 - c_{33})} \right\} = 8.669 \text{ МПа}$$

Расчёт на совместное действие давления и внешних нагрузок

Площадь поперечного сечения

$$A_s = \frac{\pi}{4} \left( D_a^2 - [D_a - 2(s - c_1 - c_2)]^2 \right) = 804.2 \text{ мм}^2$$

Инв. № подл.	Подп. и дата	Инв. №	Взам. инв.	Подп. и дата	
3	Изм.	б / н	Редикульцев	06.18	
2	Изм.	б / н	Редикульцев	06.18	
Изм.	Лист	№ док.	Подпись	Дата	
20/30КУ-3N-2470.00.00.000 PP					Лист
					38

Инв. № подл.	Подп. и дата		Инв. №		Взам. инв.		Подп. и дата		
3		Изм.	б / н	Редикульцев	06.18	20/30КУ-3N-2470.00.00.000 PP			Лист
2		Изм.	б / н	Редикульцев	06.18				39
Изм.		Лист	№ док.	Подпись	Дата				

Инв. № подл.	Подп. и дата	Взам. инв.	Инв. №	Подп. и дата	$\sigma_{xp}$	$4A_3$	15.86 МПа	
					Расчётное радиальное напряжение			
					$\sigma_r = -\frac{p}{2} =$			-2.255 МПа
					Условие статической прочности по суммарным мембранным и общим изгибным напряжениям:			
					$\sigma_2 = \text{Max} \left\{ \frac{1}{2} \left  2\sigma_z - \sigma_w - \sigma_r \pm \sqrt{(\sigma_w - \sigma_r)^2 + 4\tau^2} \right ; \sqrt{(\sigma_w - \sigma_r)^2 + 4\tau^2} \right\} \leq [\sigma]_M = 1.5[\sigma]$			
					где:			
					Расчётное осевое напряжение			
					$\sigma_z = \pm \frac{\sqrt{M_x^2 + M_y^2}}{\varphi_T W} + \frac{F_z}{A_3} + \sigma_{xp}$			
					Расчётное напряжение кручения:			
					$\tau = \frac{M_z}{2 W}$			
					Дополнительное условие статической прочности по суммарным мембранным и общим изгибным напряжениям при $\lambda \leq 1.4$ :			



$$\sigma_{22} = \frac{\Omega}{\Psi} \frac{\sqrt{M_x^2 + M_y^2 + M_z^2}}{\phi_W} \leq [\sigma]_M = 1.5[\sigma]$$

Условие статической прочности по суммарным местным мембранным и изгибным напряжениям:

$$\sigma_{RK} = \text{Max} \left\{ \begin{aligned} & \frac{1}{W} \sqrt{[|M_x| \gamma_m + |M_y| \beta_m + W \sigma_{xy}]^2 + M_z^2}; \\ & \frac{1}{W} \sqrt{[|M_x| \beta_m + |M_y| \gamma_m + W \sigma_{xy}]^2 + M_z^2}; \\ & \frac{1}{W} \sqrt{[|M_x| \gamma_m + W B \sigma_{xy}]^2 + M_z^2}; \\ & \frac{1}{W} \sqrt{[|M_y| \gamma_m + W B \sigma_{xy}]^2 + M_z^2} \end{aligned} \right\} \leq [\sigma]_R = 3[\sigma]$$

См. таблицу.

	$\alpha$	$\sigma_2$	$\sigma_{2a}$	$[\sigma]_{\mathcal{M}}$	$\sigma_{\mathcal{R}\mathcal{K}}$	$[\sigma]_{\mathcal{R}}$
1	0	36.08	0	178.5	41.07	357
2	5	36.08	0	178.5	41.07	357
3	10	36.08	0	178.5	41.07	357
4	15	36.08	0	178.5	41.07	357
5	20	36.08	0	178.5	41.07	357
6	25	36.08	0	178.5	41.07	357
7	30	36.08	0	178.5	41.07	357

Отвод отвечает условиям прочности в соответствии с требованиями ПНАЭ Г-7-002-86 и ГОСТ Р 52857.1.

Инв. № подл.	Подп. и дата					Взам. инв.	Инв. №	Подп. и дата
3	Изм.	б / н	Редикульцев	06.18	20/30КУ-3N-2470.00.00.000 PP	Лист		
2	Изм.	б / н	Редикульцев	06.18		41		
Изм.	Лист	№ док.	Подпись	Дата				

## 1.11. Штуцер Н DN50

Расчёт на прочность по ГОСТ Р 52857.3-2007.

Расчёт выполнен с помощью пакета прикладных программ расчёта на прочность элементов сосудов, аппаратов и трубопроводов PVP Design (Свидетельство о государственной регистрации 2008614973)

Элемент: Укрепление отверстий в обечайках и днищах.

Внутреннее давление.

Отверстие в цилиндрической обечайке.

Расчёт укрепления одиночного отверстия.

Укрепление непропущенным (непроходящим) штуцером.

Штуцер с осью нормальной к корпусу сосуда.

Расчёт с учетом внешних нагрузок методом конечных элементов.

Внешние нагрузки определялись без учета стесненности температурных деформаций.

Внешние нагрузки приложены в месте пересечения оси штуцера

с образующей обечайки или днища.

Режим: Рабочий.

### Исходные данные

Материал корпуса	20КА, Лист		
Материал штуцера	20КА, Поковка		
Расчётная температура	$T$	300	°C
Расчётное давление	$P$	4.51	МПа
Внутренний диаметр обечайки, днища или конического перехода, в месте расположения отверстия	$D$	1600	мм
Исполнительная толщина стенки обечайки, конического перехода или днища	$s$	36	мм
Коэффициент прочности сварных соединений обечаек и днищ	$\Phi$	1	
Допускаемое напряжение для материала обечайки, перехода или днища при расчётной температуре	$[\sigma]$	119	МПа
Внутренний диаметр штуцера	$d$	63	мм
Исполнительная толщина стенки штуцера	$s_1$	32	мм
Исполнительная длина штуцера (для заведомо длинных штуцеров $l_1=0$ )	$l_1$	120	мм
Допускаемое напряжение для материала штуцера	$[\sigma]_1$	119	МПа
Коэффициент прочности продольного сварного шва штуцера	$\Phi_1$	1	
Расстояние от наружной поверхности штуцера до ближайшего несущего конструктивного элемента (или $L_k=0$ )	$L_k$	1442	мм
Размер сварного шва приварки штуцера (по образующей обечайки)	$a$	0	мм
Размер сварного шва приварки штуцера (по образующей штуцера)	$b$	0	мм
Вылет штуцера	$L_t$	249	мм
Осевая нагрузка на штуцер	$F_z$	1700	Н
Изгибающий момент вокруг оси X действующий на штуцер	$M_x$	3.5e+05	Н*мм
Изгибающий момент вокруг оси Y действующий на штуцер	$M_y$	5e+05	Н*мм
Изгибающий момент вокруг оси Z действующий на штуцер	$M_z$	6e+05	Н*мм
Перерезывающая сила вдоль оси X действующая на штуцер	$F_x$	1250	Н
Перерезывающая сила вдоль оси Y действующая на штуцер	$F_y$	1250	Н

Подп. и дата	Исполнительная толщина стенки обечайки, конического перехода или днища					$s$	36	мм	
	Коэффициент прочности сварных соединений обечаек и днищ					$\varphi$	1		
	Допускаемое напряжение для материала обечайки, перехода или днища при расчётной температуре					$[\sigma]$	119	МПа	
	Внутренний диаметр штуцера					$d$	63	мм	
	Исполнительная толщина стенки штуцера					$s_1$	32	мм	
Инв. №	Исполнительная длина штуцера (для заведомо длинных штуцеров $l_1=0$ )					$l_1$	120	мм	
	Допускаемое напряжение для материала штуцера					$[\sigma]_1$	119	МПа	
	Коэффициент прочности продольного сварного шва штуцера					$\varphi_1$	1		
Взам. инв.	Расстояние от наружной поверхности штуцера до ближайшего несущего конструктивного элемента (или $L_k=0$ )					$L_k$	1442	мм	
	Размер сварного шва приварки штуцера (по образующей обечайки)					$a$	0	мм	
	Размер сварного шва приварки штуцера (по образующей штуцера)					$b$	0	мм	
	Вылет штуцера					$L_f$	249	мм	
	Осевая нагрузка на штуцер					$F_z$	1700	Н	
Подп. и дата	Изгибающий момент вокруг оси X действующий на штуцер					$M_x$	3.5e+05	Н*мм	
	Изгибающий момент вокруг оси Y действующий на штуцер					$M_y$	5e+05	Н*мм	
	Изгибающий момент вокруг оси Z действующий на штуцер					$M_z$	6e+05	Н*мм	
	Перерезывающая сила вдоль оси X действующая на штуцер					$F_x$	1250	Н	
	Перерезывающая сила вдоль оси Y действующая на штуцер					$F_y$	1250	Н	
Инв. № подл.	3	Изм.	б / н	Редикульцев	06.18	20/30КУ-3N-2470.00.00.000 PP			Лист
	2	Изм.	б / н	Редикульцев	06.18				42
	Изм.	Лист	№ док.	Подпись	Дата				

Модуль продольной упругости материала обечайки	$E$	1.71e+05	МПа
Коэффициент Пуассона обечайки	$\mu$	0.3	
Модуль продольной упругости материала штуцера	$E_1$	1.71e+05	МПа
Коэффициент Пуассона штуцера	$\mu_1$	0.3	
Прибавка для компенсации коррозии и эрозии стенки корпуса	$c_1$	3	мм
Прибавка для компенсации минусового допуска стенки корпуса	$c_2$	1.1	мм
Прибавка технологическая стенки корпуса	$c_3$	0	мм
Прибавка для компенсации коррозии и эрозии стенки штуцера	$c_{,1}$	3	мм
Прибавка для компенсации минусового допуска стенки штуцера	$c_{,2}$	0	мм
Прибавка технологическая стенки штуцера	$c_{,3}$	0	мм
Сумма прибавок к расчётной толщине стенки корпуса	$c$	4.1	мм
Сумма прибавок к расчётной толщине стенки штуцера	$c_s$	3	мм

### Результаты расчёта

Расчётный внутренний диаметр цилиндрической обечайки  
 $D_p = D =$  1600 мм

Расчётная толщина стенки корпуса  
 $s_p = \frac{pD}{2[\sigma] \varphi_p - p} =$  30.9 мм

Расчётный диаметр отверстия  
 $d_p = d + 2c_s =$  69 мм

Расчётная толщина стенки штуцера  
 $s_{1p} = \frac{p(d + 2c_s)}{2[\sigma_1] \varphi_1 - p} =$  1.333 мм

Расчётная длина штуцера  
 $l_{1p} = \min \{ l_1; 1,25 \sqrt{(d + 2c_s)(s_1 - c_s)} \} =$  55.92 мм

Отношение допускаемых напряжений штуцера и корпуса  
 $\chi_1 = \min \left\{ 1, 0; \frac{[\sigma_1]}{[\sigma]} \right\} =$  1

Ширина зоны укрепления, прилегающей к штуцеру  
 $L_o = \sqrt{D_p(s - c)} =$  225.9 мм

Расчётная ширина зоны укрепления, прилегающей к штуцеру  
 $l_p =$  225.9 мм

Расчётный диаметр неукрепляемого отверстия  
 $d_{op} = 0,4 \sqrt{D_p(s - c)} =$  90.37 мм

Коэффициент понижения прочности узла врезки штуцера  
 $V = \min \left\{ 1; \frac{1 + \frac{l_{1p}(s_1 - c_s) \chi_1 + l_{2p}s_2 \chi_2 + l_{3p}(s_3 - c_s - c_{,1}) \chi_3}{l_p(s - c)}}{1 + 0,5 \frac{d_p - d_{op}}{l_p} + K_1 \frac{d + 2c_s}{D_p} \frac{\varphi l_{1p}}{\varphi_1 l_p}} \right\} =$  1

Инв. № подл.	Подп. и дата	Взам. инв.	Инв. №	Подп. и дата	$s_{1p} = \frac{p(d + 2c_s)}{2[\sigma] \varphi_1 - p} =$	1.333 мм	
					Расчётная длина штуцера	$l_{1p} = \min \left\{ l_1; 1,25 \sqrt{(d + 2c_s)(s_1 - c_s)} \right\} =$	55.92 мм
					Отношение допускаемых напряжений штуцера и корпуса	$\chi_1 = \min \left\{ 1,0; \frac{[\sigma]_1}{[\sigma]} \right\} =$	1
					Ширина зоны укрепления, прилегающей к штуцеру	$L_o = \sqrt{D_p (s - c)} =$	225.9 мм
					Расчётная ширина зоны укрепления, прилегающей к штуцеру	$l_p =$	225.9 мм
Инв. № подл.	Подп. и дата	Взам. инв.	Инв. №	Подп. и дата	Расчётный диаметр неукрепляемого отверстия	$d_{op} = 0,4 \sqrt{D_p (s - c)} =$	90.37 мм
					Коэффициент понижения прочности узла врезки штуцера	$V = \min \left\{ 1; \frac{1 + \frac{l_{1p}(s_1 - c_s) \chi_1 + l_{2p}s_2 \chi_2 + l_{3p}(s_3 - c_s - c_{s1}) \chi_3}{l_p(s - c)}}{1 + 0,5 \frac{d_p - d_{op}}{l_p} + K_1 \frac{d + 2c_s}{D_p} \frac{\varphi l_{1p}}{\varphi_1 l_p}} \right\} =$	1
3	Изм.	б / н	Редикульцев	06.18	20/30КУ-3N-2470.00.00.000 PP	Лист	
2	Изм.	б / н	Редикульцев	06.18		43	
Изм.	Лист	№ док.	Подпись	Дата			

Допускаемое давление для узла врезки штуцера

$$[p] = \frac{2K_1(\varepsilon - c)\varphi[\sigma]}{D_p + (\varepsilon - c)V} = 4.652 \text{ МПа}$$

где

$$K_1 = 1$$

Приведенное суммарное напряжение в зоне обечайки

$$\sigma_{p-o} = 143.3 < 3[\sigma] = 357 \text{ МПа}$$

Приведенное мембранное напряжение в зоне обечайки

$$\sigma_{pm-o} = 133 < 1.5[\sigma] = 178.5 \text{ МПа}$$

Приведенное суммарное напряжение в зоне штуцера

$$\sigma_{p-шт} = 155.7 < 3[\sigma] = 357 \text{ МПа}$$

Приведенное мембранное напряжение в зоне штуцера

$$\sigma_{pm-шт} = 135.1 < 1.5[\sigma] = 178.5 \text{ МПа}$$

Приведенное суммарное напряжение на внутренней поверхности обечайки, перехода или днища

$$\sigma_{p-en-o} = 170.7 < 3[\sigma] = 357 \text{ МПа}$$

Приведенное суммарное напряжение на внутренней поверхности штуцера

$$\sigma_{p-en-шт} = 313.1 < 3[\sigma] = 357 \text{ МПа}$$

Узел врезки отвечает условиям прочности в соответствии с требованиями ГОСТ Р 52857.3-2007.

Инв. № подл.	Подп. и дата	Взам. инв.	Инв. №	Подп. и дата					
3	Изм.	б / н	Редикульцев	06.18	20/30КУ-3N-2470.00.00.000 PP				
2	Изм.	б / н	Редикульцев	06.18					
Изм.	Лист	№ док.	Подпись	Дата					
									Лист
									44

## 1.12. Патрубок штуцера Н DN50

Расчёт на прочность по ГОСТ Р 52857.2-2007.

Расчёт выполнен с помощью пакета прикладных программ расчёта на прочность элементов сосудов, аппаратов и трубопроводов PVP Design (Свидетельство о государственной регистрации 2008614973)

Элемент: Гладкая цилиндрическая обечайка, работающая под действием внутреннего давления.  
Режим: Рабочий.

### Исходные данные

Материал обечайки	20КА, Труба		
Расчётная температура	T	300	°C
Расчётное давление в сосуде	P	4.51	МПа
Внутренний диаметр обечайки	D	47	мм
Фактическая длина обечайки	Lact	62	мм
Толщина стенки обечайки	S	5	мм
Прибавка на коррозию	c <sub>1</sub>	3	мм
Прибавка – минусовый допуск	c <sub>2</sub>	0.6	мм
Прибавка технологическая	c <sub>3</sub>	0	мм
Сумма прибавок к расчётной толщине стенки (см. п.12 ГОСТ Р 52857.1)	c	3.6	мм
Коэффициент прочности продольного сварного шва	φ <sub>p</sub>	1	
Допускаемое напряжение	[σ]	119	МПа

### Результаты расчёта

Минимально допустимая расчётная толщина стенки обечайки от действия давления

$$S_p = \frac{pD}{2[\sigma]\phi_p - p} = 0.9078 \text{ мм}$$

Минимально допустимая расчётная толщина стенки обечайки от действия давления с учетом прибавки

$$S \geq S_p + C = 4.508 \text{ мм}$$

Допускаемое внутреннее давление

$$[p] = \frac{2[\sigma]\phi_p(S - C)}{D + (S - C)} = 6.884 \text{ МПа}$$

Наибольший диаметр отверстия не требующего доп. укрепления

$$d_o = 12.04 \text{ мм}$$

Обечайка отвечает условиям прочности в соответствии с требованиями ГОСТ Р 52857.2-2007.

Подп. и дата	Минимально допустимая расчётная толщина стенки обечайки от действия давления					$S_p = \frac{pD}{2[\sigma]_{\varphi_p} - p} =$	0.9078 мм
Инв. №	Минимально допустимая расчётная толщина стенки обечайки от действия давления с учетом прибавки					$S \geq S_p + C =$	4.508 мм
Взам. инв.	Допускаемое внутреннее давление					$[p] = \frac{2[\sigma]_{\varphi_p}(S - C)}{D + (S - C)} =$	6.884 МПа
Подп. и дата	Наибольший диаметр отверстия не требующего доп. укрепления					$d_o =$	12.04 мм
Инв. № подл.	Обечайка отвечает условиям прочности в соответствии с требованиями ГОСТ Р 52857.2-2007.						
Инв. № подл.	3	Изм.	б / н	Редикульцев	06.18	20/30КУ-3N-2470.00.00.000 PP	Лист
	2	Изм.	б / н	Редикульцев	06.18		45
	Изм.	Лист	№ док.	Подпись	Дата		

### 1.13. Фланец штуцера Н DN50 PN63

Расчёт на прочность и плотность по ASME Boiler and Pressure Vessel Code.

Расчёт выполнен с помощью пакета прикладных программ расчёта на прочность элементов сосудов, аппаратов и трубопроводов PVP Design (Свидетельство о государственной регистрации 2008614973)

Фланцевое соединение двух одинаковых фланцев из разных материалов.

Спирально-навитая прокладка.

Допускаемые напряжения для материалов фланцев принимаются по ГОСТ Р 52857.1-2007.

Режим: Рабочий.

#### Исходные данные

Материал фланца	20КА, Поковка
Материал обечайки	20КА, Труба
Материал второго фланца	20КА, Поковка
Материал второй обечайки	20КА, Труба
Материал болтов	35X, Diam = 2-M20
Материал прокладки	Спирально-навитая с лентой из нержавеющей стали

Расчётное давление	P (P <sub>1</sub> )	4.51	МПа
Допускаемое напряжение для материала болтов (шпилек) при температуре 20С	S <sub>a</sub>	160	МПа
Допускаемое напряжение для материала болтов (шпилек) при расчётной температуре	S <sub>b</sub>	160	МПа
Наружный диаметр прокладки	D <sub>ин</sub>	88	мм
Ширина прокладки	N	8	мм
Минимальное удельное давление смятия прокладки	q	69	МПа
Прокладочный коэффициент	m	3	
Диаметр окружности расположения болтов (шпилек)	C	135	мм
Диаметр болта(шпильки)	d	20	мм
Площадь сечения болта(шпильки) по наименьшему диаметру	f <sub>b</sub>	225	мм <sup>2</sup>
Количество болтов(шпилек)	n <sub>b</sub>	4	
Температура первого фланца (крышки)	T <sub>fl</sub>	300	С
Внутренний диаметр первого фланца	D	47	мм
Наружный диаметр первого фланца (крышки)	A	175	мм
Толщина тарелки первого фланца (крышки)	t (t <sub>fl</sub> )	26	мм
Толщина втулки первого фланца в месте присоединения к обечайке	S <sub>0</sub>	5.5	мм
Толщина втулки первого фланца в месте присоединения к тарелке	S <sub>1</sub>	19.5	мм
Высота конической части первой втулки	h	34	мм
Длина цилиндрической части втулки первого фланца	h <sub>цил</sub>	10	мм
Прибавка на коррозию для первого фланца (крышки)	c	3	мм
Допускаемое напряжение для материала первого фланца при температуре 20 С	S <sub>fa</sub>	147	МПа
Допускаемое напряжение для материала первого фланца при расчётной температуре	S <sub>fb</sub>	119	МПа
Допускаемое напряжение для материала первой обечайки (трубы) при температуре 20 С	S <sub>na</sub>	147	МПа
Допускаемое напряжение для материала первой обечайки (трубы) при расчётной температуре	S <sub>nb</sub>	119	МПа

Подп. и дата	Инв. №	Взам. инв.	Подп. и дата	Инв. № подл.	Прокладочный коэффициент					$m$	3	
					Диаметр окружности расположения болтов (шпилек)					$C$	135	мм
					Диаметр болта(шпильки)					$d$	20	мм
					Площадь сечения болта(шпильки) по наименьшему диаметру					$f_b$	225	мм <sup>2</sup>
					Количество болтов(шпилек)					$n_b$	4	
					Температура первого фланца (крышки)					$T_{fl}$	300	С
					Внутренний диаметр первого фланца					$D$	47	мм
					Наружный диаметр первого фланца (крышки)					$A$	175	мм
					Толщина тарелки первого фланца (крышки)					$t(t_{fl})$	26	мм
					Толщина втулки первого фланца в месте присоединения к обечайке					$S_0$	5.5	мм
					Толщина втулки первого фланца в месте присоединения к тарелке					$S_1$	19.5	мм
					Высота конической части первой втулки					$h$	34	мм
					Длина цилиндрической части втулки первого фланца					$h_{цил}$	10	мм
					Прибавка на коррозию для первого фланца (крышки)					$c$	3	мм
					Подп. и дата	Инв. № подл.	Допускаемое напряжение для материала первого фланца при температуре 20 С					$S_{fa}$
Допускаемое напряжение для материала первого фланца при расчётной температуре							$S_{fb}$	119	МПа			
Допускаемое напряжение для материала первой обечайки (трубы) при температуре 20 С							$S_{na}$	147	МПа			
Допускаемое напряжение для материала первой обечайки (трубы) при расчётной температуре							$S_{nb}$	119	МПа			
Инв. № подл.	Лист	3	Изм.	б / н	Редиккульцев	06.18	20/30КУ-3N-2470.00.00.000 PP					Лист
		2	Изм.	б / н	Редиккульцев	06.18						46
		Изм.	Лист	№ док.	Подпись	Дата						



$$h_D = R + \frac{g_1}{2} = 32.75 \text{ mm}$$
$$h_T = \frac{R + g_1 + h_G}{2} = 34.25 \text{ mm}$$

$K = \frac{A}{B} =$	3.302	$h_0 = \sqrt{Bg_0} =$	11.51	MM
$Y =$	1.709	$T =$	1.138	
$U =$	1.878	$Z =$	1.202	
$F =$	0.4187	$V =$	0.008248	
$f =$	1	$L = \frac{(Ft/h_0 + 1)}{T} + \frac{Vt^3}{Uh_0g_0^2} =$	2.783	

Гидростатическое усилие внутри фланца	$H_D = 0.785B^2 P  = 9945$	Н
Разница между общим гидростатическим усилием и гидростатическим усилием внутри фланца	$H_T = H - H_D = 1.271e+04$	Н
Усилие на прокладке в рабочих условиях	$H_G = W_{м1} - H = 2.72e+04$	Н
Составляющая момента от гидростатического усилия внутри фланца	$M_D = H_D h_D = 3.257e+05$	Н мм
Составляющая момента от разницы между общим гидростатическим усилием и гидростатическим усилием внутри фланца	$M_T = H_T h_T = 4.354e+05$	Н мм
Составляющая момента от усилия на прокладке в рабочих условиях	$M_G = H_G h_G = 7.481e+05$	Н мм

- в рабочих условиях:	$M_0 = M_D + M_T + M_G =$	1.509e+06	Н мм
- при затяжке	$M_0 = Wh_G =$	2.934e+06	Н мм

$$B_1 = \begin{cases} B & \text{при } B \geq 20S_1 \\ B + g_0 & \text{при } B < 20g_1 \text{ и } f > 1 \\ B + g_1 & \text{при } B < 20g_1 \text{ и } f = 1 \end{cases} = 69.5 \quad \text{мм}$$

Продольное напряжение во втулке фланца	$S_H = \frac{fM_0}{Lg_1^2 B_1} =$	28.66	<	$1.5S_{\text{ф}} = 178.5 \text{ МПа}$
Радиальное напряжение во фланце	$S_R = \frac{(1.33tF/h_0 + 1)M_0}{Lt^2 B} =$	34.17	<	$S_{\text{ф}} = 119 \text{ МПа}$
Окружное напряжение во фланце	$S_T = \frac{YM_0}{t^2 B} - ZS_R =$	30.91	<	$S_{\text{ф}} = 119 \text{ МПа}$

Инв. № подл.	Подп. и дата	Взам. инв.	Инв. №	Подп. и дата	лием внутри фланца																		
					Составляющая момента от усилия на прокладке в рабочих условиях	$M_G = H_G h_G =$	7.481e+05	Н мм															
<div>Суммарный момент, действующий на фланец</div> <div>- в рабочих условиях: <math>M_0 = M_D + M_T + M_G =</math> 1.509e+06 Н мм</div> <div>- при затяжке <math>M_0 = W h_G =</math> 2.934e+06 Н мм</div> <div>Приведенный внутренний диаметр фланца при определении продольных напряжений во втулке <math>B_1 = \left\{ \begin{array}{l} B \text{ при } B \geq 20 S_1 \\ B + g_0 \text{ при } B &lt; 20 g_1 \text{ и } f &gt; 1 \\ B + g_1 \text{ при } B &lt; 20 g_1 \text{ и } f = 1 \end{array} \right\} = 69.5</math> мм</div>																							
<div>Напряжения в расчётных сечениях фланца</div> <div>- в рабочих условиях:</div> <div>Продольное напряжение во втулке фланца <math>S_H = \frac{f M_0}{L g_1^2 B_1} =</math> 28.66 &lt; <math>1.5 S_{\text{ф}} = 178.5</math> МПа</div> <div>Радиальное напряжение во фланце <math>S_R = \frac{(1.33 t F / h_0 + 1) M_0}{L t^2 B} = 34.17</math> &lt; <math>S_{\text{ф}} = 119</math> МПа</div> <div>Окружное напряжение во фланце <math>S_T = \frac{Y M_0}{t^2 B} - Z S_R =</math> 30.91 &lt; <math>S_{\text{ф}} = 119</math> МПа</div>																							
Инв. № подл.	Подп. и дата	Взам. инв.	Инв. №	Подп. и дата	<table><tr><td>3</td><td>Изм.</td><td>б / н</td><td>Редикульцев</td><td>06.18</td><td rowspan="3">20/30КУ-3N-2470.00.00.000 PP</td><td>Лист</td></tr><tr><td>2</td><td>Изм.</td><td>б / н</td><td>Редикульцев</td><td>06.18</td><td rowspan="2">48</td></tr><tr><td>Изм.</td><td>Лист</td><td>№ док.</td><td>Подпись</td><td>Дата</td></tr></table>	3	Изм.	б / н	Редикульцев	06.18	20/30КУ-3N-2470.00.00.000 PP	Лист	2	Изм.	б / н	Редикульцев	06.18	48	Изм.	Лист	№ док.	Подпись	Дата
					3	Изм.	б / н	Редикульцев	06.18	20/30КУ-3N-2470.00.00.000 PP		Лист											
					2	Изм.	б / н	Редикульцев	06.18			48											
Изм.	Лист	№ док.	Подпись	Дата																			





*Усилия и моменты, действующие на фланец*

Гидростатическое усилие внутри фланца	$H_D = 0.785B^2 P  = 9945$	Н
Разница между общим гидростатическим усилием и гидростатическим усилием внутри фланца	$H_T = H - H_D = 1.271e+04$	Н
Усилие на прокладке в рабочих условиях	$H_G = W_{м1} - H = 2.72e+04$	Н
Составляющая момента от гидростатического усилия внутри фланца	$M_D = H_D h_D = 3.257e+05$	Н мм
Составляющая момента от разницы между общим гидростатическим усилием и гидростатическим усилием внутри фланца	$M_T = H_T h_T = 4.354e+05$	Н мм
Составляющая момента от усилия на прокладке в рабочих условиях	$M_G = H_G h_G = 7.481e+05$	Н мм

*Суммарный момент, действующий на фланец*

- в рабочих условиях:	$M_0 = M_D + M_T + M_G =$	1.509e+06	Н мм
- при затяжке	$M_0 = W h_G =$	2.934e+06	Н мм

Приведенный внутренний диаметр фланца при определении продольных напряжений во втулке	$B_1 = \begin{cases} B & \text{при } B \geq 20S_1 \\ B + g_0 & \text{при } B < 20g_1 \text{ и } f > 1 \\ B + g_1 & \text{при } B < 20g_1 \text{ и } f = 1 \end{cases} = 69.5$	мм
---	---	----

*Напряжения в расчётных сечениях фланца*

*- в рабочих условиях:*

Продольное напряжение во втулке фланца	$S_H = \frac{fM_0}{Lg_1^2 B_1} =$	28.66	<	$1.5S_{\text{ф}} = 178.5$ МПа
Радиальное напряжение во фланце	$S_R = \frac{(1.33tF / h_0 + 1)M_0}{Lt^2 B} =$	34.17	<	$S_{\text{ф}} = 119$ МПа
Окружное напряжение во фланце	$S_T = \frac{YM_0}{t^2 B} - ZS_R =$	30.91	<	$S_{\text{ф}} = 119$ МПа
Полусумма продольного и радиального напряжений во фланце	$\frac{S_H + S_R}{2} =$	31.42	<	$S_{\text{ф}} = 119$ МПа
Полусумма продольного и окружного напряжений во фланце	$\frac{S_H + S_T}{2} =$	29.78	<	$S_{\text{ф}} = 119$ МПа

*- при затяжке:*

Продольное напряжение во втулке фланца	$S_H = \frac{fM_0}{Lg_1^2 B_1} =$	55.71	<	$1.5S_{\text{ф2}} = 220.5$ МПа
Радиальное напряжение во фланце	$S_R = \frac{(1.33tF / h_0 + 1)M_0}{Lt^2 B} =$	66.43	<	$S_{\text{ф2}} = 147$ МПа
Окружное напряжение во фланце	$S_T = \frac{YM_0}{t^2 B} - ZS_R =$	60.09	<	$S_{\text{ф2}} = 147$ МПа

Подп. и дата		ние во втулке фланца	$S_H = \frac{1.33tF}{Lg_1^2 B_1} =$	28.66	<	$1.5S_{f_1} = 178.5$ МПа		
		Радиальное напряжение во фланце	$S_R = \frac{(1.33tF / h_0 + 1)M_0}{Lt^2 B} =$	34.17	<	$S_{f_2} = 119$ МПа		
		Окружное напряжение во фланце	$S_T = \frac{YM_0}{t^2 B} - ZS_R =$	30.91	<	$S_{f_2} = 119$ МПа		
		Полусумма продольно-го и радиального напряжений во фланце	$\frac{S_H + S_R}{2} =$	31.42	<	$S_{f_2} = 119$ МПа		
Инв. №		Полусумма продольно-го и окружного напря-жений во фланце	$\frac{S_H + S_T}{2} =$	29.78	<	$S_{f_2} = 119$ МПа		
Взам. инв.		- при затяжке:						
		Продольное напряже-ние во втулке фланца	$S_H = \frac{fM_0}{Lg_1^2 B_1} =$	55.71	<	$1.5S_{f_2} = 220.5$ МПа		
Подп. и дата		Радиальное напряжение во фланце	$S_R = \frac{(1.33tF / h_0 + 1)M_0}{Lt^2 B} =$	66.43	<	$S_{f_2} = 147$ МПа		
		Окружное напряжение во фланце	$S_T = \frac{YM_0}{t^2 B} - ZS_R =$	60.09	<	$S_{f_2} = 147$ МПа		
Инв. № подл.								
		3	Изм.	б / н	Редикульцев	06.18	20/30КУ-3N-2470.00.00.000 PP	Лист
		2	Изм.	б / н	Редикульцев	06.18		50
Изм.	Лист	№ док.	Подпись	Дата				

$$\begin{array}{llll} \frac{S_H + S_R}{2} = & 61.07 & < & S_{f_2} = 147 \text{ MIIa} \\ \frac{S_H + S_F}{2} = & 57.9 & < & S_{f_2} = 147 \text{ MIIa} \end{array}$$

Инв. № подл.	Подп. и дата	Взам. инв.	Инв. №	Подп. и дата
3	Изм.	б / н	Редикульцев	06.18
2	Изм.	б / н	Редикульцев	06.18
Изм.	Лист	№ док.	Подпись	Дата
<div> <div>20/30КУ-3N-2470.00.00.000 PP</div> <div> <div>Лист</div> <div>51</div> </div> </div>				



### Результаты расчёта

### Расчётный внутренний диаметр цилиндрической обечайки

$$D_p = D = 1600 \text{ mm}$$

### Расчётная толщина стенки корпуса

$$s_p = \frac{pD}{2[\sigma]\phi_p - p} = 30.9 \text{ mm}$$

### Расчётный диаметр отверстия

$$d_p = d + 2c_s = 31 \text{ mm}$$

### Расчётная толщина стенки штуцера

$$s_{ip} = \frac{p(d + 2c_s)}{2[\sigma] \varphi - p} = 0.5988 \text{ mm}$$

### Расчётная длина штуцера

$$l_{lp} = \min \left\{ l_1; 1,25 \sqrt{(d + 2c_s)(s_1 - c_s)} \right\} = 28.7 \text{ mm}$$

### Отношение допускаемых напряжений штуцера и корпуса

$$\chi_1 = \min \left\{ 1, 0, \frac{[\sigma]_1}{[\sigma]} \right\} = \quad 1$$

Ширина зоны укрепления, прилегающей к штуцеру

$$L_0 = \sqrt{D_p(s - c)} = 225.9 \text{ mm}$$

Расчётная ширина зоны укрепления, прилегающей к штуцеру

$$l_p = 225.9 \text{ mm}$$

Расчётный диаметр неукрепляемого отверстия

$$d_{\text{op}} = 0,4 \sqrt{D_p(s - c)} = 90.37 \text{ mm}$$

Коэффициент понижения прочности узла врезки штуцера

$$V = \min \left\{ 1; \frac{1 + \frac{l_{1p}(s_1 - c_s) \chi_1 + l_{2p}s_2 \chi_2 + l_{3p}(s_3 - c_s - c_{s1}) \chi_3}{l_p(s - c)}}{1 + 0,5 \frac{d_p - d_{op}}{l_p} + K_1 \frac{d + 2c_s}{D_p} \frac{\varphi l_{1p}}{\varphi l_p}} \right\} = 1$$

Допускаемое давление для узла врезки штуцера

$$[p] = \frac{2K_1(s-c)\phi[\sigma]}{D_p + (s-c)V} = \quad 4.652 \text{ MPa}$$

где

$$K_1 = 1$$

Узел врезки отвечает условиям прочности в соответствии с требованиями ГОСТ Р 52857.3-2007.

Инв. № подл.	Подп. и дата	Взам. инв.	Инв. №	Подп. и дата	Расчётный диаметр неукрепляемого отверстия	90.37 мм	
					$d_{\text{оп}} = 0,4 \sqrt{D_{\text{п}}(s - c)} =$		
Инв. № подл.	Подп. и дата	Взам. инв.	Инв. №	Подп. и дата	Коэффициент понижения прочности узла врезки штуцера	1	
					$V = \min \left\{ 1; \frac{1 + \frac{l_{1\text{п}}(s_1 - c_s) \chi_1 + l_{2\text{п}}s_2 \chi_2 + l_{3\text{п}}(s_3 - c_s - c_{s1}) \chi_3}{l_{\text{п}}(s - c)}}{1 + 0,5 \frac{d_{\text{п}} - d_{\text{оп}}}{l_{\text{п}}} + K_1 \frac{d + 2c_s}{D_{\text{п}}} \frac{\varphi l_{1\text{п}}}{\varphi l_{\text{п}}}} \right\} =$		
Инв. № подл.	Подп. и дата	Взам. инв.	Инв. №	Подп. и дата	Допускаемое давление для узла врезки штуцера	4.652 МПа	
					$[p] = \frac{2K_1(s - c)\varphi[\sigma]}{D_{\text{п}} + (s - c)V} V =$		
Инв. № подл.	Подп. и дата	Взам. инв.	Инв. №	Подп. и дата	где	1	
					$K_1 =$		
Инв. № подл.	Подп. и дата	Взам. инв.	Инв. №	Подп. и дата	Узел врезки отвечает условиям прочности в соответствии с требованиями ГОСТ Р 52857.3-2007.		
Инв. № подл.	3	Изм.	б / н	Редикульцев	06.18	20/30КУ-3N-2470.00.00.000 PP	Лист
	2	Изм.	б / н	Редикульцев	06.18		53
	Изм.	Лист	№ док.	Подпись	Дата		

### 1.15. Фланец штуцера F DN25 PN63

Расчёт на прочность и плотность по ASME Boiler and Pressure Vessel Code

Расчёт выполнен с помощью пакета прикладных программ расчёта на прочность элементов сосудов, аппаратов и трубопроводов PVP Design (Свидетельство о государственной регистрации 2008614973)

Фланцевое соединение двух отличающихся друг от друга фланцев.

Спирально-навитая прокладка.

Допускаемые напряжения для материалов фланцев принимаются по ГОСТ Р 52857.1-2007.

Режим: Рабочий.

#### Исходные данные

Материал фланца	20КА, Поковка
Материал обечайки	20КА, Поковка
Материал второго фланца	20КА, Поковка
Материал второй обечайки	20КА, Труба
Материал болтов	35X, Diam = 2-M16
Материал прокладки	Спирально-навитая с лентой из нержавеющей стали

Расчётное давление	P (P <sub>1</sub> )	4.51	МПа
Допускаемое напряжение для материала болтов (шпилек) при температуре 20С	S <sub>a</sub>	160	МПа
Допускаемое напряжение для материала болтов (шпилек) при расчётной температуре	S <sub>b</sub>	160	МПа
Наружный диаметр прокладки	D <sub>нп</sub>	58	мм
Ширина прокладки	N	8	мм
Минимальное удельное давление смятия прокладки	q	69	МПа
Прокладочный коэффициент	m	3	
Диаметр окружности расположения болтов (шпилек)	C	100	мм
Диаметр болта(шпильки)	d	16	мм
Площадь сечения болта(шпильки) по наименьшему диаметру	f <sub>b</sub>	144	мм <sup>2</sup>
Количество болтов(шпилек)	n <sub>b</sub>	4	
Температура первого фланца (крышки)	T <sub>fl</sub>	300	С
Внутренний диаметр первого фланца	D	25	мм
Наружный диаметр первого фланца (крышки)	A	135	мм
Толщина тарелки первого фланца (крышки)	t (t <sub>fl</sub> )	22	мм
Толщина втулки первого фланца в месте присоединения к обечайке	S <sub>0</sub>	4	мм
Толщина втулки первого фланца в месте присоединения к тарелке	S <sub>1</sub>	13.5	мм
Высота конической части первой втулки	h	28	мм
Длина цилиндрической части втулки первого фланца	h <sub>цил</sub>	8	мм
Прибавка на коррозию для первого фланца (крышки)	c	3	мм
Допускаемое напряжение для материала первого фланца при температуре 20 С	S <sub>fa</sub>	147	МПа
Допускаемое напряжение для материала первого фланца при расчётной температуре	S <sub>fb</sub>	119	МПа
Допускаемое напряжение для материала первой обечайки (трубы) при температуре 20 С	S <sub>na</sub>	147	МПа
Допускаемое напряжение для материала первой обечайки (трубы) при расчётной температуре	S <sub>nb</sub>	119	МПа

Подп. и дата	Инов. №	Взам. инв.	Подп. и дата	Инов. № подл.

3	Изм.	б / н	Редиккульцев	06.18	20/30КУ-3N-2470.00.00.000 PP	Лист
2	Изм.	б / н	Редиккульцев	06.18		54
Изм.	Лист	№ док.	Подпись	Дата		

Внутренний диаметр второго фланца	D	25	мм
Наружный диаметр второго фланца (крышки)	A	135	мм
Толщина тарелки второго фланца (крышки)	t (t <sub>f2</sub> )	22	мм
Толщина втулки второго фланца в месте присоединения к обечайке	S <sub>0</sub>	8	мм
Толщина втулки второго фланца в месте присоединения к тарелке	S <sub>1</sub>	13.5	мм
Высота конической части второй втулки	h	28	мм
Длина цилиндрической части втулки второго фланца	h <sub>цил</sub>	8	мм
Прибавка на коррозию для второго фланца (крышки)	c	3	мм
Допускаемое напряжение для материала второго фланца при температуре 20 С	S <sub>fa</sub>	147	МПа
Допускаемое напряжение для материала второго фланца при расчётной температуре	S <sub>fb</sub>	119	МПа
Допускаемое напряжение для материала второй обечайки при температуре 20 С	S <sub>na</sub>	147	МПа
Допускаемое напряжение для материала второй обечайки (трубы) при расчётной температуре	S <sub>nb</sub>	119	МПа









Радиальное напряжение во фланце	$S_R = \frac{(1.33tF/h_0 + 1)M_0}{Lt^2B} = 61.42$	<	$S_{f2} = 147 \text{ МПа}$
Окружное напряжение во фланце	$S_T = \frac{YM_0}{t^2B} - ZS_R = 84.01$	<	$S_{f2} = 147 \text{ МПа}$
Полусумма продольно- го и радиального напряжений во фланце	$\frac{S_H + S_R}{2} = 70.04$	<	$S_{f2} = 147 \text{ МПа}$
Полусумма продольно- го и окружного напря- жений во фланце	$\frac{S_H + S_T}{2} = 81.34$	<	$S_{f2} = 147 \text{ МПа}$

Условия прочности и герметичности фланцевого соединения выполняются.

Инв. № подл.	Подп. и дата	Взам. инв.	Инв. №	Подп. и дата					
3	Изм.	б / н	Редикульцев	06.18	20/30КУ-3N-2470.00.00.000 PP				Лист
2	Изм.	б / н	Редикульцев	06.18					59
Изм.	Лист	№ док.	Подпись	Дата					



Перерезывающая сила вдоль оси Y действующая на штуцер	$F_y$	1250	Н
Модуль продольной упругости материала обечайки	$E$	1.71e+05	МПа
Коэффициент Пуассона обечайки	$\mu$	0.3	
Модуль продольной упругости материала штуцера	$E_1$	1.71e+05	МПа
Коэффициент Пуассона штуцера	$\mu_1$	0.3	
Прибавка для компенсации коррозии и эрозии стенки корпуса	$c_1$	3	мм
Прибавка для компенсации минусового допуска стенки корпуса	$c_2$	1.1	мм
Прибавка технологическая стенки корпуса	$c_3$	0	мм
Прибавка для компенсации коррозии и эрозии стенки штуцера	$c_{s1}$	3	мм
Прибавка для компенсации минусового допуска стенки штуцера	$c_{s2}$	0	мм
Прибавка технологическая стенки штуцера	$c_{s3}$	0	мм
Сумма прибавок к расчётной толщине стенки корпуса	$c$	4.1	мм
Сумма прибавок к расчётной толщине стенки штуцера	$c_s$	3	мм

**Результаты расчёта**

Расчётный внутренний диаметр цилиндрической обечайки  
 $D_p = D =$  1600 мм

Расчётная толщина стенки корпуса  
 $s_p = \frac{pD}{2[\sigma]\varphi_p - p} =$  30.9 мм

Расчётный диаметр отверстия  
 $d_p = d + 2c_s =$  52 мм

Расчётная толщина стенки штуцера  
 $s_{1p} = \frac{p(d + 2c_s)}{2[\sigma]_1\varphi_1 - p} =$  1.004 мм

Расчётная длина штуцера  
 $l_{1p} = \min \{l_1; 1,25\sqrt{(d + 2c_s)(s_1 - c_s)}\} =$  37.17 мм

Отношение допускаемых напряжений штуцера и корпуса  
 $\lambda_1 = \min \left\{ 1, 0; \frac{[\sigma]_1}{[\sigma]} \right\} =$  1

Ширина зоны укрепления, прилегающей к штуцеру  
 $L_o = \sqrt{D_p(s - c)} =$  225.9 мм

Расчётная ширина зоны укрепления, прилегающей к штуцеру  
 $l_p =$  225.9 мм

Расчётный диаметр неукрепляемого отверстия  
 $d_{op} = 0,4\sqrt{D_p(s - c)} =$  90.37 мм

Коэффициент понижения прочности узла врезки штуцера

Инов. № подл.	Подп. и дата	Взам. инв.	Инов. №	Подп. и дата
---------------	--------------	------------	---------	--------------

3	Изм.	б / н	Редикульцев	06.18	<b>20/30КУ-3N-2470.00.00.000 PP</b>	Лист
2	Изм.	б / н	Редикульцев	06.18		61
Изм.	Лист	№ док.	Подпись	Дата		

$$V = \min \left\{ 1; \frac{1 + \frac{l_{1p}(s_1 - c_s) \chi_1 + l_{2p}s_2 \chi_2 + l_{3p}(s_3 - c_s - c_{s1}) \chi_3}{l_p(s - c)}}{1 + 0,5 \frac{d_p - d_{оп}}{l_p} + K_1 \frac{d + 2c_s}{D_p} \frac{\varphi l_{1p}}{\varphi_1 l_p}} \right\} = 1$$

Допускаемое давление для узла врезки штуцера

$$[p] = \frac{2K_1(s - c)\varphi[\sigma]}{D_p + (s - c)V} V = 4.652 \text{ МПа}$$

где

$$K_1 = 1$$

Приведенное суммарное напряжение в зоне обечайки

$$\sigma_{p-o} = 159.4 < 3[\sigma] = 357 \text{ МПа}$$

Приведенное мембранное напряжение в зоне обечайки

$$\sigma_{pm-o} = 140.2 < 1.5[\sigma] = 178.5 \text{ МПа}$$

Приведенное суммарное напряжение в зоне штуцера

$$\sigma_{p-шт} = 168.2 < 3\chi_1[\sigma] = 357 \text{ МПа}$$

Приведенное мембранное напряжение в зоне штуцера

$$\sigma_{pm-шт} = 147.4 < 1.5\chi_1[\sigma] = 178.5 \text{ МПа}$$

Приведенное суммарное напряжение на внутренней поверхности обечайки, перехода или днища

$$\sigma_{p-en-o} = 182.4 < 3[\sigma] = 357 \text{ МПа}$$

Приведенное суммарное напряжение на внутренней поверхности штуцера

$$\sigma_{p-en-шт} = 319.8 < 3\chi_1[\sigma] = 357 \text{ МПа}$$

Узел врезки отвечает условиям прочности в соответствии с требованиями ГОСТ Р 52857.3-2007

Инв. № подл.	Подп. и дата	Инв. №	Взам. инв.	Инв. № подл.	Подп. и дата	Инв. №	Взам. инв.	Инв. № подл.	Подп. и дата
3	Изм.	б / н	Редикульцев	06.18	20/30КУ-3N-2470.00.00.000 PP				Лист
2	Изм.	б / н	Редикульцев	06.18					62
Изм.	Лист	№ док.	Подпись	Дата					

## 1.17. Фланец штуцера G DN50 PN63

Расчёт на прочность и плотность по ASME Boiler and Pressure Vessel Code.

Расчёт выполнен с помощью пакета прикладных программ расчёта на прочность элементов сосудов, аппаратов и трубопроводов PVP Design (Свидетельство о государственной регистрации 2008614973)

Фланцевое соединение двух отличающихся друг от друга фланцев.

Спирально-навитая прокладка.

Допускаемые напряжения для материалов фланцев принимаются по ГОСТ Р 52857.1-2007.

Специальный расчёт с учетом внешней силы и изгибающего момента.

Режим: Рабочий.

### Исходные данные

Материал фланца	20КА, Поковка
Материал обечайки	20КА, Поковка
Материал второго фланца	20КА, Поковка
Материал второй обечайки	20КА, Труба
Материал болтов	35X, Diam = 2-M20
Материал прокладки	Спирально-навитая с лентой из нержавеющей стали

Расчётное давление	P (P <sub>1</sub> )	4.51	МПа
Внешний изгибающий момент, действующий на фланец	M	6.877e+05	Н мм
Внешняя осевая сила, действующая на фланец	F	1700	Н
Допускаемое напряжение для материала болтов (шпилек) при температуре 20С	S <sub>a</sub>	160	МПа
Допускаемое напряжение для материала болтов (шпилек) при расчётной температуре	S <sub>b</sub>	160	МПа
Наружный диаметр прокладки	D <sub>нп</sub>	88	мм
Ширина прокладки	N	8	мм
Минимальное удельное давление смятия прокладки	q	69	МПа
Прокладочный коэффициент	m	3	
Диаметр окружности расположения болтов (шпилек)	C	135	мм
Диаметр болта(шпильки)	d	20	мм
Площадь сечения болта(шпильки) по наименьшему диаметру	f <sub>b</sub>	201	мм <sup>2</sup>
Количество болтов(шпилек)	n <sub>b</sub>	4	
Температура первого фланца (крышки)	T <sub>fl</sub>	300	С
Внутренний диаметр первого фланца	D	46	мм
Наружный диаметр первого фланца (крышки)	A	175	мм
Толщина тарелки первого фланца (крышки)	t (t <sub>fl</sub> )	26	мм
Толщина втулки первого фланца в месте присоединения к обечайке	S <sub>0</sub>	20	мм
Толщина втулки первого фланца в месте присоединения к тарелке	S <sub>1</sub>	20	мм
Высота конической части первой втулки	h	34	мм
Длина цилиндрической части втулки первого фланца	h <sub>цил</sub>	10	мм
Прибавка на коррозию для первого фланца (крышки)	c	3	мм
Допускаемое напряжение для материала первого фланца при температуре 20 С	S <sub>fa</sub>	147	МПа
Допускаемое напряжение для материала первого фланца при расчётной температуре	S <sub>fb</sub>	119	МПа
Допускаемое напряжение для материала первой обечайки (трубы) при температуре 20 С	S <sub>na</sub>	147	МПа

Подп. и дата	Инв. №	Взам. инв.	Подп. и дата	Инв. № подл.	3	Изм.	б / н	Редикульцев	06.18	20/30КУ-3N-2470.00.00.000 PP	Лист
					2	Изм.	б / н	Редикульцев	06.18		63
					Изм.	Лист	№ док.	Подпись	Дата		

Допускаемое напряжение для материала первой обечайки (трубы) при расчётной температуре	$S_{nb}$	119	МПа
Внутренний диаметр второго фланца	$D$	47	мм
Наружный диаметр второго фланца (крышки)	$A$	175	мм
Толщина тарелки второго фланца (крышки)	$t(t_{f2})$	26	мм
Толщина втулки второго фланца в месте присоединения к обечайке	$S_0$	5.5	мм
Толщина втулки второго фланца в месте присоединения к тарелке	$S_1$	19.5	мм
Высота конической части второй втулки	$h$	34	мм
Длина цилиндрической части втулки второго фланца	$h_{цил}$	10	мм
Прибавка на коррозию для второго фланца (крышки)	$c$	3	мм
Допускаемое напряжение для материала второго фланца при температуре 20 С	$S_{fa}$	147	МПа
Допускаемое напряжение для материала второго фланца при расчётной температуре	$S_{fb}$	119	МПа
Допускаемое напряжение для материала второй обечайки при температуре 20 С	$S_{na}$	147	МПа
Допускаемое напряжение для материала второй обечайки (трубы) при расчётной температуре	$S_{nb}$	119	МПа

Результаты расчёта

Параметры прокладки и крепежа

Эффективная ширина прокладки:	$b = \begin{cases} N/2 & - \text{при } N \leq 12.7 \text{ мм} \\ 1.782\sqrt{N} & - \text{при } N > 12.7 \text{ мм} \end{cases} 4 \text{ мм}$
Средний диаметр прокладки	$G = D_{\text{нн}} - 2b = 80 \text{ мм}$
Расчётная площадь поперечного сечения болтов (шпилек)	$A_b = n_b f_b = 804 \text{ мм}^2$
Расстояние от места приложения силы реакции прокладки до болтовой окружности	$h_G = \frac{C - G}{2} = 27.5 \text{ мм}$

Определение усилий в болтах (шпильках) и проверка их прочности

Дополнительное расчётное усилие на болты (шпильки) фланцевого соединения, вызванное воздействием внешней осевой силы и изгибающего момента	$Q_{FM} = \text{Max} \left\{ F + \frac{4 M }{G}; 0 \right\} = 3.608\text{e}+04 \text{ Н}$
Минимальное усилие, необходимое для смятия прокладки	$W_{\text{ж2}} = \pi b G q = 6.937\text{e}+04 \text{ Н}$
Общее гидростатическое усилие, действующее на фланец	$H = 0.785 G^2  P  = 2.266\text{e}+04 \text{ Н}$
Общая сжимающая нагрузка на контактную поверхность соединения	$H_p = 2b \pi G m P = 2.72\text{e}+04 \text{ Н}$
Нагрузка на болты (шпильки) в рабочих условиях	$W_{\text{ж1}} = H + H_p + Q_{FM} = 8.594\text{e}+04 \text{ Н}$
Минимальная необходимая площадь сечения болтов (шпилек)	$A_{\text{ж}} = \text{Max} \left\{ \frac{W_{\text{ж1}}}{S_b}, \frac{W_{\text{ж2}}}{S_a} \right\} = 537.2 < A_b = 804 \text{ мм}^2$
Расчётное усилие в болтах (шпильках) при затяжке	$W = \frac{A_{\text{ж}} + A_b}{2} S_a = 1.073\text{e}+05 \text{ Н}$

Инв. № подл.	Подп. и дата	Взам. инв.	Инв. №	Подп. и дата	3	Изм.	б / н	Редикульцев	06.18	20/30КУ-3N-2470.00.00.000 PP	Лист
					2	Изм.	б / н	Редикульцев	06.18		64
					Изм.	Лист	№ док.	Подпись	Дата		



### Расчёт на прочность первого фланца ( $H=H_1, H_p=H_{p1}$ )

Расчётный внутренний диаметр фланца после снятия прибавки на коррозию

$$B = D + 2c = 52 \text{ мм}$$

Толщина втулки первого фланца в месте присоединения к обечайке, после снятия прибавки на коррозию

$$g_0 = S_0 - c = 17 \text{ мм}$$

Толщина втулки первого фланца в месте присоединения к тарелке, после снятия прибавки на коррозию

$$g_1 = S_1 - c = 17 \text{ мм}$$

Плечи действия сил:

Расстояние от окружности расположения болтов до точки пересечения втулки и основания фланца

$$R = \frac{(C - B)}{2} - g_1 = 24.5 \text{ мм}$$

Плечо действия гидростатического усилия внутри фланца

$$h_D = R + \frac{g_1}{2} = 33 \text{ мм}$$

Плечо действия разницы между общим гидростатическим усилием и гидростатическим усилием внутри фланца

$$h_T = \frac{R + g_1 + h_G}{2} = 34.5 \text{ мм}$$

### Коэффициенты

$$K = \frac{A}{B} = 3.365$$

$$h_0 = \sqrt{B g_0} = 29.73 \text{ мм}$$

$$Y = 1.68$$

$$T = 1.125$$

$$U = 1.846$$

$$Z = 1.194$$

$$F = 0.9087$$

$$V = 0.5496$$

$$f = 1$$

$$L = \frac{(Ft/h_0 + 1)}{T} + \frac{Vt^3}{U h_0 g_0^2} = 2.205$$

### Усилия и моменты, действующие на фланец

Гидростатическое усилие внутри фланца

$$H_D = 0.785 B^2 |P| = 9573 \text{ Н}$$

Разница между общим гидростатическим усилием и гидростатическим усилием внутри фланца

$$H_T = H - H_D = 1.309e+04 \text{ Н}$$

Усилие на прокладке в рабочих условиях

$$H_G = W_{м1} - H = 6.329e+04 \text{ Н}$$

Составляющая момента от гидростатического усилия внутри фланца

$$M_D = H_D h_D = 3.159e+05 \text{ Н мм}$$

Составляющая момента от разницы между общим гидростатическим усилием и гидростатическим усилием внутри фланца

$$M_T = H_T h_T = 4.514e+05 \text{ Н мм}$$

Составляющая момента от усилия на прокладке в рабочих условиях

$$M_G = H_G h_G = 1.74e+06 \text{ Н мм}$$

### Суммарный момент, действующий на фланец

- в рабочих условиях:

$$M_0 = M_D + M_T + M_G = 2.508e+06 \text{ Н мм}$$

- при затяжке

$$M_0 = W h_G = 2.951e+06 \text{ Н мм}$$

Приведенный внутренний диаметр фланца при определении продольных напряжений во втулке

$$B_1 = \begin{cases} B & \text{при } B \geq 20 S_1 \\ B + g_0 & \text{при } B < 20 g_1 \text{ и } f > 1 \\ B + g_1 & \text{при } B < 20 g_1 \text{ и } f = 1 \end{cases} = 69 \text{ мм}$$

Инв. № подл.	Подп. и дата	Взам. инв.	Инв. №	Подп. и дата					
Инв. № подл.	Подп. и дата	Взам. инв.	Инв. №	Подп. и дата	Лист				
3	Изм.	б / н	Редикульцев	06.18	20/30КУ-3N-2470.00.00.000 PP				
2	Изм.	б / н	Редикульцев	06.18					
Изм.	Лист	№ док.	Подпись	Дата					
									65

*Напряжения в расчётных сечениях фланца  
- в рабочих условиях:*

Продольное напряжение во втулке фланца	$S_H = \frac{fM_0}{Lg_1^2 B_1} =$	57.04	<	$1.5S_{f\phi} = 178.5$ МПа
Радиальное напряжение во фланце	$S_R = \frac{(1.33tF/h_0 + 1)M_0}{Lt^2 B} =$	66.55	<	$S_{f\phi} = 119$ МПа
Окружное напряжение во фланце	$S_T = \frac{YM_0}{t^2 B} - ZS_R =$	40.39	<	$S_{f\phi} = 119$ МПа
Полусумма продольного и радиального напряжений во фланце	$\frac{S_H + S_R}{2} =$	61.79	<	$S_{f\phi} = 119$ МПа
Полусумма продольного и окружного напряжений во фланце	$\frac{S_H + S_T}{2} =$	48.71	<	$S_{f\phi} = 119$ МПа

*- при затяжке:*

Продольное напряжение во втулке фланца	$S_H = \frac{fM_0}{Lg_1^2 B_1} =$	67.11	<	$1.5S_{fz} = 220.5$ МПа
Радиальное напряжение во фланце	$S_R = \frac{(1.33tF/h_0 + 1)M_0}{Lt^2 B} =$	78.3	<	$S_{fz} = 147$ МПа
Окружное напряжение во фланце	$S_T = \frac{YM_0}{t^2 B} - ZS_R =$	47.52	<	$S_{fz} = 147$ МПа
Полусумма продольного и радиального напряжений во фланце	$\frac{S_H + S_R}{2} =$	72.71	<	$S_{fz} = 147$ МПа
Полусумма продольного и окружного напряжений во фланце	$\frac{S_H + S_T}{2} =$	57.32	<	$S_{fz} = 147$ МПа

Расчёт на прочность второго фланца (H=H<sub>2</sub>, H<sub>p</sub>=H<sub>p2</sub>)

Расчётный внутренний диаметр фланца после снятия прибавки на коррозию	$B = D + 2c =$	69.5	мм
Толщина втулки второго фланца в месте присоединения к обечайке, после снятия прибавки на коррозию	$g_0 = S_0 - c =$	2.5	мм
Толщина втулки второго фланца в месте присоединения к тарелке, после снятия прибавки на коррозию	$g_1 = S_1 - c =$	16.5	мм
Плечи действия сил:			
Расстояние от окружности расположения болтов до точки пересечения втулки и основания фланца	$R = \frac{(C - B)}{2} - g_1 =$	24.5	мм
Плечо действия гидростатического усилия внутри фланца	$h_D = R + \frac{g_1}{2} =$	32.75	мм
Плечо действия разницы между общим гидростатическим усилием и гидростатическим усилием внутри фланца	$h_T = \frac{R + g_1 + h_G}{2} =$	34.25	мм

Подп. и дата									
Инв. №									
Взам. инв.									
Подп. и дата									
Инв. № подл.									
3	Изм.	б / н	Редикульцев	06.18	<b>20/30КУ-3N-2470.00.00.000 PP</b>				Лист
2	Изм.	б / н	Редикульцев	06.18					66
Изм.	Лист	№ док.	Подпись	Дата					

Инв. № подл.	Подп. и дата
Взам. инв.	Инв. №
Подп. и дата	
Инв. № подл.	

- Коэффициенты			
$K = \frac{A}{B} =$	3.302	$h_0 = \sqrt{Bg_0} =$	11.51      мм
$Y =$	1.709	$T =$	1.138
$U =$	1.878	$Z =$	1.202
$F =$	0.4187	$V =$	0.008248
$f =$	1	$L = \frac{(Ft/h_0 + 1)}{T} + \frac{Vt^3}{Uh_0g_o^2} =$	2.783

Усилия и моменты, действующие на фланец			
Гидростатическое усилие внутри фланца	$H_D = 0.785B^2 P  =$	9945	Н
Разница между общим гидростатическим усилием и гидростатическим усилием внутри фланца	$H_T = H - H_D =$	1.271e+04	Н
Усилие на прокладке в рабочих условиях	$H_G = W_{м1} - H =$	6.329e+04	Н
Составляющая момента от гидростатического усилия внутри фланца	$M_D = H_Dh_D =$	3.257e+05	Н мм
Составляющая момента от разницы между общим гидростатическим усилием и гидростатическим усилием внутри фланца	$M_T = H_T h_T =$	4.354e+05	Н мм
Составляющая момента от усилия на прокладке в рабочих условиях	$M_G = H_G h_G =$	1.74e+06	Н мм

Суммарный момент, действующий на фланец			
- в рабочих условиях:	$M_0 = M_D + M_T + M_G =$	2.502e+06	Н мм
- при затяжке	$M_0 = Wh_G =$	2.951e+06	Н мм
Приведенный внутренний диаметр фланца при определении продольных напряжений во втулке	$B_1 = \left\{ \begin{array}{l} B \text{ при } B \geq 20S_1 \\ B + g_0 \text{ при } B < 20g_1 \text{ и } f > 1 \\ B + g_1 \text{ при } B < 20g_1 \text{ и } f = 1 \end{array} \right\} =$	69.5	мм

Напряжения в расчётных сечениях фланца - в рабочих условиях:			
Продольное напряжение во втулке фланца	$S_H = \frac{fM_0}{Lg_1^2B_1} =$	47.5	$< 1.5S_{\text{ф}} = 178.5 \text{ МПа}$
Радиальное напряжение во фланце	$S_R = \frac{(1.33tF/h_0 + 1)M_0}{Lt^2B} =$	56.64	$< S_{\text{ф}} = 119 \text{ МПа}$
Окружное напряжение во фланце	$S_T = \frac{YM_0}{t^2B} - ZS_R =$	51.23	$< S_{\text{ф}} = 119 \text{ МПа}$
Полусумма продольного и радиального напряжений во фланце	$\frac{S_H + S_R}{2} =$	52.07	$< S_{\text{ф}} = 119 \text{ МПа}$
Полусумма продольного и окружного напряжений во фланце	$\frac{S_H + S_T}{2} =$	49.37	$< S_{\text{ф}} = 119 \text{ МПа}$

3	Изм.	б / н	Редикульцев	06.18	20/30КУ-3N-2470.00.00.000 PP	Лист
2	Изм.	б / н	Редикульцев	06.18		67
Изм.	Лист	№ док.	Подпись	Дата		

- при заťažке:

Продольное напряже- ние во втулке фланца	$S_H = \frac{fM_0}{Lg_1^2 B_1} =$	56.03	<	$1.5S_{f_2} = 220.5 \text{ МПа}$
---	-----------------------------------	-------	---	----------------------------------

Радиальное напряжение во фланце  $S_R = \frac{(1.33tF / h_0 + 1)M_0}{Lt^2B} = 66.81 < S_{fa} = 147 \text{ МПа}$

Окружное напряжение  
во фланце

$$S_T = \frac{Y M_0}{t^2 B} - Z S_R = 60.43 < S_{fa} = 147 \text{ МПа}$$

$$\frac{S_H + S_R}{2} = 61.42 < S_{fa} = 147 \text{ МПа}$$

Полусумма продольного и окружного напряжений во фланце

$$\frac{S_H + S_T}{2} = 58.23 < S_{fz} = 147 \text{ МПа}$$

Условия прочности и герметичности фланцевого соединения выполняются.

Инв. № подл.	Подп. и дата					Взам. инв.	Инв. №	Подп. и дата
3	Изм.	б / н	Редикульцев	06.18	<div>20/30КУ-3N-2470.00.00.000 PP</div>			
2	Изм.	б / н	Редикульцев	06.18				
Изм.	Лист	№ док.	Подпись	Дата				
					Лист			
					68			



Допускаемый изгибающий момент из условия прочности

$$[M]_{\text{п}} = \frac{\pi D(D + S - C)(S - C)[\sigma]}{4} = 1.489\text{e}+09 \text{ Н}\cdot\text{мм}$$

Допускаемый изгибающий момент

$$[M] = \frac{[M]_{\text{п}}}{\sqrt{1 + \left(\frac{[M]_{\text{п}}}{[M]_{\text{Е}}}\right)^2}} = 1.268\text{e}+09 \text{ Н}\cdot\text{мм}$$

Допускаемое поперечное усилие из условия устойчивости в пределах упругости

$$[Q]_{\text{Е}} = \frac{2.4E(S - C)^2}{n_y} \left[ 0.18 + 3.3 \frac{D(S - C)}{L^2} \right] = 1.183\text{e}+06 \text{ Н}$$

Допускаемое поперечное усилие из условия прочности

$$[Q]_{\text{п}} = \frac{\pi D(S - C)[\sigma]}{4} = 9.271\text{e}+05 \text{ Н}$$

Допускаемое перерезывающее усилие

$$[Q] = \frac{[Q]_{\text{п}}}{\sqrt{1 + \left(\frac{[Q]_{\text{п}}}{[Q]_{\text{Е}}}\right)^2}} = 7.298\text{e}+05 \text{ Н}$$

Условие устойчивости (п.5.3.7 ГОСТ Р 52857.2-2007)

$$\frac{M}{[M]} + \left( \frac{Q}{[Q]} \right)^2 = 0 < 1$$

Наибольший диаметр отверстия не требующего доп. укрепления

$$d_o = 452.2 \text{ мм}$$

Обечайка отвечает условиям прочности и устойчивости в соответствии с требованиями ГОСТ Р 52857.2-2007.

Инв. № подл.	Подп. и дата	Инв. №	Взам. инв.	Подп. и дата					
3	Изм.	б / н	Редикульцев	06.18	20/30КУ-3N-2470.00.00.000 PP				
2	Изм.	б / н	Редикульцев	06.18					
Изм.	Лист	№ док.	Подпись	Дата					
									Лист
									70

## 1.19. Штуцер Р DN50

Расчёт на прочность по ГОСТ Р 52857.3-2007.

Расчёт выполнен с помощью пакета прикладных программ расчёта на прочность элементов сосудов, аппаратов и трубопроводов PVP Design (Свидетельство о государственной регистрации 2008614973)

Элемент: Укрепление отверстий в обечайках и днищах.

Внутреннее давление.

Отверстие в цилиндрической обечайке.

Расчёт укрепления одиночного отверстия.

Укрепление непропущенным (непроходящим) штуцером.

Штуцер с осью нормальной к корпусу сосуда.

Только расчёт укрепления отверстия.

Режим: Рабочий.

### Исходные данные

Материал корпуса	20КА, Лист		
Материал штуцера	20КА, Поковка		
Расчётная температура	$T$	300	°C
Расчётное давление	$P$	0.3	МПа
Внутренний диаметр обечайки, днища или конического перехода, в месте расположения отверстия	$D$	1600	мм
Исполнительная толщина стенки обечайки, конического перехода или днища	$s$	10	мм
Коэффициент прочности сварных соединений обечаек и днищ	$\varphi$	1	
Допускаемое напряжение для материала обечайки, перехода или днища при расчётной температуре	$[\sigma]$	119	МПа
Внутренний диаметр штуцера	$d$	46	мм
Исполнительная толщина стенки штуцера	$s_1$	20	мм
Исполнительная длина штуцера (для заведомо длинных штуцеров $l_1=0$ )	$l_1$	208	мм
Допускаемое напряжение для материала штуцера	$[\sigma]_1$	119	МПа
Коэффициент прочности продольного сварного шва штуцера	$\varphi_1$	1	
Расстояние от наружной поверхности штуцера до ближайшего несущего конструктивного элемента (или $L_k=0$ )	$L_k$	129	мм
Прибавка для компенсации коррозии и эрозии стенки корпуса	$c_1$	3	мм
Прибавка для компенсации минусового допуска стенки корпуса	$c_2$	0.8	мм
Прибавка технологическая стенки корпуса	$c_3$	0	мм
Прибавка для компенсации коррозии и эрозии стенки штуцера	$c_{s1}$	3	мм
Прибавка для компенсации минусового допуска стенки штуцера	$c_{s2}$	0	мм
Прибавка технологическая стенки штуцера	$c_{s3}$	0	мм
Сумма прибавок к расчётной толщине стенки корпуса	$c$	3.8	мм
Сумма прибавок к расчётной толщине стенки штуцера	$c_s$	3	мм

### Результаты расчёта

Расчётный внутренний диаметр цилиндрической обечайки

Подп. и дата	Инов. №	Взам. инв.	Подп. и дата	Инов. № подл.					
					3	Изм.	б / н	Редикульцев	06.18
					2	Изм.	б / н	Редикульцев	06.18
					Изм.	Лист	№ док.	Подпись	Дата
					20/30КУ-3N-2470.00.00.000 PP				
					Лист				
					71				





## 1.20. Фланец штуцера Р DN50 PN63

Расчёт на прочность и плотность по ASME Boiler and Pressure Vessel Code.

Расчёт выполнен с помощью пакета прикладных программ расчёта на прочность элементов сосудов, аппаратов и трубопроводов PVP Design (Свидетельство о государственной регистрации 2008614973)

Фланцевое соединение фланца и крышки.

Спирально-навитая прокладка.

Допускаемые напряжения для материалов фланцев принимаются по ГОСТ Р 52857.1-2007.

Режим: Рабочий.

### Исходные данные

Материал фланца	20КА, Поковка
Материал обечайки	20КА, Поковка
Материал второго фланца	20КА, Поковка
Материал болтов	35Х, Diam = 2-M20
Материал прокладки	Спирально-навитая с лентой из нержавеющей стали

Расчётное давление	P (P <sub>1</sub> )	0.3	МПа
Допускаемое напряжение для материала болтов (шпилек) при температуре 20С	S <sub>a</sub>	160	МПа
Допускаемое напряжение для материала болтов (шпилек) при расчётной температуре	S <sub>b</sub>	160	МПа
Наружный диаметр прокладки	D <sub>нп</sub>	88	мм
Ширина прокладки	N	8	мм
Минимальное удельное давление смятия прокладки	q	69	МПа
Прокладочный коэффициент	m	3	
Диаметр окружности расположения болтов (шпилек)	C	135	мм
Диаметр болта(шпильки)	d	20	мм
Площадь сечения болта(шпильки) по наименьшему диаметру	f <sub>b</sub>	201	мм <sup>2</sup>
Количество болтов(шпилек)	n <sub>b</sub>	4	
Температура первого фланца (крышки)	T <sub>f1</sub>	300	С
Внутренний диаметр первого фланца	D	46	мм
Наружный диаметр первого фланца (крышки)	A	175	мм
Толщина тарелки первого фланца (крышки)	t (t <sub>f1</sub> )	26	мм
Толщина втулки первого фланца в месте присоединения к обечайке	S <sub>0</sub>	20	мм
Толщина втулки первого фланца в месте присоединения к тарелке	S <sub>1</sub>	20	мм
Высота конической части первой втулки	h	34	мм
Длина цилиндрической части втулки первого фланца	h <sub>цил</sub>	10	мм
Прибавка на коррозию для первого фланца (крышки)	c	3	мм
Допускаемое напряжение для материала первого фланца при температуре 20 С	S <sub>fa</sub>	147	МПа
Допускаемое напряжение для материала первого фланца при расчётной температуре	S <sub>fb</sub>	119	МПа
Допускаемое напряжение для материала первой обечайки (трубы) при температуре 20 С	S <sub>na</sub>	147	МПа
Допускаемое напряжение для материала первой обечайки (трубы) при расчётной температуре	S <sub>nb</sub>	119	МПа
Наружный диаметр второго фланца (крышки)	A	175	мм
Толщина тарелки второго фланца (крышки)	t (t <sub>f2</sub> )	18	мм
Толщина крышки	t (t <sub>f2</sub> )	22	мм

Подп. и дата	Инов. №	Взам. инв.	Подп. и дата	Инов. № подл.	3	Изм.	б / н	Редиккульцев	06.18	20/30КУ-3N-2470.00.00.000 PP	Лист
					2	Изм.	б / н	Редиккульцев	06.18		73
					Изм.	Лист	№ док.	Подпись	Дата		

Прибавка на коррозию для второго фланца (крышки)	c	3	мм
Допускаемое напряжение для материала второго фланца при температуре 20 С	S <sub>fa</sub>	147	МПа
Допускаемое напряжение для материала второго фланца при расчётной температуре	S <sub>fb</sub>	119	МПа

Результаты расчёта

Параметры прокладки и крепежа

Эффективная ширина прокладки:	$b = \begin{cases} N/2 & - \text{при } N \leq 12.7 \text{ мм} \\ 1.782\sqrt{N} & - \text{при } N > 12.7 \text{ мм} \end{cases}$	4 мм
Средний диаметр прокладки	$G = D_{\text{нн}} - 2b =$	80 мм
Расчётная площадь поперечного сечения бол-тов (шпилек)	$A_b = n_b f_b =$	804 мм²
Расстояние от места приложения силы реак-ции прокладки до болтовой окружности	$h_G = \frac{C - G}{2} =$	27.5 мм

Определение усилий в болтах (шпильках) и проверка их прочности

Минимальное усилие, необходимое для смятия прокладки	$W_{\text{м2}} = \pi b G q =$	6.937e+04 Н
Общее гидростатическое усилие, действующее на фланец	$H = 0.785 G^2  P  =$	1507 Н
Общая сжимающая нагрузка на контактную поверхность со-единения	$H_p = 2b \pi G m P =$	1810 Н
Нагрузка на болты (шпильки) в рабочих условиях	$W_{\text{м1}} = H + H_p =$	3317 Н
Минимальная необходимая площадь сечения болтов (шпилек)	$A_{\text{м}} = \text{Max} \left\{ \frac{W_{\text{м1}}}{S_b}, \frac{W_{\text{м2}}}{S_a} \right\} = 433.5$	< $A_b = 804 \text{ мм}^2$
Расчётное усилие в болтах (шпильках) при затяжке	$W = \frac{A_{\text{м}} + A_b}{2} S_a =$	9.9e+04 Н

Расчёт на прочность фланца

Расчётный внутренний диаметр фланца после снятия прибав-ки на коррозию	$B = D + 2c =$	52 мм
Толщина втулки первого фланца в месте присоединения к обечайке, после снятия прибавки на коррозию	$g_0 = S_0 - c =$	17 мм
Толщина втулки первого фланца в месте присоединения к тарелке, после снятия прибавки на коррозию	$g_1 = S_1 - c =$	17 мм
Плечи действия сил:		
Расстояние от окружности расположения болтов до точки пе-ресечения втулки и основания фланца	$R = \frac{(C - B)}{2} - g_1 =$	24.5 мм
Плечо действия гидростатического усилия внутри фланца	$h_D = R + \frac{g_1}{2} =$	33 мм
Плечо действия разницы между общим гидростатическим усилием и гидростатическим усилием внутри фланца	$h_T = \frac{R + g_1 + h_G}{2} =$	34.5 мм

Инв. № подл.	Подп. и дата	Взам. инв.	Инв. №	Подп. и дата	<div>площадь сечения болтов (шпилек)<div><math display="block">F_m = \min \left\{ S_d, S_a \right\} = 455.5</math><math display="block">&lt; 804 \text{ мм}</math></div><div>Расчётное усилие в болтах (шпильках) при затяжке<div><math display="block">W = \frac{A_m + A_d}{2} S_a = 9.9\text{e}+04</math><div>Н</div></div></div></div>	
<div>Расчёт на прочность фланца</div> <div>Расчётный внутренний диаметр фланца после снятия прибавки на коррозию<div><math display="block">B = D + 2c = 52 \text{ мм}</math></div></div> <div>Толщина втулки первого фланца в месте присоединения к обечайке, после снятия прибавки на коррозию<div><math display="block">g_0 = S_0 - c = 17 \text{ мм}</math></div></div> <div>Толщина втулки первого фланца в месте присоединения к тарелке, после снятия прибавки на коррозию<div><math display="block">g_1 = S_1 - c = 17 \text{ мм}</math></div></div> <div>Плечи действия сил:<div>Расстояние от окружности расположения болтов до точки пересечения втулки и основания фланца<div><math display="block">R = \frac{(C - B)}{2} - g_1 = 24.5 \text{ мм}</math></div></div></div> <div>Плечо действия гидростатического усилия внутри фланца<div><math display="block">h_D = R + \frac{g_1}{2} = 33 \text{ мм}</math></div></div> <div>Плечо действия разницы между общим гидростатическим усилием и гидростатическим усилием внутри фланца<div><math display="block">h_T = \frac{R + g_1 + h_G}{2} = 34.5 \text{ мм}</math></div></div>						
3	Изм.	б / н	Редикульцев	06.18	20/30КУ-3N-2470.00.00.000 PP	Лист
2	Изм.	б / н	Редикульцев	06.18		74
Изм.	Лист	№ док.	Подпись	Дата		





## 1.21. Крышка штуцера Р DN50 PN63

Расчёт на прочность по ГОСТ Р 52857.2-2007.

Расчёт выполнен с помощью пакета прикладных программ расчёта на прочность элементов сосудов, аппаратов и трубопроводов PVP Design (Свидетельство о государственной регистрации 2008614973)

Элемент: Плоская круглая крышка с дополнительным краевым моментом.

Режим: Рабочий.

### Исходные данные

Расчётная температура	T	300	°C
Расчётное давление (по абсолютной величине)	P	0.3	МПа
Наружный диаметр крышки	D <sub>н</sub>	175	мм
Наименьший диаметр наружной утоненной части крышки	D <sub>2</sub>	87	мм
Диаметр болтовой окружности	D <sub>3</sub>	135	мм
Ширина прокладки	b <sub>п</sub>	8	мм
Исполнительная толщина днища (крышки)	s <sub>1</sub>	22	мм
Исполнительная толщина крышки в месте уплотнения или кольцевой выточки	s <sub>2</sub>	22	мм
Исполнительная толщина крышки вне уплотнения	s <sub>3</sub>	18	мм
Прибавка для компенсации коррозии и эрозии к расчётной толщине стенки крышки	c <sub>11</sub>	3	мм
Прибавка для компенсации минусового допуска к расчётной толщине стенки крышки	c <sub>12</sub>	0	мм
Прибавка технологическая к расчётной толщине стенки крышки	c <sub>13</sub>	0	мм
Сумма прибавок к расчётной толщине днища (крышки)	c <sub>1</sub>	3	мм
Коэффициент прочности сварных швов днища (крышки)	φ	1	
Допускаемое напряжение для материала днища (крышки) в рабочих условиях	[σ] <sub>р</sub>	119	МПа
Допускаемое напряжение для материала днища (крышки) в условиях монтажа до подачи давления	[σ] <sub>м</sub>	147	МПа
Нагрузка на болты крепления крышки в рабочих условиях (см. результаты расчёта по ГОСТ Р 52857.4-2007)	F <sub>бр</sub>	1507	Н
Нагрузка на болты крепления крышки в условиях монтажа до подачи давления (см. результаты расчёта по ГОСТ Р 52857.4-2007)	F <sub>бм</sub>	9.9e+04	Н

### Результаты расчёта

Средний диаметр прокладки  $1.5S_{\text{ф}} =$  80 мм

Расчётный диаметр днища (крышки):  $D_p =$  80 мм

Поправочный коэффициент, учитывающий напряжения сдвига:

$$K_p = \min \left\{ 1; \frac{2,2}{1 + \sqrt{1 + \left( 6 \frac{s_1 - c}{D_p} \right)^2}} \right\} = 0.8027$$

Подп. и дата	Инв. №	Взам. инв.	Подп. и дата	Инв. № подл.					
					3	Изм.	б / н	Редикульцев	06.18
					2	Изм.	б / н	Редикульцев	06.18
					Изм.	Лист	№ док.	Подпись	Дата
					20/30КУ-3N-2470.00.00.000 РР				
					Лист 77				

$$Q_H = 0,785 p D_{c.n.}^2 = 1507 \text{ H}$$

$$\psi = \frac{F_6^{\mathbb{P}}}{Q_{\mathbb{P}} -} \quad 2.201$$

$$K_6 = 0,41 \sqrt{\frac{1 + 3\psi \left( \frac{D_3}{D_{\text{сн}}} - 1 \right)}{\frac{D_3}{D_{\text{сн}}}}} = 0.7428$$

$$[p] = K_p \left( \frac{s_1 - c}{K_o K_6 D_p} \right)^2 [\sigma] \varphi = 9.765 \text{ МПа}$$

$$\Phi = \max \left\{ \frac{P_6^P}{[\sigma]_P}; \frac{P_6^M}{[\sigma]_M} \right\} = 673.5 \text{ mm}^2$$

$$K_7 = 0,8 \sqrt{\frac{D_3}{D_{c\pi}}} - 1 = 0.6633$$

$$s_2 \geq \max \left\{ K_7 \sqrt{\Phi}; \frac{0,6}{D_{\text{en}}} \Phi \right\} + c = 20.21 \text{ mm}$$

$$K_7 = 0,8 \sqrt{\frac{D_3}{D_2} - 1} = 0.5942 \text{ mm}$$

$$s_3 \geq \max \left\{ K_7 \sqrt{\Phi}; \frac{0,6}{D_2} \Phi \right\} = \quad 15.42$$

Плоская круглая крышка отвечает условиям прочности в соответствии с требованиями ГОСТ Р 52857.2-2007.

Инв. № подл.	Подп. и дата	Взам. инв.	Инв. №	Подп. и дата	Толщина плоской круглой крышки с дополнительным краевым моментом в месте уплотнения:	$\varepsilon_2 \geq \max \left\{ K_7 \sqrt{\Phi}; \frac{0,6}{D_{\text{сп}}} \Phi \right\} + c =$	20.21 мм	
					Коэффициент K7 для расчёта толщины плоской круглой крышки вне зоны уплотнения:	$K_7 = 0,8 \sqrt{\frac{D_3}{D_2} - 1} =$	0.5942 мм	
					Толщина плоской круглой крышки с дополнительным краевым моментом вне зоны уплотнения:	$\varepsilon_3 \geq \max \left\{ K_7 \sqrt{\Phi}; \frac{0,6}{D_2} \Phi \right\} =$	15.42	
					Плоская круглая крышка отвечает условиям прочности в соответствии с требованиями ГОСТ Р 52857.2-2007.			
3	Изм.	б / н	Редикульцев	06.18	<b>20/30КУ-3N-2470.00.00.000 PP</b>		Лист	
2	Изм.	б / н	Редикульцев	06.18				78
Изм.	Лист	№ док.	Подпись	Дата				







## 2. Расчет корпуса котла при внешнем давлении

### 2.1. Цилиндрическая обечайка корпуса DN1600

Расчёт на прочность по ГОСТ Р 52857.2-2007.

Расчёт выполнен с помощью пакета прикладных программ расчёта на прочность элементов сосудов, аппаратов и трубопроводов PVP Design (Свидетельство о государственной регистрации 2008614973)

Элемент: Гладкая цилиндрическая обечайка, работающая под действием наружного давления - изгибающего момента.

Режим: Расчет на вакуум.

#### Исходные данные

Материал обечайки

20КА, Лист

Расчётная температура	T	252	°C
Расчётное давление	P	0.1	МПа
Расчётный изгибающий момент	M	0	Н·мм
Расчётное поперечное усилие	Q	0	Н
Внутренний диаметр обечайки	D	1600	мм
Фактическая длина обечайки	Lact	3780	мм
Расчётная длина обечайки	L	4322	мм
Толщина стенки обечайки	S	36	мм
Прибавка на коррозию	c <sub>1</sub>	3	мм
Прибавка – минусовый допуск	c <sub>2</sub>	1.1	мм
Прибавка технологическая	c <sub>3</sub>	0	мм
Сумма прибавок к расчётной толщине стенки (см. п.12 ГОСТ Р 52857.1)	c	4.1	мм
Коэффициент прочности продольного сварного шва	φ <sub>p</sub>	1	
Допускаемое напряжение	[σ]	131	МПа
Модуль продольной упругости	E	1.755e+05	МПа

#### Результаты расчёта

Допускаемое наружное давление

$$[p] = \frac{[p]_k}{\sqrt{1 + \left( \frac{[p]_k}{[p]_E} \right)^2}} = 2.69 \text{ МПа}$$

Допускаемое наружное давление из условий прочности

$$[p]_k = \frac{2[\sigma](s - c)}{D + (s - c)} = 5.122 \text{ МПа}$$

Допускаемое наружное давление из условий устойчивости в пределах упругости

$$[p]_E = \frac{20,8 \cdot 10^{-6} E D}{n_y \cdot B_1} \left[ \frac{100(s - c)}{D} \right]^{2,5} = 3.16$$

Подп. и дата	Инв. №	Взам. инв.	Подп. и дата	Инв. № подл.					
					3	Изм.	б / н	Редикульцев	06.18
					2	Изм.	б / н	Редикульцев	06.18
					Изм.	Лист	№ док.	Подпись	Дата
					20/30КУ-3N-2470.00.00.000 PP				
					Лист				
					81				

Коэффициент

$$B_1 = \min \left\{ 1, 0; \quad 9,45 \frac{D}{L} \sqrt{\frac{D}{100(s-c)}} \right\} = \quad 1$$

Допускаемое осевое сжимающее усилие из условия местной устойчивости в пределах упругости

$$[F]_{E1} = \frac{31 \cdot 10^{-5} E}{n_v} D^2 \left[ \frac{100(S-C)}{D} \right]^{2.5} = 3.257e+08 \text{ H}$$

Допускаемое осевое усилие из условия устойчивости в пределах упругости

$$[F]_E = \text{Min} \{ [F]_{E1}, [F]_{E2} \} = 3.257\text{e}+08 \text{ H}$$

Допускаемое осевое сжимающее усилие из условия прочности

$$[F]_{\pi} = \pi(D + S - C)(S - C)[\sigma] = 2.142\text{e}+07 \text{ H}$$

Допускаемый изгибающий момент из условий устойчивости в пределах упругости

$$[M]_E = \frac{89 \cdot 10^{-6} E}{n_v} D^3 \left[ \frac{100(S - C)}{D} \right]^{2.5} = 1.489e+11 \text{ H} \cdot \text{MM}$$

### Допускаемый изгибающий момент из условия прочности

$$[M]_{\pi} = \frac{\pi D(D+S-C)(S-C)[\sigma]}{4} = 8.57e+09 \text{ H}\cdot\text{MM}$$

### Допускаемый изгибающий момент

$$[M] = \frac{[M]_{\text{H}}}{\sqrt{1 + \left( \frac{[M]_{\text{H}}}{[M]_{\text{E}}} \right)^2}} = 8.556\text{e}+09 \text{ H}\cdot\text{MM}$$

Допускаемое поперечное усилие из условия устойчивости в пределах упругости

$$[Q]_E = \frac{2.4E(S-C)^2}{n_v} \left[ 0.18 + 3.3 \frac{D(S-C)}{L^2} \right] = 3.215e+07 \text{ H}$$

Допускаемое поперечное усилие из условия прочности

$$[Q]_r = \frac{\pi D(S-C)[\sigma]}{4} = 5.251 \text{e}+06 \text{ H}$$

Допускаемое перерезывающее усилие

$$[Q] = \frac{[Q]_T}{\sqrt{1 + \left(\frac{[Q]_T}{[Q]_E}\right)^2}} = 5.183\text{e}+06 \text{ H}$$

Условие устойчивости (п.5.3.7 ГОСТ Р 52857.2-2007)

$$\frac{p}{[p]} + \frac{M}{[M]} + \left( \frac{Q}{[Q]} \right)^2 = 0.03718 < 1$$

Наибольший диаметр отверстия не требующего доп. укрепления

$$d_{\text{eff}} = 1600 \text{ mm}$$

Обечайка отвечает условиям прочности и устойчивости в соответствии с требованиями ГОСТ Р 52857.2-2007.

Инв. № подл.	Подп. и дата						
	Инв. №						
Взам. инв.	Допускаемое поперечное усилие из условия устойчивости в пределах упругости						
	$[Q]_{\text{Е}} = \frac{2.4E(S - C)^2}{n_y} \left[ 0.18 + 3.3 \frac{D(S - C)}{L^2} \right] = 3.215\text{e}+07 \text{ Н}$						
Подп. и дата	Допускаемое поперечное усилие из условия прочности						
	$[Q]_{\text{Р}} = \frac{\pi D(S - C)[\sigma]}{4} = 5.251\text{e}+06 \text{ Н}$						
Подп. и дата	Допускаемое перерезывающее усилие						
	$[Q] = \frac{[Q]_{\text{Р}}}{\sqrt{1 + \left( \frac{[Q]_{\text{Р}}}{[Q]_{\text{Е}}} \right)^2}} = 5.183\text{e}+06 \text{ Н}$						
Взам. инв.	Условие устойчивости (п.5.3.7 ГОСТ Р 52857.2-2007)						
	$\frac{P}{[P]} + \frac{M}{[M]} + \left( \frac{Q}{[Q]} \right)^2 = 0.03718 < 1$						
Подп. и дата	Наибольший диаметр отверстия не требующего доп. укрепления						
	$d_o = 1600 \text{ мм}$						
Подп. и дата	Обечайка отвечает условиям прочности и устойчивости в соответствии с требованиями ГОСТ Р 52857.2-2007.						
Инв. № подл.	3	Изм.	б / н	Редикульцев	06.18	20/30КУ-3N-2470.00.00.000 PP	Лист
	2	Изм.	б / н	Редикульцев	06.18		82
	Изм.	Лист	№ док.	Подпись	Дата		

## 2.2. Неподвижная трубная решетка

Расчёт на прочность по ГОСТ Р 52857.7–2007.

*Расчёт выполнен с помощью пакета прикладных программ расчёта на прочность элементов сосудов, аппаратов и трубопроводов PVP Design (Свидетельство о государственной регистрации 2008614973)*

Элементы кожухотрубчатого теплообменного аппарата  
с неподвижными трубными решетками.

Режим: Расчет на вакуум.

Аппарат с перегородками по межтрубному пространству.

Аппарат без перегородок по трубному пространству.

Решетка, вваренная в кожух.

Крепление труб к решетке развальцовкой с обваркой.

Трубы развальцованные в пазы при наличии одного паза.

Специальная проверка жесткости решеток не нужна.

### *Исходные данные*

Материал кожуха

Материал труб

Материал решеток

20КА, Лист

Сталь20, Труба

20КА, Поковка

Средняя температура стенки кожуха

$t_k$  252 °C

Средняя температура труб

$t_T$  252 °C

Расчётная температура кожуха

$T_k$  252 °C

Расчётная температура труб

$T_T$  252 °C

Расчётная температура решетки

$T_p$  252 °C

Расчётное давление в межтрубном пространстве

$P_m$  -0.1 МПа

Расчётное давление в трубном пространстве

$P_T$  0 МПа

Максимально возможный перепад давлений, действующих  
на решетку

$P_r$  0.1 МПа

Количество циклов нагружения за расчётный срок службы

$N$  2000

Модуль продольной упругости материала кожуха

$E_k$  1.755e+05 МПа

Модуль продольной упругости материала фланцев кожуха

$E_l$  1.755e+05 МПа

Модуль продольной упругости материала камеры

$E_d$  1.755e+05 МПа

Модуль продольной упругости материала труб

$E_T$  1.755e+05 МПа

Модуль продольной упругости материала решетки

$E_p$  1.755e+05 МПа

Коэффициент линейного расширения материала кожуха  
при температуре  $t_k$

$\alpha_k$  1.285e-05 1/°C

Коэффициент линейного расширения материала труб  
при температуре  $t_T$

$\alpha_T$  1.285e-05 1/°C

Допускаемое напряжение для материала кожуха при температуре  $T_k$

$[\sigma]_k$  131 МПа

Допускаемое напряжение для материала труб при температуре  $T_T$

$[\sigma]_T$  131 МПа

Допускаемое напряжение для материала решетки при температуре  $T_p$

$[\sigma]_p$  131 МПа

Допускаемая амплитуда напряжений для материала кожуха  
при температуре  $T_k$

$[\sigma_a]_k$  469.5 МПа

Допускаемая амплитуда напряжений для материала труб  
при температуре  $T_T$

$[\sigma_a]_T$  469.5 МПа

Допускаемая амплитуда напряжений для материала решетки  
при температуре  $T_p$

$[\sigma_a]_p$  469.5 МПа

Внутренний диаметр кожуха

$D$  1600 мм

Инв. № подл.	Подп. и дата	Взам. инв.	Инв. №	Подп. и дата	Расчётное давление в межтрубном пространстве	$P_m$	-0.1	МПа
					Расчётное давление в трубном пространстве	$P_T$	0	МПа
					Максимально возможный перепад давлений, действующих на решетку	$P_r$	0.1	МПа
					Количество циклов нагружения за расчётный срок службы	N	2000	
					Модуль продольной упругости материала кожуха	$E_k$	1.755e+05	МПа
					Модуль продольной упругости материала фланцев кожуха	$E_l$	1.755e+05	МПа
					Модуль продольной упругости материала камеры	$E_d$	1.755e+05	МПа
					Модуль продольной упругости материала труб	$E_T$	1.755e+05	МПа
					Модуль продольной упругости материала решетки	$E_p$	1.755e+05	МПа
					Коэффициент линейного расширения материала кожуха при температуре $t_k$	$\alpha_k$	1.285e-05	1/°C
					Коэффициент линейного расширения материала труб при температуре $t_T$	$\alpha_T$	1.285e-05	1/°C
					Допускаемое напряжение для материала кожуха при температуре $T_k$	$[\sigma]_k$	131	МПа
					Допускаемое напряжение для материала труб при температуре $T_T$	$[\sigma]_T$	131	МПа
					Допускаемое напряжение для материала решетки при температуре $T_p$	$[\sigma]_p$	131	МПа
					Инв. № подл.	Подп. и дата	Взам. инв.	Инв. №
Допускаемая амплитуда напряжений для материала труб при температуре $T_T$	$[\sigma_a]_T$	469.5	МПа					
Допускаемая амплитуда напряжений для материала решетки при температуре $T_p$	$[\sigma_a]_p$	469.5	МПа					
Инв. № подл.	Подп. и дата	Взам. инв.	Инв. №	Подп. и дата	Внутренний диаметр кожуха	D	1600	мм
3	Изм.	б / н	Редикульцев	06.18	20/30КУ-3N-2470.00.00.000 PP			Лист
2	Изм.	б / н	Редикульцев	06.18				83
Изм.	Лист	№ док.	Подпись	Дата				

Инв. № подл.	Подп. и дата	Взам. инв.	Инв. №	Подп. и дата	Толщина трубой решетки в сечений канавки под перегородку	$S_n$	40	мм			
					Толщина трубной решетки в зоне кольцевой канавки	$S_{p1}$	40	мм			
					Прибавка к толщине трубной решетки для компенсации коррозии и эрозии	$C_{p1}$	6	мм			
					Прибавка к толщине трубной решетки для компенсации минусового допуска	$C_{p2}$	0	мм			
					Прибавка технологическая к толщине трубной решетки	$C_{p3}$	0	мм			
					Расчётная прибавка к толщине трубной решетки	$C$	6	мм			
					Диаметр отверстий под трубы в решетке	$d_o$	50.5	мм			
					Шаг расположения отверстий под трубы в решетке	$t_p$	65	мм			
					Глубина развальцовки труб	$l_b$	29	мм			
					Высота сварного шва в месте приварки трубы к решетке	$\delta$	3	мм			
					Диаметр окружности, вписанной в максимальную беструбную площадь	$D_e$	200	мм			
					Эффективный коэффициент концентрации напряжений в месте приварки решетки	$K_\sigma$	1.7				
					Максимальный пролет трубы между решеткой и перегородкой	$l_{1r}$	900	мм			
					Максимальный пролет трубы между перегородками	$l_{2r}$	895	мм			
					Инв. № подл.	Подп. и дата	Взам. инв.	Инв. №	Подп. и дата	<b>Результаты расчёта</b>	
Внутренний радиус кожуха:											
$a = \frac{D}{2} =$											
800 мм											
Инв. № подл.	Подп. и дата	Взам. инв.	Инв. №	Подп. и дата	3	Изм.	б / н	Редикульцев	06.18	20/30КУ-3N-2470.00.00.000 PP	Лист
					2	Изм.	б / н	Редикульцев	06.18		84
					Изм.	Лист	№ док.	Подпись	Дата		

Относительная характеристика беструбного края:

$$m_n = a / a_1 = 1.29$$

Коэффициент влияния давления в межтрубном пространстве на трубную решетку:

$$\eta_M = 1 - \frac{id_T^2}{4a_1^2} = 0.4521$$

Коэффициент влияния давления в трубном пространстве на трубную решетку:

$$\eta_T = 1 - \frac{i(d_T - 2S_T)^2}{4a_1^2} = 0.5757$$

Коэффициент ослабления трубной решетки:

$$\varphi_p = 1 - \frac{d_o}{t_o} = 0.2231$$

Коэффициент жесткости перфорированной плиты:

$$\psi_o = 0.2757$$

Модуль упругости основания (системы труб):

$$K_y = \frac{E_T(\eta_T - \eta_M)}{l} = 11.73 \text{ Н/мм}^3$$

Приведенное отношение жесткости труб к жесткости кожуха:

$$\rho = \frac{K_y a_1 l}{E_x S_x} = 2.129$$

Коэффициенты изменения жесткости системы трубы-кожух:

$$K_q = 1$$

$$K_p = 1$$

Приведенное давление:

$$P_o = [\alpha_k(t_k - t_o) - \alpha_T(t_T - t_o)]K_y l + \\ + [\eta_T - 1 + m_{cp} + m_n(m_n + 0.5\rho K_q)]P_T - \\ + [\eta_M - 1 + m_{cp} + m_n(m_n + 0.3\rho K_p)]P_M = 0.2232$$

где:

$$m_{cp} = 0.15 \frac{i(d_T - S_T)^2}{a_1^2} = 0.2905$$

Коэффициент системы решетка - трубы:

$$\beta = \frac{1.82}{S_p} \sqrt[4]{\frac{K_y S_p}{\psi_o E_p}} = 0.01428 \text{ 1/мм}$$

Коэффициент системы кожух-решетка камеры:

$$\beta_1 = \frac{1.3}{\sqrt{aS_1}} = 0.00766 \text{ 1/мм}$$

Коэффициент системы обечайка-фланец камеры:

$$\beta_2 = \frac{1.3}{\sqrt{aS_2}} = 0.00766 \text{ 1/мм}$$

Жесткость фланцевого соединения при изгибе:

$$K_{\Phi} = K_{\Phi 1} + K_{\Phi 2} = 2.584e+07 \text{ Н·мм/мм}$$

Инв. № подл.	Подп. и дата	Инв. №	Взам. инв.	Подп. и дата	Инв. № подл.
3	Изм.	б / н	Редикульцев	06.18	<div>20/30КУ-3N-2470.00.00.000 PP</div> <div>Лист</div> <div>85</div>
2	Изм.	б / н	Редикульцев	06.18	
Изм.	Лист	№ док.	Подпись	Дата	

где:

$$K_{\#1} = \frac{E_1 h_1^3 b_1}{12 R_1^2} + K_1 \left(1 + \frac{\beta_1 h_1}{2}\right) = 1.294\text{e}+07 \text{ H}\cdot\text{MM/MM}$$

$$K_{\#2} = \frac{E_2 h_2^3 b_2}{12 R_2^3} + K_2 \left(1 + \frac{\beta_2 h_2}{2}\right) = 1.289\text{e}+07 \text{ H}\cdot\text{MM/MM}$$

$$K_1 = \frac{\beta_1 a E_x S_1^3}{5.5 R_1} = 1.118 \text{e}+07 \text{ H} \cdot \text{MM/MM}$$

$$K_2 = \frac{\beta_2 a E_D S_2^3}{5.5 R_3} = 1.118 \text{e}+07 \text{ H} \cdot \text{MM/MM}$$

Коэффициент влияния давления на изгиб фланцев:

$$m_1 = \frac{1 + \beta_1 k_1}{2\beta_1^2} = 1.113\text{e}+04 \text{ mm}^2$$

Коэффициент влияния давления на изгиб фланцев:

$$m_2 = \frac{1 + \beta_2 h_2}{2 \beta_2^2} = 1.113 \text{e}+04 \text{ mm}^2$$

Приведенное отношение жесткости труб к жесткости фланцевого соединения:

$$\rho_1 = \frac{K_y a a_1}{\beta^2 K_a R_1} = 1.353$$

Приведенный безразмерный радиус трубного пучка:

$$\omega = \beta a_1 = 8.852$$

Коэффициенты, учитывающие влияние беструбного края решетки и поддерживающее влияние труб:

$\Phi_1 =$	13.15
$\Phi_2 =$	9.05
$\Phi_3 =$	12.87

Коэффициент  $T_1$ :

$$T_1 = \Phi_1[m_{\text{w}} + 0.5(1 + m_{\text{w}}t)(t - 1)] =$$

Коэффициент  $T_2$ :

$$T_2 = \Phi_2 t = \quad 41.61$$

Коэффициент  $T_3$ :

$$T_3 = \Phi_3 m_n = \quad 16.61$$

где:

$$t = 1 + 1.4\omega(m_n - 1) = 4.598$$

Изгибающий момент, распределенный по краю трубной решетки:

$$M = \left( \frac{a_1}{\beta} \right) \frac{P_1(T_1 + \rho K_g) - P_o T_2}{(T_1 + \rho K_g)(T_3 + \rho_1) - T_2^2} = -439.8 \text{ H} \cdot \text{MM/MM}$$

Перерезывающая сила, распределенная по краю трубной решетки:

$$Q = a_1 \frac{P_o(T_3 + \rho_1) - P_1 T_2}{(T_1 + \rho K_o)(T_3 + \rho_1) - T_2^2} = 2.183 \text{ H/MM}$$

где:

Инв. № подл.	Подп. и дата	Взам. инв.	Инв. №	Подп. и дата	$\Phi_1 =$ $\Phi_2 =$ $\Phi_3 =$	13.15 9.05 12.87
					Коэффициент $T_1$ : $T_1 = \Phi_1[m_n + 0.5(1 + m_n t)(t - 1)] =$	181
					Коэффициент $T_2$ : $T_2 = \Phi_2 t =$	41.61
Инв. № подл.	Подп. и дата	Взам. инв.	Инв. №	Подп. и дата	Коэффициент $T_3$ : $T_3 = \Phi_3 m_n =$	16.61
					где: $t = 1 + 1.4 \omega(m_n - 1) =$	4.598
					Изгибающий момент, распределенный по краю трубной решетки: $M = \left(\frac{a_1}{\beta}\right) \frac{P_1(T_1 + \rho K_q) - P_o T_2}{(T_1 + \rho K_q)(T_3 + \rho_1) - T_2^2} =$	-439.8 Н·мм/мм
Инв. № подл.	Подп. и дата	Взам. инв.	Инв. №	Подп. и дата	Перерезывающая сила, распределенная по краю трубной решетки: $Q = a_1 \frac{P_o(T_3 + \rho_1) - P_1 T_2}{(T_1 + \rho K_q)(T_3 + \rho_1) - T_2^2} =$	2.183 Н/мм
					где:	
3	Изм.	б / н	Редикульцев	06.18	<b>20/30КУ-3N-2470.00.00.000 PP</b>	Лист
2	Изм.	б / н	Редикульцев	06.18		86
Изм.	Лист	№ док.	Подпись	Дата		

$$P_1 = \frac{K_y}{\beta K_\Phi} (m_1 P_M - m_2 P_T) = -0.03539 \text{ МПа}$$

Изгибающий момент, распределенный по периметру перфорированной зоны решетки:

$$M_a = M + (a - a_1)Q = -46.9 \text{ Н} \cdot \text{мм/мм}$$

Перерезывающая сила, распределенная по периметру перфорированной зоны решетки:

$$Q_a = m_a Q = 2.816 \text{ Н/мм}$$

Осевая сила, действующая на трубу:

$$N_T = \frac{\pi a_1}{i} [(\eta_M P_M - \eta_T P_T) a_1 + \Phi_1 Q_a + \Phi_2 \beta M_a] = 17.03 \text{ Н}$$

Изгибающий момент, действующий на трубу:

$$M_T = \frac{E_T J_T \beta}{K_y a_1 l_{np}} (\Phi_2 Q_a + \Phi_3 \beta M_a) = 2380 \text{ Н} \cdot \text{мм}$$

где:

$$l_{np} = 300 \text{ мм}$$

Осевая сила, распределенная по периметру кожуха:

$$Q_K = \frac{a}{2} P_T - Q = -2.183 \text{ Н/мм}$$

Изгибающий момент, распределенный по периметру кожуха:

$$M_K = \frac{K_1}{\rho_1 K_\Phi \beta} (T_2 Q_K + T_3 \beta M) - \frac{P_M}{2 \beta_1^2} = 551.1 \text{ Н} \cdot \text{мм/мм}$$

Осевая сила, действующая на кожух:

$$F = \pi D Q_K = -1.097 \text{e}+04 \text{ Н}$$

Расчётное изгибное напряжение в трубной решетке в месте соединения с кожухом:

$$\sigma_{P1} = \frac{6|M|}{(S_{1P} - C)^2} = 2.283 \text{ МПа}$$

Расчётное касательное напряжение в трубной решетке в месте соединения с кожухом:

$$\tau_{P1} = \frac{|Q|}{(S_{1P} - C)} = 0.0642 \text{ МПа}$$

Максимальный расчётный изгибающий момент в перфорированной части трубной решетки:

$$M_{\max} = \left\{ \begin{array}{l} A \frac{|Q_a|}{\beta} \text{ при } -1.0 \leq \frac{\beta M_a}{Q_a} \leq 1.0 \\ B |M_a| \text{ при } \frac{\beta M_a}{Q_a} < -1.0 \text{ и } \frac{\beta M_a}{Q_a} > 1.0 \end{array} \right\} = 59.08$$

где:

$$A \left( \omega, \frac{\beta M_a}{Q_a} \right) = 0.2995$$

Расчётное изгибное напряжение в перфорированной части трубной решетки:

Подп. и дата						
Инв. №						
Взам. инв.						
Подп. и дата						
Инв. № подл.						
3	Изм.	б / н	Редикульцев	06.18	20/30КУ-3N-2470.00.00.000 PP	Лист
2	Изм.	б / н	Редикульцев	06.18		87
Изм.	Лист	№ док.	Подпись	Дата		

Инв. № подл.	Подп. и дата		Подп. и дата			Инв. №	Взам. инв.		Подп. и дата		Инв. №	Подп. и дата		Подп. и дата		
Расчётные суммарные напряжения в трубах в осевом направлении:																
$\sigma_1 = \sigma_{1T} + \frac{d_T  M_T }{2J_T} =$															0.523 МПа	
Расчётные напряжения в трубах в окружном направлении:																
$\sigma_{2T} = \frac{(d_T - S_T) \max\{ P_T ,  P_M ,  P_T - P_M \}}{2S_T} =$															0.7833 МПа	
Условия статической прочности решетки:																
Максимальное касательное напряжение в решетке:																
$\max\{\tau_{P1}, \tau_{P2}\} =$															0.3713 МПа	
Допускаемое касательное напряжение в решетке:																
$0.8[\sigma]_p =$															104.8 МПа	
Необходимая толщина решетки из условия прочности беструбной зоны:																
$S_p \geq 0.5 D_B \sqrt{\frac{P_R}{[\sigma]_p}} + C =$															8.763 мм	
Условия малоцикловой прочности решетки:																
Расчётная амплитуда напряжений в решетке в месте соединения с кожухом:																
$\sigma_a = K_\sigma \frac{\sigma_{p1}}{2} =$															1.94 МПа	
Расчётная амплитуда напряжений в перфорированной зоне решетки:																



$$\sigma_a = \frac{\sigma_{p2}}{2} = 0.6873 \text{ МПа}$$

Допускаемая амплитуда напряжений для материала решетки:

$$[\sigma_a]_p = 469.5 \text{ МПа}$$

Условие статической прочности кожуха:

Мембранное напряжение в кожухе в месте приварки к решетке:

$$\sigma_{MX} = 0.06821 \text{ МПа}$$

Допускаемое местное мембранное напряжение в кожухе:

$$1.3[\sigma]_K = 170.3 \text{ МПа}$$

Условие малоцикловой прочности кожуха:

Расчётная амплитуда напряжений в кожухе в месте приварки к решетке:

$$\sigma_a = K_\sigma \max \left\{ \left| \sigma_{MX} + \sigma_{UX} \right|, \left| \sigma_{M\varphi} + \sigma_{U\varphi} \right|, \left| (\sigma_{MX} + \sigma_{UX}) - (\sigma_{M\varphi} + \sigma_{U\varphi}) \right| \right\} = 2.948 \text{ МПа}$$

Допускаемая амплитуда напряжений для материала кожуха:

$$[\sigma_a]_K = 469.5 \text{ МПа}$$

Условие устойчивости кожуха (по ГОСТ Р 52857.2):

Допускаемое осевое сжимающее усилие из условия прочности кожуха:

$$[F]_H = \pi(D + S - C)(S - C)[\sigma] = 2.149e+07 \text{ Н}$$

Допускаемое осевое сжимающее усилие из условия устойчивости кожуха в пределах упругости:

$$[F]_{E1} = \frac{31 \cdot 10^{-5} E}{n_y} D^2 \left[ \frac{100(S - C)}{D} \right]^{2.5} = 3.283e+08 \text{ Н}$$

Допускаемое осевое сжимающее усилие для кожуха:

$$[F] = \frac{[F]_H}{\sqrt{1 + \left( \frac{[F]_H}{[F]_{E1}} \right)^2}} = 2.145e+07 \text{ Н}$$

Допускаемое наружное давление в кожухе:

$$[p] = \frac{[p]_H}{\sqrt{1 + \left( \frac{[p]_H}{[p]_E} \right)^2}} = 3.013 \text{ МПа}$$

здесь:

$[p]_H$  – допускаемое наружное давление из условий прочности:

$$[p]_H = \frac{2[\sigma](s - c)}{D + (s - c)} = 5.137 \text{ МПа}$$

$[p]_E$  – допускаемое наружное давление из условий устойчивости в пределах упругости:

$$[p]_E = \frac{20,8 \cdot 10^{-6} E}{n_y \cdot B_1} \frac{D}{L} \left[ \frac{100(s - c)}{D} \right]^{2.5} = 3.721 \text{ МПа}$$

где:

$$B_1 = \min \left\{ 1,0; \quad 9,45 \frac{D}{L} \sqrt{\frac{D}{100(s - c)}} \right\} = 1$$

Инв. № подл.	Подп. и дата	Инв. №	Взам. инв.	Подп. и дата	Инв. № подл.
3	Изм.	б / н	Редикульцев	06.18	20/30КУ-3N-2470.00.00.000 PP
2	Изм.	б / н	Редикульцев	06.18	
Изм.	Лист	№ док.	Подпись	Дата	
					Лист
					89

Условие устойчивости кожуха при совместном действии осевой сжимающей силы и наружного давления:

$$\frac{|p_m|}{[p]} + \frac{|F|}{[F]} = 0.0337 < 1$$

Условие статической прочности труб:

Максимальное мембранное напряжение в трубах:

$$\max\{\sigma_{1r}; \sigma_{2r}\} = 0.7833 \text{ МПа}$$

Допускаемое напряжение для материала труб:

$$[\sigma]_r = 131 \text{ МПа}$$

Расчётная амплитуда напряжений в трубах:

$$\sigma_a = \frac{\sigma_1}{2} = 0.2615 \text{ МПа}$$

Допускаемая амплитуда напряжений для материала труб:

$$[\sigma_a]_r = 469.5 \text{ МПа}$$

Проверка прочности крепления труб в решетке:

Расчётная нагрузка на соединение трубы с решеткой:

$$|N_r| = 17.03 \text{ Н}$$

Допускаемая нагрузка на соединение трубы с решеткой с помощью развальцовки:

$$[N]_{rp} = 3.482e+04 \text{ Н}$$

Напряжение сдвига в сварном шве приварки трубы к решетке:

$$\tau = \frac{|N_r| d_r + 4 |M_r|}{\pi d_r^2 \delta} = 0.4405 \text{ МПа}$$

Допускаемое напряжение сдвига в сварном шве приварки трубы к решетке в случае крепления труб к решетке способом приварки или приварки с подвальцовкой:

$$[\tau] = \varphi_c \min\{[\sigma]_r; [\sigma]_p\} = 37.96 \text{ МПа}$$

где:

$$\varphi_c = \min\{0.5; (0.95 - 0.21 \lg N)\} = 0.2898$$

Условие прочности крепления труб к решетке способом развальцовки с обваркой:

$$\max\left\{\frac{\varphi_c \min\{[\sigma]_r; [\sigma]_p\}}{\tau} + 0.6 \frac{[N]_{rp}}{|N_r|}; \frac{[N]_{rp}}{|N_r|}\right\} = 2044 > 1$$

Условия прочности и устойчивости элементов теплообменного аппарата выполняются.

Инв. № подл.	Подп. и дата	Инв. №	Взам. инв.	Подп. и дата					
3	Изм.	б / н	Редикульцев	06.18	20/30КУ-3N-2470.00.00.000 PP				
2	Изм.	б / н	Редикульцев	06.18					
Изм.	Лист	№ док.	Подпись	Дата					
									Лист
									90

Инв. №	Подп. и дата	Привалка технологической	c	4.1	мм			
		Сумма прибавок к толщине стенки обечайки	L_p	740	мм			
		Расстояние от края родительского элемента до седловой опоры	a	740	мм			
		Длина цилиндрической выступающей части, включая отбортовку	φ	1				
		Коэффициент прочности сварных швов, расположенных в области опорного узла	δ <sub>1</sub>	120				
		Угол охвата седловой опоры, градусов	b	300	мм			
		Ширина седловой опоры	d <sub>2</sub>	140				
		Угол охвата подкладного листа, градусов	b <sub>2</sub>	400	мм			
		Ширина подкладного листа	s <sub>2</sub>	36	мм			
		Толщина подкладного листа	[σ]	131	МПа			
Взам. инв.	Подп. и дата	Допускаемое напряжение для материала обечайки	[p]	2.69	МПа			
		Допускаемое наружное давление для обечайки без колец жесткости или между кольцами по ГОСТ Р 52857.2-2007	[F]	2.138e+07	Н			
		Допускаемое осевое усилие из условий устойчивости по ГОСТ Р 52857.2-2007	[M]	8.556e+09	Н·мм			
		Допускаемый изгибающий момент из условий устойчивости по ГОСТ Р 52857.2-2007	[Q]	5.183e+06	Н			
		Допускаемая перерезывающая сила по ГОСТ Р 52857.2-2007						
		<b>Результаты расчёта</b>						
		Проверка несущей способности обечайки в области опорного узла, при рассмотрении подкладного листа как седловой опоры шириной b2 с углом охвата d2						
Инв. № подл.	Подп. и дата	3	Изм.	б / н	Редикульцев	06.18	20/30КУ-3N-2470.00.00.000 PP	Лист
		2	Изм.	б / н	Редикульцев	06.18		91
		Изм.	Лист	№ док.	Подпись	Дата		

Параметр, определяемый шириной пояса опоры:

$$\beta_1 = 0,91 \frac{b}{\sqrt{D(s-c)}} = 0.9841$$

Общее осевое мембранное напряжение, действующее в области опорного узла:

$$\bar{\sigma}_{mx} = \frac{4M_i}{\pi D^2 (s-c)} = 0.1047 \text{ МПа}$$

Коэффициенты, учитывающие влияние ширины пояса опоры:

$$K_{10} = 0.3163$$

Коэффициенты, учитывающие влияние угла охвата:

$$K_{12} = 0.9816$$

Коэффициенты, учитывающие влияние расстояния до днища:

$$K_{15} = 0.6937$$

Коэффициент  $K_2$

$$K_2 = 1.25$$

Определение допускаемого опорного усилия от нагружения в осевом направлении:

Коэффициент, представляющий отношение местных мембранных напряжений к местным напряжениям изгиба:

$$\beta_1 = -\frac{0.23 \cdot K_{13} \cdot K_{15}}{K_{12} \cdot K_{10}} = -0.178$$

Коэффициенты, учитывающие степень нагрузки общими мембранными напряжениями

$$\beta_{2,1} = \frac{-\bar{\sigma}_{mx}}{K_2[\sigma]} = -0.0006395$$

$$\beta_{2,2} = \left( \frac{pD}{4(s-c)} - \bar{\sigma}_{mx} \right) \frac{1}{K_2[\sigma]} = -0.005718$$

Коэффициент  $K_1$  (принимается меньшее значение из двух):

$$K_1(\beta_1; \beta_{2,1}) = 1.406$$

$$K_1(\beta_1; \beta_{2,2}) = 1.402$$

Предельное напряжение изгиба:

$$[\sigma]_i = K_1 K_2 [\sigma] = 229.6 \text{ МПа}$$

Допускаемое опорное усилие от нагружения в осевом направлении:

$$[F]_2 = \frac{0.7[\sigma]_i \sqrt{D(s-c)(s-c)}}{K_{10} K_{12}} = 6.908e+06 \text{ Н}$$

Определение допускаемого опорного усилия от нагружения в окружном направлении:

Коэффициент, представляющий отношение местных мембранных напряжений к местным напряжениям изгиба:

$$\beta_1 = -\frac{0.53 \cdot K_{11}}{K_{14} \cdot K_{16} \cdot K_{17} \cdot \sin(0.5\delta_1)} = -1.721$$

Инв. № подл.	Подп. и дата	Взам. инв.	Инв. №	Подп. и дата	$\vartheta_{2,1} = \frac{\sigma_{\text{мк}}}{K_2[\sigma]} =$ $\vartheta_{2,2} = \left( \frac{pD}{4(s-c)} - \bar{\sigma}_{\text{мк}} \right) \frac{1}{K_2[\sigma]} =$ <p>Коэффициент <math>K_1</math> (принимается меньшее значение из двух):</p> $K_1(\vartheta_1; \vartheta_{2,1}) =$ $K_1(\vartheta_1; \vartheta_{2,2}) =$ <p>Предельное напряжение изгиба:</p> $[\sigma]_i = K_1 K_2 [\sigma] =$ <p>Допускаемое опорное усилие от нагружения в осевом направлении:</p> $[F]_2 = \frac{0.7[\sigma_i]_2 \sqrt{D(s-c)}(s-c)}{K_{10} K_{12}} =$ <p>Определение допускаемого опорного усилия от нагружения в окружном направлении:</p> <p>Коэффициент, представляющий отношение местных мембранных напряжений к местным напряжениям изгиба:</p> $\vartheta_1 = - \frac{0.53 \cdot K_{11}}{K_{14} \cdot K_{16} \cdot K_{17} \cdot \sin(0.5\vartheta_1)} =$
					-0.0006395
					-0.005718
					1.406
					1.402
					229.6 МПа
					6.908e+06 Н

Коэффициенты, учитывающие степень нагрузки общими мембранными напряжениями

$$\begin{aligned} \beta_{2,1} &= & 0 \\ \beta_{2,2} &= \frac{pD}{2(s-c)} \frac{1}{K_2[\sigma]} = & -0.01016 \end{aligned}$$

Коэффициент  $K_1$  (принимается меньшее значение из двух):

$$\begin{aligned} K_1(\beta_1; \beta_{2,1}) &= & 0.4793 \\ K_1(\beta_1; \beta_{2,2}) &= & 0.4745 \end{aligned}$$

Предельное напряжение изгиба:

$$[\sigma]_i = K_1 K_2 [\sigma] = 77.7 \text{ МПа}$$

Допускаемое опорное усилие от нагружения в окружном направлении:

$$[F]_3 = \frac{0.9[\sigma]_3 \sqrt{D(s-c)(s-c)}}{K_{14} K_{16} K_{17}} = 3.256 \text{e}+06 \text{ Н}$$

Проверка прочности обечайки в области опорного узла:

Допускаемое усилие на опору:

$$[F]_i = \min \{ [F]_2; [F]_3 \} = 3.256 \text{e}+06 \text{ Н}$$

Проверка несущей способности обечайки в области опорного узла, при рассмотрении подкладного листа как усиления стенки сосуда:

Расчётная толщина при рассмотрении подкладного листа как усиления стенки:

$$s_{\text{ср}} = (s-c) \sqrt{1 + \left( \frac{s_2}{s-c} \right)^2} = 52.2 \text{ мм}$$

Параметр, определяемый шириной пояса опоры:

$$\beta_1 = 0.91 \frac{b}{\sqrt{D(s_{\text{ср}} - c)}} = 0.9841$$

Общее осевое мембранное напряжение, действующее в области опорного узла:

$$\bar{\sigma}_{\text{мх}} = \frac{4M_i}{\pi D^2 (s_{\text{ср}} - c)} = 0.1047 \text{ МПа}$$

Коэффициенты, учитывающие влияние ширины пояса опоры:

$$\begin{aligned} K_{10} &= & 0.3163 \\ K_{11} &= & 0.8059 \\ K_{17} &= & 0.5689 \end{aligned}$$

Коэффициенты, учитывающие влияние угла охвата:

$$\begin{aligned} K_{12} &= & 0.9816 \\ K_{13} &= & -0.0006395 \\ K_{14} &= & 0.6344 \end{aligned}$$

Инв. № подл.	Подп. и дата		$s_{\varnothing} = (s - c) \sqrt{1 + \left(\frac{s_2}{s - c}\right)^2} =$ <p>Параметр, определяемый шириной пояса опоры:</p> $\beta_1 = 0,91 \frac{b}{\sqrt{D(s_{\varnothing} - c)}} =$ <p>Общее осевое мембранное напряжение, действующее в области опорного узла:</p> $\bar{\sigma}_{\text{мх}} = \frac{4M_i}{\pi D^2 (s_{\varnothing} - c)} =$ <p>Коэффициенты, учитывающие влияние ширины пояса опоры:</p> $K_{10} =$ $K_{11} =$ $K_{17} =$ <p>Коэффициенты, учитывающие влияние угла охвата:</p> $K_{12} =$ $K_{13} =$ $K_{14} =$			52.2 мм	0.9841	0.1047 МПа	0.3163	0.8059	0.5689	0.9816	-0.0006395	0.6344
	3	Изм.	б / н	Редикульцев	06.18	20/30КУ-3N-2470.00.00.000 PP	Лист							
	2	Изм.	б / н	Редикульцев	06.18		93							
	Изм.	Лист	№ док.	Подпись	Дата									

Коэффициенты, учитывающие влияние расстояния до днища:

$$K_{15} = 0.6937$$

$$K_{16} = 0.7939$$

Коэффициент  $K_2$

$$K_2 = 1.25$$

Определение допускаемого опорного усилия от нагружения в осевом направлении:

Коэффициент, представляющий отношение местных мембранных напряжений к местным напряжениям изгиба:

$$\mathfrak{A}_1 = -\frac{0.23 \cdot K_{13} \cdot K_{15}}{K_{12} \cdot K_{10}} = -0.178$$

Коэффициенты, учитывающие степень нагрузки общими мембранными напряжениями

$$\mathfrak{A}_{2,1} = \frac{-\bar{\sigma}_{mx}}{K_2[\sigma]} = -0.0006395$$

$$\mathfrak{A}_{2,2} = \left( \frac{pD}{4(s_{\varphi} - c)} - \bar{\sigma}_{mx} \right) \frac{1}{K_2[\sigma]} = -0.005718$$

Коэффициент  $K_1$  (принимается меньшее значение из двух):

$$K_1(\mathfrak{A}_1; \mathfrak{A}_{2,1}) = 1.406$$

$$K_1(\mathfrak{A}_1; \mathfrak{A}_{2,2}) = 1.402$$

Предельное напряжение изгиба:

$$[\sigma]_i = K_1 K_2 [\sigma] = 229.6 \text{ МПа}$$

Допускаемое опорное усилие от нагружения в осевом направлении:

$$[F]_2 = \frac{0.7[\sigma]_i \sqrt{D(s_{\varphi} - c)(s_{\varphi} - c)}}{K_{10} K_{12}} = 6.908e+06 \text{ Н}$$

Определение допускаемого опорного усилия от нагружения в окружном направлении:

Коэффициент, представляющий отношение местных мембранных напряжений к местным напряжениям изгиба:

$$\mathfrak{A}_1 = -\frac{0.53 \cdot K_{11}}{K_{14} \cdot K_{16} \cdot K_{17} \cdot \sin(0.5\delta_1)} = -1.721$$

Коэффициенты, учитывающие степень нагрузки общими мембранными напряжениями

$$\mathfrak{A}_{2,1} = 0$$

$$\mathfrak{A}_{2,2} = \frac{pD}{2(s_{\varphi} - c) K_2[\sigma]} = -0.01016$$

Коэффициент  $K_1$  (принимается меньшее значение из двух):

$$K_1(\mathfrak{A}_1; \mathfrak{A}_{2,1}) = 0.4793$$

$$K_1(\mathfrak{A}_1; \mathfrak{A}_{2,2}) = 0.4745$$

Предельное напряжение изгиба:

$$[\sigma]_i = K_1 K_2 [\sigma] = 77.7 \text{ МПа}$$

Инв. № подл.	Подп. и дата		Допускаемое опорное усилие от нагружения в осевом направлении: $[F]_2 = \frac{0.7[\sigma_i]_2 \sqrt{D(s_{\varnothing} - c)(s_{\varnothing} - c)}}{K_{10}K_{12}} =$ <div>6.908e+06 Н</div>				
	Инв. №		Определение допускаемого опорного усилия от нагружения в окружном направлении: Коэффициент, представляющий отношение местных мембранных напряжений к местным напряжениям изгиба: $\mathfrak{A}_1 = -\frac{0.53 \cdot K_{11}}{K_{14} \cdot K_{16} \cdot K_{17} \cdot \sin(0.5\delta_1)} =$ <div>-1.721</div>				
	Взам. инв.		Коэффициенты, учитывающие степень нагрузки общими мембранными напряжениями $\mathfrak{A}_{2,1} =$ <div>0</div> $\mathfrak{A}_{2,2} = \frac{pD}{2(s_{\varnothing} - c)} \frac{1}{K_2[\sigma]} =$ <div>-0.01016</div>				
	Подп. и дата		Коэффициент $K_1$ (принимается меньшее значение из двух): $K_1(\mathfrak{A}_1; \mathfrak{A}_{2,1}) =$ <div>0.4793</div> $K_1(\mathfrak{A}_1; \mathfrak{A}_{2,2}) =$ <div>0.4745</div> Предельное напряжение изгиба: $[\sigma]_i = K_1K_2[\sigma] =$ <div>77.7 МПа</div>				
Инв. № подл.	3	Изм.	б / н	Редикульцев	06.18	20/30КУ-3N-2470.00.00.000 PP	Лист 94
	2	Изм.	б / н	Редикульцев	06.18		
	Изм.	Лист	№ док.	Подпись	Дата		

Допускаемое опорное усилие от нагружения в окружном направлении:

$$[F]_3 = \frac{0.9[\sigma_i]_3 \sqrt{D(s_{\varphi} - c)(s_{\varphi} - c)}}{K_{14}K_{16}K_{17}} = 3.256e+06 \text{ Н}$$

Проверка прочности обечайки в области опорного узла:

Допускаемое усилие на опору:

$$[F_i] = \min \{ [F]_2; [F]_3 \} = 3.256e+06 \text{ Н}$$

Проверка устойчивости обечайки в области опорного узла:

Эффективное осевое усилие от местных мембранных напряжений, действующих в области опоры:

$$F_e = F_i \cdot \frac{\pi}{4} \sqrt{\frac{D}{(s - c)}} \cdot K_{13} \cdot K_{15} = 5.923e+04 \text{ Н}$$

Условие устойчивости обечайки, работающей под наружным давлением:

$$\frac{|p|}{[p]} + \frac{|M_i|}{[M]} + \frac{|F_e|}{[F]} + \left( \frac{Q}{[Q]} \right)^2 = 0.04116 < 1$$

Цилиндрическая обечайка на седловых опорах отвечает условиям прочности и устойчивости в соответствии с требованиями ГОСТ Р 52857.5-2007.

Инв. № подл.	Подп. и дата		Инв. №		Взам. инв.		Подп. и дата		
3	Изм.	б / н	Редикульцев	06.18	20/30КУ-3N-2470.00.00.000 PP				Лист
2	Изм.	б / н	Редикульцев	06.18					95
Изм.	Лист	№ док.	Подпись	Дата					





$$\beta_1 = 0,91 \frac{b}{\sqrt{D(s-c)}} = 0.9841$$

$$\sigma_{\max} = \frac{4M_i}{\pi D^2(s-c)} = 0.2163 \text{ МПа}$$

$$K_{10} = 0.3163$$

$$K_{12} = 0.9816$$

$$K_{15} = \begin{pmatrix} 0 & 0 & 0 \\ 0 & 0 & 0 \\ 0 & 0 & 0 \end{pmatrix}$$

$K_2 = 1.25$

Определение допускаемого опорного усилия от нагружения в осевом направлении:

$$\mathcal{G}_1 = -\frac{0.23 \cdot K_{13} \cdot K_{15}}{K_{12} \cdot K_{10}} = -0.2566$$

$$g_{21} = \frac{-\bar{\sigma}_{mx}}{K_\gamma[\sigma]} = -0.001321$$

$$g_{2,2} = \left( \frac{pD}{4(s-c)} - \bar{\sigma}_{mx} \right) \frac{1}{K_2[\sigma]} = -0.006399$$

$$K_1(\mathfrak{g}_1; \mathfrak{g}_{2,1}) = \quad 1.325$$

$$K_1(\mathcal{G}_1; \mathcal{G}_{2,2}) = \quad 1.321$$

$$[\sigma]_i = K_1 K_2 [\sigma] = 216.3 \text{ МПа}$$

$$[F]_2 = \frac{0.7[\sigma_i]_2 \sqrt{D(s-c)(s-c)}}{K_{10}K_{12}} = 6.508\text{e}+06 \text{ H}$$

Определение допускаемого опорного усилия от нагружения в окружном направлении:

$$\mathcal{G}_1 = -\frac{0.53 \cdot K_{11}}{K_{14} \cdot K_{16} \cdot K_{17} \cdot \sin(0.5\delta_1)} = -1.468$$

Инв. № подл.	Подп. и дата	Взам. инв.	Инв. №	Подп. и дата	$\mathfrak{G}_{2,1} = \frac{\sigma_{\text{мк}}}{K_2[\sigma]} =$ $\mathfrak{G}_{2,2} = \left( \frac{pD}{4(s-c)} - \bar{\sigma}_{\text{мк}} \right) \frac{1}{K_2[\sigma]} =$ <p>Коэффициент <math>K_1</math> (принимается меньшее значение из двух):</p> $K_1(\mathfrak{G}_1; \mathfrak{G}_{2,1}) =$ $K_1(\mathfrak{G}_1; \mathfrak{G}_{2,2}) =$ <p>Предельное напряжение изгиба:</p> $[\sigma]_i = K_1 K_2 [\sigma] =$ <p>Допускаемое опорное усилие от нагружения в осевом направлении:</p> $[F]_2 = \frac{0.7[\sigma_i]_2 \sqrt{D(s-c)(s-c)}}{K_{10} K_{12}} =$ <p>Определение допускаемого опорного усилия от нагружения в окружном направлении:</p> <p>Коэффициент, представляющий отношение местных мембранных напряжений к местным напряжениям изгиба:</p> $\mathfrak{G}_1 = - \frac{0.53 \cdot K_{11}}{K_{14} \cdot K_{16} \cdot K_{17} \cdot \sin(0.5\delta_1)} =$	-0.001321 -0.006399 1.325 1.321 216.3 МПа 6.508e+06 Н -1.468										
					<table><tr><td>3</td><td>Изм.</td><td>б / н</td><td>Редикульцев</td><td>06.18</td></tr><tr><td>2</td><td>Изм.</td><td>б / н</td><td>Редикульцев</td><td>06.18</td></tr><tr><td>Изм.</td><td>Лист</td><td>№ док.</td><td>Подпись</td><td>Дата</td></tr></table>	3	Изм.	б / н	Редикульцев	06.18	2	Изм.	б / н	Редикульцев	06.18	Изм.
3	Изм.	б / н	Редикульцев	06.18												
2	Изм.	б / н	Редикульцев	06.18												
Изм.	Лист	№ док.	Подпись	Дата												

Коэффициенты, учитывающие степень нагрузки общими мембранными напряжениями

$$\beta_{2,1} = < 0$$
$$\beta_{2,2} = \frac{pD}{2(s-c)} \frac{1}{K_2[\sigma]} = -0.01016$$

Коэффициент  $K_1$  (принимается меньшее значение из двух):

$$K_1(\beta_1; \beta_{2,1}) = 0.5437$$
$$K_1(\beta_1; \beta_{2,2}) = 0.5383$$

Предельное напряжение изгиба:

$$[\sigma]_i = K_1 K_2 [\sigma] = 88.15 \text{ МПа}$$

Допускаемое опорное усилие от нагружения в окружном направлении:

$$[F]_3 = \frac{0.9[\sigma]_3 \sqrt{D(s-c)(s-c)}}{K_{14} K_{16} K_{17}} = 3.152e+06 \text{ Н}$$

Проверка прочности обечайки в области опорного узла:

Допускаемое усилие на опору:

$$[F]_i = \min \{ [F]_2; [F]_3 \} = 3.152e+06 \text{ Н}$$

Проверка несущей способности обечайки в области опорного узла, при рассмотрении подкладного листа как усиления стенки сосуда:

Расчётная толщина при рассмотрении подкладного листа как усиления стенки:

$$s_{\text{ср}} = (s-c) \sqrt{1 + \left( \frac{s_2}{s-c} \right)^2} = 52.2 \text{ мм}$$

Параметр, определяемый шириной пояса опоры:

$$\beta_1 = 0.91 \frac{b}{\sqrt{D(s_{\text{ср}} - c)}} = 0.9841$$

Общее осевое мембранное напряжение, действующее в области опорного узла:

$$\bar{\sigma}_{\text{мх}} = \frac{4M_i}{\pi D^2 (s_{\text{ср}} - c)} = 0.2163 \text{ МПа}$$

Коэффициенты, учитывающие влияние ширины пояса опоры:

$$K_{10} = 0.3163$$
$$K_{11} = 0.8059$$
$$K_{17} = 0.5689$$

Коэффициенты, учитывающие влияние угла охвата:

$$K_{12} = 0.9816$$
$$K_{13} = -0.001321$$
$$K_{14} = 0.6344$$

Инв. № подл.	Подп. и дата	Взам. инв.	Инв. №	Подп. и дата	$s_{\varphi} = (s - c) \sqrt{1 + \left(\frac{s_2}{s - c}\right)^2} =$ <p>Параметр, определяемый шириной пояса опоры:</p> $\beta_1 = 0,91 \frac{b}{\sqrt{D(s_{\varphi} - c)}} =$ <p>Общее осевое мембранное напряжение, действующее в области опорного узла:</p> $\bar{\sigma}_{mx} = \frac{4M_i}{\pi D^2 (s_{\varphi} - c)} =$ <p>Коэффициенты, учитывающие влияние ширины пояса опоры:</p> $K_{10} =$ $K_{11} =$ $K_{17} =$ <p>Коэффициенты, учитывающие влияние угла охвата:</p> $K_{12} =$ $K_{13} =$ $K_{14} =$	52.2 мм	0.9841	0.2163 МПа	0.3163	0.8059	0.5689	0.9816	-0.001321	0.6344
					3	Изм.	б / н	Редикульцев	06.18	20/30КУ-3N-2470.00.00.000 PP	Лист			
2	Изм.	б / н	Редикульцев	06.18	98									
Изм.	Лист	№ док.	Подпись	Дата										

Коэффициенты, учитывающие влияние расстояния до днища:

$$K_{15} = 1$$

$$K_{16} = 0.9306$$

Коэффициент  $K_2$

$$K_2 = 1.25$$

Определение допускаемого опорного усилия от нагружения в осевом направлении:

Коэффициент, представляющий отношение местных мембранных напряжений к местным напряжениям изгиба:

$$\mathfrak{A}_1 = -\frac{0.23 \cdot K_{13} \cdot K_{15}}{K_{12} \cdot K_{10}} = -0.2566$$

Коэффициенты, учитывающие степень нагрузки общими мембранными напряжениями

$$\mathfrak{A}_{2,1} = \frac{-\bar{\sigma}_{mx}}{K_2[\sigma]} = -0.001321$$

$$\mathfrak{A}_{2,2} = \left( \frac{pD}{4(s_{\varphi} - c)} - \bar{\sigma}_{mx} \right) \frac{1}{K_2[\sigma]} = -0.006399$$

Коэффициент  $K_1$  (принимается меньшее значение из двух):

$$K_1(\mathfrak{A}_1; \mathfrak{A}_{2,1}) = 1.325$$

$$K_1(\mathfrak{A}_1; \mathfrak{A}_{2,2}) = 1.321$$

Предельное напряжение изгиба:

$$[\sigma]_i = K_1 K_2 [\sigma] = 216.3 \text{ МПа}$$

Допускаемое опорное усилие от нагружения в осевом направлении:

$$[F]_2 = \frac{0.7[\sigma]_i \sqrt{D(s_{\varphi} - c)(s_{\varphi} - c)}}{K_{10} K_{12}} = 6.508 \times 10^6 \text{ Н}$$

Определение допускаемого опорного усилия от нагружения в окружном направлении:

Коэффициент, представляющий отношение местных мембранных напряжений к местным напряжениям изгиба:

$$\mathfrak{A}_1 = -\frac{0.53 \cdot K_{11}}{K_{14} \cdot K_{16} \cdot K_{17} \cdot \sin(0.5\delta_1)} = -1.468$$

Коэффициенты, учитывающие степень нагрузки общими мембранными напряжениями

$$\mathfrak{A}_{2,1} = 0$$

$$\mathfrak{A}_{2,2} = \frac{pD}{2(s_{\varphi} - c) K_2[\sigma]} = -0.01016$$

Коэффициент  $K_1$  (принимается меньшее значение из двух):

$$K_1(\mathfrak{A}_1; \mathfrak{A}_{2,1}) = 0.5437$$

$$K_1(\mathfrak{A}_1; \mathfrak{A}_{2,2}) = 0.5383$$

Предельное напряжение изгиба:

$$[\sigma]_i = K_1 K_2 [\sigma] = 88.15 \text{ МПа}$$

Подп. и дата	Допускаемое опорное усилие от нагружения в осевом направлении:						
	$[F]_2 = \frac{0.7[\sigma_i]_2 \sqrt{D(s_{\varnothing} - c)(s_{\varnothing} - c)}}{K_{10}K_{12}} =$					6.508e+06 Н	
Инв. №	Определение допускаемого опорного усилия от нагружения в окружном направлении:						
	Коэффициент, представляющий отношение местных мембранных напряжений к местным напряжениям изгиба:						
	$\vartheta_1 = -\frac{0.53 \cdot K_{11}}{K_{14} \cdot K_{16} \cdot K_{17} \cdot \sin(0.5\delta_1)} =$					-1.468	
Взам. инв.	Коэффициенты, учитывающие степень нагрузки общими мембранными напряжениями						
	$\vartheta_{2,1} =$					0	
	$\vartheta_{2,2} = \frac{pD}{2(s_{\varnothing} - c)} \frac{1}{K_2[\sigma]} =$					-0.01016	
Подп. и дата	Коэффициент $K_1$ (принимается меньшее значение из двух):						
	$K_1(\vartheta_1; \vartheta_{2,1}) =$					0.5437	
	$K_1(\vartheta_1; \vartheta_{2,2}) =$					0.5383	
Инв. № подл.	Предельное напряжение изгиба:						
	$[\sigma]_i = K_1 K_2 [\sigma] =$					88.15 МПа	
Инв. № подл.	3	Изм.	б / н	Редикульцев	06.18	20/30КУ-3N-2470.00.00.000 PP	Лист
	2	Изм.	б / н	Редикульцев	06.18		99
	Изм.	Лист	№ док.	Подпись	Дата		

Допускаемое опорное усилие от нагружения в окружном направлении:

$$[F]_3 = \frac{0.9[\sigma_i]_3 \sqrt{D(s_{\vartheta} - c)(s_{\vartheta} - c)}}{K_{14}K_{16}K_{17}} = 3.152e+06 \text{ Н}$$

Проверка прочности обечайки в области опорного узла:

Допускаемое усилие на опору:

$$[F_i] = \min \{ [F]_2; [F]_3 \} = 3.152e+06 \text{ Н}$$

Проверка устойчивости обечайки в области опорного узла:

Эффективное осевое усилие от местных мембранных напряжений, действующих в области опоры:

$$F_e = F_i \cdot \frac{\pi}{4} \sqrt{\frac{D}{(s - c)}} \cdot K_{13} \cdot K_{15} = 1.252e+05 \text{ Н}$$

Условие устойчивости обечайки, работающей под наружным давлением:

$$\frac{|p|}{[p]} + \frac{|M_i|}{[M]} + \frac{|F_e|}{[F]} + \left( \frac{Q}{[Q]} \right)^2 = 0.04553 < 1$$

Цилиндрическая обечайка на седловых опорах отвечает условиям прочности и устойчивости в соответствии с требованиями ГОСТ Р 52857.5-2007.

Инв. № подл.	Подп. и дата		Инв. №		Взам. инв.		Подп. и дата		
3	Изм.	б / н	Редикульцев	06.18	20/30КУ-3N-2470.00.00.000 PP				Лист
2	Изм.	б / н	Редикульцев	06.18					100
Изм.	Лист	№ док.	Подпись	Дата					





$$V = \min \left\{ 1; \frac{1 + \frac{l_{1p}(s_1 - c_s) \chi_1 + l_{2p}s_2 \chi_2 + l_{3p}(s_3 - c_s - c_{s1}) \chi_3}{l_p(s - c)}}{1 + 0,5 \frac{d_p - d_{оп}}{l_p} + K_1 \frac{d + 2c_s}{D_p} \frac{\varphi l_{1p}}{\varphi_1 l_p}} \right\} = 1$$

Допускаемое давление в пределах пластичности

$$[p]_n = \frac{2K_1(s - c)[\sigma]}{D_p + (s - c)V} = 5.122 \text{ МПа}$$

Допускаемое давление для узла врезки штуцера

$$[p] = \frac{[p]_n}{\sqrt{1 + \left( \frac{[p]_n}{[p]_x} \right)^2}} = 2.69 \text{ МПа}$$

где

$$K_1 = 1$$

Приведенное суммарное напряжение в зоне обечайки

$$\sigma_{p-o} = 79.78 < 3[\sigma] = 393 \text{ МПа}$$

Приведенное мембранное напряжение в зоне обечайки

$$\sigma_{pm-o} = 73.24 < 1.5[\sigma] = 196.5 \text{ МПа}$$

Приведенное суммарное напряжение в зоне штуцера

$$\sigma_{p-шт} = 197.4 < 3[\sigma] = 393 \text{ МПа}$$

Приведенное мембранное напряжение в зоне штуцера

$$\sigma_{pm-шт} = 163.9 < 1.5[\sigma] = 196.5 \text{ МПа}$$

Приведенное суммарное напряжение на внутренней поверхности обечайки, перехода или днища

$$\sigma_{p-en-o} = 196.4 < 3[\sigma] = 393 \text{ МПа}$$

Приведенное суммарное напряжение на внутренней поверхности штуцера

$$\sigma_{p-en-шт} = 192.5 < 3[\sigma] = 393 \text{ МПа}$$

Узел врезки отвечает условиям прочности в соответствии с требованиями ГОСТ Р 52857.3-2007.

Инв. № подл.	Подп. и дата	Инв. №	Взам. инв.	Подп. и дата					
3	Изм.	б / н	Редикульцев	06.18	20/30КУ-3N-2470.00.00.000 PP				
2	Изм.	б / н	Редикульцев	06.18					
Изм.	Лист	№ док.	Подпись	Дата					
									Лист
									103





Сумма прибавок к расчётной толщине стенки штуцера  $c_s$  3 мм

**Результаты расчёта**

Расчётный внутренний диаметр цилиндрической обечайки  
 $D_p = D =$  1600 мм

Расчётная толщина стенки корпуса  
 $s_p = \frac{pD}{2[\sigma]\varphi_p - p} =$  0.6109 мм

Расчётный диаметр отверстия  
 $d_p = d + 2c_s =$  58 мм

Расчётная толщина стенки штуцера  
 $s_{1p} = \frac{p(d + 2c_s)}{2[\sigma_1]\varphi_1 - p} =$  0.02215 мм

Расчётная длина штуцера  
 $l_{1p} = \min \{l_1; 1,25\sqrt{(d + 2c_s)(s_1 - c_s)}\} =$  50 мм

Отношение допускаемых напряжений штуцера и корпуса  
 $\chi_1 = \min \left\{ 1, 0; \frac{[\sigma_1]}{[\sigma]} \right\} =$  1

Ширина зоны укрепления, прилегающей к штуцеру  
 $L_o = \sqrt{D_p(s - c)} =$  225.9 мм

Расчётная ширина зоны укрепления, прилегающей к штуцеру  
 $l_p =$  225.9 мм

Расчётный диаметр неукрепляемого отверстия  
 $d_{op} = 0,4\sqrt{D_p(s - c)} =$  90.37 мм

Коэффициент понижения прочности узла врезки штуцера  
 $V = \min \left\{ 1; \frac{1 + \frac{l_{1p}(s_1 - c_s)\chi_1 + l_{2p}s_2\chi_2 + l_{3p}(s_3 - c_s - c_{s1})\chi_3}{l_p(s - c)}}{1 + 0,5\frac{d_p - d_{op}}{l_p} + K_1\frac{d + 2c_s}{D_p}\frac{\varphi l_{1p}}{\varphi_1 l_p}} \right\} =$  1

Допускаемое давление в пределах пластичности  
 $[p]_n = \frac{2K_1(s - c)[\sigma]V}{D_p + (s - c)V} =$  5.122 МПа

Допускаемое давление для узла врезки штуцера  
 $[p] = \frac{[p]_n}{\sqrt{1 + \left(\frac{[p]_n}{[p]_f}\right)^2}} =$  2.69 МПа

где  
 $K_1 =$  1

Узел врезки отвечает условиям прочности в соответствии с требованиями ГОСТ Р 52857.3-2007.

Инв. № подл.	Подп. и дата					Лист
	Инв. №					
	Взам. инв.					
	Подп. и дата					
3	Изм.	б / н	Редикульцев	06.18	20/30КУ-3N-2470.00.00.000 PP	105
2	Изм.	б / н	Редикульцев	06.18		
Изм.	Лист	№ док.	Подпись	Дата		

Подп. и дата	Инв. №	Взам. инв.	Подп. и дата	Инв. № подл.
Расчётный диаметр неукрепляемого отверстия				
$d_{\text{оп}} = 0,4 \sqrt{D_p (s - c)} =$				
225.9 мм				
90.37 мм				
Коэффициент понижения прочности узла врезки штуцера				
$V = \min \left\{ 1; \frac{1 + \frac{l_{1p}(s_1 - c_{s1}) \chi_1 + l_{2p}s_2 \chi_2 + l_{3p}(s_3 - c_{s3} - c_{s1}) \chi_3}{l_p(s - c)}}{1 + 0,5 \frac{d_p - d_{\text{оп}}}{l_p} + K_1 \frac{d + 2c_s}{D_p} \frac{\varphi l_{1p}}{\varphi l_p}} \right\} =$				
1				
Допускаемое давление в пределах пластичности				
$[p]_{\text{н}} = \frac{2K_1(s - c)[\sigma]}{D_p + (s - c)V} =$				
5.122 МПа				
Допускаемое давление для узла врезки штуцера				
$[p] = \frac{[p]_{\text{н}}}{\sqrt{1 + \left( \frac{[p]_{\text{н}}}{[p]_{\text{в}}} \right)^2}} =$				
2.69 МПа				
где				
$K_1 =$				
1				
Узел врезки отвечает условиям прочности в соответствии с требованиями ГОСТ Р 52857.3-2007.				

2.7. Патрубки штуцеров R1, R2, R3 DN50

Расчёт на прочность по ГОСТ Р 52857.2-2007.

Расчёт выполнен с помощью пакета прикладных программ расчёта на прочность элементов сосудов, аппаратов и трубопроводов PVP Design (Свидетельство о государственной регистрации 2008614973)

Элемент: Гладкая цилиндрическая обечайка, работающая под действием  
наружного давления.  
Режим: Расчет на вакуум.

Исходные данные

Материал обечайки	20КА, Труба		
Расчётная температура	T	252	°C
Расчётное давление	P	0.1	МПа
Внутренний диаметр обечайки	D	52	мм
Фактическая длина обечайки	Lact	129	мм
Расчётная длина обечайки	L	129	мм
Толщина стенки обечайки	S	8	мм
Прибавка на коррозию	c <sub>1</sub>	3	мм
Прибавка – минусовый допуск	c <sub>2</sub>	1.2	мм
Прибавка технологическая	c <sub>3</sub>	0	мм
Сумма прибавок к расчётной толщине стенки (см. п.12 ГОСТ Р 52857.1)	c	4.2	мм
Коэффициент прочности продольного сварного шва	φ <sub>p</sub>	1	
Допускаемое напряжение	[σ]	131	МПа
Модуль продольной упругости	E	1.755e+05	МПа

Результаты расчёта

Допускаемое наружное давление	$[p] = \frac{[p]_н}{\sqrt{1 + \left(\frac{[p]_н}{[p]_в}\right)^2}} =$	17.49 МПа
Допускаемое наружное давление из условий прочности	$[p]_н = \frac{2[\sigma](s - c)}{D + (s - c)} =$	17.84 МПа
Допускаемое наружное давление из условий устойчивости в пределах упругости	$[p]_в = \frac{20,8 \cdot 10^{-6} E D}{n_y \cdot B_1 L} \left[ \frac{100(s - c)}{D} \right]^{2,5} =$	88.51
Коэффициент	$B_1 = \min \left\{ 1,0, \ 9,45 \frac{D}{L} \sqrt{\frac{D}{100(s - c)}} \right\} =$	1
Наибольший диаметр отверстия не требующего доп. укрепления	$d_o =$	52 мм

Подп. и дата						20/30КУ-3N-2470.00.00.000 PP	Лист
Инв. №							
Взам. инв.							
Подп. и дата							
Инв. № подл.	3	Изм.	б / н	Редикульцев	06.18		106
	2	Изм.	б / н	Редикульцев	06.18		
	Изм.	Лист	№ док.	Подпись	Дата		

<i>Результаты расчёта</i>							
Допускаемое наружное давление							
$[p] = \frac{[p]_н}{\sqrt{1 + \left(\frac{[p]_н}{[p]_в}\right)^2}} =$						17.49 МПа	
Допускаемое наружное давление из условий прочности							
$[p]_н = \frac{2[\sigma](s - c)}{D + (s - c)} =$						17.84 МПа	
Допускаемое наружное давление из условий устойчивости в пределах упругости							
$[p]_в = \frac{20,8 \cdot 10^{-6} E}{n_y \cdot B_1} \frac{D}{L} \left[ \frac{100(s - c)}{D} \right]^{2,5} =$						88.51	
Коэффициент							
$B_1 = \min \left\{ 1,0, \quad 9,45 \frac{D}{L} \sqrt{\frac{D}{100(s - c)}} \right\} =$						1	
Наибольший диаметр отверстия не требующего доп. укрепления							
$d_o =$						52 мм	

Обечайка отвечает условиям прочности и устойчивости в соответствии с требованиями ГОСТ Р 52857.2-2007.

Инв. № подл.	Подп. и дата		Взам. инв.	Инв. №	Подп. и дата		
3	Изм.	б / н	Редикульцев	06.18	20/30КУ-3N-2470.00.00.000 PP		Лист
2	Изм.	б / н	Редикульцев	06.18			107
Изм.	Лист	№ док.	Подпись	Дата			

## 2.8. Отводы 1 R1, R2, R3 DN50

Расчёт на прочность по ПНАЭ Г-7-002-86 и ГОСТ Р 52857.1

Расчёт выполнен с помощью пакета прикладных программ расчёта на прочность элементов сосудов, аппаратов и трубопроводов PVP Design (Свидетельство о государственной регистрации 2008614973)

Элемент: Отвод.

Расчёт на действие давления и внешних нагрузок от присоединенного трубопровода.

Толщины стенок с внешней и внутренней сторон отвода одинаковые.

Режим: Расчет на вакуум.

### Исходные данные

Материал отвода	20КА, Труба		
Расчётная температура	$T$	252	°C
Расчётное давление	$P$	0.1	МПа
Внешняя перерезывающая сила из плоскости отвода, действующая по оси x	$F_{x0}$	0	Н
Внешняя перерезывающая сила в плоскости отвода, действующая по оси y	$F_{y0}$	0	Н
Внешняя осевая сила, действующая по оси z	$F_{z0}$	0	Н
Внешний изгибающий момент, действующий из плоскости отвода, относительно оси x	$M_{x0}$	0	Н мм
Внешний изгибающий момент, действующий в плоскости отвода, относительно оси y	$M_{y0}$	0	Н мм
Внешний крутящий момент, действующий относительно оси z	$M_{z0}$	0	Н мм
Радиусгиба (измеряется по оси отвода)	$R_s$	100	мм
Наружный диаметр	$D_a$	68	мм
Овальность поперечного сечения	$a$	12.5	%
Угол поворота отвода	$\alpha$	90	град
Номинальная толщина стенки	$s$	8	мм
Прибавка для компенсации коррозии	$c_1$	3	мм
Минусовой допуск на толщину стенки	$c_2$	1	мм
Технологическая прибавка к толщине стенки	$c_3$	0	мм
Допускаемое напряжение для материала отвода	$[\sigma]$	131	МПа
Модуль продольной упругости	$E$	1.755e+05	МПа
Коэффициент прочности продольного сварного шва	$\varphi_p$	1	
Коэффициент прочности кольцевого сварного шва	$\varphi_T$	1	

### Результаты расчёта

Расчёт на действие давления

Вспомогательный коэффициент  $b$

$$b = \text{Max} \left\{ \frac{P}{2[\sigma] + P}; 0.03 \right\} = 0.03$$

Подп. и дата	Инв. №	Взам. инв.	Подп. и дата	Инв. № подл.					
					3	Изм.	б / н	Редикulyцев	06.18
					2	Изм.	б / н	Редикulyцев	06.18
					Изм.	Лист	№ док.	Подпись	Дата
					20/30КУ-3N-2470.00.00.000 PP				
					Лист				
					108				

Вспомогательный коэффициент q

$$q = \text{Min} \left\{ \left( 2b \frac{R_s}{D_a} + 0.5 \right); 1.0 \right\} = 0.5882$$

Торовый коэффициент для внешней стороны отвода

$$K_1 = \frac{4R_s + D_a}{4R_s + 2D_a} = 0.8731$$

Торовый коэффициент для внутренней стороны отвода

$$K_2 = \frac{4R_s - D_a}{4R_s - 2D_a} = 1.258$$

Торовый коэффициент для средней части отвода (+-15% от нейтральной линии)

$$K_3 = 1 = 1$$

Коэффициент формы для внешней стороны отвода

$$Y_1 = \text{Max} \left\{ 0.12 \left( 1 + \sqrt{1 + 0.4 \frac{a}{b} q} \right); 1.0 \right\} = 1.314$$

Коэффициент формы для внутренней стороны отвода

$$Y_2 = Y_1 = 1.314$$

Коэффициент формы для средней части отвода (+-15% от нейтральной линии)

$$Y_3 = \text{Max} \left\{ 0.12 \left( 1 + \sqrt{0.4 \frac{a}{b}} \right); 1.0 \right\} = 1.674$$

Расчётная толщина стенки для внешней стороны отвода

$$s_{1p} = \frac{p D_a Y_1 K_1}{2 \varphi_p [\sigma] + p} = 0.02977 \text{ мм}$$

Расчётная толщина стенки для внутренней стороны отвода

$$s_{2p} = \frac{p D_a Y_2 K_2}{2 \varphi_p [\sigma] + p} = 0.04288 \text{ мм}$$

Расчётная толщина стенки для средней части отвода (+-15% от нейтральной линии)

$$s_{3p} = \frac{p D_a Y_3 K_3}{2 \varphi_p [\sigma] + p} = 0.04343 \text{ мм}$$

Допускаемое давление

$$[p] = \text{Min} \left\{ \frac{2(s_1 - c_1 - c_2 - c_{31}) \varphi_p [\sigma]}{K_1 Y_1 D_a - (s_1 - c_1 - c_2 - c_{31})}; \frac{2(s_2 - c_1 - c_2 - c_{32}) \varphi_p [\sigma]}{K_2 Y_2 D_a - (s_2 - c_1 - c_2 - c_{32})}; \frac{2(s_3 - c_1 - c_2 - c_{33}) \varphi_p [\sigma]}{K_3 Y_3 D_a - (s_3 - c_1 - c_2 - c_{33})} \right\} = 9.543 \text{ МПа}$$

Расчёт на совместное действие давления и внешних нагрузок

Площадь поперечного сечения

$$A_s = \frac{\pi}{4} \left( D_a^2 - [D_a - 2(s - c_1 - c_2)]^2 \right) = 804.2 \text{ мм}^2$$

Подп. и дата		Инв. №		Взам. инв.		Подп. и дата		Инв. № подл.	
3	Изм.	б / н	Редикульцев	06.18	20/30КУ-3N-2470.00.00.000 PP				Лист
2	Изм.	б / н	Редикульцев	06.18					109
Изм.	Лист	№ док.	Подпись	Дата					

Инв. № подл.	Подп. и дата		Инв. №		Взам. инв.		Подп. и дата		
3		Изм.	б / н	Редикульцев	06.18	20/30КУ-3N-2470.00.00.000 PP			Лист
2		Изм.	б / н	Редикульцев	06.18				110
Изм.	Лист	№ док.	Подпись	Дата					

Инв. № подл.	Подп. и дата	Взам. инв.	Инв. №	Подп. и дата	$\sigma_{xp}$	$4A_3$	0.3516 МПа				
					Расчётное радиальное напряжение						
					$\sigma_r = -\frac{p}{2} =$			-0.05 МПа			
					Условие статической прочности по суммарным мембранным и общим изгибным напряжениям:						
					$\sigma_2 = \text{Max} \left\{ \frac{1}{2} \left  2\sigma_z - \sigma_w - \sigma_r \pm \sqrt{(\sigma_w - \sigma_r)^2 + 4\tau^2} \right ; \sqrt{(\sigma_w - \sigma_r)^2 + 4\tau^2} \right\} \leq [\sigma]_{\text{М}} = 1.5[\sigma]$						
					где:						
					Расчётное осевое напряжение						
					$\sigma_z = \pm \frac{\sqrt{M_x^2 + M_y^2}}{\varphi_T W} + \frac{F_z}{A_3} + \sigma_{xp}$						
					Расчётное напряжение кручения:						
					$\tau = \frac{M_z}{2W}$						
					Дополнительное условие статической прочности по суммарным мембранным и общим изгибным напряжениям при $\lambda \leq 1.4$ :						
Инв. № подл.	Подп. и дата	Взам. инв.	Инв. №	Подп. и дата	3	Изм.	б / н	Редикульцев	06.18	20/30КУ-3N-2470.00.00.000 PP	Лист
					2	Изм.	б / н	Редикульцев	06.18		111
					Изм.	Лист	№ док.	Подпись	Дата		

Инв. № подл.	Подп. и дата				Взам. инв.	Инв. №	Подп. и дата	
3	Изм.	б / н	Редикульцев	06.18	20/30КУ-3N-2470.00.00.000 PP			Лист
2	Изм.	б / н	Редикульцев	06.18				112
Изм.	Лист	№ док.	Подпись	Дата				



### 2.9. Патрубки 2 штуцеров R1, R2, R3 DN50

Расчёт на прочность по ГОСТ Р 52857.2-2007.

Расчёт выполнен с помощью пакета прикладных программ расчёта на прочность элементов сосудов, аппаратов и трубопроводов PVP Design (Свидетельство о государственной регистрации 2008614973)

Элемент: Гладкая цилиндрическая обечайка, работающая под действием  
наружного давления.

Режим: Расчет на вакуум.

### *Исходные данные*

## Материал обечайки

20КА, Труба

### Расчётная температура

T 252 °C

Расчётное давление

P 0.1 MПа

Внутренний диаметр обечайки

D 52 MM

### Фактическая длина обечайки

Lact 385 MM

### Расчётная длина обечайки

L 385 MM

Толщина стенки обечайки

S 8 MM

### Прибавка на коррозию

$c_1$	0	MM
-------	---	----

### Прибавка – минусовый допуск

$c_2$	1.2	MM
-------	-----	----

## Прибавка технологическая

$c_3$	0	MM
-------	---	----

Сумма прибавок к расчётной толщине стенки  
(см. п.12 ГОСТ Р 52857.1)

c 1.2 MM

Коэффициент прочности продольного сварного шва

$$\Phi_n \quad 1$$

Допускаемое напряжение

$[\sigma]$  131 МПа

Модуль продольной упругости

E	1.755e+05	МПа
---	-----------	-----

### Результаты расчёта

Допускаемое наружное давление

$$[p] = \frac{[p]_{\text{н}}}{\sqrt{1 + \left( \frac{[p]_{\text{н}}}{[p]_{\text{в}}} \right)^2}} = 30.19 \text{ МПа}$$

Допускаемое наружное давление из условий прочности

$$[\rho]_R = \frac{2[\sigma](s-c)}{D + (s-c)} = 30.3 \text{ МПа}$$

Допускаемое наружное давление из условий устойчивости в пределах упругости

$$[p]_E = \frac{20,8 \cdot 10^{-6} E D}{n_v \cdot B_1 L} \left[ \frac{100(s-c)}{D} \right]^{2,5} = 359,9$$

Коэффициент

$$B_1 = \min \left\{ 1, 0; \quad 9,45 \frac{D}{L} \sqrt{\frac{D}{100(s-c)}} \right\} = \quad 0.353$$

Наибольший диаметр отверстия не требующего доп. укрепления

$$d_o = 52 \text{ mm}$$

Допускаемое напряжение	[σ]	151	МПа				
Модуль продольной упругости	E	1.755e+05	МПа				
Результаты расчёта							
Допускаемое наружное давление							
	$[p] = \frac{[p]_H}{\sqrt{1 + \left(\frac{[p]_H}{[p]_B}\right)^2}} =$	30.19 МПа					
Допускаемое наружное давление из условий прочности							
	$[p]_H = \frac{2[\sigma](s - c)}{D + (s - c)} =$	30.3 МПа					
Допускаемое наружное давление из условий устойчивости в пределах упругости							
	$[p]_B = \frac{20,8 \cdot 10^{-6} E}{n_y \cdot B_1} \frac{D}{L} \left[ \frac{100(s - c)}{D} \right]^{2,5} =$	359.9					
Коэффициент							
	$B_1 = \min \left\{ 1,0; \quad 9,45 \frac{D}{L} \sqrt{\frac{D}{100(s - c)}} \right\} =$	0.353					
Наибольший диаметр отверстия не требующего доп. укрепления							
	$d_o =$	52 мм					
Инв. № подл.	3	Изм.	б / н	Редикульцев	06.18	20/30КУ-3N-2470.00.00.000 PP	Лист
	2	Изм.	б / н	Редикульцев	06.18		113
	Изм.	Лист	№ док.	Подпись	Дата		

Обечайка отвечает условиям прочности и устойчивости в соответствии с требованиями ГОСТ Р 52857.2-2007 .

Инв. № подл.	Подп. и дата		Инв. №		Взам. инв.		Подп. и дата		
3	Изм.	б / н	Редикульцев	06.18	20/30КУ-3N-2470.00.00.000 PP				Лист
2	Изм.	б / н	Редикульцев	06.18					114
Изм.	Лист	№ док.	Подпись	Дата					

## 2.10. Отводы 2 R1, R2, R3 DN50

Расчёт на прочность по ПНАЭ Г-7-002-86 и ГОСТ Р 52857.1

Расчёт выполнен с помощью пакета прикладных программ расчёта на прочность элементов сосудов, аппаратов и трубопроводов PVP Design (Свидетельство о государственной регистрации 2008614973)

Элемент: Отвод.

Расчёт на действие давления и внешних нагрузок от присоединенного трубопровода.

Толщины стенок с внешней и внутренней сторон отвода одинаковые.

Режим: Расчет на вакуум.

### Исходные данные

Материал отвода	20КА, Труба		
Расчётная температура	$T$	252	°C
Расчётное давление	$P$	0.1	МПа
Внешняя перерезывающая сила из плоскости отвода, действующая по оси x	$F_{x0}$	0	Н
Внешняя перерезывающая сила в плоскости отвода, действующая по оси y	$F_{y0}$	0	Н
Внешняя осевая сила, действующая по оси z	$F_{z0}$	0	Н
Внешний изгибающий момент, действующий из плоскости отвода, относительно оси x	$M_{x0}$	0	Н мм
Внешний изгибающий момент, действующий в плоскости отвода, относительно оси y	$M_{y0}$	0	Н мм
Внешний крутящий момент, действующий относительно оси z	$M_{z0}$	0	Н мм
Радиус гиба (измеряется по оси отвода)	$R_g$	100	мм
Наружный диаметр	$D_a$	68	мм
Овальность поперечного сечения	$\alpha$	12.5	%
Угол поворота отвода	$\alpha$	30	град
Номинальная толщина стенки	$s$	8	мм
Прибавка для компенсации коррозии	$c_1$	3	мм
Минусовой допуск на толщину стенки	$c_2$	1	мм
Технологическая прибавка к толщине стенки	$c_3$	0	мм
Допускаемое напряжение для материала отвода	$[\sigma]$	131	МПа
Модуль продольной упругости	$E$	1.755e+05	МПа
Коэффициент прочности продольного сварного шва	$\varphi_p$	1	
Коэффициент прочности кольцевого сварного шва	$\varphi_T$	1	

### Результаты расчёта

Расчёт на действие давления

Вспомогательный коэффициент  $b$

$$b = \text{Max} \left\{ \frac{P}{2[\sigma] + P}; 0.03 \right\} = 0.03$$

Подп. и дата	Инв. №	Взам. инв.	Подп. и дата	Инв. № подл.					
					3	Изм.	б / н	Редиккульцев	06.18
					2	Изм.	б / н	Редиккульцев	06.18
					Изм.	Лист	№ док.	Подпись	Дата
					20/30КУ-3N-2470.00.00.000 PP				
					Лист 115				

Вспомогательный коэффициент q

$$q = \text{Min} \left\{ \left( 2b \frac{R_s}{D_a} + 0.5 \right); 1.0 \right\} = 0.5882$$

Торовый коэффициент для внешней стороны отвода

$$K_1 = \frac{4R_s + D_a}{4R_s + 2D_a} = 0.8731$$

Торовый коэффициент для внутренней стороны отвода

$$K_2 = \frac{4R_s - D_a}{4R_s - 2D_a} = 1.258$$

Торовый коэффициент для средней части отвода (+-15% от нейтральной линии)

$$K_3 = 1 = 1$$

Коэффициент формы для внешней стороны отвода

$$Y_1 = \text{Max} \left\{ 0.12 \left( 1 + \sqrt{1 + 0.4 \frac{a}{b} q} \right); 1.0 \right\} = 1.314$$

Коэффициент формы для внутренней стороны отвода

$$Y_2 = Y_1 = 1.314$$

Коэффициент формы для средней части отвода (+-15% от нейтральной линии)

$$Y_3 = \text{Max} \left\{ 0.12 \left( 1 + \sqrt{0.4 \frac{a}{b}} \right); 1.0 \right\} = 1.674$$

Расчётная толщина стенки для внешней стороны отвода

$$s_{1p} = \frac{p D_a Y_1 K_1}{2 \varphi_p [\sigma] + p} = 0.02977 \text{ мм}$$

Расчётная толщина стенки для внутренней стороны отвода

$$s_{2p} = \frac{p D_a Y_2 K_2}{2 \varphi_p [\sigma] + p} = 0.04288 \text{ мм}$$

Расчётная толщина стенки для средней части отвода (+-15% от нейтральной линии)

$$s_{3p} = \frac{p D_a Y_3 K_3}{2 \varphi_p [\sigma] + p} = 0.04343 \text{ мм}$$

Допускаемое давление

$$[p] = \text{Min} \left\{ \frac{2(s_1 - c_1 - c_2 - c_{31}) \varphi_p [\sigma]}{K_1 Y_1 D_a - (s_1 - c_1 - c_2 - c_{31})}; \frac{2(s_2 - c_1 - c_2 - c_{32}) \varphi_p [\sigma]}{K_2 Y_2 D_a - (s_2 - c_1 - c_2 - c_{32})}; \frac{2(s_3 - c_1 - c_2 - c_{33}) \varphi_p [\sigma]}{K_3 Y_3 D_a - (s_3 - c_1 - c_2 - c_{33})} \right\} = 9.543 \text{ МПа}$$

Расчёт на совместное действие давления и внешних нагрузок

Площадь поперечного сечения

$$A_s = \frac{\pi}{4} \left( D_a^2 - [D_a - 2(s - c_1 - c_2)]^2 \right) = 804.2 \text{ мм}^2$$

Инв. № подл.	Подп. и дата	Взам. инв.	Инв. №	Подп. и дата					
3	Изм.	б / н	Редикульцев	06.18	20/30КУ-3N-2470.00.00.000 PP				
2	Изм.	б / н	Редикульцев	06.18					
Изм.	Лист	№ док.	Подпись	Дата					
									Лист
									116

Инв. № подл.	Подп. и дата		Инв. №		Взам. инв.		Подп. и дата			
3		Изм.	б / н	Редикульцев	06.18	20/30КУ-3N-2470.00.00.000 PP				Лист
2		Изм.	б / н	Редикульцев	06.18					117
Изм.		Лист	№ док.	Подпись	Дата					

Инв. № подл.	Подп. и дата	Взам. инв.	Инв. №	Подп. и дата	$\sigma_{xp}$	$4A_3$	0.3516 МПа				
					Расчётное радиальное напряжение						
					$\sigma_r = -\frac{p}{2} =$				-0.05 МПа		
					Условие статической прочности по суммарным мембранным и общим изгибным напряжениям:						
					$\sigma_2 = \text{Max} \left\{ \frac{1}{2} \left  2\sigma_z - \sigma_w - \sigma_r \pm \sqrt{(\sigma_w - \sigma_r)^2 + 4\tau^2} \right ; \sqrt{(\sigma_w - \sigma_r)^2 + 4\tau^2} \right\} \leq [\sigma]_M = 1.5[\sigma]$						
					где:						
					Расчётное осевое напряжение						
					$\sigma_z = \pm \frac{\sqrt{M_x^2 + M_y^2}}{\varphi_T W} + \frac{F_z}{A_3} + \sigma_{xp}$						
					Расчётное напряжение кручения:						
					$\tau = \frac{M_z}{2 W}$						
					Дополнительное условие статической прочности по суммарным мембранным и общим изгибным напряжениям при $\lambda \leq 1.4$ :						
Инв. № подл.	Подп. и дата	Взам. инв.	Инв. №	Подп. и дата	3	Изм.	б / н	Редикульцев	06.18	20/30КУ-3N-2470.00.00.000 PP	Лист
					2	Изм.	б / н	Редикульцев	06.18		118
					Изм.	Лист	№ док.	Подпись	Дата		

Инв. № подл.	Подп. и дата				Взам. инв.	Инв. №	Подп. и дата	
3	Изм.	б / н	Редикульцев	06.18	<b>20/30КУ-3N-2470.00.00.000 PP</b>			Лист
2	Изм.	б / н	Редикульцев	06.18				119
Изм.	Лист	№ док.	Подпись	Дата				





Перерезывающая сила вдоль оси Х действующая на штуцер	$F_x$	1250	Н
Перерезывающая сила вдоль оси Y действующая на штуцер	$F_y$	1250	Н
Модуль продольной упругости материала обечайки	$E$	1.755e+05	МПа
Коэффициент Пуассона обечайки	$\mu$	0.3	
Модуль продольной упругости материала штуцера	$E_1$	1.755e+05	МПа
Коэффициент Пуассона штуцера	$\mu_1$	0.3	
Прибавка для компенсации коррозии и эрозии стенки корпуса	$c_1$	3	мм
Прибавка для компенсации минусового допуска стенки корпуса	$c_2$	1.1	мм
Прибавка технологическая стенки корпуса	$c_3$	0	мм
Прибавка для компенсации коррозии и эрозии стенки штуцера	$c_{,1}$	3	мм
Прибавка для компенсации минусового допуска стенки штуцера	$c_{,2}$	0	мм
Прибавка технологическая стенки штуцера	$c_{,3}$	0	мм
Сумма прибавок к расчётной толщине стенки корпуса	$c$	4.1	мм
Сумма прибавок к расчётной толщине стенки штуцера	$c_{,}$	3	мм

### Результаты расчёта

Расчётный внутренний диаметр цилиндрической обечайки  
 $D_p = D =$  1600 мм

Расчётная толщина стенки корпуса  
 $s_p = \frac{pD}{2[\sigma]\varphi_p - p} =$  0.6109 мм

Расчётный диаметр отверстия  
 $d_p = d + 2c_{,} =$  69 мм

Расчётная толщина стенки штуцера  
 $s_{1p} = \frac{p(d + 2c_{,})}{2[\sigma]_1\varphi_1 - p} =$  0.02635 мм

Расчётная длина штуцера  
 $l_{1p} = \min \{l_1; 1,25\sqrt{(d + 2c_{,})(s_1 - c_{,})}\} =$  55.92 мм

Отношение допускаемых напряжений штуцера и корпуса  
 $\lambda_1 = \min \left\{ 1,0; \frac{[\sigma]_1}{[\sigma]} \right\} =$  1

Ширина зоны укрепления, прилегающей к штуцеру  
 $L_o = \sqrt{D_p(s - c)} =$  225.9 мм

Расчётная ширина зоны укрепления, прилегающей к штуцеру  
 $l_p =$  225.9 мм

Расчётный диаметр неукрепляемого отверстия  
 $d_{op} = 0,4\sqrt{D_p(s - c)} =$  90.37 мм

Коэффициент понижения прочности узла врезки штуцера

Инв. № подл.	Подп. и дата	Взам. инв.	Инв. №	Подп. и дата						Лист
					3	Изм.	б / н	Редикульцев	06.18	
					2	Изм.	б / н	Редикульцев	06.18	
					Изм.	Лист	№ док.	Подпись	Дата	121

$$V = \min \left\{ 1; \frac{1 + \frac{l_{1p}(s_1 - c_s) \chi_1 + l_{2p}s_2 \chi_2 + l_{3p}(s_3 - c_s - c_{s1}) \chi_3}{l_p(s - c)}}{1 + 0,5 \frac{d_p - d_{оп}}{l_p} + K_1 \frac{d + 2c_s}{D_p} \frac{\varphi l_{1p}}{\varphi_1 l_p}} \right\} = 1$$

Допускаемое давление в пределах пластичности

$$[p]_n = \frac{2K_1(s - c)[\sigma]}{D_p + (s - c)V} = 5.122 \text{ МПа}$$

Допускаемое давление для узла врезки штуцера

$$[p] = \frac{[p]_n}{\sqrt{1 + \left( \frac{[p]_n}{[p]_x} \right)^2}} = 2.69 \text{ МПа}$$

где

$$K_1 = 1$$

Приведенное суммарное напряжение в зоне обечайки

$$\sigma_{p-o} = 6.35 < 3[\sigma] = 393 \text{ МПа}$$

Приведенное мембранное напряжение в зоне обечайки

$$\sigma_{pm-o} = 5.88 < 1.5[\sigma] = 196.5 \text{ МПа}$$

Приведенное суммарное напряжение в зоне штуцера

$$\sigma_{p-шт} = 6.52 < 3[\sigma] = 393 \text{ МПа}$$

Приведенное мембранное напряжение в зоне штуцера

$$\sigma_{pm-шт} = 6.27 < 1.5[\sigma] = 196.5 \text{ МПа}$$

Приведенное суммарное напряжение на внутренней поверхности обечайки, перехода или днища

$$\sigma_{p-en-o} = 8.57 < 3[\sigma] = 393 \text{ МПа}$$

Приведенное суммарное напряжение на внутренней поверхности штуцера

$$\sigma_{p-en-шт} = 11.44 < 3[\sigma] = 393 \text{ МПа}$$

Узел врезки отвечает условиям прочности в соответствии с требованиями ГОСТ Р 52857.3-2007.

Инв. № подл.	Подп. и дата	Инв. №	Взам. инв.	Подп. и дата					
3	Изм.	б / н	Редикульцев	06.18	20/30КУ-3N-2470.00.00.000 РР				
2	Изм.	б / н	Редикульцев	06.18					
Изм.	Лист	№ док.	Подпись	Дата					
									Лист
									122



Обечайка отвечает условиям прочности и устойчивости в соответствии с требованиями ГОСТ Р 52857.2-2007.

Инв. № подл.	Подп. и дата		Взам. инв.		Инв. №		Подп. и дата		
3	Изм.	б / н	Редикульцев	06.18	20/30КУ-3N-2470.00.00.000 PP				Лист
2	Изм.	б / н	Редикульцев	06.18					124
Изм.	Лист	№ док.	Подпись	Дата					



Сумма прибавок к расчётной толщине стенки штуцера  $c_s$  3 мм

**Результаты расчёта**

Расчётный внутренний диаметр цилиндрической обечайки  
 $D_p = D =$  1600 мм

Расчётная толщина стенки корпуса  
 $s_p = \frac{pD}{2[\sigma]\varphi_p - p} =$  0.6109 мм

Расчётный диаметр отверстия  
 $d_p = d + 2c_s =$  31 мм

Расчётная толщина стенки штуцера  
 $s_{1p} = \frac{p(d + 2c_s)}{2[\sigma_1]\varphi_1 - p} =$  0.01184 мм

Расчётная длина штуцера  
 $l_{1p} = \min \{l_1; 1,25\sqrt{(d + 2c_s)(s_1 - c_s)}\} =$  28.7 мм

Отношение допускаемых напряжений штуцера и корпуса  
 $\chi_1 = \min \left\{ 1, 0; \frac{[\sigma_1]}{[\sigma]} \right\} =$  1

Ширина зоны укрепления, прилегающей к штуцеру  
 $L_o = \sqrt{D_p(s - c)} =$  225.9 мм

Расчётная ширина зоны укрепления, прилегающей к штуцеру  
 $l_p =$  225.9 мм

Расчётный диаметр неукрепляемого отверстия  
 $d_{op} = 0,4\sqrt{D_p(s - c)} =$  90.37 мм

Коэффициент понижения прочности узла врезки штуцера  

$$V = \min \left\{ 1; \frac{1 + \frac{l_{1p}(s_1 - c_s)\chi_1 + l_{2p}s_2\chi_2 + l_{3p}(s_3 - c_s - c_{s1})\chi_3}{l_p(s - c)}}{1 + 0,5\frac{d_p - d_{op}}{l_p} + K_1\frac{d + 2c_s}{D_p}\frac{\varphi l_{1p}}{\varphi_1 l_p}} \right\} =$$
 1

Допускаемое давление в пределах пластичности  
 $[p]_n = \frac{2K_1(s - c)[\sigma]V}{D_p + (s - c)V} =$  5.122 МПа

Допускаемое давление для узла врезки штуцера  
 $[p] = \frac{[p]_n}{\sqrt{1 + \left(\frac{[p]_n}{[p]_z}\right)^2}} =$  2.69 МПа

где  
 $K_1 =$  1

Узел врезки отвечает условиям прочности в соответствии с требованиями ГОСТ Р 52857.3-2007.

Инв. № подл.	Подп. и дата				Лист	
	Инв. №					
	Взам. инв.					
	Подп. и дата					
3	Изм.	б / н	Редикульцев	06.18	20/30КУ-3N-2470.00.00.000 PP	126
2	Изм.	б / н	Редикульцев	06.18		
Изм.	Лист	№ док.	Подпись	Дата		

Расчётный диаметр неукрепляемого отверстия	$d_{оп} = 0,4 \sqrt{D_p (s - c)} =$	225.9 мм
Коэффициент понижения прочности узла врезки штуцера	$V = \min \left\{ 1; \frac{1 + \frac{l_{1p}(s_1 - c_s) \chi_1 + l_{2p}s_2 \chi_2 + l_{3p}(s_3 - c_s - c_{s1}) \chi_3}{l_p(s - c)}}{1 + 0,5 \frac{d_p - d_{оп}}{l_p} + K_1 \frac{d + 2c_s}{D_p} \frac{\varphi l_{1p}}{\varphi l_p}} \right\} =$	90.37 мм
Допускаемое давление в пределах пластичности	$[p]_{\kappa} = \frac{2K_1(s - c)[\sigma]}{D_p + (s - c)V} V =$	1
Допускаемое давление для узла врезки штуцера	$[p] = \frac{[p]_{\kappa}}{\sqrt{1 + \left( \frac{[p]_{\kappa}}{[p]_B} \right)^2}} =$	5.122 МПа
где	$K_1 =$	2.69 МПа
Узел врезки отвечает условиям прочности в соответствии с требованиями ГОСТ Р 52857.3-2007.		1

## 2.14. Штуцер G DN50

Расчёт на прочность по ГОСТ Р 52857.3-2007.

Расчёт выполнен с помощью пакета прикладных программ расчёта на прочность элементов сосудов, аппаратов и трубопроводов PVP Design (Свидетельство о государственной регистрации 2008614973)

Элемент: Укрепление отверстий в обечайках и днищах.

Наружное давление.

Отверстие в цилиндрической обечайке.

Расчёт укрепления одиночного отверстия.

Укрепление непропущенным (непроходящим) штуцером.

Штуцер с осью нормальной к корпусу сосуда.

Расчёт с учетом внешних нагрузок методом конечных элементов.

Внешние нагрузки определялись без учета стесненности температурных деформаций.

Внешние нагрузки приложены в месте пересечения оси штуцера с образующей обечайки или днища.

Режим: Расчет на вакуум.

### Исходные данные

Материал корпуса	20КА, Лист		
Материал штуцера	20КА, Поковка		
Расчётная температура	$T$	252	°C
Расчётное давление	$P$	0.1	МПа
Внутренний диаметр обечайки, днища или конического перехода, в месте расположения отверстия	$D$	1600	мм
Исполнительная толщина стенки обечайки, конического перехода или днища	$\delta$	36	мм
Коэффициент прочности сварных соединений обечаек и днищ	$\varphi$	1	
Допускаемое напряжение для материала обечайки, перехода или днища при расчётной температуре	$[\sigma]$	131	МПа
Допускаемое наружное давление в пределах упругости	$[p]_E$	3.16	МПа
Внутренний диаметр штуцера	$d$	46	мм
Исполнительная толщина стенки штуцера	$\delta_1$	20	мм
Исполнительная длина штуцера (для заведомо длинных штуцеров $l_1=0$ )	$l_1$	182	мм
Допускаемое напряжение для материала штуцера	$[\sigma]_1$	131	МПа
Коэффициент прочности продольного сварного шва штуцера	$\varphi_1$	1	
Расстояние от наружной поверхности штуцера до ближайшего несущего конструктивного элемента (или $L_k=0$ )	$L_k$	1346	мм
Размер сварного шва приварки штуцера (по образующей обечайки)	$\alpha$	0	мм
Размер сварного шва приварки штуцера (по образующей штуцера)	$b$	0	мм
Вылет штуцера	$L_f$	249	мм
Осевая нагрузка на штуцер	$F_z$	1700	Н
Изгибающий момент вокруг оси X действующий на штуцер	$M_x$	3.5e+05	Н*мм
Изгибающий момент вокруг оси Y действующий на штуцер	$M_y$	5e+05	Н*мм
Изгибающий момент вокруг оси Z действующий на штуцер	$M_z$	6e+05	Н*мм

Подп. и дата	Инов. №	Взам. инв.	Подп. и дата	Инов. № подл.					
3	Изм.	б / н	Редикольцев	06.18					
2	Изм.	б / н	Редикольцев	06.18					
Изм.	Лист	№ док.	Подпись	Дата					
					20/30КУ-3N-2470.00.00.000 PP				
					Лист				
					127				

Перерезывающая сила вдоль оси X действующая на штуцер	$F_x$	1250	Н
Перерезывающая сила вдоль оси Y действующая на штуцер	$F_y$	1250	Н
Модуль продольной упругости материала обечайки	$E$	1.755e+05	МПа
Коэффициент Пуассона обечайки	$\mu$	0.3	
Модуль продольной упругости материала штуцера	$E_1$	1.755e+05	МПа
Коэффициент Пуассона штуцера	$\mu_1$	0.3	
Прибавка для компенсации коррозии и эрозии стенки корпуса	$c_1$	3	мм
Прибавка для компенсации минусового допуска стенки корпуса	$c_2$	1.1	мм
Прибавка технологическая стенки корпуса	$c_3$	0	мм
Прибавка для компенсации коррозии и эрозии стенки штуцера	$c_{,1}$	3	мм
Прибавка для компенсации минусового допуска стенки штуцера	$c_{,2}$	0	мм
Прибавка технологическая стенки штуцера	$c_{,3}$	0	мм
Сумма прибавок к расчётной толщине стенки корпуса	$c$	4.1	мм
Сумма прибавок к расчётной толщине стенки штуцера	$c_s$	3	мм

### Результаты расчёта

Расчётный внутренний диаметр цилиндрической обечайки  
 $D_p = D =$  1600 мм

Расчётная толщина стенки корпуса  
 $s_p = \frac{pD}{2[\sigma]\varphi_p - p} =$  0.6109 мм

Расчётный диаметр отверстия  
 $d_p = d + 2c_s =$  52 мм

Расчётная толщина стенки штуцера  
 $s_{1p} = \frac{p(d + 2c_s)}{2[\sigma]\varphi_1 - p} =$  0.01985 мм

Расчётная длина штуцера  
 $l_{1p} = \min \{l_1; 1,25\sqrt{(d + 2c_s)(s_1 - c_s)}\} =$  37.17 мм

Отношение допускаемых напряжений штуцера и корпуса  
 $\lambda_1 = \min \left\{ 1, 0; \frac{[\sigma]_1}{[\sigma]} \right\} =$  1

Ширина зоны укрепления, прилегающей к штуцеру  
 $L_o = \sqrt{D_p(s - c)} =$  225.9 мм

Расчётная ширина зоны укрепления, прилегающей к штуцеру  
 $l_p =$  225.9 мм

Расчётный диаметр неукрепляемого отверстия  
 $d_{op} = 0,4\sqrt{D_p(s - c)} =$  90.37 мм

Коэффициент понижения прочности узла врезки штуцера

Подп. и дата									
Инв. №									
Взам. инв.									
Подп. и дата									
Инв. № подл.									
3	Изм.	б / н	Редикульцев	06.18	20/30КУ-3N-2470.00.00.000 PP				Лист
2	Изм.	б / н	Редикульцев	06.18					128
Изм.	Лист	№ док.	Подпись	Дата					



$$V = \min \left\{ 1; \frac{1 + \frac{l_{1p}(s_1 - c_s) \chi_1 + l_{2p}s_2 \chi_2 + l_{3p}(s_3 - c_s - c_{s1}) \chi_3}{l_p(s - c)}}{1 + 0,5 \frac{d_p - d_{op}}{l_p} + K_1 \frac{d + 2c_s}{D_p} \frac{\varphi l_{1p}}{\varphi_1 l_p}} \right\} = 1$$

### Допускаемое давление в пределах пластичности

$$[p]_s = \frac{2K_1(s-c)[\sigma]}{D_v + (s-c)V} = 5.122 \text{ МПа}$$

Допускаемое давление для узла врезки штуцера

$$[p] = \frac{[p]_{\text{н}}}{\sqrt{1 + \left( \frac{[p]_{\text{н}}}{[p]_{\text{в}}} \right)^2}} = 2.69 \text{ МПа}$$

где

$$K_1 = 1$$

### Приведенное суммарное напряжение в зоне обечайки

$$\sigma_{p-o} = 13.44 < 3[\sigma] = 393 \text{ M}\Pi\text{a}$$

Приведенное мембранное напряжение в зоне обечайки

$$\sigma_{pm-o} = 12.72 < 1.5[\sigma] = 196.5 \text{ МПа}$$

Приведенное суммарное напряжение в зоне штуцера

$$\sigma_{p-wm} = 23.76 < 3[\sigma] = 393 \text{ МПа}$$

Приведенное мембранное напряжение в зоне штуцера

$$\sigma_{\text{PM-UM}} = 20.34 < 1.5[\sigma] = 196.5 \text{ MPa}$$

Приведенное суммарное напряжение на внутренней поверхности обечайки, перехода или днища

$$\sigma_{p\_en\_o} = 16.08 < 3[\sigma] = 393 \text{ MPa}$$

Приведенное суммарное напряжение на внутренней поверхности штуцера

$$\sigma_{p\_en\_wm} = 32.1 < 3[\sigma] = 393 \text{ MPa}$$

Узел врезки отвечает условиям прочности в соответствии с требованиями ГОСТ Р 52857.3-2007.

Инв. № подл.	Подп. и дата				Приведенное суммарное напряжение на внутренней поверхности обечайки, перехода или днища $\sigma_{p\_en\_o} = 16.08 < 3[\sigma] = 393 \text{ МПа}$ Приведенное суммарное напряжение на внутренней поверхности штуцера $\sigma_{p\_en\_шт} = 32.1 < 3[\sigma] = 393 \text{ МПа}$  Узел врезки отвечает условиям прочности в соответствии с требованиями ГОСТ Р 52857.3-2007.	
	Инв. №					
	Взам. инв.					
	Подп. и дата					
3	Изм.	б / н	Редикульцев	06.18	20/30КУ-3N-2470.00.00.000 PP	Лист
2	Изм.	б / н	Редикульцев	06.18		129
Изм.	Лист	№ док.	Подпись	Дата		



Допускаемый изгибающий момент из условия прочности

$$[M]_{\text{н}} = \frac{\pi D(D + S - C)(S - C)[\sigma]}{4} = 1.639\text{e}+09 \text{ Н} \cdot \text{мм}$$

Допускаемый изгибающий момент

$$[M] = \frac{[M]_{\text{н}}}{\sqrt{1 + \left(\frac{[M]_{\text{н}}}{[M]_{\text{н}}}\right)^2}} = 1.368\text{e}+09 \text{ Н} \cdot \text{мм}$$

Допускаемое поперечное усилие из условия устойчивости в пределах упругости

$$[Q]_{\text{н}} = \frac{2.4E(S - C)^2}{n_y} \left[ 0.18 + 3.3 \frac{D(S - C)}{L^2} \right] = 1.214\text{e}+06 \text{ Н}$$

Допускаемое поперечное усилие из условия прочности

$$[Q]_{\text{н}} = \frac{\pi D(S - C)[\sigma]}{4} = 1.021\text{e}+06 \text{ Н}$$

Допускаемое перерезывающее усилие

$$[Q] = \frac{[Q]_{\text{н}}}{\sqrt{1 + \left(\frac{[Q]_{\text{н}}}{[Q]_{\text{н}}}\right)^2}} = 7.813\text{e}+05 \text{ Н}$$

Условие устойчивости (п.5.3.7 ГОСТ Р 52857.2-2007)

$$\frac{M}{[M]} + \left(\frac{Q}{[Q]}\right)^2 = 0 < 1$$

Обечайка отвечает условиям прочности и устойчивости в соответствии с требованиями ГОСТ Р 52857.2-2007.

Инв. № подл.	Подп. и дата	Инв. №	Взам. инв.	Подп. и дата					
3	Изм.	б / н	Редикульцев	06.18	20/30КУ-3N-2470.00.00.000 PP				
2	Изм.	б / н	Редикульцев	06.18					
Изм.	Лист	№ док.	Подпись	Дата					
									Лист
									131





## 2.17. Штуцер Т DN25

Расчёт на прочность по ГОСТ Р 52857.3-2007

Расчёт выполнен с помощью пакета прикладных программ расчёта на прочность элементов сосудов, аппаратов и трубопроводов PVP Design (Свидетельство о государственной регистрации 2008614973)

Элемент: Укрепление отверстий в обечайках и днищах.

Внутреннее давление.

Отверстие в цилиндрической обечайке.

Расчёт укрепления одиночного отверстия.

Укрепление непропущенным (непроходящим) штуцером.

Штуцер с осью нормальной к корпусу сосуда.

Только расчёт укрепления отверстия.

Режим: Расчет на вакуум.

### Исходные данные

Материал корпуса	20КА, Лист		
Материал штуцера	20КА, Поковка		
Расчётная температура	$T$	252	°C
Расчётное давление	$P$	0	МПа
Внутренний диаметр обечайки, днища или конического перехода, в месте расположения отверстия	$D$	1600	мм
Исполнительная толщина стенки обечайки, конического перехода или днища	$s$	10	мм
Коэффициент прочности сварных соединений обечаек и днищ	$\varphi$	1	
Допускаемое напряжение для материала обечайки, перехода или днища при расчётной температуре	$[\sigma]$	131	МПа
Внутренний диаметр штуцера	$d$	20	мм
Исполнительная толщина стенки штуцера	$s_1$	16	мм
Исполнительная длина штуцера (для заведомо длинных штуцеров $l_1=0$ )	$l_1$	275	мм
Допускаемое напряжение для материала штуцера	$[\sigma]_1$	131	МПа
Коэффициент прочности продольного сварного шва штуцера	$\varphi_1$	1	
Расстояние от наружной поверхности штуцера до ближайшего несущего конструктивного элемента (или $L_k=0$ )	$L_k$	386	мм
Прибавка для компенсации коррозии и эрозии стенки корпуса	$c_1$	3	мм
Прибавка для компенсации минусового допуска стенки корпуса	$c_2$	0.8	мм
Прибавка технологическая стенки корпуса	$c_3$	0	мм
Прибавка для компенсации коррозии и эрозии стенки штуцера	$c_{s1}$	3	мм
Прибавка для компенсации минусового допуска стенки штуцера	$c_{s2}$	0	мм
Прибавка технологическая стенки штуцера	$c_{s3}$	0	мм
Сумма прибавок к расчётной толщине стенки корпуса	$c$	3.8	мм
Сумма прибавок к расчётной толщине стенки штуцера	$c_s$	3	мм

### Результаты расчёта

Подп. и дата	Инв. №	Взам. инв.	Подп. и дата	Инв. № подл.	Допускаемое напряжение для материала обечайки, перехода или днища при расчётной температуре					$[\sigma]$	131	МПа
					Внутренний диаметр штуцера					$d$	20	мм
Подп. и дата	Инв. №	Взам. инв.	Подп. и дата	Инв. № подл.	Исполнительная толщина стенки штуцера					$s_1$	16	мм
					Исполнительная длина штуцера (для заведомо длинных штуцеров l1=0)					$l_1$	275	мм
Подп. и дата	Инв. №	Взам. инв.	Подп. и дата	Инв. № подл.	Допускаемое напряжение для материала штуцера					$[\sigma]_1$	131	МПа
					Коэффициент прочности продольного сварного шва штуцера					$\varphi$	1	
Подп. и дата	Инв. №	Взам. инв.	Подп. и дата	Инв. № подл.	Расстояние от наружной поверхности штуцера до ближайшего несущего конструктивного элемента (или Lк=0)					$L_k$	386	мм
					Прибавка для компенсации коррозии и эрозии стенки корпуса					$c_1$	3	мм
Подп. и дата	Инв. №	Взам. инв.	Подп. и дата	Инв. № подл.	Прибавка для компенсации минусового допуска стенки корпуса					$c_2$	0.8	мм
					Прибавка технологическая стенки корпуса					$c_3$	0	мм
Подп. и дата	Инв. №	Взам. инв.	Подп. и дата	Инв. № подл.	Прибавка для компенсации коррозии и эрозии стенки штуцера					$c_{s1}$	3	мм
					Прибавка для компенсации минусового допуска стенки штуцера					$c_{s2}$	0	мм
Подп. и дата	Инв. №	Взам. инв.	Подп. и дата	Инв. № подл.	Прибавка технологическая стенки штуцера					$c_{s3}$	0	мм
					Сумма прибавок к расчётной толщине стенки корпуса					$c$	3.8	мм
Подп. и дата	Инв. №	Взам. инв.	Подп. и дата	Инв. № подл.	Сумма прибавок к расчётной толщине стенки штуцера					$c_s$	3	мм
<b>Результаты расчёта</b>												
Инв. № подл.	3	Изм.	б / н	Редикульцев	06.18	20/30КУ-3N-2470.00.00.000 PP						Лист
	2	Изм.	б / н	Редикульцев	06.18							134
	Изм.	Лист	№ док.	Подпись	Дата							

### Расчётный внутренний диаметр цилиндрической обечайки

$$D_p = D = 1600 \text{ mm}$$

### Расчётная толщина стенки корпуса

$$s_p = \frac{pD}{2[\sigma]\phi_0 - p} = 0 \text{ mm}$$

Расчётный диаметр отверстия

$$d_p = d + 2c_s = 26 \text{ mm}$$

### Расчётная толщина стенкиштуцера

$$S_{lp} = \frac{p(d + 2c_s)}{2[\sigma_1 \phi - p]} = 0 \text{ MM}$$

### Расчётная длина штуцера

$$l_{\text{tp}} = \min \left\{ l_1; 1,25 \sqrt{(d + 2c_s)(s_1 - c_s)} \right\} = 22.98 \text{ mm}$$

### Отношение допускаемых напряжений штуцера и корпуса

$$\chi_1 = \min \left\{ 1, 0; \frac{[\sigma]_1}{[\sigma]} \right\} = \quad 1$$

Ширина зоны укрепления, прилегающей к штуцеру

$$L_o = \sqrt{D_p(s - c)} = 99.6 \text{ mm}$$

Расчётная ширина зоны укрепления, прилегающей к штуцеру

$$l_p = 99.6 \text{ mm}$$

Расчётный диаметр неукрепляемого отверстия

$$d_{op} = 0,4 \sqrt{D_p(s-c)} = 39.84 \text{ mm}$$

Коэффициент понижения прочности узла врезки штуцера

$$V = \min \left\{ 1; \frac{1 + \frac{l_{1p}(s_1 - c_s) \chi_1 + l_{2p}s_2 \chi_2 + l_{3p}(s_3 - c_s - c_{s1}) \chi_3}{l_p(s - c)}}{1 + 0,5 \frac{d_p - d_{op}}{l_p} + K_1 \frac{d + 2c_s}{D_p} \frac{\varphi l_{1p}}{\varphi_1 l_p}} \right\} =$$

### Допускаемое давление для узла врезки штуцера

$$[p] = \frac{2K_1(s-c)\phi[\sigma]}{D_n + (s-c)V} = 1.011 \text{ МПа}$$

где

$$K_1 = 1$$

Узел врезки отвечает условиям прочности в соответствии с требованиями ГОСТ Р 52857.3-2007.

Инв. № подл.	Подп. и дата	Взам. инв.	Инв. №	Подп. и дата	<p>Коэффициент понижения прочности узла врезки штуцера</p> $V = \min \left\{ 1; \frac{1 + \frac{l_{1p}(s_1 - c, ) \chi_1 + l_{2p}s_2 \chi_2 + l_{3p}(s_3 - c, -c, ) \chi_3}{l_p(s - c)}}{1 + 0,5 \frac{d_p - d_{оп}}{l_p} + K_1 \frac{d + 2c, }{D_p} \frac{\varphi l_{1p}}{\varphi l_p}} \right\} =$ <p>Допускаемое давление для узла врезки штуцера</p> $[p] = \frac{2K_1(s - c)\varphi[\sigma]}{D_p + (s - c)V}$ <p>где</p> $K_1 =$
3	Изм.	б / н	Редикульцев	06.18	<p><b>20/30КУ-3N-2470.00.00.000 PP</b></p>
2	Изм.	б / н	Редикульцев	06.18	
Изм.	Лист	№ док.	Подпись	Дата	

### 3.1. Эллиптическое днище барабана DN1000

Расчёт выполнен с помощью пакета прикладных программ расчёта на прочность элементов сосудов, аппаратов и трубопроводов PVP Design (Свидетельство о государственной регистрации 2008614973)

### *Исходные данные*

20КА, Лист

Расчётная температура	T	300	°C
Расчётное давление	p	4.51	МПа
Внутренний диаметр днища	D	1000	мм
Высота выпуклой части днища без учета цилиндрической части	H	250	мм
Исполнительная толщина стенки днища	s <sub>1</sub>	28	мм
Прибавка на коррозию и эрозию	c <sub>1</sub>	3	мм
Прибавка – минусовый допуск	c <sub>2</sub>	0.9	мм
Прибавка технологическая	c <sub>3</sub>	4.2	мм
Сумма прибавок к расчётной толщине стенки	c	8.1	мм
Коэффициент прочности сварного шва	φ	1	-
Допускаемое напряжение	[σ]	119	МПа
Длина цилиндрической отбортовки	h <sub>1</sub>	60	мм

### Результаты расчёта

$$R = \frac{D^2}{4H} = \quad 1000 \text{ mm}$$
$$s_{1p} = \frac{pR}{2[\sigma] - 0,5p} = 19.13 \text{ мм}$$
$$S_{lp}+C = 27.23 \text{ MM}$$
$$[\rho] = \frac{2(s_1 - c)\phi[\sigma]}{R + 0,5(s_1 - c)} = 4.69 \text{ МПа}$$

Днище отвечает условиям прочности в соответствии с требованиями ГОСТ Р 52857.2-2007.

Длина цилиндрической отбортовки					ц <sub>1</sub>	00	мм	
<div>Подп. и дата</div> <div>Инв. №</div> <div>Взам. инв.</div> <div>Подп. и дата</div> <div>Инв. № подл.</div>								
<div>Результаты расчёта</div> <div>Радиус кривизны в вершине эллиптического или полусферического днища:<div><math display="block">R = \frac{D^2}{4H} =</math>1000 мм</div></div> <div>Расчётная толщина стенки эллиптического или полусферического днища от действия внутреннего давления:<div><math display="block">s_{1p} = \frac{pR}{2[\sigma] - 0,5p} =</math>19.13 мм</div></div> <div>Расчётная толщина стенки днища от действия давления с учетом прибавки:<div><math display="block">s_{1p+c} =</math>27.23 мм</div></div> <div>Допускаемое внутреннее давление для эллиптического или полусферического днища:<div><math display="block">[p] = \frac{2(s_1 - c)[\sigma]}{R + 0,5(s_1 - c)} =</math>4.69 МПа</div></div> <div>Днище отвечает условиям прочности в соответствии с требованиями ГОСТ Р 52857.2-2007.</div>								
3	Изм.	б / н	Редикульцев	06.18	20/30КУ-3N-2470.00.00.000 PP			Лист
2	Изм.	б / н	Редикульцев	06.18				136
Изм.	Лист	№ док.	Подпись	Дата				





Допускаемое осевое сжимающее усилие из условия прочности

$$[F]_{\pi} = \pi(D + S - C)(S - C)[\sigma] = 8.445e+06 \text{ Н}$$

Допускаемое осевое растягивающее усилие

$$[F] = \pi(D + S - C)(S - C)[\sigma]_{\varphi_T} = 8.445e+06 \text{ Н}$$

Допускаемый изгибающий момент из условий устойчивости в пределах упругости

$$[M]_{\pi} = \frac{89 \cdot 10^{-6} E}{n_y} D^3 \left[ \frac{100(S - C)}{D} \right]^{2,5} = 4.582e+10 \text{ Н} \cdot \text{мм}$$

Допускаемый изгибающий момент из условия прочности

$$[M]_{\pi} = \frac{\pi D(D + S - C)(S - C)[\sigma]}{4} = 2.111e+09 \text{ Н} \cdot \text{мм}$$

Допускаемый изгибающий момент

$$[M] = \frac{[M]_{\pi}}{\sqrt{1 + \left( \frac{[M]_{\pi}}{[M]_{\pi}} \right)^2}} = 2.109e+09 \text{ Н} \cdot \text{мм}$$

Допускаемое поперечное усилие из условия устойчивости в пределах упругости

$$[Q]_{\pi} = \frac{2.4E(S - C)^2}{n_y} \left[ 0.18 + 3.3 \frac{D(S - C)}{L^2} \right] = 1.503e+07 \text{ Н}$$

Допускаемое поперечное усилие из условия прочности

$$[Q]_{\pi} = \frac{\pi D(S - C)[\sigma]}{4} = 2.066e+06 \text{ Н}$$

Допускаемое перерезывающее усилие

$$[Q] = \frac{[Q]_{\pi}}{\sqrt{1 + \left( \frac{[Q]_{\pi}}{[Q]_{\pi}} \right)^2}} = 2.046e+06 \text{ Н}$$

Условие устойчивости (п.5.3.7 ГОСТ Р 52857.2-2007)

$$\frac{M}{[M]} + \left( \frac{Q}{[Q]} \right)^2 = 0 < 1$$

Наибольший диаметр отверстия не требующего доп. укрепления

$$d_o = 102.3 \text{ мм}$$

Обечайка отвечает условиям прочности и устойчивости в соответствии с требованиями ГОСТ Р 52857.2-2007.

Инв. № подл.	Подп. и дата		Инв. №		Взам. инв.		Подп. и дата		
3	Изм.	б / н	Редикульцев	06.18	20/30КУ-3N-2470.00.00.000 PP				Лист
2	Изм.	б / н	Редикульцев	06.18					138
Изм.	Лист	№ док.	Подпись	Дата					

$[Q] = \frac{[Q]_H}{\sqrt{1 + \left(\frac{[Q]_H}{[Q]_E}\right)^2}} =$	2.046e+06 Н
Условие устойчивости (п.5.3.7 ГОСТ Р 52857.2-2007)	
$\frac{M}{[M]} + \left(\frac{Q}{[Q]}\right)^2 =$	0< 1
Наибольший диаметр отверстия не требующего доп. укрепления	
$d'_o =$	102.3 мм
Обечайка отвечает условиям прочности и устойчивости в соответствии с требованиями ГОСТ Р 52857.2-2007.	

### 3.3. Штуцера Q1, Q2, Q3 DN85

Расчёт на прочность по ГОСТ Р 52857.3-2007

Расчёт выполнен с помощью пакета прикладных программ расчёта на прочность элементов сосудов, аппаратов и трубопроводов PVP Design (Свидетельство о государственной регистрации 2008614973)

Элемент: Укрепление отверстий в обечайках и днищах.

Внутреннее давление.

Отверстие в цилиндрической обечайке.

Расчёт укрепления одиночного отверстия.

Укрепление непропущенным (непроходящим) штуцером.

Штуцер с осью нормальной к корпусу сосуда.

Расчёт с учетом внешних нагрузок методом конечных элементов.

Внешние нагрузки определялись без учета стесненности температурных деформаций

Внешние нагрузки приложены в месте пересечения оси штуцера

с образующей обечайки или днища.

Штуцер с утолщенной частью - переход в виде радиуса.

Режим: Рабочий.

#### Исходные данные

Материал корпуса

20КА, Лист

Материал штуцера

20КА, Поковка

Расчётная температура

$T$  300 °C

Расчётное давление

$P$  4.51 МПа

Внутренний диаметр обечайки, днища или конического перехода, в месте расположения отверстия

$D$  1000 мм

Исполнительная толщина стенки обечайки, конического перехода или днища

$s$  26 мм

Коэффициент прочности сварных соединений обечаек и днищ

$\varphi$  1

Допускаемое напряжение для материала обечайки, перехода или днища при расчётной температуре

$[\sigma]$  119 МПа

Внутренний диаметр штуцера

$d$  85 мм

Исполнительная толщина усиленной части штуцера

$s_1$  50 мм

Исполнительная длина усиленной части штуцера

$l_1$  80 мм

Исполнительная толщина стенки штуцера

$s_{шт}$  25 мм

Исполнительная длина штуцера

$l_{шт}$  169 мм

Допускаемое напряжение для материала штуцера

$[\sigma]_1$  119 МПа

Коэффициент прочности продольного сварного шва штуцера

$\varphi_1$  1

Расстояние от наружной поверхности штуцера до ближайшего несущего конструктивного элемента (или  $L_k=0$ )

$L_k$  488 мм

Размер сварного шва приварки штуцера (по образующей обечайки)

$a$  0 мм

Размер сварного шва приварки штуцера (по образующей штуцера)

$b$  0 мм

Вылет штуцера

$L_f$  169 мм

Осевая нагрузка на штуцер

$F_z$  -3.025e+04 Н

Изгибающий момент вокруг оси X действующий на штуцер

$M_x$  1.4e+07 Н\*мм

Изгибающий момент вокруг оси Y действующий на штуцер

$M_y$  1.4e+07 Н\*мм

Инв. № подл.	Подп. и дата	Взам. инв.	Инв. №	Подп. и дата	в месте расположения отверстия	$D$	1000	мм			
					Исполнительная толщина стенки обечайки, конического перехода или днища	$s$	26	мм			
					Коэффициент прочности сварных соединений обечаек и днищ	$\varphi$	1				
					Допускаемое напряжение для материала обечайки, перехода или днища при расчётной температуре	$[\sigma]$	119	МПа			
					Внутренний диаметр штуцера	$d$	85	мм			
					Исполнительная толщина усиленной части штуцера	$s_1$	50	мм			
					Исполнительная длина усиленной части штуцера	$l_1$	80	мм			
					Исполнительная толщина стенки штуцера	$s_{шт}$	25	мм			
					Исполнительная длина штуцера	$l_{шт}$	169	мм			
					Допускаемое напряжение для материала штуцера	$[\sigma]_1$	119	МПа			
					Коэффициент прочности продольного сварного шва штуцера	$\varphi_1$	1				
					Расстояние от наружной поверхности штуцера до ближайшего несущего конструктивного элемента (или $L_k=0$ )	$L_k$	488	мм			
					Размер сварного шва приварки штуцера (по образующей обечайки)	$a$	0	мм			
Инв. № подл.	Подп. и дата	Взам. инв.	Инв. №	Подп. и дата	Размер сварного шва приварки штуцера (по образующей штуцера)	$b$	0	мм			
					Вылет штуцера	$L_f$	169	мм			
					Осевая нагрузка на штуцер	$F_z$	-3.025e+04	Н			
					Изгибающий момент вокруг оси Х действующий на штуцер	$M_x$	1.4e+07	Н*мм			
					Изгибающий момент вокруг оси Y действующий на штуцер	$M_y$	1.4e+07	Н*мм			
					3	Изм.	б / н	Редикульцев	06.18	20/30КУ-3N-2470.00.00.000 PP	Лист
					2	Изм.	б / н	Редикульцев	06.18		139
					Изм.	Лист	№ док.	Подпись	Дата		

Изгибающий момент вокруг оси Z действующий на штуцер	$M_z$	1.4e+07	Н*мм
Перерезывающая сила вдоль оси X действующая на штуцер	$F_x$	1.68e+04	Н
Перерезывающая сила вдоль оси Y действующая на штуцер	$F_y$	1.68e+04	Н
Модуль продольной упругости материала обечайки	$E$	1.71e+05	МПа
Коэффициент Пуассона обечайки	$\mu$	0.3	
Модуль продольной упругости материала штуцера	$E_1$	1.71e+05	МПа
Коэффициент Пуассона штуцера	$\mu_1$	0.3	
Прибавка для компенсации коррозии и эрозии стенки корпуса	$c_1$	3	мм
Прибавка для компенсации минусового допуска стенки корпуса	$c_2$	0.9	мм
Прибавка технологическая стенки корпуса	$c_3$	0	мм
Прибавка для компенсации коррозии и эрозии стенки штуцера	$c_{s1}$	3	мм
Прибавка для компенсации минусового допуска стенки штуцера	$c_{s2}$	0	мм
Прибавка технологическая стенки штуцера	$c_{s3}$	0	мм
Сумма прибавок к расчётной толщине стенки корпуса	$c$	3.9	мм
Сумма прибавок к расчётной толщине стенки штуцера	$c_s$	3	мм

### Результаты расчёта

Расчётный внутренний диаметр цилиндрической обечайки  
 $D_p = D =$  1000 мм

Расчётная толщина стенки корпуса  
 $s_p = \frac{pD}{2[\sigma]\varphi_p - p} =$  19.32 мм

Расчётный диаметр отверстия  
 $d_p = d + 2c_s =$  91 мм

Расчётная толщина стенки штуцера  
 $s_{1p} = \frac{p(d + 2c_s)}{2[\sigma_1]\varphi_1 - p} =$  1.758 мм

Расчётная длина штуцера  
 $l_{1p} = \min \{l_1; 1,25\sqrt{(d + 2c_s)(s_1 - c_s)}\} =$  80 мм

Отношение допускаемых напряжений штуцера и корпуса  
 $\chi_1 = \min \left\{ 1, 0; \frac{[\sigma_1]}{[\sigma]} \right\} =$  1

Ширина зоны укрепления, прилегающей к штуцеру  
 $L_o = \sqrt{D_p(s - c)} =$  148.7 мм

Расчётная ширина зоны укрепления, прилегающей к штуцеру  
 $l_p =$  148.7 мм

Расчётный диаметр неукрепляемого отверстия  
 $d_{оп} = 0,4\sqrt{D_p(s - c)} =$  59.46 мм

Коэффициент понижения прочности узла врезки штуцера

Подп. и дата									
Инв. №									
Взам. инв.									
Подп. и дата									
Инв. № подл.									
3	Изм.	б / н	Редикульцев	06.18	20/30КУ-3N-2470.00.00.000 PP				Лист
2	Изм.	б / н	Редикульцев	06.18					140
Изм.	Лист	№ док.	Подпись	Дата					

$$V = \min \left\{ 1; \frac{1 + \frac{l_{1p}(s_1 - c_s) \chi_1 + l_{2p}s_2 \chi_2 + l_{3p}(s_3 - c_s - c_{s1}) \chi_3}{l_p(s - c)}}{1 + 0,5 \frac{d_p - d_{оп}}{l_p} + K_1 \frac{d + 2c_s}{D_p} \frac{\varphi l_{1p}}{\varphi_1 l_p}} \right\} = 1$$

Допускаемое давление для узла врезки штуцера

$$[p] = \frac{2K_1(s - c)\varphi[\sigma]}{D_p + (s - c)V} V = 5.146 \text{ МПа}$$

где

$$K_1 = 1$$

Приведенное суммарное напряжение в зоне обечайки

$$\sigma_{p-o} = 176.5 < 3[\sigma] = 357 \text{ МПа}$$

Приведенное мембранное напряжение в зоне обечайки

$$\sigma_{pm-o} = 165.9 < 1.5[\sigma] = 178.5 \text{ МПа}$$

Приведенное суммарное напряжение в зоне штуцера

$$\sigma_{p-шт} = 166.1 < 3[\sigma] = 357 \text{ МПа}$$

Приведенное мембранное напряжение в зоне штуцера

$$\sigma_{pm-шт} = 156.2 < 1.5[\sigma] = 178.5 \text{ МПа}$$

Приведенное суммарное напряжение на внутренней поверхности обечайки, перехода или днища

$$\sigma_{p-en-o} = 351 < 3[\sigma] = 357 \text{ МПа}$$

Приведенное суммарное напряжение на внутренней поверхности штуцера

$$\sigma_{p-en-шт} = 233.1 < 3[\sigma] = 357 \text{ МПа}$$

Узел врезки отвечает условиям прочности в соответствии с требованиями ГОСТ Р 52857.3-2007.

Инв. № подл.

Подп. и дата

Взам. инв.

Инв. №

Подп. и дата

3

Изм.

б / н

Редикульцев

06.18

2

Изм.

б / н

Редикульцев

06.18

Изм.

Лист

№ док.

Подпись

Дата

20/30КУ-3N-2470.00.00.000 PP

141

Инв. № подл.

Подп. и дата

Взам. инв.

Инв. №

Подп. и дата

3

Изм.

б / н

Редикульцев

06.18

2

Изм.

б / н

Редикульцев

06.18

Изм.

Лист

№ док.

Подпись

Дата

20/30КУ-3N-2470.00.00.000 PP

141

Инв. № подл.

Подп. и дата

Взам. инв.

Инв. №

Подп. и дата

3

Изм.

б / н

Редикульцев

06.18

2

Изм.

б / н

Редикульцев

06.18

Изм.

Лист

№ док.

Подпись

Дата

20/30КУ-3N-2470.00.00.000 PP

141

Инв. № подл.

Подп. и дата

Взам. инв.

Инв. №

Подп. и дата

3

Изм.

б / н

Редикульцев

06.18

2

Изм.

б / н

Редикульцев

06.18

Изм.

Лист

№ док.

Подпись

Дата

20/30КУ-3N-2470.00.00.000 PP

141

Инв. № подл.

Подп. и дата

Взам. инв.

Инв. №

Подп. и дата

3

Изм.

б / н

Редикульцев

06.18

2

Изм.

б / н

Редикульцев

06.18

Изм.

Лист

№ док.

Подпись

Дата

20/30КУ-3N-2470.00.00.000 PP

141

Инв. № подл.

Подп. и дата

Взам. инв.

Инв. №

Подп. и дата

3

Изм.

б / н

Редикульцев

06.18

2

Изм.

б / н

Редикульцев

06.18

Изм.

Лист

№ док.

Подпись

Дата

20/30КУ-3N-2470.00.00.000 PP

141

Инв. № подл.

Подп. и дата

Взам. инв.

Инв. №

Подп. и дата

3

Изм.

б / н

Редикульцев

06.18

2

Изм.

б / н

Редикульцев

06.18

Изм.

Лист

№ док.

Подпись

Дата

20/30КУ-3N-2470.00.00.000 PP

141

Инв. № подл.

Подп. и дата

Взам. инв.

Инв. №

Подп. и дата

3

Изм.

б / н

Редикульцев

06.18

2

Изм.

б / н

Редикульцев

06.18

Изм.

Лист

№ док.

Подпись

Дата

20/30КУ-3N-2470.00.00.000 PP

141

Инв. № подл.

Подп. и дата

Взам. инв.

Инв. №

Подп. и дата

3

Изм.

б / н

Редикульцев

06.18

2

Изм.

б / н

Редикульцев

06.18

Изм.

Лист

№ док.

Подпись

Дата

20/30КУ-3N-2470.00.00.000 PP

141

Инв. № подл.

Подп. и дата

Взам. инв.

Инв. №

Подп. и дата

3

Изм.

б / н

Редикульцев

06.18

2

Изм.

б / н

Редикульцев

06.18

Изм.

Лист

№ док.

Подпись

Дата

20/30КУ-3N-2470.00.00.000 PP

141

Инв. № подл.

Подп. и дата

Взам. инв.

Инв. №

Подп. и дата

3

Изм.

б / н

Редикульцев

06.18

2

Изм.

б / н

Редикульцев

06.18

Изм.

Лист

№ док.

Подпись

Дата

20/30КУ-3N-2470.00.00.000 PP

141

Инв. № подл.

Подп. и дата

Взам. инв.

Инв. №

Подп. и дата

3

Изм.

б / н

Редикульцев

06.18

2

Изм.

б / н

Редикульцев

06.18

Изм.

Лист

№ док.

Подпись

Дата

20/30КУ-3N-2470.00.00.000 PP

141

Инв. № подл.

Подп. и дата

Взам. инв.

Инв. №

Подп. и дата

3

Изм.

б / н

Редикульцев

06.18

2

Изм.

б / н

Редикульцев

06.18

Изм.

Лист

№ док.

Подпись

Дата

20/30КУ-3N-2470.00.00.000 PP

141

Инв. № подл.

Подп. и дата

Взам. инв.

Инв. №

Подп. и дата

3

Изм.

б / н

Редикульцев

06.18

2

Изм.

б / н

Редикульцев

06.18

Изм.

Лист

№ док.

Подпись

Дата

20/30КУ-3N-2470.00.00.000 PP

141

Инв. № подл.

Подп. и дата

Взам. инв.

Инв. №

Подп. и дата

3

Изм.

б / н

Редикульцев

06.18

2

Изм.

б / н

Редикульцев

06.18

Изм.

Лист

№ док.

Подпись

Дата

20/30КУ-3N-2470.00.00.000 PP

141

Инв. № подл.

Подп. и дата

Взам. инв.

Инв. №

Подп. и дата

3

Изм.

б / н

Редикульцев

06.18

2

Изм.

б / н

Редикульцев

06.18

Изм.

Лист

№ док.

Подпись

Дата

20/30КУ-3N-2470.00.00.000 PP

141

Инв. № подл.

Подп. и дата

Взам. инв.

Инв. №

Подп. и дата

3

Изм.

б / н

Редикульцев

06.18

2

Изм.

б / н

Редикульцев

06.18

Изм.

Лист

№ док.

Подпись

Дата

20/30КУ-3N-2470.00.00.000 PP

141

Инв. № подл.

Подп. и дата

Взам. инв.

Инв. №

Подп. и дата

3

Изм.

б / н

Редикульцев

06.18

2

Изм.

б / н

Редикульцев

06.18

Изм.

Лист

№ док.

Подпись

Дата

20/30КУ-3N-2470.00.00.000 PP

141

Инв. № подл.

Подп. и дата

Взам. инв.

Инв. №

Подп. и дата

3

Изм.

б / н

Редикульцев

06.18

2

Изм.

б / н

Редикульцев

06.18

Изм.

Лист

№ док.

Подпись

Дата

20/30КУ-3N-2470.00.00.000 PP

141

Инв. № подл.

Подп. и дата

Взам. инв.

Инв. №

Подп. и дата

3

Изм.

б / н

Редикульцев

06.18

2

Изм.

б / н

Редикульцев

06.18

Изм.

Лист

№ док.

Подпись

Дата

20/30КУ-3N-2470.00.00.000 PP

141

Инв. № подл.

Подп. и дата

Взам. инв.

Инв. №

Подп. и дата

3

Изм.

б / н

Редикульцев

06.18

2

Изм.

б / н

Редикульцев

06.18

Изм.

Лист

№ док.

Подпись

Дата

20/30КУ-3N-2470.00.00.000 PP

141

Инв. № подл.

Подп. и дата

Взам. инв.

Инв. №

Подп. и дата

3

Изм.

б / н

Редикульцев

06.18

2

Изм.

б / н

Редикульцев

06.18

Изм.

Лист

№ док.

Подпись

Дата

20/30КУ-3N-2470.00.00.000 PP

141

Инв. № подл.

Подп. и дата

Взам. инв.

Инв. №

Подп. и дата

3

Изм.

б / н

Редикульцев

06.18

2

Изм.

б / н

Редикульцев

06.18

Изм.

Лист

№ док.

Подпись

Дата

20/30КУ-3N-2470.00.00.000 PP

141

Инв. № подл.

Подп. и дата

Взам. инв.

Инв. №

Подп. и дата

3

Изм.

б / н

Редикульцев

06.18

2

Изм.

б / н

Редикульцев

06.18

Изм.

Лист

№ док.

Подпись

Дата

20/30КУ-3N-2470.00.00.000 PP

141

Инв. № подл.

Подп. и дата

Взам. инв.

Инв. №

Подп. и дата

3

Изм.

б / н

Редикульцев

06.18

2

Изм.

б / н

Редикульцев

06.18

Изм.

Лист

№ док.

Подпись

Дата

20/30КУ-3N-2470.00.00.000 PP

141

Инв. № подл.

Подп. и дата

Взам. инв.

Инв. №

Подп. и дата

3

Изм.

б / н

Редикульцев

06.18

2

Изм.

б / н

Редикульцев

06.18

Изм.

Лист

№ док.

Подпись

Дата

20/30КУ-3N-2470.00.00.000 PP

141

Инв. № подл.

Подп. и дата

Взам. инв.

Инв. №

Подп. и дата

3

Изм.

б / н

Редикульцев

06.18

2

Изм.

б / н

Редикульцев

06.18

Изм.

Лист

№ док.

Подпись

Дата

20/30КУ-3N-2470.00.00.000 PP

141

Инв. № подл.

Подп. и дата

Взам. инв.

Инв. №

Подп. и дата

3

Изм.

б / н

Редикульцев

06.18

2

Изм.

б / н

Редикульцев

06.18

Изм.

Лист

№ док.

Подпись

Дата

20/30КУ-3N-2470.00.00.000 PP

141

Инв. № подл.

Подп. и дата

Взам. инв.

Инв. №

Подп. и дата

3

Изм.

б / н

Редикульцев

06.18

2

Изм.

б / н

Редикульцев

06.18

Изм.

Лист

№ док.

Подпись

Дата

20/30КУ-3N-2470.00.00.000 PP

141

Инв. № подл.

Подп. и дата

Взам. инв.

Инв. №

Подп. и дата

3

Изм.

б / н

Редикульцев

06.18

2

Изм.

б / н

Редикульцев

06.18

Изм.

Лист

№ док.

Подпись

Дата

20/30КУ-3N-2470.00.00.000 PP

141

Инв. № подл.

Подп. и дата

Взам. инв.

Инв. №

Подп. и дата

3

Изм.

б / н

Редикульцев

06.18

2

Изм.

б / н

Редикульцев

06.18

Изм.

Лист

№ док.

Подпись

Дата

20/30КУ-3N-2470.00.00.000 PP

141

Инв. № подл.

Подп. и дата

Взам. инв.

Инв. №

Подп. и дата

3

Изм.

б / н

Редикульцев

06.18

2

Изм.

б / н

Редикульцев

06.18

Изм.

Лист

№ док.

Подпись

Дата

20/30КУ-3N-2470.00.00.000 PP

141

Инв. № подл.

Подп. и дата

Взам. инв.

Инв. №

Подп. и дата

3

Изм.

б / н

Редикульцев

06.18

2

Изм.

б / н

Редикульцев

06.18

Изм.

Лист

№ док.

Подпись

Дата

20/30КУ-3N-2470.00.00.000 PP

141

Инв. № подл.

Подп. и дата

Взам. инв.

Инв. №

Подп. и дата

3

Изм.

б / н

Редикульцев

06.18

2

Изм.

б / н

Редикульцев

06.18

Изм.

Лист

№ док.

Подпись

Дата

20/30КУ-3N-2470.00.00.000 PP

141

Инв. № подл.

Подп. и дата

Взам. инв.

Инв. №

Подп. и дата

3

Изм.

б / н

Редикульцев

06.18

2

Изм.

б / н

Редикульцев

06.18

Изм.

Лист

№ док.

Подпись

Дата

20/30КУ-3N-2470.00.00.000 PP

141

Инв. № подл.

Подп. и дата

Взам. инв.

Инв. №

Подп. и дата

3

Изм.

б / н

Редикульцев

06.18

2

Изм.

б / н

Редикульцев

06.18

Изм.

Лист

№ док.

Подпись

Дата

20/30КУ-3N-2470.00.00.000 PP

141

Инв. № подл.

Подп. и дата

Взам. инв.

Инв. №

Подп. и дата

3

Изм.

б / н

Редикульцев

06.18

2

Изм.

б / н

Редикульцев

06.18

Изм.

Лист

№ док.

Подпись

Дата

20/30КУ-3N-2470.00.00.000 PP

141

Инв. № подл.

Подп. и дата

Взам. инв.

Инв. №

Подп. и дата

3

Изм.

б / н

Редикульцев

06.18

2

Изм.

б / н

Редикульцев

06.18

Изм.

Лист

№ док.

Подпись

Дата

20/30КУ-3N-2470.00.00.000 PP

141

Инв. № подл.

Подп. и дата

Взам. инв.

Инв. №

Подп. и дата

3

Изм.

б / н

Редикульцев

06.18

2

Изм.

б / н

Редикульцев

06.18

Изм.

Лист

№ док.

Подпись

Дата

20/30КУ-3N-2470.00.00.000 PP

141

Инв. № подл.

Подп. и дата

Взам. инв.

Инв. №

Подп. и дата

3

Изм.

б / н

Редикульцев

06.18

2

Изм.

б / н

Редикульцев

06.18

Изм.

Лист

№ док.

Подпись

Дата

20/30КУ-3N-2470.00.00.000 PP

141

Инв. № подл.

Подп. и дата

Взам. инв.

Инв. №

Подп. и дата

3

Изм.

б / н

Редикульцев

06.18

2

Изм.

б / н

Редикульцев

06.18

Изм.

Лист

№ док.

Подпись

Дата

20/30КУ-3N-2470.00.00.000 PP

141

Инв. № подл.

Подп. и дата

Взам. инв.

Инв. №

Подп. и дата

3

Изм.

б / н

Редикульцев

06.18

2

Изм.

б / н

Редикульцев

06.18

Изм.

Лист

№ док.

Подпись

Дата

20/30КУ-3N-2470.00.00.000 PP

141

Инв. № подл.

Подп. и дата

Взам. инв.

Инв. №

Подп. и дата

3

Изм.

б / н

Редикульцев

06.18

2

Изм.

б / н

Редикульцев

06.18

Изм.

Лист

№ док.

Подпись

Дата

20/30КУ-3N-2470.00.00.000 PP

141

Инв. № подл.

Подп. и дата

Взам. инв.

Инв. №

Подп. и дата

3

Изм.

б / н

Редикульцев

06.18

2

Изм.

б / н

Редикульцев

06.18

Изм.

Лист

№ док.

Подпись

Дата

20/30КУ-3N-2470.00.00.000 PP

141

Инв. № подл.

Подп. и дата

Взам. инв.

Инв. №

Подп. и дата

3

Изм.

б / н

Редикульцев

06.18

2

Изм.

б / н

Редикульцев

06.18

Изм.

Лист

№ док.

Подпись

Дата

20/30КУ-3N-2470.00.00.000 PP

141

Инв. № подл.

Подп. и дата

Взам. инв.

Инв. №

Подп. и дата

3

Изм.

б / н

Редикульцев

06.18

2

Изм.

б / н

Редикульцев

06.18

Изм.

Лист



### Результаты расчёта

Расчётный внутренний диаметр цилиндрической обечайки

$$D_p = D = 1000 \text{ мм}$$

Расчётная толщина стенки корпуса

$$s_p = \frac{pD}{2[\sigma]\varphi_p - p} = 19.32 \text{ мм}$$

Расчётный диаметр отверстия

$$d_p = d + 2c_s = 58 \text{ мм}$$

Расчётная толщина стенки штуцера

$$s_{1p} = \frac{p(d + 2c_s)}{2[\sigma_1]\varphi_1 - p} = 1.12 \text{ мм}$$

Расчётная длина штуцера

$$l_{1p} = \min \{l_1; 1,25\sqrt{(d + 2c_s)(s_1 - c_s)}\} = 45.65 \text{ мм}$$

Отношение допускаемых напряжений штуцера и корпуса

$$\chi_1 = \min \left\{ 1, 0; \frac{[\sigma_1]}{[\sigma]} \right\} = 1$$

Ширина зоны укрепления, прилегающей к штуцеру

$$L_o = \sqrt{D_p(s - c)} = 148.7 \text{ мм}$$

Расчётная ширина зоны укрепления, прилегающей к штуцеру

$$l_p = 148.7 \text{ мм}$$

Расчётный диаметр неукрепляемого отверстия

$$d_{op} = 0,4\sqrt{D_p(s - c)} = 59.46 \text{ мм}$$

Коэффициент понижения прочности узла врезки штуцера

$$V = \min \left\{ 1; \frac{1 + \frac{l_{1p}(s_1 - c_s)}{l_p(s - c)}\chi_1 + l_{2p}s_2\chi_2 + l_{3p}(s_3 - c_s - c_{s1})\chi_3}{1 + 0,5\frac{d_p - d_{op}}{l_p} + K_1\frac{d + 2c_s}{D_p}\frac{\varphi}{\varphi_1}\frac{l_{1p}}{l_p}} \right\} = 1$$

Допускаемое давление для узла врезки штуцера

$$[p] = \frac{2K_1(s - c)\varphi[\sigma]}{D_p + (s - c)V} = 5.146 \text{ МПа}$$

где

$$K_1 = 1$$

Узел врезки отвечает условиям прочности в соответствии с требованиями ГОСТ Р 52857.3-2007.

Инв. № подл.	Подп. и дата	Взам. инв.	Инв. №	Подп. и дата
3	Изм.	б / н	Редикульцев	06.18
2	Изм.	б / н	Редикульцев	06.18
Изм.	Лист	№ док.	Подпись	Дата
<b>20/30КУ-3N-2470.00.00.000 PP</b>				Лист
				143

3.5. Патрубки штуцеров R1, R2, R3 DN50

Расчёт на прочность по ГОСТ Р 52857.2-2007

Расчёт выполнен с помощью пакета прикладных программ расчёта на прочность элементов сосудов, аппаратов и трубопроводов PVP Design (Свидетельство о государственной регистрации 2008614973)

Элемент: Гладкая цилиндрическая обечайка, работающая под действием внутреннего давления.  
Режим: Рабочий.

Исходные данные

Материал обечайки	20КА, Труба		
Расчётная температура	T	300	°C
Расчётное давление в сосуде	P	4.51	МПа
Внутренний диаметр обечайки	D	52	мм
Фактическая длина обечайки	Lact	970	мм
Толщина стенки обечайки	S	8	мм
Прибавка на коррозию	c <sub>1</sub>	3	мм
Прибавка – минусовый допуск	c <sub>2</sub>	1.2	мм
Прибавка технологическая	c <sub>3</sub>	0	мм
Сумма прибавок к расчётной толщине стенки (см. п.12 ГОСТ Р 52857.1)	c	4.2	мм
Коэффициент прочности продольного сварного шва	φ <sub>p</sub>	1	
Допускаемое напряжение	[σ]	119	МПа

Результаты расчёта

Минимально допустимая расчётная толщина стенки обечайки от действия давления

$$S_p = \frac{pD}{2[\sigma]\phi_p - p} =$$

1.004 мм

Минимально допустимая расчётная толщина стенки обечайки от действия давления с учетом прибавки

$$S \geq S_p + C =$$

5.204 мм

Допускаемое внутреннее давление

$$[p] = \frac{2[\sigma]\phi_p(S - C)}{D + (S - C)} =$$

16.21 МПа

Наибольший диаметр отверстия не требующего доп. укрепления

$$d_o =$$

52 мм

Обечайка отвечает условиям прочности в соответствии с требованиями ГОСТ Р 52857.2-2007.

Подп. и дата						Лист	
Инв. №							
Взам. инв.							
Подп. и дата							
Инв. № подл.	3	Изм.	б / н	Редикульцев	06.18	20/30КУ-3N-2470.00.00.000 PP	144
	2	Изм.	б / н	Редикульцев	06.18		
	Изм.	Лист	№ док.	Подпись	Дата		



Инв. № подл.	Подп. и дата	Взам. инв.	Инв. №	Подп. и дата	Допускаемое напряжение для материала обечайки, перехода или днища при расчётной температуре	$[\sigma]$	119	МПа			
					Внутренний диаметр штуцера	$d$	47	мм			
Инв. № подл.	Подп. и дата	Взам. инв.	Инв. №	Подп. и дата	Исполнительная толщина стенки штуцера	$\varepsilon_1$	20	мм			
					Исполнительная длина штуцера (для заведомо длинных штуцеров $l_1=0$ )	$l_1$	275.9	мм			
Инв. № подл.	Подп. и дата	Взам. инв.	Инв. №	Подп. и дата	Допускаемое напряжение для материала штуцера	$[\sigma]_1$	119	МПа			
					Коэффициент прочности продольного сварного шва штуцера	$\varphi$	1				
Инв. № подл.	Подп. и дата	Взам. инв.	Инв. №	Подп. и дата	Расстояние от наружной поверхности штуцера до ближайшего несущего конструктивного элемента (или $L_k=0$ )	$L_k$	237	мм			
					Длина отверстия в окружном направлении	$t$	58.84	мм			
Инв. № подл.	Подп. и дата	Взам. инв.	Инв. №	Подп. и дата	Угол между проекциями нормали к поверхности обечайки и оси штуцера на плоскость поперечного сечения обечайки	$\alpha_2$	36.87	град			
					Прибавка для компенсации коррозии и эрозии стенки корпуса	$c_1$	3	мм			
Инв. № подл.	Подп. и дата	Взам. инв.	Инв. №	Подп. и дата	Прибавка для компенсации минусового допуска стенки корпуса	$c_2$	0.9	мм			
					Прибавка технологическая стенки корпуса	$c_3$	0	мм			
Инв. № подл.	Подп. и дата	Взам. инв.	Инв. №	Подп. и дата	Прибавка для компенсации коррозии и эрозии стенки штуцера	$c_{s1}$	3	мм			
					Прибавка для компенсации минусового допуска стенки штуцера	$c_{s2}$	0	мм			
Инв. № подл.	Подп. и дата	Взам. инв.	Инв. №	Подп. и дата	Прибавка технологическая стенки штуцера	$c_{s3}$	0	мм			
					Сумма прибавок к расчётной толщине стенки корпуса	$c$	3.9	мм			
Инв. № подл.	Подп. и дата	Взам. инв.	Инв. №	Подп. и дата	Сумма прибавок к расчётной толщине стенки штуцера	$c_s$	3	мм			
Инв. № подл.	Подп. и дата	Взам. инв.	Инв. №	Подп. и дата	3	Изм.	б / н	Редикульцев	06.18	20/30КУ-3N-2470.00.00.000 PP	Лист 145
					2	Изм.	б / н	Редикульцев	06.18		
					Изм.	Лист	№ док.	Подпись	Дата		

### Результаты расчёта

### Расчётный внутренний диаметр цилиндрической обечайки

$$D_p = D = 1000 \text{ mm}$$

### Расчётная толщина стенки корпуса

$$s_p = \frac{pD}{2[\sigma]\phi_p - p} = 19.32 \text{ mm}$$

### Расчётный диаметр отверстия

$$d_p = \max\{d; 0,5t\} + 2c_s = 53 \text{ mm}$$

### Расчётная толщина стенки штуцера

$$s_{lp} = \frac{p(d + 2c_s)}{2[\sigma] \varphi - p} = 1.024 \text{ mm}$$

### Расчётная длина штуцера

$$l_{\text{ip}} = \min \{l_1; 1,25\sqrt{(d+2c_s)(s_1-c_s)}\} = 37.52 \text{ mm}$$

### Отношение допускаемых напряжений штуцера и корпуса

$$\chi_1 = \min \left\{ 1, 0; \frac{[\sigma]_1}{[\sigma]} \right\} = \quad 1$$

Ширина зоны укрепления, прилегающей к штуцеру

$$L_o = \sqrt{D_p(s - c)} = 148.7 \text{ mm}$$

Расчётная ширина зоны укрепления, прилегающей к штуцеру

$$l_p = 148.7 \text{ mm}$$

Расчётный диаметр неукрепляемого отверстия

$$d_{\text{оп}} = 0,4 \sqrt{D_{\text{п}}(s - c)} = 59.46 \text{ мм}$$

Коэффициент понижения прочности узла врезки штуцера

$$V = \min \left\{ 1; \frac{1 + \frac{l_{1p}(s_1 - c_s) \chi_1 + l_{2p}s_2 \chi_2 + l_{3p}(s_3 - c_s - c_{s1}) \chi_3}{l_p(s - c)}}{1 + 0,5 \frac{d_p - d_{op}}{l_p} + K_1 \frac{d + 2c_s}{D_p} \frac{\varphi l_{1p}}{\varphi_1 l_p}} \right\} =$$

### Допускаемое давление для узла врезки штуцера

$$[p] = \frac{2K_1(s-c)\phi[\sigma]}{D_p + (s-c)V} = 5.146 \text{ МПа}$$

где

$$K_1 = 1$$

Узел врезки отвечает условиям прочности в соответствии с требованиями ГОСТ Р 52857.3-2007.

Подп. и дата	<p>Расчётный диаметр неукрепляемого отверстия</p> $d_{\text{оп}} = 0,4\sqrt{D_p(s - c)} =$ <p>59.46 мм</p> <p>Коэффициент понижения прочности узла врезки штуцера</p> $V = \min \left\{ 1; \frac{1 + \frac{l_{1p}(s_1 - c_1) \chi_1 + l_{2p}s_2 \chi_2 + l_{3p}(s_3 - c_3 - c_{31}) \chi_3}{l_p(s - c)}}{1 + 0,5 \frac{d_p - d_{\text{оп}}}{l_p} + K_1 \frac{d + 2c_3}{D_p} \frac{\varphi l_{1p}}{\varphi l_p}} \right\} =$ <p>1</p> <p>Допускаемое давление для узла врезки штуцера</p> $[p] = \frac{2K_1(s - c)\varphi[\sigma]}{D_p + (s - c)V} V =$ <p>5.146 МПа</p> <p>где</p> $K_1 =$ <p>1</p> <p>Узел врезки отвечает условиям прочности в соответствии с требованиями ГОСТ Р 52857.3-2007.</p>					
Инв. №						
Взам. инв.						
Подп. и дата						
Инв. № подл.						
3	Изм.	б / н	Редикульцев	06.18	<b>20/30КУ-3N-2470.00.00.000 PP</b>	Лист
2	Изм.	б / н	Редикульцев	06.18		146
Изм.	Лист	№ док.	Подпись	Дата		

Инв. № подл.	Подп. и дата	Взам. инв.	Инв. №	Подп. и дата	Допускаемое напряжение для материала обечайки, перехода или днища при расчётной температуре	$[\sigma]$	119	МПа			
					Внутренний диаметр штуцера	$d$	47	мм			
Инв. № подл.	Подп. и дата	Взам. инв.	Инв. №	Подп. и дата	Исполнительная толщина стенки штуцера	$\delta_1$	20	мм			
					Исполнительная длина штуцера (для заведомо длинных штуцеров $l_1=0$ )	$l_1$	275.9	мм			
					Допускаемое напряжение для материала штуцера	$[\sigma]_1$	119	МПа			
					Коэффициент прочности продольного сварного шва штуцера	$\varphi$	1				
					Расстояние от наружной поверхности штуцера до ближайшего несущего конструктивного элемента (или $L_k=0$ )	$L_k$	817	мм			
					Длина отверстия в окружном направлении	$t$	58.54	мм			
					Угол между проекциями нормали к поверхности обечайки и оси штуцера на плоскость поперечного сечения обечайки	$\alpha_2$	36.87	град			
					Прибавка для компенсации коррозии и эрозии стенки корпуса	$c_1$	3	мм			
					Прибавка для компенсации минусового допуска стенки корпуса	$c_2$	0.9	мм			
					Прибавка технологическая стенки корпуса	$c_3$	0	мм			
Инв. № подл.	Подп. и дата	Взам. инв.	Инв. №	Подп. и дата	Прибавка для компенсации коррозии и эрозии стенки штуцера	$c_{s1}$	3	мм			
					Прибавка для компенсации минусового допуска стенки штуцера	$c_{s2}$	0	мм			
					Прибавка технологическая стенки штуцера	$c_{s3}$	0	мм			
					Сумма прибавок к расчётной толщине стенки корпуса	$c$	3.9	мм			
					Сумма прибавок к расчётной толщине стенки штуцера	$c_s$	3	мм			
Инв. № подл.	Подп. и дата	Взам. инв.	Инв. №	Подп. и дата	3	Изм.	б / н	Редикульцев	06.18	20/30КУ-3N-2470.00.00.000 PP	Лист
					2	Изм.	б / н	Редикульцев	06.18		147
					Изм.	Лист	№ док.	Подпись	Дата		

### Результаты расчёта

### Расчётный внутренний диаметр цилиндрической обечайки

$$D_p = D =$$

1000 MM

### Расчётная толщина стенки корпуса

$$s_p = \frac{pD}{2[\sigma]\phi_n - p} =$$

19.32 MM

### Расчётный диаметр отверстия

$$d_p = \max\{d; 0,5t\} + 2c_s =$$

53 MM

### Расчётная толщина стенкиштуцера

$$s_{lp} = \frac{p(d + 2c_s)}{2[\sigma] \varphi - p} =$$

1.024 mm

### Расчётная длина штуцера

$$l_{lp} = \min \{l_1; 1,25\sqrt{(d + 2c_s)(s_1 - c_s)}\} =$$

37.52 MM

### Отношение допускаемых напряжений штуцера и корпуса

$$\chi_1 = \min \left\{ 1, 0; \frac{[\sigma]_1}{[\sigma]} \right\} =$$

1

Ширина зоны укрепления, прилегающей к штуцеру

$$L_0 = \sqrt{D_p (s - c)} =$$

148.7 MM

Расчётная ширина зоны укрепления, прилегающей к штуцеру

$$I_D =$$

148.7 MM

### Расчётный диаметр неукрепляемого отверстия

$$d_{\text{op}} = 0,4 \sqrt{D_p (s - c)} =$$

59.46 MM

### Коэффициент понижения прочности узла врезки штуцера

$$V = \min \left\{ 1; \frac{1 + \frac{l_{1p}(s_1 - c_s) \chi_1 + l_{2p}s_2 \chi_2 + l_{3p}(s_3 - c_s - c_{s1}) \chi_3}{l_p(s - c)}}{1 + 0,5 \frac{d_p - d_{op}}{l_p} + K_1 \frac{d + 2c_s}{D_p} \frac{\varphi l_{1p}}{\varphi l_p}} \right\} =$$

1

### Допускаемое давление для узла врезки штуцера

$$[p] = \frac{2K_1(s-c)\phi[\sigma]}{D_p + (s-c)V} V =$$

5.146 МПа

где

$$K_1 =$$

1

Узел врезки отвечает условиям прочности в соответствии с требованиями ГОСТ Р 52857.3-2007.

Подп. и дата	<p>Расчётный диаметр неукрепляемого отверстия</p> $d_{\text{оп}} = 0,4\sqrt{D_{\text{п}}(s - c)} =$ <p>59.46 мм</p> <p>Коэффициент понижения прочности узла врезки штуцера</p> $V = \min \left\{ 1; \frac{1 + \frac{l_{1\text{п}}(s_1 - c_s) \chi_1 + l_{2\text{п}}s_2 \chi_2 + l_{3\text{п}}(s_3 - c_s - c_{s1}) \chi_3}{l_{\text{п}}(s - c)}}{1 + 0,5 \frac{d_{\text{п}} - d_{\text{оп}}}{l_{\text{п}}} + K_1 \frac{d + 2c_s}{D_{\text{п}}} \frac{\varphi l_{1\text{п}}}{\varphi l_{\text{п}}}} \right\} =$ <p>1</p> <p>Допускаемое давление для узла врезки штуцера</p> $[p] = \frac{2K_1(s - c)\varphi[\sigma]}{D_{\text{п}} + (s - c)V} V =$ <p>5.146 МПа</p> <p>где</p> $K_1 =$ <p>1</p> <p>Узел врезки отвечает условиям прочности в соответствии с требованиями ГОСТ Р 52857.3-2007.</p>					
Инв. №						
Взам. инв.						
Подп. и дата						
Инв. № подл.						
3	Изм.	б / н	Редикульцев	06.18	<b>20/30КУ-3N-2470.00.00.000 PP</b>	Лист
2	Изм.	б / н	Редикульцев	06.18		148
Изм.	Лист	№ док.	Подпись	Дата		

### 3.8. Штуцера L2 и L4 DN50

Расчёт на прочность по ГОСТ Р 52857.3-2007.

Расчёт выполнен с помощью пакета прикладных программ расчёта на прочность элементов сосудов, аппаратов и трубопроводов PVP Design (Свидетельство о государственной регистрации 2008614973)

Элемент: Укрепление отверстий в обечайках и днищах.

Внутреннее давление.

Отверстие в цилиндрической обечайке.

Расчёт укрепления одиночного отверстия.

Укрепление непропущенным (непроходящим) штуцером.

Наклонный штуцер, ось которого лежит в плоскости поперечного сечения обечайки.

Только расчёт укрепления отверстия.

Режим: Рабочий.

#### Исходные данные

Материал корпуса	20КА, Лист		
Материал штуцера	20КА, Поковка		
Расчётная температура	$T$	300	°C
Расчётное давление	$P$	4.51	МПа
Внутренний диаметр обечайки, днища или конического перехода, в месте расположения отверстия	$D$	1000	мм
Исполнительная толщина стенки обечайки, конического перехода или днища	$s$	26	мм
Коэффициент прочности сварных соединений обечаек и днищ	$\varphi$	1	
Допускаемое напряжение для материала обечайки, перехода или днища при расчётной температуре	$[\sigma]$	119	МПа
Внутренний диаметр штуцера	$d$	47	мм
Исполнительная толщина стенки штуцера	$s_1$	20	мм
Исполнительная длина штуцера (для заведомо длинных штуцеров $l_1=0$ )	$l_1$	275.9	мм
Допускаемое напряжение для материала штуцера	$[\sigma]_1$	119	МПа
Коэффициент прочности продольного сварного шва штуцера	$\varphi_1$	1	
Расстояние от наружной поверхности штуцера до ближайшего несущего конструктивного элемента (или $L_k=0$ )	$L_k$	237	мм
Длина отверстия в окружном направлении	$t$	58.84	мм
Угол между проекциями нормали к поверхности обечайки и оси штуцера на плоскость поперечного сечения обечайки	$\alpha_a$	-36.87	град
Прибавка для компенсации коррозии и эрозии стенки корпуса	$c_1$	3	мм
Прибавка для компенсации минусового допуска стенки корпуса	$c_2$	0.9	мм
Прибавка технологическая стенки корпуса	$c_3$	0	мм
Прибавка для компенсации коррозии и эрозии стенки штуцера	$c_{s1}$	3	мм
Прибавка для компенсации минусового допуска стенки штуцера	$c_{s2}$	0	мм
Прибавка технологическая стенки штуцера	$c_{s3}$	0	мм
Сумма прибавок к расчётной толщине стенки корпуса	$c$	3.9	мм
Сумма прибавок к расчётной толщине стенки штуцера	$c_s$	3	мм

Инв. № подл.	Подп. и дата	Взам. инв.	Инв. №	Подп. и дата	3	Изм.	б / н	Редикульцев	06.18	20/30КУ-3N-2470.00.00.000 PP	Лист
						2	Изм.	б / н	Редикульцев		149
						Изм.	Лист	№ док.	Подпись		
									Дата		

### Результаты расчёта

### Расчётный внутренний диаметр цилиндрической обечайки

$$D_p = D = 1000 \text{ mm}$$

### Расчётная толщина стенки корпуса

$$s_p = \frac{pD}{2[\sigma]\phi_p - p} = 19.32 \text{ mm}$$

Расчётный диаметр отверстия

$$d_p = \max\{d; 0,5t\} + 2c_s = 53 \text{ mm}$$

### Расчётная толщина стенки штуцера

$$s_{lp} = \frac{p(d + 2c_s)}{2[\sigma] \varphi - p} = 1.024 \text{ mm}$$

### Расчётная длина штуцера

$$l_{1p} = \min \{l_1; 1,25\sqrt{(d+2c)(s_1-c)}\} = 37.52 \text{ mm}$$

### Отношение допускаемых напряжений штуцера и корпуса

$$\chi_1 = \min \left\{ 1, 0, \frac{[\sigma]_1}{[\sigma]} \right\} =$$

Ширина зоны укрепления, прилегающей к штуцеру

$$L_o = \sqrt{D_p(s - c)} = 148.7 \text{ mm}$$

Расчётная ширина зоны укрепления, прилегающей к штуцеру

$$l_p = 148.7 \text{ mm}$$

Расчётный диаметр неукрепляемого отверстия

$$d_{\text{оп}} = 0,4 \sqrt{D_{\text{п}}(s - c)} = 59.46 \text{ мм}$$

### Коэффициент понижения прочности узла врезки штуцера

$$V = \min \left\{ 1; \frac{1 + \frac{l_{1p}(s_1 - c_s) \chi_1 + l_{2p}s_2 \chi_2 + l_{3p}(s_3 - c_s - c_{s1}) \chi_3}{l_p(s - c)}}{1 + 0,5 \frac{d_p - d_{op}}{l_p} + K_1 \frac{d + 2c_s}{D_p} \frac{\varphi l_{1p}}{\varphi l_p}} \right\} =$$

### Допускаемое давление для узла врезки штуцера

$$[p] = \frac{2K_1(s-c)\phi[\sigma]}{D_0 + (s-c)V} = 5.146 \text{ МПа}$$

где

$$K_1 = 1$$

Узел врезки отвечает условиям прочности в соответствии с требованиями ГОСТ Р 52857.3-2007.

Инв. № подл.	Подп. и дата	Взам. инв.	Инв. №	Подп. и дата	$d_{\text{оп}} = 0,4\sqrt{D_p(s - c)} =$	59.46 мм
					Коэффициент понижения прочности узла врезки штуцера	
					$V = \min \left\{ 1; \frac{1 + \frac{l_{1p}(s_1 - c_s) \chi_1 + l_{2p}s_2 \chi_2 + l_{3p}(s_3 - c_s - c_{s1}) \chi_3}{l_p(s - c)}}{1 + 0,5 \frac{d_p - d_{\text{оп}}}{l_p} + K_1 \frac{d + 2c_s}{D_p} \frac{\varphi l_{1p}}{\varphi l_p}} \right\} =$	1
					Допускаемое давление для узла врезки штуцера	
					$[p] = \frac{2K_1(s - c)\varphi[\sigma]}{D_p + (s - c)V} V =$	5.146 МПа
					где	
					$K_1 =$	1
					Узел врезки отвечает условиям прочности в соответствии с требованиями ГОСТ Р 52857.3-2007.	
Инв. № подл.	Подп. и дата	Взам. инв.	Инв. №	Подп. и дата	20/30КУ-3N-2470.00.00.000 PP	
3	Изм.	б / н	Редикульцев	06.18		Лист
2	Изм.	б / н	Редикульцев	06.18		150
Изм.	Лист	№ док.	Подпись	Дата		

### 3.9. Штуцера M2, M4, M6 DN50

Расчёт на прочность по ГОСТ Р 52857.3-2007.

Расчёт выполнен с помощью пакета прикладных программ расчёта на прочность элементов сосудов, аппаратов и трубопроводов PVP Design (Свидетельство о государственной регистрации 2008614973)

Элемент: Укрепление отверстий в обечайках и днищах.

Внутреннее давление.

Отверстие в цилиндрической обечайке.

Расчёт укрепления одиночного отверстия.

Укрепление непропущенным (непроходящим) штуцером.

Наклонный штуцер, ось которого лежит в плоскости поперечного сечения обечайки.

Только расчёт укрепления отверстия.

Режим: Рабочий.

#### Исходные данные

Материал корпуса	20КА, Лист		
Материал штуцера	20КА, Поковка		
Расчётная температура	$T$	300	°C
Расчётное давление	$P$	4.51	МПа
Внутренний диаметр обечайки, днища или конического перехода, в месте расположения отверстия	$D$	1000	мм
Исполнительная толщина стенки обечайки, конического перехода или днища	$s$	26	мм
Коэффициент прочности сварных соединений обечаек и днищ	$\varphi$	1	
Допускаемое напряжение для материала обечайки, перехода или днища при расчётной температуре	$[\sigma]$	119	МПа
Внутренний диаметр штуцера	$d$	47	мм
Исполнительная толщина стенки штуцера	$s_1$	20	мм
Исполнительная длина штуцера (для заведомо длинных штуцеров $l_1=0$ )	$l_1$	275.9	мм
Допускаемое напряжение для материала штуцера	$[\sigma]_1$	119	МПа
Коэффициент прочности продольного сварного шва штуцера	$\varphi_1$	1	
Расстояние от наружной поверхности штуцера до ближайшего несущего конструктивного элемента (или $L_k=0$ )	$L_k$	817	мм
Длина отверстия в окружном направлении	$t$	58.84	мм
Угол между проекциями нормали к поверхности обечайки и оси штуцера на плоскость поперечного сечения обечайки	$\alpha_2$	-36.87	град
Прибавка для компенсации коррозии и эрозии стенки корпуса	$c_1$	3	мм
Прибавка для компенсации минусового допуска стенки корпуса	$c_2$	0.9	мм
Прибавка технологическая стенки корпуса	$c_3$	0	мм
Прибавка для компенсации коррозии и эрозии стенки штуцера	$c_{,1}$	3	мм
Прибавка для компенсации минусового допуска стенки штуцера	$c_{,2}$	0	мм
Прибавка технологическая стенки штуцера	$c_{,3}$	0	мм
Сумма прибавок к расчётной толщине стенки корпуса	$c$	3.9	мм
Сумма прибавок к расчётной толщине стенки штуцера	$c_{,}$	3	мм

Инв. № подл.	Изм.	Лист	№ док.	Подпись	Дата	20/30КУ-3N-2470.00.00.000 PP	Лист
Инв. № подл.	3	Изм.	б / н	Редикульцев	06.18	20/30КУ-3N-2470.00.00.000 PP	151
	2	Изм.	б / н	Редикульцев	06.18		
	Изм.	Лист	№ док.	Подпись	Дата		

### Результаты расчёта

### Расчётный внутренний диаметр цилиндрической обечайки

$$D_p = D = 1000 \text{ mm}$$

### Расчётная толщина стенки корпуса

$$s_p = \frac{pD}{2[\sigma]\phi_p - p} = 19.32 \text{ mm}$$

### Расчётный диаметр отверстия

$$d_p = \max\{d; 0,5t\} + 2c_s = 53 \text{ mm}$$

### Расчётная толщина стенкиштуцера

$$s_{lp} = \frac{p(d + 2c_s)}{2[\sigma] \varphi - p} = 1.024 \text{ mm}$$

### Расчётная длина штуцера

$$l_{\text{ip}} = \min \{l_1; 1,25\sqrt{(d + 2c_s)(s_1 - c_s)}\} = 37.52 \text{ mm}$$

### Отношение допускаемых напряжений штуцера и корпуса

$$\chi_1 = \min \left\{ 1, 0; \frac{[\sigma]_1}{[\sigma]} \right\} = \quad 1$$

Ширина зоны укрепления, прилегающей к штуцеру

$$L_o = \sqrt{D_p(s - c)} = 148.7 \text{ mm}$$

Расчётная ширина зоны укрепления, прилегающей к штуцеру

$$l_p = 148.7 \text{ mm}$$

### Расчётный диаметр неукрепляемого отверстия

$$d_{\text{op}} = 0,4 \sqrt{D_p(s - c)} = 59.46 \text{ mm}$$

### Коэффициент понижения прочности узла врезки штуцера

$$V = \min \left\{ 1; \frac{1 + \frac{l_{1p}(s_1 - c_s) \chi_1 + l_{2p}s_2 \chi_2 + l_{3p}(s_3 - c_s - c_{s1}) \chi_3}{l_p(s - c)}}{1 + 0,5 \frac{d_p - d_{op}}{l_p} + K_1 \frac{d + 2c_s}{D_p} \frac{\varphi l_{1p}}{\varphi_1 l_p}} \right\} = 1$$

### Допускаемое давление для узла врезки штуцера

$$[p] = \frac{2K_1(s-c)\phi[\sigma]}{D_0 + (s-c)V} = 5.146 \text{ МПа}$$

где

$$K_1 = 1$$

Узел врезки отвечает условиям прочности в соответствии с требованиями ГОСТ Р 52857.3-2007.

Подп. и дата	<p>Расчётный диаметр неукрепляемого отверстия</p> $d_{\text{оп}} = 0,4\sqrt{D_{\text{п}}(s - c)} =$ <p>59.46 мм</p> <p>Коэффициент понижения прочности узла врезки штуцера</p> $V = \min \left\{ 1; \frac{1 + \frac{l_{1\text{п}}(s_1 - c_s) \chi_1 + l_{2\text{п}}s_2 \chi_2 + l_{3\text{п}}(s_3 - c_s - c_{s1}) \chi_3}{l_{\text{п}}(s - c)}}{1 + 0,5 \frac{d_{\text{п}} - d_{\text{оп}}}{l_{\text{п}}} + K_1 \frac{d + 2c_s}{D_{\text{п}}} \frac{\varphi l_{1\text{п}}}{\varphi l_{\text{п}}}} \right\} =$ <p>1</p> <p>Допускаемое давление для узла врезки штуцера</p> $[p] = \frac{2K_1(s - c)\varphi[\sigma]}{D_{\text{п}} + (s - c)V} V =$ <p>5.146 МПа</p> <p>где</p> $K_1 =$ <p>1</p> <p>Узел врезки отвечает условиям прочности в соответствии с требованиями ГОСТ Р 52857.3-2007.</p>					
Инв. №						
Взам. инв.						
Подп. и дата						
Инв. № подл.						
3	Изм.	б / н	Редикульцев	06.18	20/30КУ-3N-2470.00.00.000 PP	Лист
2	Изм.	б / н	Редикульцев	06.18		152
Изм.	Лист	№ док.	Подпись	Дата		





### Результаты расчёта

### Расчётный внутренний диаметр цилиндрической обечайки

$$D_p = D = 1000 \text{ mm}$$

### Расчётная толщина стенки корпуса

$$s_p = \frac{pD}{2[\sigma]\phi_p - p} = 19.32 \text{ mm}$$

### Расчётный диаметр отверстия

$$d_p = \max\{d; 0,5t\} + 2c_s = 53 \text{ mm}$$

### Расчётная толщина стенкиштуцера

$$s_{lp} = \frac{p(d + 2c_s)}{2[\sigma_b \phi - p]} = 1.024 \text{ mm}$$

### Расчётная длина штуцера

$$l_{\text{ip}} = \min \{l_1; 1,25\sqrt{(d + 2c_s)(s_1 - c_s)}\} = 37.52 \text{ mm}$$

### Отношение допускаемых напряжений штуцера и корпуса

$$\chi_1 = \min \left\{ 1, 0; \frac{[\sigma]_1}{[\sigma]} \right\} = \quad 1$$

Ширина зоны укрепления, прилегающей к штуцеру

$$L_o = \sqrt{D_p(s - c)} = 148.7 \text{ mm}$$

Расчётная ширина зоны укрепления, прилегающей к штуцеру

$$l_p = 148.7 \text{ mm}$$

Расчётный диаметр неукрепляемого отверстия

$$d_{\text{op}} = 0,4 \sqrt{D_p(s-c)} = 59.46 \text{ mm}$$

### Коэффициент понижения прочности узла врезки штуцера

$$V = \min \left\{ 1; \frac{1 + \frac{l_{1p}(s_1 - c_s) \chi_1 + l_{2p}s_2 \chi_2 + l_{3p}(s_3 - c_s - c_{s1}) \chi_3}{l_p(s - c)}}{1 + 0,5 \frac{d_p - d_{op}}{l_p} + K_1 \frac{d + 2c_s}{D_p} \frac{\varphi l_{1p}}{\varphi_1 l_p}} \right\} =$$

### Допускаемое давление для узла врезки штуцера

$$[p] = \frac{2K_1(s-c)\phi[\sigma]}{D_p + (s-c)V} = 5.146 \text{ МПа}$$

где

$$K_1 = 1$$

Узел врезки отвечает условиям прочности в соответствии с требованиями ГОСТ Р 52857.3-2007.

Подп. и дата	<p>Расчётный диаметр неукрепляемого отверстия</p> $d_{\text{оп}} = 0,4\sqrt{D_{\text{п}}(s - c)} =$ <p>59.46 мм</p> <p>Коэффициент понижения прочности узла врезки штуцера</p> $V = \min \left\{ 1; \frac{1 + \frac{l_{1\text{п}}(s_1 - c_s) \chi_1 + l_{2\text{п}}s_2 \chi_2 + l_{3\text{п}}(s_3 - c_s - c_{s1}) \chi_3}{l_{\text{п}}(s - c)}}{1 + 0,5 \frac{d_{\text{п}} - d_{\text{оп}}}{l_{\text{п}}} + K_1 \frac{d + 2c_s}{D_{\text{п}}} \frac{\varphi l_{1\text{п}}}{\varphi l_{\text{п}}}} \right\} =$ <p>1</p> <p>Допускаемое давление для узла врезки штуцера</p> $[p] = \frac{2K_1(s - c)\varphi[\sigma]}{D_{\text{п}} + (s - c)V} V =$ <p>5.146 МПа</p> <p>где</p> $K_1 =$ <p>1</p> <p>Узел врезки отвечает условиям прочности в соответствии с требованиями ГОСТ Р 52857.3-2007.</p>					
Инв. №						
Взам. инв.						
Подп. и дата						
Инв. № подл.						
3	Изм.	б / н	Редикульцев	06.18	<b>20/30КУ-3N-2470.00.00.000 PP</b>	Лист
2	Изм.	б / н	Редикульцев	06.18		154
Изм.	Лист	№ док.	Подпись	Дата		

### 3.11. Штуцер O2 DN50

Расчёт на прочность по ГОСТ Р 52857.3-2007.

Расчёт выполнен с помощью пакета прикладных программ расчёта на прочность элементов сосудов, аппаратов и трубопроводов PVP Design (Свидетельство о государственной регистрации 2008614973)

Элемент: Укрепление отверстий в обечайках и днищах.

Внутреннее давление.

Отверстие в цилиндрической обечайке.

Расчёт укрепления одиночного отверстия.

Укрепление непропущенным (непроходящим) штуцером.

Наклонный штуцер, ось которого лежит в плоскости поперечного сечения обечайки.

Только расчёт укрепления отверстия.

Режим: Рабочий.

#### Исходные данные

Материал корпуса	20КА, Лист		
Материал штуцера	20КА, Поковка		
Расчётная температура	$T$	300	°C
Расчётное давление	$P$	4.51	МПа
Внутренний диаметр обечайки, днища или конического перехода, в месте расположения отверстия	$D$	1000	мм
Исполнительная толщина стенки обечайки, конического перехода или днища	$s$	26	мм
Коэффициент прочности сварных соединений обечаек и днищ	$\varphi$	1	
Допускаемое напряжение для материала обечайки, перехода или днища при расчётной температуре	$[\sigma]$	119	МПа
Внутренний диаметр штуцера	$d$	47	мм
Исполнительная толщина стенки штуцера	$s_1$	20	мм
Исполнительная длина штуцера (для заведомо длинных штуцеров $l_1=0$ )	$l_1$	221.5	мм
Допускаемое напряжение для материала штуцера	$[\sigma]_1$	119	МПа
Коэффициент прочности продольного сварного шва штуцера	$\varphi_1$	1	
Расстояние от наружной поверхности штуцера до ближайшего несущего конструктивного элемента (или $L_k=0$ )	$L_k$	1116.5	мм
Длина отверстия в окружном направлении	$t$	51.32	мм
Угол между проекциями нормали к поверхности обечайки и оси штуцера на плоскость поперечного сечения обечайки	$\alpha_a$	23.58	град
Прибавка для компенсации коррозии и эрозии стенки корпуса	$c_1$	3	мм
Прибавка для компенсации минусового допуска стенки корпуса	$c_2$	0.9	мм
Прибавка технологическая стенки корпуса	$c_3$	0	мм
Прибавка для компенсации коррозии и эрозии стенки штуцера	$c_{s1}$	3	мм
Прибавка для компенсации минусового допуска стенки штуцера	$c_{s2}$	0	мм
Прибавка технологическая стенки штуцера	$c_{s3}$	0	мм
Сумма прибавок к расчётной толщине стенки корпуса	$c$	3.9	мм
Сумма прибавок к расчётной толщине стенки штуцера	$c_s$	3	мм

Инв. № подл.	Подп. и дата	Взам. инв.	Инв. №	Подп. и дата	3	Изм.	б / н	Редикульцев	06.18	20/30КУ-3N-2470.00.00.000 PP	Лист
						2	Изм.	б / н	Редикульцев		155
						Изм.	Лист	№ док.	Подпись		
									Дата		

### Результаты расчёта

Расчётный внутренний диаметр цилиндрической обечайки

$$D_p = D = 1000 \text{ мм}$$

Расчётная толщина стенки корпуса

$$s_p = \frac{pD}{2[\sigma]\varphi_p - p} = 19.32 \text{ мм}$$

Расчётный диаметр отверстия

$$d_p = \max\{d; 0,5t\} + 2c_s = 53 \text{ мм}$$

Расчётная толщина стенки штуцера

$$s_{1p} = \frac{p(d + 2c_s)}{2[\sigma]_1\varphi_1 - p} = 1.024 \text{ мм}$$

Расчётная длина штуцера

$$l_{1p} = \min\{l_1; 1,25\sqrt{(d + 2c_s)(s_1 - c_s)}\} = 37.52 \text{ мм}$$

Отношение допускаемых напряжений штуцера и корпуса

$$\chi_1 = \min\left\{1,0; \frac{[\sigma]_1}{[\sigma]}\right\} = 1$$

Ширина зоны укрепления, прилегающей к штуцеру

$$L_0 = \sqrt{D_p(s - c)} = 148.7 \text{ мм}$$

Расчётная ширина зоны укрепления, прилегающей к штуцеру

$$l_p = 148.7 \text{ мм}$$

Расчётный диаметр неукрепляемого отверстия

$$d_{оп} = 0,4\sqrt{D_p(s - c)} = 59.46 \text{ мм}$$

Коэффициент понижения прочности узла врезки штуцера

$$V = \min\left\{1; \frac{1 + \frac{l_{1p}(s_1 - c_s)\chi_1 + l_{2p}s_2\chi_2 + l_{3p}(s_3 - c_s - c_{s1})\chi_3}{l_p(s - c)}}{1 + 0,5\frac{d_p - d_{оп}}{l_p} + K_1\frac{d + 2c_s}{D_p}\frac{\varphi l_{1p}}{\varphi_1 l_p}}\right\} = 1$$

Допускаемое давление для узла врезки штуцера

$$[p] = \frac{2K_1(s - c)\varphi[\sigma]}{D_p + (s - c)V} = 5.146 \text{ МПа}$$

где

$$K_1 = 1$$

Узел врезки отвечает условиям прочности в соответствии с требованиями ГОСТ Р 52857.3-2007.

Инв. № подл.	Подп. и дата	Инв. №	Взам. инв.	Подп. и дата					
3	Изм.	б / н	Редикульцев	06.18	<b>20/30КУ-3N-2470.00.00.000 PP</b>				
2	Изм.	б / н	Редикульцев	06.18					
Изм.	Лист	№ док.	Подпись	Дата					
									Лист
									156

### 3.12. Штуцер С DN50

Расчёт на прочность по ГОСТ Р 52857.3-2007.

Расчёт выполнен с помощью пакета прикладных программ расчёта на прочность элементов сосудов, аппаратов и трубопроводов PVP Design (Свидетельство о государственной регистрации 2008614973)

Элемент: Укрепление отверстий в обечайках и днищах.

Внутреннее давление.

Отверстие в цилиндрической обечайке.

Расчёт укрепления одиночного отверстия.

Укрепление непропущенным (непроходящим) штуцером.

Штуцер с осью нормальной к корпусу сосуда.

Расчёт с учетом внешних нагрузок методом конечных элементов.

Внешние нагрузки определялись без учета стесненности температурных деформаций.

Внешние нагрузки приложены в месте пересечения оси штуцера

с образующей обечайки или днища.

Режим: Рабочий.

#### Исходные данные

Материал корпуса	20КА, Лист		
Материал штуцера	20КА, Поковка		
Расчётная температура	$T$	300	°C
Расчётное давление	$P$	4.51	МПа
Внутренний диаметр обечайки, днища или конического перехода, в месте расположения отверстия	$D$	1000	мм
Исполнительная толщина стенки обечайки, конического перехода или днища	$s$	26	мм
Коэффициент прочности сварных соединений обечаек и днищ	$\varphi$	1	
Допускаемое напряжение для материала обечайки, перехода или днища при расчётной температуре	$[\sigma]$	119	МПа
Внутренний диаметр штуцера	$d$	63	мм
Исполнительная толщина стенки штуцера	$s_1$	26	мм
Исполнительная длина штуцера (для заведомо длинных штуцеров $l_1=0$ )	$l_1$	100	мм
Допускаемое напряжение для материала штуцера	$[\sigma]_1$	119	МПа
Коэффициент прочности продольного сварного шва штуцера	$\varphi_1$	1	
Расстояние от наружной поверхности штуцера до ближайшего несущего конструктивного элемента (или $L_k=0$ )	$L_k$	508	мм
Размер сварного шва приварки штуцера (по образующей обечайки)	$a$	0	мм
Размер сварного шва приварки штуцера (по образующей штуцера)	$b$	0	мм
Вылет штуцера	$L_t$	249	мм
Осевая нагрузка на штуцер	$F_z$	1700	Н
Изгибающий момент вокруг оси X действующий на штуцер	$M_x$	3.5e+05	Н*мм
Изгибающий момент вокруг оси Y действующий на штуцер	$M_y$	5e+05	Н*мм
Изгибающий момент вокруг оси Z действующий на штуцер	$M_z$	6e+05	Н*мм
Перерезывающая сила вдоль оси X действующая на штуцер	$F_x$	1250	Н

Инв. № подл.	Подп. и дата	Взам. инв.	Инв. №	Подп. и дата	Исполнительная толщина стенки обечайки, конического перехода или днища	$s$	26	мм			
					Коэффициент прочности сварных соединений обечаек и днищ	$\varphi$	1				
					Допускаемое напряжение для материала обечайки, перехода или днища при расчётной температуре	$[\sigma]$	119	МПа			
					Внутренний диаметр штуцера	$d$	63	мм			
Инв. № подл.	Подп. и дата	Взам. инв.	Инв. №	Подп. и дата	Исполнительная толщина стенки штуцера	$s_1$	26	мм			
					Исполнительная длина штуцера (для заведомо длинных штуцеров П1=0)	$l_1$	100	мм			
					Допускаемое напряжение для материала штуцера	$[\sigma]_1$	119	МПа			
					Коэффициент прочности продольного сварного шва штуцера	$\varphi_1$	1				
					Расстояние от наружной поверхности штуцера до ближайшего несущего конструктивного элемента (или $L_k=0$ )	$L_k$	508	мм			
					Размер сварного шва приварки штуцера (по образующей обечайки)	$\alpha$	0	мм			
					Размер сварного шва приварки штуцера (по образующей штуцера)	$b$	0	мм			
					Вылет штуцера	$L_f$	249	мм			
					Осевая нагрузка на штуцер	$F_x$	1700	Н			
					Изгибающий момент вокруг оси X действующий на штуцер	$M_x$	3.5e+05	Н*мм			
					Изгибающий момент вокруг оси Y действующий на штуцер	$M_y$	5e+05	Н*мм			
					Изгибающий момент вокруг оси Z действующий на штуцер	$M_z$	6e+05	Н*мм			
Перерезывающая сила вдоль оси X действующая на штуцер	$F_x$	1250	Н								
Инв. № подл.	Подп. и дата	Взам. инв.	Инв. №	Подп. и дата	3	Изм.	б / н	Редикульцев	06.18	20/30КУ-3N-2470.00.00.000 PP	Лист
					2	Изм.	б / н	Редикульцев	06.18		157
					Изм.	Лист	№ док.	Подпись	Дата		

Перерезывающая сила вдоль оси Y действующая на штуцер	$F_y$	1250	Н
Модуль продольной упругости материала обечайки	$E$	1.71e+05	МПа
Коэффициент Пуассона обечайки	$\mu$	0.3	
Модуль продольной упругости материала штуцера	$E_1$	1.71e+05	МПа
Коэффициент Пуассона штуцера	$\mu_1$	0.3	
Прибавка для компенсации коррозии и эрозии стенки корпуса	$c_1$	3	мм
Прибавка для компенсации минусового допуска стенки корпуса	$c_2$	0.9	мм
Прибавка технологическая стенки корпуса	$c_3$	0	мм
Прибавка для компенсации коррозии и эрозии стенки штуцера	$c_{s1}$	3	мм
Прибавка для компенсации минусового допуска стенки штуцера	$c_{s2}$	0	мм
Прибавка технологическая стенки штуцера	$c_{s3}$	0	мм
Сумма прибавок к расчётной толщине стенки корпуса	$c$	3.9	мм
Сумма прибавок к расчётной толщине стенки штуцера	$c_s$	3	мм

### Результаты расчёта



### 3.13. Патрубок штуцера С DN50

Расчёт на прочность по ГОСТ Р 52857.2-2007.

Расчёт выполнен с помощью пакета прикладных программ расчёта на прочность элементов сосудов, аппаратов и трубопроводов PVP Design (Свидетельство о государственной регистрации 2008614973)

Элемент: Гладкая цилиндрическая обечайка, работающая под действием внутреннего давления.  
Режим: Рабочий.

#### Исходные данные

Материал обечайки	20КА, Труба		
Расчётная температура	T	300	°C
Расчётное давление в сосуде	P	4.51	МПа
Внутренний диаметр обечайки	D	47	мм
Фактическая длина обечайки	Lact	82	мм
Толщина стенки обечайки	S	5	мм
Прибавка на коррозию	c <sub>1</sub>	3	мм
Прибавка – минусовый допуск	c <sub>2</sub>	0.75	мм
Прибавка технологическая	c <sub>3</sub>	0	мм
Сумма прибавок к расчётной толщине стенки (см. п.12 ГОСТ Р 52857.1)	c	3.75	мм
Коэффициент прочности продольного сварного шва	φ <sub>p</sub>	1	
Допускаемое напряжение	[σ]	119	МПа

#### Результаты расчёта

Минимально допустимая расчётная толщина стенки обечайки от действия давления

$$S_p = \frac{pD}{2[\sigma]\phi_p - p} = 0.9078 \text{ мм}$$

Минимально допустимая расчётная толщина стенки обечайки от действия давления с учетом прибавки

$$S \geq S_p + C = 4.658 \text{ мм}$$

Допускаемое внутреннее давление

$$[p] = \frac{2[\sigma]\phi_p(S - C)}{D + (S - C)} = 6.166 \text{ МПа}$$

Наибольший диаметр отверстия не требующего доп. укрепления

$$d_o = 8.844 \text{ мм}$$

Обечайка отвечает условиям прочности в соответствии с требованиями ГОСТ Р 52857.2-2007.

Подп. и дата					
Инв. №					
Взам. инв.					
Подп. и дата					
Инв. № подл.					
3	Изм.	б / н	Редикульцев	06.18	20/30КУ-3N-2470.00.00.000 PP
2	Изм.	б / н	Редикульцев	06.18	
Изм.	Лист	№ док.	Подпись	Дата	
					Лист
					160



### 3.14. Фланец штуцера С DN50 PN63

## Расчёт на прочность и плотность по ASME Boiler and Pressure Vessel Code

*Расчёт выполнен с помощью пакета прикладных программ расчёта на прочность элементов сосудов, аппаратов и трубопроводов PVP Design (Свидетельство о государственной регистрации 2008614973)*

Фланцевое соединение двух одинаковых фланцев из разных материалов.

### Спирально-навитая прокладка.

Допускаемые напряжения для материалов фланцев принимаются по ГОСТ Р 52857.1-2007.

Специальный расчёт с учетом внешней силы и изгибающего момента.

Режим: Рабочий.

### *Исходные данные*

Материал фланца	20КА, Поковка
Материал обечайки	20КА, Труба
Материал второго фланца	20КА, Поковка
Материал второй обечайки	20КА, Труба
Материал болтов	35Х, Diam = 2-М20
Материал прокладки	Спирально-навитая с лентой из нержавеющей стали

Расчётное давление	P (P <sub>1</sub> )	4.51	МПа
Внешний изгибающий момент, действующий на фланец	M	6.877e+05	Н мм
Внешняя осевая сила, действующая на фланец	F	1700	Н
Допускаемое напряжение для материала болтов (шпилек) при температуре 20С	S <sub>a</sub>	160	МПа
Допускаемое напряжение для материала болтов (шпилек) при расчётной температуре	S <sub>b</sub>	160	МПа
Наружный диаметр прокладки	D <sub>нп</sub>	88	мм
Ширина прокладки	N	8	мм
Минимальное удельное давление смятия прокладки	q	69	МПа
Прокладочный коэффициент	m	3	
Диаметр окружности расположения болтов (шпилек)	C	135	мм
Диаметр болта(шпильки)	d	20	мм
Площадь сечения болта(шпильки) по наименьшему диаметру	f <sub>b</sub>	225	мм <sup>2</sup>
Количество болтов(шпилек)	n <sub>b</sub>	4	
Температура первого фланца (крышки)	T <sub>fl</sub>	300	С
Внутренний диаметр первого фланца	D	47	мм
Наружный диаметр первого фланца (крышки)	A	175	мм
Толщина тарелки первого фланца (крышки)	t (t <sub>fl</sub> )	26	мм
Толщина втулки первого фланца в месте присоединения к обечайке	S <sub>0</sub>	5.5	мм
Толщина втулки первого фланца в месте присоединения к тарелке	S <sub>1</sub>	19.5	мм
Высота конической части первой втулки	h	34	мм
Длина цилиндрической части втулки первого фланца	h <sub>цил</sub>	10	мм
Прибавка на коррозию для первого фланца (крышки)	c	0	мм
Допускаемое напряжение для материала первого фланца при температуре 20 С	S <sub>fa</sub>	147	МПа
Допускаемое напряжение для материала первого фланца при расчётной температуре	S <sub>fb</sub>	119	МПа
Допускаемое напряжение для материала первой обечайки (трубы) при температуре 20 С	S <sub>na</sub>	147	МПа

Инв. № подл.	Подп. и дата	Взам. инв.	Инв. №	Подп. и дата	Допускаемое напряжение для материала болтов (шпилек) при расчётной температуре	$S_b$	160	МПа				
Инв. № подл.	Подп. и дата	Взам. инв.	Инв. №	Подп. и дата	Наружный диаметр прокладки	$D_{нп}$	88	мм				
					Ширина прокладки	$N$	8	мм				
Инв. № подл.	Подп. и дата	Взам. инв.	Инв. №	Подп. и дата	Минимальное удельное давление смятия прокладки	$q$	69	МПа				
					Прокладочный коэффициент	$m$	3					
Инв. № подл.	Подп. и дата	Взам. инв.	Инв. №	Подп. и дата	Диаметр окружности расположения болтов (шпилек)	$C$	135	мм				
					Диаметр болта(шпильки)	$d$	20	мм				
Инв. № подл.	Подп. и дата	Взам. инв.	Инв. №	Подп. и дата	Площадь сечения болта(шпильки) по наименьшему диаметру	$f_b$	225	мм <sup>2</sup>				
					Количество болтов(шпилек)	$n_b$	4					
Инв. № подл.	Подп. и дата	Взам. инв.	Инв. №	Подп. и дата	Температура первого фланца (крышки)	$T_{фл}$	300	С				
					Внутренний диаметр первого фланца	$D$	47	мм				
Инв. № подл.	Подп. и дата	Взам. инв.	Инв. №	Подп. и дата	Наружный диаметр первого фланца (крышки)	$A$	175	мм				
					Толщина тарелки первого фланца (крышки)	$t (t_{фл})$	26	мм				
Инв. № подл.	Подп. и дата	Взам. инв.	Инв. №	Подп. и дата	Толщина втулки первого фланца в месте присоединения к обечайке	$S_0$	5.5	мм				
					Толщина втулки первого фланца в месте присоединения к тарелке	$S_1$	19.5	мм				
Инв. № подл.	Подп. и дата	Взам. инв.	Инв. №	Подп. и дата	Высота конической части первой втулки	$h$	34	мм				
					Длина цилиндрической части втулки первого фланца	$h_{цил}$	10	мм				
Инв. № подл.	Подп. и дата	Взам. инв.	Инв. №	Подп. и дата	Прибавка на коррозию для первого фланца (крышки)	$c$	0	мм				
					Допускаемое напряжение для материала первого фланца при температуре 20 С	$S_{fa}$	147	МПа				
Инв. № подл.	Подп. и дата	Взам. инв.	Инв. №	Подп. и дата	Допускаемое напряжение для материала первого фланца при расчётной температуре	$S_{fb}$	119	МПа				
					Допускаемое напряжение для материала первой обечайки (трубы) при температуре 20 С	$S_{na}$	147	МПа				
Инв. № подл.	Подп. и дата	Взам. инв.	Инв. №	Подп. и дата				Лист				
					3	Изм.	б / н		Редикульцев	06.18	20/30КУ-3N-2470.00.00.000 PP	161
					2	Изм.	б / н		Редикульцев	06.18		
Изм.	Лист	№ док.	Подпись	Дата								

Допускаемое напряжение для материала первой обечайки (трубы) при расчётной температуре	$S_{nb}$	119	МПа
Прибавка на коррозию для второго фланца (крышки)	$c$	3	мм
Допускаемое напряжение для материала второго фланца при температуре 20 С	$S_{fa}$	147	МПа
Допускаемое напряжение для материала второго фланца при расчётной температуре	$S_{fb}$	119	МПа
Допускаемое напряжение для материала второй обечайки при температуре 20 С	$S_{na}$	147	МПа
Допускаемое напряжение для материала второй обечайки (трубы) при расчётной температуре	$S_{nb}$	119	МПа

### Результаты расчёта

#### Параметры прокладки и крепежа

Эффективная ширина прокладки:	$b = \begin{cases} N/2 & - \text{при } N \leq 12.7 \text{ мм} \\ 1.782\sqrt{N} & - \text{при } N > 12.7 \text{ мм} \end{cases}$	4 мм
Средний диаметр прокладки	$G = D_{нн} - 2b =$	80 мм
Расчётная площадь поперечного сечения болтов (шпилек)	$A_b = n_b f_b =$	900 мм <sup>2</sup>
Расстояние от места приложения силы реакции прокладки до болтовой окружности	$h_G = \frac{C - G}{2} =$	27.5 мм

#### Определение усилий в болтах (шпильках) и проверка их прочности

Дополнительное расчётное усилие на болты (шпильки) фланцевого соединения, вызванное воздействием внешней осевой силы и изгибающего момента	$Q_{FM} = \text{Max} \left\{ F + \frac{4 M }{G}; 0 \right\} =$	3.608e+04 Н
Минимальное усилие, необходимое для смятия прокладки	$W_{m2} = \pi b G q =$	6.937e+04 Н
Общее гидростатическое усилие, действующее на фланец	$H = 0.785 G^2  P  =$	2.266e+04 Н
Общая сжимающая нагрузка на контактную поверхность соединения	$H_p = 2b \pi G m P =$	2.72e+04 Н
Нагрузка на болты (шпильки) в рабочих условиях	$W_{m1} = H + H_p + Q_{FM} =$	8.594e+04 Н
Минимальная необходимая площадь сечения болтов (шпилек)	$A_m = \text{Max} \left\{ \frac{W_{m1}}{S_b}; \frac{W_{m2}}{S_a} \right\} =$	537.2 < $A_b = 900 \text{ мм}^2$
Расчётное усилие в болтах (шпильках) при затяжке	$W = \frac{A_m + A_b}{2} S_a =$	1.15e+05 Н

#### Расчёт на прочность первого фланца ( $H=H_1, H_p=H_{p1}$ )

Расчётный внутренний диаметр фланца после снятия прибавки на коррозию	$B = D + 2c =$	47 мм
Толщина втулки первого фланца в месте присоединения к обечайке, после снятия прибавки на коррозию	$g_0 = S_0 - c =$	5.5 мм
Толщина втулки первого фланца в месте присоединения к тарелке, после снятия прибавки на коррозию	$g_1 = S_1 - c =$	19.5 мм

Подп. и дата		Инв. №		Взам. инв.		Подп. и дата		Инв. № подл.	
3	Изм.	б / н	Редикульцев	06.18	20/30КУ-3N-2470.00.00.000 PP				Лист
2	Изм.	б / н	Редикульцев	06.18					162
Изм.	Лист	№ док.	Подпись	Дата					



Радиальное напряжение во фланце	$S_R = \frac{(1.33tF / h_0 + 1)M_0}{Lt^2B} = 68.48$	<	$S_{f\theta} = 119$ МПа
Окружное напряжение во фланце	$S_T = \frac{YM_0}{t^2B} - ZS_R = 43.69$	<	$S_{f\theta} = 119$ МПа
Полусумма продольно- го и радиального напряжений во фланце	$\frac{S_H + S_R}{2} = 53.94$	<	$S_{f\theta} = 119$ МПа
Полусумма продольно- го и окружного напря- жений во фланце	$\frac{S_H + S_T}{2} = 41.55$	<	$S_{f\theta} = 119$ МПа
- при затяжке:			
Продольное напряже- ние во втулке фланца	$S_H = \frac{fM_0}{Lg_1^2B_1} = 49.07$	<	$1.5S_{fz} = 220.5$ МПа
Радиальное напряжение во фланце	$S_R = \frac{(1.33tF / h_0 + 1)M_0}{Lt^2B} = 85.29$	<	$S_{fz} = 147$ МПа
Окружное напряжение во фланце	$S_T = \frac{YM_0}{t^2B} - ZS_R = 54.41$	<	$S_{fz} = 147$ МПа
Полусумма продольно- го и радиального напряжений во фланце	$\frac{S_H + S_R}{2} = 67.18$	<	$S_{fz} = 147$ МПа
Полусумма продольно- го и окружного напря- жений во фланце	$\frac{S_H + S_T}{2} = 51.74$	<	$S_{fz} = 147$ МПа

Расчётный внутренний диаметр фланца после снятия прибавки на коррозию

Толщина втулки второго фланца в месте присоединения к обечайке, после снятия прибавки на коррозию

Толщина втулки второго фланца в месте присоединения к тарелке, после снятия прибавки на коррозию

Плечи действия сил:

Расстояние от окружности расположения болтов до точки пересечения втулки и основания фланца

Плечо действия гидростатического усилия внутри фланца

Плечо действия разницы между общим гидростатическим усилием и гидростатическим усилием внутри фланца

- Коэффициенты

$$Y = 1.709 \qquad T = 1.138$$
$$U = 1.878 \qquad Z = 1.202$$

3	Изм.	б / н	Редикульцев	06.18	<b>20/30КУ-3N-2470.00.00.000 PP</b>	Лист
2	Изм.	б / н	Редикульцев	06.18		164
Изм.	Лист	№ док.	Подпись	Дата		

$$F = 0.4187 \quad V = 0.008248$$

$$f = 1 \quad L = \frac{(Ft/h_0 + 1)}{T} + \frac{Vt^3}{Uh_0g_o^2} = 2.783$$

*Усилия и моменты, действующие на фланец*

Гидростатическое усилие внутри фланца	$H_D = 0.785B^2 P  = 9945$	Н
Разница между общим гидростатическим усилием и гидростатическим усилием внутри фланца	$H_T = H - H_D = 1.271e+04$	Н
Усилие на прокладке в рабочих условиях	$H_G = W_{м1} - H = 6.329e+04$	Н
Составляющая момента от гидростатического усилия внутри фланца	$M_D = H_D h_D = 3.257e+05$	Н мм
Составляющая момента от разницы между общим гидростатическим усилием и гидростатическим усилием внутри фланца	$M_T = H_T h_T = 4.354e+05$	Н мм
Составляющая момента от усилия на прокладке в рабочих условиях	$M_G = H_G h_G = 1.74e+06$	Н мм

*Суммарный момент, действующий на фланец*

- в рабочих условиях:	$M_0 = M_D + M_T + M_G = 2.502e+06$	Н мм
- при затяжке	$M_0 = Wh_G = 3.162e+06$	Н мм

Приведенный внутренний диаметр фланца при определении продольных напряжений во втулке

$$B_1 = \begin{cases} B & \text{при } B \geq 20S_1 \\ B + g_0 & \text{при } B < 20g_1 \text{ и } f > 1 \\ B + g_1 & \text{при } B < 20g_1 \text{ и } f = 1 \end{cases} = 69.5 \text{ мм}$$

*Напряжения в расчётных сечениях фланца*

- в рабочих условиях:

Продольное напряжение во втулке фланца	$S_H = \frac{fM_0}{Lg_1^2 B_1} = 47.5$	<	$1.5S_{\text{ф}} = 178.5 \text{ МПа}$
Радиальное напряжение во фланце	$S_R = \frac{(1.33tF/h_0 + 1)M_0}{Lt^2 B} = 56.64$	<	$S_{\text{ф}} = 119 \text{ МПа}$
Окружное напряжение во фланце	$S_T = \frac{YM_0}{t^2 B} - ZS_R = 51.23$	<	$S_{\text{ф}} = 119 \text{ МПа}$
Полусумма продольного и радиального напряжений во фланце	$\frac{S_H + S_R}{2} = 52.07$	<	$S_{\text{ф}} = 119 \text{ МПа}$
Полусумма продольного и окружного напряжений во фланце	$\frac{S_H + S_T}{2} = 49.37$	<	$S_{\text{ф}} = 119 \text{ МПа}$

- при затяжке:

Продольное напряжение во втулке фланца	$S_H = \frac{fM_0}{Lg_1^2 B_1} = 60.04$	<	$1.5S_{\text{ф}} = 220.5 \text{ МПа}$
--	---	---	---------------------------------------

Подп. и дата									
Инв. №									
Взам. инв.									
Подп. и дата									
Инв. № подл.									
3	Изм.	б / н	Редикульцев	06.18	<b>20/30КУ-3N-2470.00.00.000 PP</b>				Лист
2	Изм.	б / н	Редикульцев	06.18					165
Изм.	Лист	№ док.	Подпись	Дата					

Радиальное напряжение во фланце	$S_R = \frac{(1.33tF / h_0 + 1)M_0}{Lt^2B} = 71.59$	<	$S_{fz} = 147 \text{ МПа}$
Окружное напряжение во фланце	$S_T = \frac{YM_0}{t^2B} - ZS_R = 64.76$	<	$S_{fz} = 147 \text{ МПа}$
Полусумма продольно- го и радиального напряжений во фланце	$\frac{S_H + S_R}{2} = 65.81$	<	$S_{fz} = 147 \text{ МПа}$
Полусумма продольно- го и окружного напря- жений во фланце	$\frac{S_H + S_T}{2} = 62.4$	<	$S_{fz} = 147 \text{ МПа}$

Условия прочности и герметичности фланцевого соединения выполняются.

Инв. № подл.	Подп. и дата	Взам. инв.	Инв. №	Подп. и дата					
3	Изм.	б / н	Редикульцев	06.18	20/30КУ-3N-2470.00.00.000 PP				
2	Изм.	б / н	Редикульцев	06.18					
Изм.	Лист	№ док.	Подпись	Дата					
									Лист
									166

### 3.15. Штуцер Е DN32

Расчёт на прочность по ГОСТ Р 52857.3-2007.

Расчёт выполнен с помощью пакета прикладных программ расчёта на прочность элементов сосудов, аппаратов и трубопроводов PVP Design (Свидетельство о государственной регистрации 2008614973)

Элемент: Укрепление отверстий в обечайках и днищах.

Внутреннее давление.

Отверстие в цилиндрической обечайке.

Расчёт укрепления одиночного отверстия.

Укрепление непропущенным (непроходящим) штуцером.

Наклонный штуцер, ось которого лежит в плоскости поперечного сечения обечайки.

Только расчёт укрепления отверстия.

Режим: Рабочий.

#### Исходные данные

Материал корпуса	20КА, Лист		
Материал штуцера	20КА, Поковка		
Расчётная температура	$T$	300	°C
Расчётное давление	$P$	4.51	МПа
Внутренний диаметр обечайки, днища или конического перехода, в месте расположения отверстия	$D$	1000	мм
Исполнительная толщина стенки обечайки, конического перехода или днища	$s$	26	мм
Коэффициент прочности сварных соединений обечаек и днищ	$\varphi$	1	
Допускаемое напряжение для материала обечайки, перехода или днища при расчётной температуре	$[\sigma]$	119	МПа
Внутренний диаметр штуцера	$d$	36	мм
Исполнительная толщина стенки штуцера	$s_1$	26	мм
Исполнительная длина штуцера (для заведомо длинных штуцеров $l_1=0$ )	$l_1$	100	мм
Допускаемое напряжение для материала штуцера	$[\sigma]_1$	119	МПа
Коэффициент прочности продольного сварного шва штуцера	$\varphi_1$	1	
Расстояние от наружной поверхности штуцера до ближайшего несущего конструктивного элемента (или $L_k=0$ )	$L_k$	1544	мм
Длина отверстия в окружном направлении	$t$	36.48	мм
Угол между проекциями нормали к поверхности обечайки и оси штуцера на плоскость поперечного сечения обечайки	$\alpha_2$	9.207	град
Прибавка для компенсации коррозии и эрозии стенки корпуса	$c_1$	3	мм
Прибавка для компенсации минусового допуска стенки корпуса	$c_2$	0.9	мм
Прибавка технологическая стенки корпуса	$c_3$	0	мм
Прибавка для компенсации коррозии и эрозии стенки штуцера	$c_{s1}$	3	мм
Прибавка для компенсации минусового допуска стенки штуцера	$c_{s2}$	0	мм
Прибавка технологическая стенки штуцера	$c_{s3}$	0	мм
Сумма прибавок к расчётной толщине стенки корпуса	$c$	3.9	мм
Сумма прибавок к расчётной толщине стенки штуцера	$c_s$	3	мм

Инв. № подл.	Изм.	Лист	№ док.	Подпись	Дата	20/30КУ-3N-2470.00.00.000 PP	Лист
Инв. № подл.	3	Изм.	б / н	Редикульцев	06.18	20/30КУ-3N-2470.00.00.000 PP	Лист
	2	Изм.	б / н	Редикульцев	06.18		167
	Изм.	Лист	№ док.	Подпись	Дата		

### Результаты расчёта

### Расчётный внутренний диаметр цилиндрической обечайки

$$D_p = D = 1000 \text{ mm}$$

### Расчётная толщина стенки корпуса

$$s_p = \frac{pD}{2[\sigma]\phi_p - p} = 19.32 \text{ mm}$$

### Расчётный диаметр отверстия

$$d_p = \max\{d; 0,5t\} + 2c_s = 42 \text{ mm}$$

### Расчётная толщина стенки штуцера

$$s_{lp} = \frac{p(d + 2c_s)}{2[\sigma_1 \phi - p]} = 0.8113 \text{ mm}$$

### Расчётная длина штуцера

$$l_{\text{ip}} = \min \{l_1; 1,25\sqrt{(d + 2c_s)(s_1 - c_s)}\} = 38.85 \text{ mm}$$

### Отношение допускаемых напряжений штуцера и корпуса

$$\chi_1 = \min \left\{ 1, 0, \frac{[\sigma]_1}{[\sigma]} \right\} = \quad 1$$

Ширина зоны укрепления, прилегающей к штуцеру

$$L_o = \sqrt{D_p(s - c)} = 148.7 \text{ mm}$$

Расчётная ширина зоны укрепления, прилегающей к штуцеру

$$l_p = 148.7 \text{ mm}$$

### Расчётный диаметр неукрепляемого отверстия

$$d_{\text{op}} = 0,4 \sqrt{D_p(s-c)} = 59.46 \text{ mm}$$

### Коэффициент понижения прочности узла врезки штуцера

$$V = \min \left\{ 1; \frac{1 + \frac{l_{1p}(s_1 - c_s)x_1 + l_{2p}s_2x_2 + l_{3p}(s_3 - c_s - c_{s1})x_3}{l_p(s - c)}}{1 + 0,5 \frac{d_p - d_{op}}{l_p} + K_1 \frac{d + 2c_s}{D_p} \frac{\varphi l_{1p}}{\varphi_1 l_p}} \right\} = 1$$

### Допускаемое давление для узла врезки штуцера

$$[p] = \frac{2K_1(s-c)\phi[\sigma]}{D_0 + (s-c)V} = 5.146 \text{ МПа}$$

где

$$K_1 = 1$$

Узел врезки отвечает условиям прочности в соответствии с требованиями ГОСТ Р 52857.3-2007.

Подп. и дата	<p>Расчётный диаметр неукрепляемого отверстия</p> $d_{\text{оп}} = 0,4\sqrt{D_{\text{п}}(s - c)} =$ <p>59.46 мм</p> <p>Коэффициент понижения прочности узла врезки штуцера</p> $V = \min \left\{ 1; \frac{1 + \frac{l_{\text{1п}}(s_1 - c_s) \chi_1 + l_{\text{2п}}s_2 \chi_2 + l_{\text{3п}}(s_3 - c_s - c_{s1}) \chi_3}{l_{\text{п}}(s - c)}}{1 + 0,5 \frac{d_{\text{п}} - d_{\text{оп}}}{l_{\text{п}}} + K_1 \frac{d + 2c_s}{D_{\text{п}}} \frac{\varphi l_{\text{1п}}}{\varphi l_{\text{п}}}} \right\} =$ <p>1</p> <p>Допускаемое давление для узла врезки штуцера</p> $[p] = \frac{2K_1(s - c)\varphi[\sigma]}{D_{\text{п}} + (s - c)V} V =$ <p>5.146 МПа</p> <p>где</p> $K_1 =$ <p>1</p> <p>Узел врезки отвечает условиям прочности в соответствии с требованиями ГОСТ Р 52857.3-2007.</p>					
Инв. №						
Взам. инв.						
Подп. и дата						
Инв. № подл.						
3	Изм.	б / н	Редикульцев	06.18	<b>20/30КУ-3N-2470.00.00.000 PP</b>	Лист
2	Изм.	б / н	Редикульцев	06.18		168
Изм.	Лист	№ док.	Подпись	Дата		



### 3.16. Трубка штуцера Е DN32

Расчёт на прочность по ГОСТ Р 52857.2-2007.

Расчёт выполнен с помощью пакета прикладных программ расчёта на прочность элементов сосудов, аппаратов и трубопроводов PVP Design (Свидетельство о государственной регистрации 2008614973)

Элемент: Гладкая цилиндрическая обечайка, работающая под действием внутреннего давления.  
Режим: Рабочий.

#### Исходные данные

Материал обечайки	20КА, Труба		
Расчётная температура	T	300	°C
Расчётное давление в сосуде	P	4.51	МПа
Внутренний диаметр обечайки	D	24	мм
Фактическая длина обечайки	Lact	94	мм
Толщина стенки обечайки	S	4	мм
Прибавка на коррозию	c <sub>1</sub>	0	мм
Прибавка – минусовый допуск	c <sub>2</sub>	0.6	мм
Прибавка технологическая	c <sub>3</sub>	0	мм
Сумма прибавок к расчётной толщине стенки (см. п.12 ГОСТ Р 52857.1)	c	0.6	мм
Коэффициент прочности продольного сварного шва	φ <sub>p</sub>	1	
Допускаемое напряжение	[σ]	119	МПа

#### Результаты расчёта

Минимально допустимая расчётная толщина стенки обечайки от действия давления

$$S_p = \frac{pD}{2[\sigma]\phi_p - p} = 0.4636 \text{ мм}$$

Минимально допустимая расчётная толщина стенки обечайки от действия давления с учетом прибавки

$$S \geq S_p + C = 1.064 \text{ мм}$$

Допускаемое внутреннее давление

$$[p] = \frac{2[\sigma]\phi_p(S - C)}{D + (S - C)} = 29.53 \text{ МПа}$$

Наибольший диаметр отверстия не требующего доп. укрепления

$$d_o = 24 \text{ мм}$$

Обечайка отвечает условиям прочности в соответствии с требованиями ГОСТ Р 52857.2-2007.

Подп. и дата					
Инв. №					
Взам. инв.					
Подп. и дата					
Инв. № подл.					
3	Изм.	б / н	Редикульцев	06.18	20/30КУ-3N-2470.00.00.000 PP
2	Изм.	б / н	Редикульцев	06.18	
Изм.	Лист	№ док.	Подпись	Дата	
					Лист
					169

### 3.17. Фланец штуцера Е DN32 PN63

Расчёт на прочность и плотность по ASME Boiler and Pressure Vessel Code

Расчёт выполнен с помощью пакета прикладных программ расчёта на прочность элементов сосудов, аппаратов и трубопроводов PVP Design (Свидетельство о государственной регистрации 2008614973)

Фланцевое соединение двух одинаковых фланцев из разных материалов.

Спирально-навитая прокладка.

Допускаемые напряжения для материалов фланцев принимаются по ГОСТ Р 52857.1-2007.

Режим: Рабочий.

#### Исходные данные

Материал фланца	20КА, Поковка
Материал обечайки	20КА, Труба
Материал второго фланца	20КА, Поковка
Материал второй обечайки	20КА, Труба
Материал болтов	35X, Diam = 2-M16
Материал прокладки	Спирально-навитая с лентой из нержавеющей стали

Расчётное давление	P (P <sub>1</sub> )	4.51	МПа
Допускаемое напряжение для материала болтов (шпилек) при температуре 20С	S <sub>a</sub>	160	МПа
Допускаемое напряжение для материала болтов (шпилек) при расчётной температуре	S <sub>b</sub>	160	МПа
Наружный диаметр прокладки	D <sub>нп</sub>	58	мм
Ширина прокладки	N	8	мм
Минимальное удельное давление смятия прокладки	q	69	МПа
Прокладочный коэффициент	m	3	
Диаметр окружности расположения болтов (шпилек)	C	100	мм
Диаметр болта(шпильки)	d	16	мм
Площадь сечения болта(шпильки) по наименьшему диаметру	f <sub>b</sub>	144	мм <sup>2</sup>
Количество болтов(шпилек)	n <sub>b</sub>	4	
Температура первого фланца (крышки)	T <sub>fl</sub>	300	С
Внутренний диаметр первого фланца	D	24	мм
Наружный диаметр первого фланца (крышки)	A	135	мм
Толщина тарелки первого фланца (крышки)	t (t <sub>fl</sub> )	22	мм
Толщина втулки первого фланца в месте присоединения к обечайке	S <sub>0</sub>	4.5	мм
Толщина втулки первого фланца в месте присоединения к тарелке	S <sub>1</sub>	14	мм
Высота конической части первой втулки	h	28	мм
Длина цилиндрической части втулки первого фланца	h <sub>цпл</sub>	8	мм
Прибавка на коррозию для первого фланца (крышки)	c	0	мм
Допускаемое напряжение для материала первого фланца при температуре 20 С	S <sub>fa</sub>	147	МПа
Допускаемое напряжение для материала первого фланца при расчётной температуре	S <sub>fb</sub>	119	МПа
Допускаемое напряжение для материала первой обечайки (трубы) при температуре 20 С	S <sub>na</sub>	147	МПа
Допускаемое напряжение для материала первой обечайки (трубы) при расчётной температуре	S <sub>nb</sub>	119	МПа

Инв. № подл.	Подп. и дата	Взам. инв.	Инв. №	Подп. и дата	Наружный диаметр прокладки	$D_{\text{нп}}$	30	мм																																																																																																																																																																																																																																																																																																																																																																																																																																																																																																																																																														
					Ширина прокладки	N	8	мм																																																																																																																																																																																																																																																																																																																																																																																																																																																																																																																																																														
					Минимальное удельное давление смятия прокладки	q	69	МПа																																																																																																																																																																																																																																																																																																																																																																																																																																																																																																																																																														
					Прокладочный коэффициент	m	3																																																																																																																																																																																																																																																																																																																																																																																																																																																																																																																																																															
					Диаметр окружности расположения болтов (шпилек)	C	100	мм																																																																																																																																																																																																																																																																																																																																																																																																																																																																																																																																																														
					Диаметр болта(шпильки)	d	16	мм																																																																																																																																																																																																																																																																																																																																																																																																																																																																																																																																																														
					Площадь сечения болта(шпильки) по наименьшему диаметру	$f_b$	144	мм <sup>2</sup>																																																																																																																																																																																																																																																																																																																																																																																																																																																																																																																																																														
					Количество болтов(шпилек)	$n_b$	4																																																																																																																																																																																																																																																																																																																																																																																																																																																																																																																																																															
					Температура первого фланца (крышки)	$T_{\text{fl}}$	300	С																																																																																																																																																																																																																																																																																																																																																																																																																																																																																																																																																														
					Внутренний диаметр первого фланца	D	24	мм																																																																																																																																																																																																																																																																																																																																																																																																																																																																																																																																																														
					Наружный диаметр первого фланца (крышки)	A	135	мм																																																																																																																																																																																																																																																																																																																																																																																																																																																																																																																																																														
					Толщина тарелки первого фланца (крышки)	t ( $t_{\text{fl}}$ )	22	мм																																																																																																																																																																																																																																																																																																																																																																																																																																																																																																																																																														
					Толщина втулки первого фланца в месте присоединения к обечайке	$S_0$	4.5	мм																																																																																																																																																																																																																																																																																																																																																																																																																																																																																																																																																														
					Толщина втулки первого фланца в месте присоединения к тарелке	$S_1$	14	мм																																																																																																																																																																																																																																																																																																																																																																																																																																																																																																																																																														
					Высота конической части первой втулки	h	28	мм																																																																																																																																																																																																																																																																																																																																																																																																																																																																																																																																																														
					Длина цилиндрической части втулки первого фланца	$h_{\text{цил}}$	8	мм																																																																																																																																																																																																																																																																																																																																																																																																																																																																																																																																																														
					Прибавка на коррозию для первого фланца (крышки)	c	0	мм																																																																																																																																																																																																																																																																																																																																																																																																																																																																																																																																																														
					Допускаемое напряжение для материала первого фланца при температуре 20 С	$S_{\text{fa}}$	147	МПа																																																																																																																																																																																																																																																																																																																																																																																																																																																																																																																																																														
					Допускаемое напряжение для материала первого фланца при расчётной температуре	$S_{\text{fb}}$	119	МПа																																																																																																																																																																																																																																																																																																																																																																																																																																																																																																																																																														
					Допускаемое напряжение для материала первой обечайки (трубы) при температуре 20 С	$S_{\text{na}}$	147	МПа																																																																																																																																																																																																																																																																																																																																																																																																																																																																																																																																																														
					Допускаемое напряжение для материала первой обечайки (трубы) при расчётной температуре	$S_{\text{nb}}$	119	МПа																																																																																																																																																																																																																																																																																																																																																																																																																																																																																																																																																														
					Инв. № подл.																																																																																																																																																																																																																																																																																																																																																																																																																																																																																																																																																																	

Прибавка на коррозию для второго фланца (крышки)	c	3	мм
Допускаемое напряжение для материала второго фланца при температуре 20 С	$S_{fa}$	147	МПа
Допускаемое напряжение для материала второго фланца при расчётной температуре	$S_{fb}$	119	МПа
Допускаемое напряжение для материала второй обечайки при температуре 20 С	$S_{na}$	147	МПа
Допускаемое напряжение для материала второй обечайки (трубы) при расчётной температуре	$S_{nb}$	119	МПа

### Результаты расчёта

#### Параметры прокладки и крепежа

Эффективная ширина прокладки:	$b = \begin{cases} N/2 & \text{— при } N \leq 12.7 \text{ мм} \\ 1.782\sqrt{N} & \text{— при } N > 12.7 \text{ мм} \end{cases}$	4 мм
Средний диаметр прокладки	$G = D_{\text{нн}} - 2b =$	50 мм
Расчётная площадь поперечного сечения болтов (шпилек)	$A_b = n_b f_b =$	576 мм <sup>2</sup>
Расстояние от места приложения силы реакции прокладки до болтовой окружности	$h_G = \frac{C - G}{2} =$	25 мм

#### Определение усилий в болтах (шпильках) и проверка их прочности

Минимальное усилие, необходимое для смятия прокладки	$W_{\text{м2}} = \pi b G q =$	4.335e+04 Н
Общее гидростатическое усилие, действующее на фланец	$H = 0.785 G^2  P  =$	8851 Н
Общая сжимающая нагрузка на контактную поверхность соединения	$H_p = 2b \pi G m P =$	1.7e+04 Н
Нагрузка на болты (шпильки) в рабочих условиях	$W_{\text{м1}} = H + H_p =$	2.585e+04 Н
Минимальная необходимая площадь сечения болтов (шпилек)	$A_{\text{ж}} = \text{Max} \left\{ \frac{W_{\text{м1}}}{S_b}, \frac{W_{\text{м2}}}{S_a} \right\} = 271$	$< A_b = 576 \text{ мм}^2$
Расчётное усилие в болтах (шпильках) при затяжке	$W = \frac{A_{\text{ж}} + A_b}{2} S_a =$	6.776e+04 Н

#### Расчёт на прочность первого фланца ( $H=H_i, H_p=H_{p1}$ )

Расчётный внутренний диаметр фланца после снятия прибавки на коррозию	$B = D + 2c =$	24 мм
Толщина втулки первого фланца в месте присоединения к обечайке, после снятия прибавки на коррозию	$g_0 = S_0 - c =$	4.5 мм
Толщина втулки первого фланца в месте присоединения к тарелке, после снятия прибавки на коррозию	$g_1 = S_1 - c =$	14 мм
Плечи действия сил:		
Расстояние от окружности расположения болтов до точки пересечения втулки и основания фланца	$R = \frac{(C - B)}{2} - g_1 =$	24 мм

Подп. и дата	<p>Общая сжимающая нагрузка на контактную поверхность со-единения</p> $H_p = 2b\pi GmP = 1.7e+04 \text{ Н}$ <p>Нагрузка на болты (шпильки) в рабочих условиях</p> $W_{м1} = H + H_p = 2.585e+04 \text{ Н}$ <p>Минимальная необходимая площадь сечения болтов (шпилек)</p> $A_{м} = Max\left\{\frac{W_{м1}}{S_{б}}; \frac{W_{м2}}{S_{а}}\right\} = 271 < A_{б} = 576 \text{ мм}^2$ <p>Расчётное усилие в болтах (шпильках) при затяжке</p> $W = \frac{A_{м} + A_{б}}{2} S_{а} = 6.776e+04 \text{ Н}$						
Инв. №							
Взам. инв.	<p><u>Расчёт на прочность первого фланца (H=H<sub>л</sub> H<sub>в</sub>=H<sub>р1</sub>)</u></p> <p>Расчётный внутренний диаметр фланца после снятия прибав-ки на коррозию</p> $B = D + 2c = 24 \text{ мм}$ <p>Толщина втулки первого фланца в месте присоединения к обечайке, после снятия прибавки на коррозию</p> $g_0 = S_0 - c = 4.5 \text{ мм}$ <p>Толщина втулки первого фланца в месте присоединения к тарелке, после снятия прибавки на коррозию</p> $g_1 = S_1 - c = 14 \text{ мм}$						
Подп. и дата	<p>Плечи действия сил:</p> <p>Расстояние от окружности расположения болтов до точки пе-ресечения втулки и основания фланца</p> $R = \frac{(C - B)}{2} - g_1 = 24 \text{ мм}$						
Инв. № подл.							
	3	Изм.	б / н	Редикульцев	06.18	20/30КУ-3N-2470.00.00.000 PP	Лист
	2	Изм.	б / н	Редикульцев	06.18		171
	Изм.	Лист	№ док.	Подпись	Дата		

$$h_D = R + \frac{g_1}{2} = 31 \text{ mm}$$
$$h_T = \frac{R + g_1 + h_G}{2} = 31.5 \text{ mm}$$

$K = \frac{A}{B} =$	5.625	$h_0 = \sqrt{Bg_0} =$	10.39	mm
$Y =$	1.102	$T =$	0.8072	
$U =$	1.211	$Z =$	1.065	
$F =$	0.5582	$V =$	0.04245	
$f =$	1	$L = \frac{(Ft/h_0 + 1)}{T} + \frac{Vt^3}{Uh_0g_0^2} =$	4.477	

Гидростатическое усилие внутри фланца	$H_D = 0.785B^2 P  = 2039$	Н
Разница между общим гидростатическим усилием и гидростатическим усилием внутри фланца	$H_T = H - H_D = 6812$	Н
Усилие на прокладке в рабочих условиях	$H_G = W_{м1} - H = 1.7e+04$	Н
Составляющая момента от гидростатического усилия внутри фланца	$M_D = H_D h_D = 6.322e+04$	Н мм
Составляющая момента от разницы между общим гидростатическим усилием и гидростатическим усилием внутри фланца	$M_T = H_T h_T = 2.146e+05$	Н мм
Составляющая момента от усилия на прокладке в рабочих условиях	$M_G = H_G h_G = 4.251e+05$	Н мм

- в рабочих условиях:	$M_0 = M_D + M_T + M_G =$	7.028e+05	Н мм
- при затяжке	$M_0 = Wh_G =$	1.694e+06	Н мм

$$B_1 = \begin{cases} B & \text{при } B \geq 20S_1 \\ B + g_0 & \text{при } B < 20g_1 \text{ и } f > 1 \\ B + g_1 & \text{при } B < 20g_1 \text{ и } f = 1 \end{cases} = 38 \text{ мм}$$

- в рабочих условиях:

Продольное напряже-  
ние во втулке фланца

$$S_H = \frac{fM_0}{Lg_1^2 B_1} = 21.08 < 1.5S_{\text{ср}} = 178.5 \text{ МПа}$$

Радиальное напряжение  
во фланце

$$S_R = \frac{(1.33tF/h_0 + 1)M_0}{Lt^2B} = 34.76$$

$S_R = 119 \text{ МПа}$

Окружное напряжение  
во фланце

$$S_r = \frac{Y M_0}{t^2 B} - Z S_R = 29.65 < S_{\text{доп}} = 119 \text{ МПа}$$

3	Изм.	б / н	Редикульцев	06.18	<b>20/30КУ-3N-2470.00.00.000 PP</b>	Лист
2	Изм.	б / н	Редикульцев	06.18		172
Изм.	Лист	№ док.	Подпись	Дата		



*Усилия и моменты, действующие на фланец*

Гидростатическое усилие внутри фланца	$H_D = 0.785B^2 P  = 3186$	Н
Разница между общим гидростатическим усилием и гидростатическим усилием внутри фланца	$H_T = H - H_D = 5665$	Н
Усилие на прокладке в рабочих условиях	$H_G = W_{м1} - H = 1.7e+04$	Н
Составляющая момента от гидростатического усилия внутри фланца	$M_D = H_D h_D = 9.4e+04$	Н мм
Составляющая момента от разницы между общим гидростатическим усилием и гидростатическим усилием внутри фланца	$M_T = H_T h_T = 1.699e+05$	Н мм
Составляющая момента от усилия на прокладке в рабочих условиях	$M_G = H_G h_G = 4.251e+05$	Н мм

*Суммарный момент, действующий на фланец*

- в рабочих условиях:	$M_0 = M_D + M_T + M_G = 6.89e+05$	Н мм
- при затяжке	$M_0 = Wh_G = 1.694e+06$	Н мм

Приведенный внутренний диаметр фланца при определении продольных напряжений во втулке	$B_1 = \begin{cases} B & \text{при } B \geq 20S_1 \\ B + g_0 & \text{при } B < 20g_1 \text{ и } f > 1 \\ B + g_1 & \text{при } B < 20g_1 \text{ и } f = 1 \end{cases} = 41$	мм
---	---	----

*Напряжения в расчётных сечениях фланца*

*- в рабочих условиях:*

Продольное напряжение во втулке фланца	$S_H = \frac{fM_0}{Lg_1^2 B_1} = 27.59$	<	$1.5S_{\text{ф}} = 178.5 \text{ МПа}$
--	---	---	---------------------------------------

Радиальное напряжение во фланце	$S_R = \frac{(1.33tF/h_0 + 1)M_0}{Lt^2 B} = 24.81$	<	$S_{\text{ф}} = 119 \text{ МПа}$
---------------------------------	--	---	----------------------------------

Окружное напряжение во фланце	$S_T = \frac{YM_0}{t^2 B} - ZS_R = 34.93$	<	$S_{\text{ф}} = 119 \text{ МПа}$
-------------------------------	---	---	----------------------------------

Полусумма продольного и радиального напряжений во фланце	$\frac{S_H + S_R}{2} = 26.2$	<	$S_{\text{ф}} = 119 \text{ МПа}$
--	------------------------------	---	----------------------------------

Полусумма продольного и окружного напряжений во фланце	$\frac{S_H + S_T}{2} = 31.26$	<	$S_{\text{ф}} = 119 \text{ МПа}$
--	-------------------------------	---	----------------------------------

*- при затяжке:*

Продольное напряжение во втулке фланца	$S_H = \frac{fM_0}{Lg_1^2 B_1} = 67.82$	<	$1.5S_{\text{ф2}} = 220.5 \text{ МПа}$
--	---	---	--

Радиальное напряжение во фланце	$S_R = \frac{(1.33tF/h_0 + 1)M_0}{Lt^2 B} = 61$	<	$S_{\text{ф2}} = 147 \text{ МПа}$
---------------------------------	---	---	-----------------------------------

Окружное напряжение во фланце	$S_T = \frac{YM_0}{t^2 B} - ZS_R = 85.88$	<	$S_{\text{ф2}} = 147 \text{ МПа}$
-------------------------------	---	---	-----------------------------------

Подп. и дата																																																																																																																																																																																																																																																																																																																																																																																																																																																																																																																																																																																																																																																																																																																																																																						
--------------	--	--	--	--	--	--	--	--	--	--	--	--	--	--	--	--	--	--	--	--	--	--	--	--	--	--	--	--	--	--	--	--	--	--	--	--	--	--	--	--	--	--	--	--	--	--	--	--	--	--	--	--	--	--	--	--	--	--	--	--	--	--	--	--	--	--	--	--	--	--	--	--	--	--	--	--	--	--	--	--	--	--	--	--	--	--	--	--	--	--	--	--	--	--	--	--	--	--	--	--	--	--	--	--	--	--	--	--	--	--	--	--	--	--	--	--	--	--	--	--	--	--	--	--	--	--	--	--	--	--	--	--	--	--	--	--	--	--	--	--	--	--	--	--	--	--	--	--	--	--	--	--	--	--	--	--	--	--	--	--	--	--	--	--	--	--	--	--	--	--	--	--	--	--	--	--	--	--	--	--	--	--	--	--	--	--	--	--	--	--	--	--	--	--	--	--	--	--	--	--	--	--	--	--	--	--	--	--	--	--	--	--	--	--	--	--	--	--	--	--	--	--	--	--	--	--	--	--	--	--	--	--	--	--	--	--	--	--	--	--	--	--	--	--	--	--	--	--	--	--	--	--	--	--	--	--	--	--	--	--	--	--	--	--	--	--	--	--	--	--	--	--	--	--	--	--	--	--	--	--	--	--	--	--	--	--	--	--	--	--	--	--	--	--	--	--	--	--	--	--	--	--	--	--	--	--	--	--	--	--	--	--	--	--	--	--	--	--	--	--	--	--	--	--	--	--	--	--	--	--	--	--	--	--	--	--	--	--	--	--	--	--	--	--	--	--	--	--	--	--	--	--	--	--	--	--	--	--	--	--	--	--	--	--	--	--	--	--	--	--	--	--	--	--	--	--	--	--	--	--	--	--	--	--	--	--	--	--	--	--	--	--	--	--	--	--	--	--	--	--	--	--	--	--	--	--	--	--	--	--	--	--	--	--	--	--	--	--	--	--	--	--	--	--	--	--	--	--	--	--	--	--	--	--	--	--	--	--	--	--	--	--	--	--	--	--	--	--	--	--	--	--	--	--	--	--	--	--	--	--	--	--	--	--	--	--	--	--	--	--	--	--	--	--	--	--	--	--	--	--	--	--	--	--	--	--	--	--	--	--	--	--	--	--	--	--	--	--	--	--	--	--	--	--	--	--	--	--	--	--	--	--	--	--	--	--	--	--	--	--	--	--	--	--	--	--	--	--	--	--	--	--	--	--	--	--	--	--	--	--	--	--	--	--	--	--	--	--	--	--	--	--	--	--	--	--	--	--	--	--	--	--	--	--	--	--	--	--	--	--	--	--	--	--	--	--	--	--	--	--	--	--	--	--	--	--	--	--	--	--	--	--	--	--	--	--	--	--	--	--	--	--	--	--	--	--	--	--	--	--	--	--	--	--	--	--	--	--	--	--	--	--	--	--	--	--	--	--	--	--	--	--	--	--	--	--	--	--	--	--	--	--	--	--	--	--	--	--	--	--	--	--	--	--	--	--	--	--	--	--	--	--	--	--	--	--	--	--	--	--	--	--	--	--	--	--	--	--	--	--	--	--	--	--	--	--	--	--	--	--	--	--	--	--	--	--	--	--	--	--	--	--	--	--	--	--	--	--	--	--	--	--	--	--	--	--	--	--	--	--	--	--	--	--	--	--	--	--	--	--	--	--	--	--	--	--	--	--	--	--	--	--

$$\begin{array}{llll} \frac{S_H + S_R}{2} = & 64.41 & < & S_{j2} = 147 \text{ MПа} \\ \frac{S_H + S_T}{2} = & 76.85 & < & S_{j2} = 147 \text{ MПа} \end{array}$$

Условия прочности и герметичности фланцевого соединения выполняются.

Инв. № подл.	Подп. и дата	Взам. инв.	Инв. №	Подп. и дата
3	Изм.	б / н	Редикульцев	06.18
2	Изм.	б / н	Редикульцев	06.18
Изм.	Лист	№ док.	Подпись	Дата
<b>20/30КУ-3N-2470.00.00.000 PP</b>				
Лист 175				

### 3.18. Штуцер D DN50

Расчёт на прочность по ГОСТ Р 52857.3-2007

Расчёт выполнен с помощью пакета прикладных программ расчёта на прочность элементов сосудов, аппаратов и трубопроводов PVP Design (Свидетельство о государственной регистрации 2008614973)

Элемент: Укрепление отверстий в обечайках и днищах.

Внутреннее давление.

Отверстие в цилиндрической обечайке.

Расчёт укрепления одиночного отверстия.

Укрепление непропущенным (непроходящим) штуцером.

Штуцер с осью нормальной к корпусу сосуда.

Расчёт с учетом внешних нагрузок методом конечных элементов.

Внешние нагрузки определялись без учета стесненности температурных деформаций.

Внешние нагрузки приложены в месте пересечения оси штуцера

с образующей обечайки или днища.

Режим: Рабочий.

#### Исходные данные

Материал корпуса	20КА, Лист		
Материал штуцера	20КА, Поковка		
Расчётная температура	$T$	300	°C
Расчётное давление	$P$	4.51	МПа
Внутренний диаметр обечайки, днища или конического перехода, в месте расположения отверстия	$D$	1000	мм
Исполнительная толщина стенки обечайки, конического перехода или днища	$s$	26	мм
Коэффициент прочности сварных соединений обечаек и днищ	$\varphi$	1	
Допускаемое напряжение для материала обечайки, перехода или днища при расчётной температуре	$[\sigma]$	119	МПа
Внутренний диаметр штуцера	$d$	46	мм
Исполнительная толщина стенки штуцера	$s_1$	20	мм
Исполнительная длина штуцера (для заведомо длинных штуцеров $l_1=0$ )	$l_1$	182	мм
Допускаемое напряжение для материала штуцера	$[\sigma]_1$	119	МПа
Коэффициент прочности продольного сварного шва штуцера	$\varphi_1$	1	
Расстояние от наружной поверхности штуцера до ближайшего несущего конструктивного элемента (или $L_k=0$ )	$L_k$	167	мм
Размер сварного шва приварки штуцера (по образующей обечайки)	$\alpha$	0	мм
Размер сварного шва приварки штуцера (по образующей штуцера)	$b$	0	мм
Вылет штуцера	$L_t$	249	мм
Осевая нагрузка на штуцер	$F_z$	1700	Н
Изгибающий момент вокруг оси X действующий на штуцер	$M_x$	3.5e+05	Н*мм
Изгибающий момент вокруг оси Y действующий на штуцер	$M_y$	5e+05	Н*мм
Изгибающий момент вокруг оси Z действующий на штуцер	$M_z$	6e+05	Н*мм
Перерезывающая сила вдоль оси X действующая на штуцер	$F_x$	1250	Н
Перерезывающая сила вдоль оси Y действующая на штуцер	$F_y$	1250	Н

Подп. и дата		Исполнительная толщина стенки обечайки, конического перехода или днища	$s$	26	мм			
		Коэффициент прочности сварных соединений обечаек и днищ	$\varphi$	1				
		Допускаемое напряжение для материала обечайки, перехода или днища при расчётной температуре	$[\sigma]$	119	МПа			
		Внутренний диаметр штуцера	$d$	46	мм			
		Исполнительная толщина стенки штуцера	$s_1$	20	мм			
Инв. №		Исполнительная длина штуцера (для заведомо длинных штуцеров $l_1=0$ )	$l_1$	182	мм			
		Допускаемое напряжение для материала штуцера	$[\sigma]_1$	119	МПа			
		Коэффициент прочности продольного сварного шва штуцера	$\varphi_1$	1				
		Расстояние от наружной поверхности штуцера до ближайшего несущего конструктивного элемента (или $L_k=0$ )	$L_k$	167	мм			
Взам. инв.		Размер сварного шва приварки штуцера (по образующей обечайки)	$a$	0	мм			
		Размер сварного шва приварки штуцера (по образующей штуцера)	$b$	0	мм			
		Вылет штуцера	$L_f$	249	мм			
		Осевая нагрузка на штуцер	$F_z$	1700	Н			
		Изгибающий момент вокруг оси X действующий на штуцер	$M_x$	3.5e+05	Н*мм			
Подп. и дата		Изгибающий момент вокруг оси Y действующий на штуцер	$M_y$	5e+05	Н*мм			
		Изгибающий момент вокруг оси Z действующий на штуцер	$M_z$	6e+05	Н*мм			
		Перерезывающая сила вдоль оси X действующая на штуцер	$F_x$	1250	Н			
		Перерезывающая сила вдоль оси Y действующая на штуцер	$F_y$	1250	Н			
Инв. № подл.		3	Изм.	б / н	Редикольцев	06.18	20/30КУ-3N-2470.00.00.000 PP	Лист
		2	Изм.	б / н	Редикольцев	06.18		176
		Изм.	Лист	№ док.	Подпись	Дата		



Модуль продольной упругости материала обечайки	$E$	1.71e+05 МПа
Коэффициент Пуассона обечайки	$\mu$	0.3
Модуль продольной упругости материала штуцера	$E_1$	1.71e+05 МПа
Коэффициент Пуассона штуцера	$\mu_1$	0.3
Прибавка для компенсации коррозии и эрозии стенки корпуса	$c_1$	3 мм
Прибавка для компенсации минусового допуска стенки корпуса	$c_2$	0.9 мм
Прибавка технологическая стенки корпуса	$c_3$	0 мм
Прибавка для компенсации коррозии и эрозии стенки штуцера	$c_{,1}$	3 мм
Прибавка для компенсации минусового допуска стенки штуцера	$c_{,2}$	0 мм
Прибавка технологическая стенки штуцера	$c_{,3}$	0 мм
Сумма прибавок к расчётной толщине стенки корпуса	$c$	3.9 мм
Сумма прибавок к расчётной толщине стенки штуцера	$c_s$	3 мм

### Результаты расчёта

Расчётный внутренний диаметр цилиндрической обечайки

$$D_p = D = 1000 \text{ мм}$$

Расчётная толщина стенки корпуса

$$s_p = \frac{pD}{2[\sigma]\varphi_p - p} = 19.32 \text{ мм}$$

Расчётный диаметр отверстия

$$d_p = d + 2c_s = 52 \text{ мм}$$

Расчётная толщина стенки штуцера

$$s_{1p} = \frac{p(d + 2c_s)}{2[\sigma]_1\varphi_1 - p} = 1.004 \text{ мм}$$

Расчётная длина штуцера

$$l_{1p} = \min \{l_1; 1.25\sqrt{(d + 2c_s)(s_1 - c_s)}\} = 37.17 \text{ мм}$$

Отношение допускаемых напряжений штуцера и корпуса

$$\chi_1 = \min \left\{ 1, 0, \frac{[\sigma]_1}{[\sigma]} \right\} = 1$$

Ширина зоны укрепления, прилегающей к штуцеру

$$L_0 = \sqrt{D_p(s - c)} = 148.7 \text{ мм}$$

Расчётная ширина зоны укрепления, прилегающей к штуцеру

$$l_p = 148.7 \text{ мм}$$

Расчётный диаметр неукрепляемого отверстия

$$d_{оп} = 0.4\sqrt{D_p(s - c)} = 59.46 \text{ мм}$$

Коэффициент понижения прочности узла врезки штуцера

$$V = \min \left\{ 1, \frac{1 + \frac{l_{1p}(s_1 - c_s)}{l_p} \chi_1 + l_{2p}s_2 \chi_2 + l_{3p}(s_3 - c_s - c_{,1}) \chi_3}{l_p(s - c)} \right\} = 1$$

$$1 + 0.5 \frac{d_p - d_{оп}}{l_p} + K_1 \frac{d + 2c_s}{D_p} \frac{\varphi l_{1p}}{\varphi_1 l_p}$$

Подп. и дата		Инв. №		Взам. инв.		Подп. и дата		Инв. № подл.	
3	Изм.	б / н	Редикульцев	06.18	20/30КУ-3N-2470.00.00.000 PP				Лист
2	Изм.	б / н	Редикульцев	06.18					177
Изм.	Лист	№ док.	Подпись	Дата					

Допускаемое давление для узла врезки штуцера

$$[p] = \frac{2K_1(s-c)\varphi[\sigma]}{D_p + (s-c)V} V = 5.146 \text{ МПа}$$

где

$$K_1 = 1$$

Приведенное суммарное напряжение в зоне обечайки

$$\sigma_{p-o} = 139.6 < 3[\sigma] = 357 \text{ МПа}$$

Приведенное мембранное напряжение в зоне обечайки

$$\sigma_{pm-o} = 129.6 < 1.5[\sigma] = 178.5 \text{ МПа}$$

Приведенное суммарное напряжение в зоне штуцера

$$\sigma_{p-шт} = 154.4 < 3[\sigma] = 357 \text{ МПа}$$

Приведенное мембранное напряжение в зоне штуцера

$$\sigma_{pm-шт} = 134 < 1.5[\sigma] = 178.5 \text{ МПа}$$

Приведенное суммарное напряжение на внутренней поверхности обечайки, перехода или днища

$$\sigma_{p-en-o} = 173.9 < 3[\sigma] = 357 \text{ МПа}$$

Приведенное суммарное напряжение на внутренней поверхности штуцера

$$\sigma_{p-en-шт} = 298.5 < 3[\sigma] = 357 \text{ МПа}$$

Узел врезки отвечает условиям прочности в соответствии с требованиями ГОСТ Р 52857.3-2007.

Инв. № подл.	Подп. и дата	Взам. инв.	Инв. №	Подп. и дата
3	Изм.	б / н	Редикульцев	06.18
2	Изм.	б / н	Редикульцев	06.18
Изм.	Лист	№ док.	Подпись	Дата
20/30КУ-3N-2470.00.00.000 PP				
Лист				
178				

### 3.19. Фланцы штуцеров D DN50 PN63

## Расчёт на прочность и плотность по ASME Boiler and Pressure Vessel Code

*Расчёт выполнен с помощью пакета прикладных программ расчёта на прочность элементов сосудов, аппаратов и трубопроводов PVP Design (Свидетельство о государственной регистрации 2008614973)*

Фланцевое соединение двух отличающихся друг от друга фланцев.

Спирально-навитая прокладка.

Допускаемые напряжения для материалов фланцев принимаются по ГОСТ Р 52857.1-2007.

Специальный расчёт с учетом внешней силы и изгибающего момента.

Режим: Рабочий.

### *Исходные данные*

Материал фланца	20КА, Поковка
Материал обечайки	20КА, Поковка
Материал второго фланца	20КА, Поковка
Материал второй обечайки	20КА, Труба
Материал болтов	35Х, Diam = 2-М20
Материал прокладки	Спирально-навитая с лентой из нержавеющей стали

Расчётное давление	P (P <sub>1</sub> )	4.51	МПа
Внешний изгибающий момент, действующий на фланец	M	6.877e+05	Н мм
Внешняя осевая сила, действующая на фланец	F	1700	Н
Допускаемое напряжение для материала болтов (шпилек) при температуре 20С	S <sub>a</sub>	160	МПа
Допускаемое напряжение для материала болтов (шпилек) при расчётной температуре	S <sub>b</sub>	160	МПа
Наружный диаметр прокладки	D <sub>нп</sub>	88	мм
Ширина прокладки	N	8	мм
Минимальное удельное давление смятия прокладки	q	69	МПа
Прокладочный коэффициент	m	3	
Диаметр окружности расположения болтов (шпилек)	C	135	мм
Диаметр болта(шпильки)	d	20	мм
Площадь сечения болта(шпильки) по наименьшему диаметру	f <sub>b</sub>	225	мм <sup>2</sup>
Количество болтов(шпилек)	n <sub>b</sub>	4	
Температура первого фланца (крышки)	T <sub>fl</sub>	300	С
Внутренний диаметр первого фланца	D	46	мм
Наружный диаметр первого фланца (крышки)	A	175	мм
Толщина тарелки первого фланца (крышки)	t (t <sub>fl</sub> )	26	мм
Толщина втулки первого фланца в месте присоединения к обечайке	S <sub>0</sub>	20	мм
Толщина втулки первого фланца в месте присоединения к тарелке	S <sub>1</sub>	20	мм
Высота конической части первой втулки	h	34	мм
Длина цилиндрической части втулки первого фланца	h <sub>цил</sub>	10	мм
Прибавка на коррозию для первого фланца (крышки)	c	3	мм
Допускаемое напряжение для материала первого фланца при температуре 20 С	S <sub>fa</sub>	147	МПа
Допускаемое напряжение для материала первого фланца при расчётной температуре	S <sub>fb</sub>	119	МПа
Допускаемое напряжение для материала первой обечайки (трубы) при температуре 20 С	S <sub>na</sub>	147	МПа

Инв. № подл.	Подп. и дата	Взам. инв.	Инв. №	Подп. и дата	Допускаемое напряжение для материала болтов (шпилек)	$S_b$	160	МПа								
					при расчётной температуре											
					Наружный диаметр прокладки	$D_{нп}$	88	мм								
					Ширина прокладки	$N$	8	мм								
					Минимальное удельное давление смятия прокладки	$q$	69	МПа								
					Прокладочный коэффициент	$m$	3									
					Диаметр окружности расположения болтов (шпилек)	$C$	135	мм								
					Диаметр болта(шпильки)	$d$	20	мм								
					Площадь сечения болта(шпильки) по наименьшему диаметру	$f_b$	225	мм <sup>2</sup>								
					Количество болтов(шпилек)	$n_b$	4									
					Температура первого фланца (крышки)	$T_{фл}$	300	С								
					Внутренний диаметр первого фланца	$D$	46	мм								
					Наружный диаметр первого фланца (крышки)	$A$	175	мм								
					Толщина тарелки первого фланца (крышки)	$t (t_{fl})$	26	мм								
					Толщина втулки первого фланца в месте присоединения к обечайке	$S_0$	20	мм								
					Толщина втулки первого фланца в месте присоединения к тарелке	$S_1$	20	мм								
					Высота конической части первой втулки	$h$	34	мм								
					Длина цилиндрической части втулки первого фланца	$h_{цил}$	10	мм								
					Прибавка на коррозию для первого фланца (крышки)	$c$	3	мм								
					Допускаемое напряжение для материала первого фланца при температуре 20 С	$S_{fa}$	147	МПа								
					Допускаемое напряжение для материала первого фланца при расчётной температуре	$S_{fb}$	119	МПа								
					Допускаемое напряжение для материала первой обечайки (трубы) при температуре 20 С	$S_{na}$	147	МПа								
Инв. № подл.									3	Изм.	б / н	Редикульцев	06.18	20/30КУ-3N-2470.00.00.000 PP	Лист	
									2	Изм.	б / н	Редикульцев	06.18			179
									Изм.	Лист	№ док.	Подпись	Дата			

Допускаемое напряжение для материала первой обечайки (трубы) при расчётной температуре	$S_{nb}$	119	МПа
Внутренний диаметр второго фланца	$D$	47	мм
Наружный диаметр второго фланца (крышки)	$A$	175	мм
Толщина тарелки второго фланца (крышки)	$t(t_{f2})$	26	мм
Толщина втулки второго фланца в месте присоединения к обечайке	$S_0$	5.5	мм
Толщина втулки второго фланца в месте присоединения к тарелке	$S_1$	19.5	мм
Высота конической части второй втулки	$h$	34	мм
Длина цилиндрической части втулки второго фланца	$h_{цпл}$	10	мм
Прибавка на коррозию для второго фланца (крышки)	$c$	3	мм
Допускаемое напряжение для материала второго фланца при температуре 20 С	$S_{fa}$	147	МПа
Допускаемое напряжение для материала второго фланца при расчётной температуре	$S_{fb}$	119	МПа
Допускаемое напряжение для материала второй обечайки при температуре 20 С	$S_{na}$	147	МПа
Допускаемое напряжение для материала второй обечайки (трубы) при расчётной температуре	$S_{nb}$	119	МПа

### Результаты расчёта

#### Параметры прокладки и крепежа

Эффективная ширина прокладки:	$b = \begin{cases} N/2 & - \text{при } N \leq 12.7 \text{ мм} \\ 1.782\sqrt{N} & - \text{при } N > 12.7 \text{ мм} \end{cases}$	4 мм
Средний диаметр прокладки	$G = D_{\text{нн}} - 2b =$	80 мм
Расчётная площадь поперечного сечения болтов (шпилек)	$A_b = n_b f_b =$	900 мм <sup>2</sup>
Расстояние от места приложения силы реакции прокладки до болтовой окружности	$h_G = \frac{C - G}{2} =$	27.5 мм

#### Определение усилий в болтах (шпильках) и проверка их прочности

Дополнительное расчётное усилие на болты (шпильки) фланцевого соединения, вызванное воздействием внешней осевой силы и изгибающего момента	$Q_{FM} = \text{Max} \left\{ F + \frac{4 M }{G}; 0 \right\} =$	3.608e+04 Н
Минимальное усилие, необходимое для смятия прокладки	$W_{\text{м2}} = \pi b G q =$	6.937e+04 Н
Общее гидростатическое усилие, действующее на фланец	$H = 0.785 G^2  P  =$	2.266e+04 Н
Общая сжимающая нагрузка на контактную поверхность соединения	$H_p = 2b \pi G m P =$	2.72e+04 Н
Нагрузка на болты (шпильки) в рабочих условиях	$W_{\text{м1}} = H + H_p + Q_{FM} =$	8.594e+04 Н
Минимальная необходимая площадь сечения болтов (шпилек)	$A_{\text{ж}} = \text{Max} \left\{ \frac{W_{\text{м1}}}{S_b}; \frac{W_{\text{м2}}}{S_a} \right\} =$	537.2 < $A_b = 900 \text{ мм}^2$
Расчётное усилие в болтах (шпильках) при затяжке	$W = \frac{A_{\text{ж}} + A_b}{2} S_a =$	1.15e+05 Н

Подп. и дата	Расстояние от места приложения силы реакции прокладки до болтовой окружности					$h_G = \frac{C - G}{2} =$	27.5 мм	
Инв. №	<u>Определение усилий в болтах (шпильках) и проверка их прочности</u>							
Взам. инв.	Дополнительное расчётное усилие на болты (шпильки) фланцевого соединения, вызванное воздействием внешней осевой силы и изгибающего момента					$Q_{FM} = \text{Max} \left\{ F + \frac{4 M }{G}; 0 \right\} = 3.608\text{e}+04 \text{ Н}$		
	Минимальное усилие, необходимое для смятия прокладки					$W_{m2} = \pi b G q =$	6.937e+04 Н	
	Общее гидростатическое усилие, действующее на фланец					$H = 0.785 G^2  P  =$	2.266e+04 Н	
	Общая сжимающая нагрузка на контактную поверхность соединения					$H_p = 2b \pi G m P =$	2.72e+04 Н	
Подп. и дата	Нагрузка на болты (шпильки) в рабочих условиях					$W_{m1} = H + H_p + Q_{FM} =$	8.594e+04 Н	
	Минимальная необходимая площадь сечения болтов (шпилек)					$A_m = \text{Max} \left\{ \frac{W_{m1}}{S_b}; \frac{W_{m2}}{S_a} \right\} = 537.2$	$< A_b = 900 \text{ мм}^2$	
	Расчётное усилие в болтах (шпильках) при затяжке					$W = \frac{A_m + A_b}{2} S_a = 1.15\text{e}+05$	Н	
Инв. № подл.	3	Изм.	б / н	Редикульцев	06.18	20/30КУ-3N-2470.00.00.000 PP		Лист
	2	Изм.	б / н	Редикульцев	06.18			180
	Изм.	Лист	№ док.	Подпись	Дата			



- в рабочих условиях:

Продольное напряжение во втулке фланца	$S_H = \frac{fM_0}{Lg_1^2 B_1} =$	57.04	<	$1.5S_{\text{ф}} = 178.5 \text{ МПа}$
Радиальное напряжение во фланце	$S_R = \frac{(1.33tF / h_0 + 1)M_0}{Lt^2 B} =$	66.55	<	$S_{\text{ф}} = 119 \text{ МПа}$
Окружное напряжение во фланце	$S_T = \frac{YM_0}{t^2 B} - ZS_R =$	40.39	<	$S_{\text{ф}} = 119 \text{ МПа}$
Полусумма продольного и радиального напряжений во фланце	$\frac{S_H + S_R}{2} =$	61.79	<	$S_{\text{ф}} = 119 \text{ МПа}$
Полусумма продольного и окружного напряжений во фланце	$\frac{S_H + S_T}{2} =$	48.71	<	$S_{\text{ф}} = 119 \text{ МПа}$

- при заťažке:

Продольное напряжение во втулке фланца	$S_H = \frac{fM_0}{Lg_1^2 B_1} =$	71.91	<	$1.5S_{fz} = 220.5 \text{ МПа}$
Радиальное напряжение во фланце	$S_R = \frac{(1.33tF / h_0 + 1)M_0}{Lt^2 B} =$	83.91	<	$S_{fz} = 147 \text{ МПа}$
Окружное напряжение во фланце	$S_T = \frac{YM_0}{t^2 B} - ZS_R =$	50.93	<	$S_{fz} = 147 \text{ МПа}$
Полусумма продольного и радиального напряжений во фланце	$\frac{S_H + S_R}{2} =$	77.91	<	$S_{fz} = 147 \text{ МПа}$
Полусумма продольного и окружного напряжений во фланце	$\frac{S_H + S_T}{2} =$	61.42	<	$S_{fz} = 147 \text{ МПа}$

Расчёт на прочность второго фланца ( $H=H_2, H_p=H_{p2}$ )

Расчётный внутренний диаметр фланца после снятия прибавки на коррозию	$B = D + 2c =$	69.5	мм
Толщина втулки второго фланца в месте присоединения к обечайке, после снятия прибавки на коррозию	$g_0 = S_0 - c =$	2.5	мм
Толщина втулки второго фланца в месте присоединения к тарелке, после снятия прибавки на коррозию	$g_1 = S_1 - c =$	16.5	мм
Плечи действия сил:			
Расстояние от окружности расположения болтов до точки пересечения втулки и основания фланца	$R = \frac{(C - B)}{2} - g_1 =$	24.5	мм
Плечо действия гидростатического усилия внутри фланца	$h_D = R + \frac{g_1}{2} =$	32.75	мм
Плечо действия разницы между общим гидростатическим усилием и гидростатическим усилием внутри фланца	$h_T = \frac{R + g_1 + h_G}{2} =$	34.25	мм

Подп. и дата	напряжений во фланце					$\frac{S_H + S_T}{2} = 61.42$	<	$S_{f2} = 147 \text{ МПа}$	
Инв. №	Расчёт на прочность второго фланца (H=H <sub>2</sub> , H <sub>p</sub> =H <sub>p2</sub> )								
Взам. инв.	Расчётный внутренний диаметр фланца после снятия прибавки на коррозию					$B = D + 2c =$	69.5	мм	
	Толщина втулки второго фланца в месте присоединения к обечайке, после снятия прибавки на коррозию					$g_0 = S_0 - c =$	2.5	мм	
	Толщина втулки второго фланца в месте присоединения к тарелке, после снятия прибавки на коррозию					$g_1 = S_1 - c =$	16.5	мм	
Подп. и дата	Плечи действия сил:								
	Расстояние от окружности расположения болтов до точки пересечения втулки и основания фланца					$R = \frac{(C - B)}{2} - g_1 =$	24.5	мм	
	Плечо действия гидростатического усилия внутри фланца					$h_D = R + \frac{g_1}{2} =$	32.75	мм	
Инв. № подл.	Плечо действия разницы между общим гидростатическим усилием и гидростатическим усилием внутри фланца					$h_T = \frac{R + g_1 + h_G}{2} =$	34.25	мм	
Инв. № подл.	3	Изм.	б / н	Редикульцев	06.18	20/30КУ-3N-2470.00.00.000 PP			Лист
	2	Изм.	б / н	Редикульцев	06.18				182
	Изм.	Лист	№ док.	Подпись	Дата				

$K = \frac{A}{B} =$	3.302	$\hbar_0 = \sqrt{Bg_0} =$	11.51	MM
$Y =$	1.709	$T =$	1.138	
$U =$	1.878	$Z =$	1.202	
$F =$	0.4187	$V =$	0.008248	
$f =$	1	$L = \frac{(Ft/\hbar_0 + 1)}{T} + \frac{Vt^3}{Uh_0g_0^2} =$	2.783	

Гидростатическое усилие внутри фланца	$H_D = 0.785B^2 P  = 9945$	Н
Разница между общим гидростатическим усилием и гидростатическим усилием внутри фланца	$H_T = H - H_D = 1.271\text{e}+04$	Н
Усилие на прокладке в рабочих условиях	$H_G = W_{\text{м1}} - H = 6.329\text{e}+04$	Н
Составляющая момента от гидростатического усилия внутри фланца	$M_D = H_D h_D = 3.257\text{e}+05$	Н мм
Составляющая момента от разницы между общим гидростатическим усилием и гидростатическим усилием внутри фланца	$M_T = H_T h_T = 4.354\text{e}+05$	Н мм
Составляющая момента от усилия на прокладке в рабочих условиях	$M_G = H_G h_G = 1.74\text{e}+06$	Н мм

- в рабочих условиях:	$M_0 = M_D + M_T + M_G =$	2.502e+06	Н мм
- при затяжке	$M_0 = Wh_G =$	3.162e+06	Н мм
Приведенный внутренний диаметр фланца при определении продоль- ных напряжений во втулке	$B_1 = \begin{cases} B & \text{при } B \geq 20S_1 \\ B + g_0 & \text{при } B < 20g_1 \text{ и } f > 1 \\ B + g_1 & \text{при } B < 20g_1 \text{ и } f = 1 \end{cases}$	= 69.5	мм

Продольное напряжение во втулке фланца	$S_H = \frac{fM_0}{Lg_1^2 B_1} =$	47.5	<	$1.5S_{\text{фл}} = 178.5 \text{ МПа}$
Радиальное напряжение во фланце	$S_R = \frac{(1.33tF/h_0 + 1)M_0}{Lt^2 B} =$	56.64	<	$S_{\text{фл}} = 119 \text{ МПа}$
Окружное напряжение во фланце	$S_T = \frac{YM_0}{t^2 B} - ZS_R =$	51.23	<	$S_{\text{фл}} = 119 \text{ МПа}$
Полусумма продольного и радиального напряжений во фланце	$\frac{S_H + S_R}{2} =$	52.07	<	$S_{\text{фл}} = 119 \text{ МПа}$
Полусумма продольного и окружного напряжений во фланце	$\frac{S_H + S_T}{2} =$	49.37	<	$S_{\text{фл}} = 119 \text{ МПа}$

Подп. и дата	<p>- при затяжке <math>M_0 = Wh_G = 3.162e+06</math> Н мм</p> <p>Приведенный внутренний диаметр фланца при определении продольных напряжений во втулке <math>B_1 = \left\{ \begin{array}{l} B \text{ при } B \geq 20S_1 \\ B + g_0 \text{ при } B &lt; 20g_1 \text{ и } f &gt; 1 \\ B + g_1 \text{ при } B &lt; 20g_1 \text{ и } f = 1 \end{array} \right\} = 69.5</math> мм</p>					
Инв. №	<p><i>Напряжения в расчётных сечениях фланца - в рабочих условиях:</i></p> <p>Продольное напряжение во втулке фланца <math>S_H = \frac{fM_0}{Lg_1^2 B_1} = 47.5 &lt; 1.5S_{\text{ф}} = 178.5</math> МПа</p> <p>Радиальное напряжение во фланце <math>S_R = \frac{(1.33tF / h_0 + 1)M_0}{Lt^2 B} = 56.64 &lt; S_{\text{ф}} = 119</math> МПа</p> <p>Окружное напряжение во фланце <math>S_T = \frac{YM_0}{t^2 B} - ZS_R = 51.23 &lt; S_{\text{ф}} = 119</math> МПа</p> <p>Полусумма продольного и радиального напряжений во фланце <math>\frac{S_H + S_R}{2} = 52.07 &lt; S_{\text{ф}} = 119</math> МПа</p> <p>Полусумма продольного и окружного напряжений во фланце <math>\frac{S_H + S_T}{2} = 49.37 &lt; S_{\text{ф}} = 119</math> МПа</p>					
Взам. инв.						
Подп. и дата						
Инв. № подл.						
3	Изм.	б / н	Редикульцев	06.18	20/30КУ-3N-2470.00.00.000 PP	Лист
2	Изм.	б / н	Редикульцев	06.18		183
Изм.	Лист	№ док.	Подпись	Дата		

- при затяжке:

Продольное напряжение во втулке фланца	$S_H = \frac{fM_0}{Lg_1^2 B_1} =$	60.04	<	$1.5S_{fz} = 220.5 \text{ МПа}$
Радиальное напряжение во фланце	$S_R = \frac{(1.33tF/h_0 + 1)M_0}{Lt^2 B} =$	71.59	<	$S_{fz} = 147 \text{ МПа}$
Окружное напряжение во фланце	$S_T = \frac{YM_0}{t^2 B} - ZS_R =$	64.76	<	$S_{fz} = 147 \text{ МПа}$
Полусумма продольного и радиального напряжений во фланце	$\frac{S_H + S_R}{2} =$	65.81	<	$S_{fz} = 147 \text{ МПа}$
Полусумма продольного и окружного напряжений во фланце	$\frac{S_H + S_T}{2} =$	62.4	<	$S_{fz} = 147 \text{ МПа}$

Условия прочности и герметичности фланцевого соединения выполняются.

Инв. № подл.	Подп. и дата	Взам. инв.	Инв. №	Подп. и дата					
3	Изм.	б / н	Редикульцев	06.18	20/30КУ-3N-2470.00.00.000 PP				
2	Изм.	б / н	Редикульцев	06.18					
Изм.	Лист	№ док.	Подпись	Дата					
									Лист
									184



### 3.20. Штуцера K1, K2, K3, J DN50

Расчёт на прочность по ГОСТ Р 52857.3-2007.

Расчёт выполнен с помощью пакета прикладных программ расчёта на прочность элементов сосудов, аппаратов и трубопроводов PVP Design (Свидетельство о государственной регистрации 2008614973)

Элемент: Укрепление отверстий в обечайках и днищах.

Внутреннее давление.

Отверстие в цилиндрической обечайке.

Расчёт укрепления одиночного отверстия.

Укрепление непропущенным (непроходящим) штуцером.

Штуцер с осью нормальной к корпусу сосуда.

Только расчёт укрепления отверстия.

Штуцер с утолщенной частью - переход в виде радиуса.

Режим: Рабочий.

#### Исходные данные

Материал корпуса	20КА, Лист		
Материал штуцера	20КА, Поковка		
Расчётная температура	$T$	300	°C
Расчётное давление	$P$	4.51	МПа
Внутренний диаметр обечайки, днища или конического перехода, в месте расположения отверстия	$D$	1000	мм
Исполнительная толщина стенки обечайки, конического перехода или днища	$s$	26	мм
Коэффициент прочности сварных соединений обечаек и днищ	$\varphi$	1	
Допускаемое напряжение для материала обечайки, перехода или днища при расчётной температуре	$[\sigma]$	119	МПа
Внутренний диаметр штуцера	$d$	47	мм
Исполнительная толщина усиленной части штуцера	$s_1$	20	мм
Исполнительная длина усиленной части штуцера	$l_1$	100	мм
Исполнительная толщина стенки штуцера	$s_{шт}$	5	мм
Исполнительная длина штуцера	$l_{шт}$	149	мм
Допускаемое напряжение для материала штуцера	$[\sigma]_1$	119	МПа
Коэффициент прочности продольного сварного шва штуцера	$\varphi_1$	1	
Расстояние от наружной поверхности штуцера до ближайшего несущего конструктивного элемента (или $L_k=0$ )	$L_k$	217	мм
Прибавка для компенсации коррозии и эрозии стенки корпуса	$c_1$	3	мм
Прибавка для компенсации минусового допуска стенки корпуса	$c_2$	0.9	мм
Прибавка технологическая стенки корпуса	$c_3$	0	мм
Прибавка для компенсации коррозии и эрозии стенки штуцера	$c_{,1}$	3	мм
Прибавка для компенсации минусового допуска стенки штуцера	$c_{,2}$	0	мм
Прибавка технологическая стенки штуцера	$c_{,3}$	0	мм
Сумма прибавок к расчётной толщине стенки корпуса	$c$	3.9	мм
Сумма прибавок к расчётной толщине стенки штуцера	$c_s$	3	мм

Инв. № подл.	Изм.	Лист	№ док.	Подпись	Дата	20/30КУ-3N-2470.00.00.000 PP	Лист
Инв. № подл.	3	Изм.	б / н	Редикульцев	06.18	20/30КУ-3N-2470.00.00.000 PP	Лист
	2	Изм.	б / н	Редикульцев	06.18		185
	Изм.	Лист	№ док.	Подпись	Дата		

### Результаты расчёта

### Расчётный внутренний диаметр цилиндрической обечайки

$$D_p = D = 1000 \text{ mm}$$

### Расчётная толщина стенки корпуса

$$s_p = \frac{pD}{2[\sigma]\phi_b - p} = 19.32 \text{ mm}$$

### Расчётный диаметр отверстия

$$d_p = d + 2c_s = 53 \text{ mm}$$

### Расчётная толщина стенкиштуцера

$$s_{lp} = \frac{p(d + 2c_s)}{2[\sigma_1 \phi - p]} = 1.024 \text{ mm}$$

### Расчётная длина штуцера

$$l_{\text{ip}} = \min \{l_1; 1,25\sqrt{(d + 2c_s)(s_1 - c_s)}\} = 37.52 \text{ mm}$$

### Отношение допускаемых напряжений штуцера и корпуса

$$\chi_1 = \min \left\{ 1, 0; \frac{[\sigma]_1}{[\sigma]} \right\} = \quad 1$$

Ширина зоны укрепления, прилегающей к штуцеру

$$L_o = \sqrt{D_p(s - c)} = 148.7 \text{ mm}$$

Расчётная ширина зоны укрепления, прилегающей к штуцеру

$$l_p = 148.7 \text{ mm}$$

### Расчётный диаметр неукрепляемого отверстия

$$d_{\text{op}} = 0,4 \sqrt{D_p(s - c)} = 59.46 \text{ mm}$$

Коэффициент понижения прочности узла врезки штуцера

$$V = \min \left\{ 1; \frac{1 + \frac{l_{1p}(s_1 - c_s)x_1 + l_{2p}s_2x_2 + l_{3p}(s_3 - c_s - c_{s1})x_3}{l_p(s - c)}}{1 + 0,5 \frac{d_p - d_{op}}{l_p} + K_1 \frac{d + 2c_s}{D_p} \frac{\varphi l_{1p}}{\varphi_1 l_p}} \right\} =$$

### Допускаемое давление для узла врезки штуцера

$$[p] = \frac{2K_1(s-c)\phi[\sigma]}{D_p + (s-c)V} = 5.146 \text{ МПа}$$

где

$$K_1 = 1$$

Узел врезки отвечает условиям прочности в соответствии с требованиями ГОСТ Р 52857.3-2007.

Подп. и дата	Расчётный диаметр неукрепляемого отверстия $d_{\text{оп}} = 0,4\sqrt{D_{\text{п}}(s - c)} =$ 59.46 мм						
Инв. №	Коэффициент понижения прочности узла врезки штуцера $V = \min \left\{ 1; \frac{1 + \frac{l_{1\text{п}}(s_1 - c_s) \chi_1 + l_{2\text{п}}s_2 \chi_2 + l_{3\text{п}}(s_3 - c_s - c_{s1}) \chi_3}{l_{\text{п}}(s - c)}}{1 + 0,5 \frac{d_{\text{п}} - d_{\text{оп}}}{l_{\text{п}}} + K_1 \frac{d + 2c_s}{D_{\text{п}}} \frac{\varphi l_{1\text{п}}}{\varphi l_{\text{п}}}} \right\} =$ 1						
Взам. инв.	Допускаемое давление для узла врезки штуцера $[p] = \frac{2K_1(s - c)\varphi[\sigma]}{D_{\text{п}} + (s - c)V} V =$ 5.146 МПа						
Подп. и дата	где $K_1 =$ 1						
Инв. № подл.	Узел врезки отвечает условиям прочности в соответствии с требованиями ГОСТ Р 52857.3-2007.						
	3	Изм.	б / н	Редикульцев	06.18	20/30КУ-3N-2470.00.00.000 PP	Лист
	2	Изм.	б / н	Редикульцев	06.18		186
	Изм.	Лист	№ док.	Подпись	Дата		

### 3.21. Патрубки штуцеров К1, К2, К3, J DN50

Расчёт на прочность по ГОСТ Р 52857.2-2007.

Расчёт выполнен с помощью пакета прикладных программ расчёта на прочность элементов сосудов, аппаратов и трубопроводов PVP Design (Свидетельство о государственной регистрации 2008614973)

Элемент: Гладкая цилиндрическая обечайка, работающая под действием внутреннего давления.  
Режим: Рабочий.

#### Исходные данные

Материал обечайки	20КА, Труба		
Расчётная температура	T	300	°C
Расчётное давление в сосуде	P	4.51	МПа
Внутренний диаметр обечайки	D	47	мм
Фактическая длина обечайки	Lact	100	мм
Толщина стенки обечайки	S	5	мм
Прибавка на коррозию	c <sub>1</sub>	3	мм
Прибавка – минусовый допуск	c <sub>2</sub>	0.75	мм
Прибавка технологическая	c <sub>3</sub>	0	мм
Сумма прибавок к расчётной толщине стенки (см. п.12 ГОСТ Р 52857.1)	c	3.75	мм
Коэффициент прочности продольного сварного шва	φ <sub>p</sub>	1	
Допускаемое напряжение	[σ]	119	МПа

#### Результаты расчёта

Минимально допустимая расчётная толщина стенки обечайки от действия давления

$$S_p = \frac{pD}{2[\sigma]\phi_p - p} = 0.9078 \text{ мм}$$

Минимально допустимая расчётная толщина стенки обечайки от действия давления с учетом прибавки

$$S \geq S_p + C = 4.658 \text{ мм}$$

Допускаемое внутреннее давление

$$[p] = \frac{2[\sigma]\phi_p(S - C)}{D + (S - C)} = 6.166 \text{ МПа}$$

Наибольший диаметр отверстия не требующего доп. укрепления

$$d_o = 8.844 \text{ мм}$$

Обечайка отвечает условиям прочности в соответствии с требованиями ГОСТ Р 52857.2-2007.

Подп. и дата						
Инв. №						
Взам. инв.						
Подп. и дата						
Инв. № подл.						
<div>Результаты расчёта</div> <div>Минимально допустимая расчётная толщина стенки обечайки от действия давления</div> <div><math display="block">S_p = \frac{pD}{2[\sigma] \phi_p - p} =</math>0.9078 мм</div> <div>Минимально допустимая расчётная толщина стенки обечайки от действия давления с учетом прибавки</div> <div><math display="block">S \geq S_p + C =</math>4.658 мм</div> <div>Допускаемое внутреннее давление</div> <div><math display="block">[p] = \frac{2[\sigma] \phi_p (S - C)}{D + (S - C)} =</math>6.166 МПа</div> <div>Наибольший диаметр отверстия не требующего доп. укрепления</div> <div><math display="block">d_o =</math>8.844 мм</div> <div>Обечайка отвечает условиям прочности в соответствии с требованиями ГОСТ Р 52857.2-2007.</div>						
3	Изм.	б / н	Редикульцев	06.18	20/30КУ-3N-2470.00.00.000 PP	Лист
2	Изм.	б / н	Редикульцев	06.18		187
Изм.	Лист	№ док.	Подпись	Дата		

### 3.22. Штуцер I1 DN50

Расчёт на прочность по ГОСТ Р 52857.3-2007.

Расчёт выполнен с помощью пакета прикладных программ расчёта на прочность элементов сосудов, аппаратов и трубопроводов PVP Design (Свидетельство о государственной регистрации 2008614973)

Элемент: Укрепление отверстий в обечайках и днищах.

Внутреннее давление.

Отверстие в цилиндрической обечайке.

Расчёт укрепления одиночного отверстия.

Укрепление непропущенным (непроходящим) штуцером.

Штуцер с осью нормальной к корпусу сосуда.

Только расчёт укрепления отверстия.

Режим: Рабочий.

#### Исходные данные

Материал корпуса	20КА, Лист		
Материал штуцера	20КА, Поковка		
Расчётная температура	$T$	300	°C
Расчётное давление	$P$	4.51	МПа
Внутренний диаметр обечайки, днища или конического перехода, в месте расположения отверстия	$D$	1000	мм
Исполнительная толщина стенки обечайки, конического перехода или днища	$s$	26	мм
Коэффициент прочности сварных соединений обечаек и днищ	$\varphi$	1	
Допускаемое напряжение для материала обечайки, перехода или днища при расчётной температуре	$[\sigma]$	119	МПа
Внутренний диаметр штуцера	$d$	46	мм
Исполнительная толщина стенки штуцера	$s_1$	20	мм
Исполнительная длина штуцера (для заведомо длинных штуцеров $l_1=0$ )	$l_1$	182	мм
Допускаемое напряжение для материала штуцера	$[\sigma]_1$	119	МПа
Коэффициент прочности продольного сварного шва штуцера	$\varphi_1$	1	
Расстояние от наружной поверхности штуцера до ближайшего несущего конструктивного элемента (или $L_k=0$ )	$L_k$	717	мм
Прибавка для компенсации коррозии и эрозии стенки корпуса	$c_1$	3	мм
Прибавка для компенсации минусового допуска стенки корпуса	$c_2$	0.9	мм
Прибавка технологическая стенки корпуса	$c_3$	0	мм
Прибавка для компенсации коррозии и эрозии стенки штуцера	$c_{,1}$	3	мм
Прибавка для компенсации минусового допуска стенки штуцера	$c_{,2}$	0	мм
Прибавка технологическая стенки штуцера	$c_{,3}$	0	мм
Сумма прибавок к расчётной толщине стенки корпуса	$c$	3.9	мм
Сумма прибавок к расчётной толщине стенки штуцера	$c_{,}$	3	мм

Инв. № подл.	Подп. и дата	Взам. инв.	Инв. №	Подп. и дата	Допускаемое напряжение для материала обечайки, перехода или днища при расчётной температуре	$[\sigma]$	119	МПа			
					Внутренний диаметр штуцера	$d$	46	мм			
					Исполнительная толщина стенки штуцера	$s_1$	20	мм			
					Исполнительная длина штуцера (для заведомо длинных штуцеров $l_1=0$ )	$l_1$	182	мм			
					Допускаемое напряжение для материала штуцера	$[\sigma]_1$	119	МПа			
					Коэффициент прочности продольного сварного шва штуцера	$\varphi$	1				
					Расстояние от наружной поверхности штуцера до ближайшего несущего конструктивного элемента (или $L_k=0$ )	$L_k$	717	мм			
					Прибавка для компенсации коррозии и эрозии стенки корпуса	$c_1$	3	мм			
					Прибавка для компенсации минусового допуска стенки корпуса	$c_2$	0.9	мм			
					Прибавка технологическая стенки корпуса	$c_3$	0	мм			
Инв. № подл.	Подп. и дата	Взам. инв.	Инв. №	Подп. и дата	Прибавка для компенсации коррозии и эрозии стенки штуцера	$c_{s1}$	3	мм			
					Прибавка для компенсации минусового допуска стенки штуцера	$c_{s2}$	0	мм			
					Прибавка технологическая стенки штуцера	$c_{s3}$	0	мм			
					Сумма прибавок к расчётной толщине стенки корпуса	$c$	3.9	мм			
					Сумма прибавок к расчётной толщине стенки штуцера	$c_s$	3	мм			
					3	Изм.	б / н	Редикульцев	06.18	20/30КУ-3N-2470.00.00.000 PP	Лист
					2	Изм.	б / н	Редикульцев	06.18		188
					Изм.	Лист	№ док.	Подпись	Дата		

### Результаты расчёта

Расчётный внутренний диаметр цилиндрической обечайки

$$D_p = D = 1000 \text{ мм}$$

Расчётная толщина стенки корпуса

$$s_p = \frac{pD}{2[\sigma]\varphi_p - p} = 19.32 \text{ мм}$$

Расчётный диаметр отверстия

$$d_p = d + 2c_s = 52 \text{ мм}$$

Расчётная толщина стенки штуцера

$$s_{1p} = \frac{p(d + 2c_s)}{2[\sigma]_1\varphi_1 - p} = 1.004 \text{ мм}$$

Расчётная длина штуцера

$$l_{1p} = \min \{l_1; 1,25\sqrt{(d + 2c_s)(s_1 - c_s)}\} = 37.17 \text{ мм}$$

Отношение допускаемых напряжений штуцера и корпуса

$$\chi_1 = \min \left\{ 1, 0, \frac{[\sigma]_1}{[\sigma]} \right\} = 1$$

Ширина зоны укрепления, прилегающей к штуцеру

$$L_0 = \sqrt{D_p(s - c)} = 148.7 \text{ мм}$$

Расчётная ширина зоны укрепления, прилегающей к штуцеру

$$l_p = 148.7 \text{ мм}$$

Расчётный диаметр неукрепляемого отверстия

$$d_{оп} = 0,4\sqrt{D_p(s - c)} = 59.46 \text{ мм}$$

Коэффициент понижения прочности узла врезки штуцера

$$V = \min \left\{ 1; \frac{1 + \frac{l_{1p}(s_1 - c_s)}{l_p(s - c)} \chi_1 + l_{2p}s_2 \chi_2 + l_{3p}(s_3 - c_s - c_{s1}) \chi_3}{1 + 0,5 \frac{d_p - d_{оп}}{l_p} + K_1 \frac{d + 2c_s}{D_p} \frac{\varphi l_{1p}}{\varphi_1 l_p}} \right\} = 1$$

Допускаемое давление для узла врезки штуцера

$$[p] = \frac{2K_1(s - c)\varphi[\sigma]}{D_p + (s - c)V} = 5.146 \text{ МПа}$$

где

$$K_1 = 1$$

Узел врезки отвечает условиям прочности в соответствии с требованиями ГОСТ Р 52857.3-2007.

Инв. № подл.	Подп. и дата	Инв. №	Взам. инв.	Подп. и дата					
3	Изм.	б / н	Редикульцев	06.18	<b>20/30КУ-3N-2470.00.00.000 PP</b>				
2	Изм.	б / н	Редикульцев	06.18					
Изм.	Лист	№ док.	Подпись	Дата					
									Лист
									189

### 3.23. Фланец штуцера I1 DN50 PN63

Расчёт на прочность и плотность по ASME Boiler and Pressure Vessel Code.

Расчёт выполнен с помощью пакета прикладных программ расчёта на прочность элементов сосудов, аппаратов и трубопроводов PVP Design (Свидетельство о государственной регистрации 2008614973)

Фланец приварной в стык.

Спирально-навитая прокладка.

Допускаемые напряжения для материалов фланцев принимаются по ГОСТ Р 52857.1-2007.

Режим: Рабочий.

#### Исходные данные

Материал фланца	20КА, Поковка		
Материал обечайки	20КА, Поковка		
Материал болтов	35Х, Diam = 2-M20		
Материал прокладки	Спирально-навитая с лентой из нержавеющей стали		
Расчётное давление	P (P <sub>1</sub> )	4.51	МПа
Допускаемое напряжение для материала болтов (шпилек) при температуре 20С	S <sub>a</sub>	160	МПа
Допускаемое напряжение для материала болтов (шпилек) при расчётной температуре	S <sub>b</sub>	160	МПа
Наружный диаметр прокладки	D <sub>нп</sub>	88	мм
Ширина прокладки	N	8	мм
Минимальное удельное давление смятия прокладки	q	69	МПа
Прокладочный коэффициент	m	3	
Диаметр окружности расположения болтов (шпилек)	C	135	мм
Диаметр болта(шпильки)	d	20	мм
Площадь сечения болта(шпильки) по наименьшему диаметру	f <sub>b</sub>	225	мм <sup>2</sup>
Количество болтов(шпилек)	n <sub>b</sub>	4	
Температура первого фланца (крышки)	T <sub>fl</sub>	300	С
Внутренний диаметр первого фланца	D	46	мм
Наружный диаметр первого фланца (крышки)	A	175	мм
Толщина тарелки первого фланца (крышки)	t (t <sub>fl</sub> )	26	мм
Толщина втулки первого фланца в месте присоединения к обечайке	S <sub>0</sub>	6	мм
Толщина втулки первого фланца в месте присоединения к тарелке	S <sub>1</sub>	20	мм
Высота конической части первой втулки	h	34	мм
Длина цилиндрической части втулки первого фланца	h <sub>цпл</sub>	10	мм
Прибавка на коррозию для первого фланца (крышки)	c	3	мм
Допускаемое напряжение для материала первого фланца при температуре 20 С	S <sub>fa</sub>	147	МПа
Допускаемое напряжение для материала первого фланца при расчётной температуре	S <sub>fb</sub>	119	МПа
Допускаемое напряжение для материала первой обечайки (трубы) при температуре 20 С	S <sub>na</sub>	147	МПа
Допускаемое напряжение для материала первой обечайки (трубы) при расчётной температуре	S <sub>nb</sub>	119	МПа

#### Результаты расчёта

Инв. № подл.	Подп. и дата	Взам. инв.	Инв. №	Подп. и дата	<div>20/30КУ-3N-2470.00.00.000 PP</div>					Лист
										190
3	Изм.	б / н	Редиккульцев	06.18						
2	Изм.	б / н	Редиккульцев	06.18						
Изм.	Лист	№ док.	Подпись	Дата						

### Параметры прокладки и крепежа

Эффективная ширина прокладки:	$b = \begin{cases} N/2 & - \text{при } N \leq 12.7 \text{ мм} \\ 1.782\sqrt{N} & - \text{при } N > 12.7 \text{ мм} \end{cases}$	4 мм
Средний диаметр прокладки	$G = D_{\text{нн}} - 2b =$	80 мм
Расчётная площадь поперечного сечения болтов (шпилек)	$A_b = n_b f_b =$	900 мм <sup>2</sup>
Расстояние от места приложения силы реакции прокладки до болтовой окружности	$h_G = \frac{C - G}{2} =$	27.5 мм

### Определение усилий в болтах (шпильках) и проверка их прочности

Минимальное усилие, необходимое для смятия прокладки	$W_{\text{м2}} = \pi b G q =$	6.937e+04 Н
Общее гидростатическое усилие, действующее на фланец	$H = 0.785 G^2  P  =$	2.266e+04 Н
Общая сжимающая нагрузка на контактную поверхность соединения	$H_p = 2b \pi G m P =$	2.72e+04 Н
Нагрузка на болты (шпильки) в рабочих условиях	$W_{\text{м1}} = H + H_p =$	4.986e+04 Н
Минимальная необходимая площадь сечения болтов (шпилек)	$A_{\text{ж}} = \text{Max} \left\{ \frac{W_{\text{м1}}}{S_b}, \frac{W_{\text{м2}}}{S_a} \right\} = 433.5$	$< A_b = 900 \text{ мм}^2$
Расчётное усилие в болтах (шпильках) при затяжке	$W = \frac{A_{\text{ж}} + A_b}{2} S_a =$	1.067e+05 Н

### Расчёт на прочность фланца

Расчётный внутренний диаметр фланца после снятия прибавки на коррозию	$B = D + 2c =$	52 мм
Толщина втулки первого фланца в месте присоединения к обечайке, после снятия прибавки на коррозию	$g_0 = S_0 - c =$	3 мм
Толщина втулки первого фланца в месте присоединения к тарелке, после снятия прибавки на коррозию	$g_1 = S_1 - c =$	17 мм

Плечи действия сил:

Расстояние от окружности расположения болтов до точки пересечения втулки и основания фланца

$$R = \frac{(C - B)}{2} - g_1 = 24.5 \text{ мм}$$

Плечо действия гидростатического усилия внутри фланца

$$h_D = R + \frac{g_1}{2} = 33 \text{ мм}$$

Плечо действия разницы между общим гидростатическим усилием и гидростатическим усилием внутри фланца

$$h_T = \frac{R + g_1 + h_G}{2} = 34.5 \text{ мм}$$

### Коэффициенты

$K = \frac{A}{B} =$	3.365	$h_0 = \sqrt{B g_0} =$	12.49	мм
$Y =$	1.68	$T =$	1.125	
$U =$	1.846	$Z =$	1.194	
$F =$	0.448	$V =$	0.01182	

Подп. и дата		Инв. №		Взам. инв.		Подп. и дата		Инв. № подл.	
3	Изм.	б / н	Редикульцев	06.18	<b>20/30КУ-3N-2470.00.00.000 PP</b>				Лист
2	Изм.	б / н	Редикульцев	06.18					191
Изм.	Лист	№ док.	Подпись	Дата					

$$f = 1 \quad L = \frac{(Ft/h_0 + 1)}{T} + \frac{Vt^3}{Uh_0g_o^2} = 2.72$$

*Усилия и моменты, действующие на фланец*

Гидростатическое усилие внутри фланца	$H_D = 0.785B^2 P  = 9573$	Н
Разница между общим гидростатическим усилием и гидростатическим усилием внутри фланца	$H_T = H - H_D = 1.309e+04$	Н
Усилие на прокладке в рабочих условиях	$H_G = W_{м1} - H = 2.72e+04$	Н
Составляющая момента от гидростатического усилия внутри фланца	$M_D = H_D h_D = 3.159e+05$	Н мм
Составляющая момента от разницы между общим гидростатическим усилием и гидростатическим усилием внутри фланца	$M_T = H_T h_T = 4.514e+05$	Н мм
Составляющая момента от усилия на прокладке в рабочих условиях	$M_G = H_G h_G = 7.481e+05$	Н мм

*Суммарный момент, действующий на фланец*

- в рабочих условиях:	$M_0 = M_D + M_T + M_G = 1.515e+06$	Н мм
- при затяжке	$M_0 = Wh_G = 2.934e+06$	Н мм

Приведенный внутренний диаметр фланца при определении продольных напряжений во втулке

$$B_1 = \begin{cases} B & \text{при } B \geq 20S_1 \\ B + g_0 & \text{при } B < 20g_1 \text{ и } f > 1 \\ B + g_1 & \text{при } B < 20g_1 \text{ и } f = 1 \end{cases} = 69 \text{ мм}$$

*Напряжения в расчётных сечениях фланца*

*- в рабочих условиях:*

Продольное напряжение во втулке фланца	$S_H = \frac{fM_0}{Lg_1^2 B_1} = 27.94$	<	$1.5S_{\text{ф}} = 178.5 \text{ МПа}$
Радиальное напряжение во фланце	$S_R = \frac{(1.33tF/h_0 + 1)M_0}{Lt^2 B} = 35.51$	<	$S_{\text{ф}} = 119 \text{ МПа}$
Окружное напряжение во фланце	$S_T = \frac{YM_0}{t^2 B} - ZS_R = 30.03$	<	$S_{\text{ф}} = 119 \text{ МПа}$
Полусумма продольного и радиального напряжений во фланце	$\frac{S_H + S_R}{2} = 31.73$	<	$S_{\text{ф}} = 119 \text{ МПа}$
Полусумма продольного и окружного напряжений во фланце	$\frac{S_H + S_T}{2} = 28.99$	<	$S_{\text{ф}} = 119 \text{ МПа}$

*- при затяжке:*

Продольное напряжение во втулке фланца	$S_H = \frac{fM_0}{Lg_1^2 B_1} = 54.1$	<	$1.5S_{\text{фz}} = 220.5 \text{ МПа}$
Радиальное напряжение во фланце	$S_R = \frac{(1.33tF/h_0 + 1)M_0}{Lt^2 B} = 68.75$	<	$S_{\text{фz}} = 147 \text{ МПа}$

Подп. и дата	<div>Напряжения в расчётных сечениях фланца - в рабочих условиях:</div> <div><div>Продольное напряже- ние во втулке фланца</div><div><math>S_H = \frac{fM_0}{Lg_1^2 B_1} = 27.94</math></div><div>&lt;</div><div><math>1.5S_{\text{ф}} = 178.5 \text{ МПа}</math></div></div>										
Инв. №	<div><div>Радиальное напряжение во фланце</div><div><math>S_R = \frac{(1.33tF / h_0 + 1)M_0}{Lt^2 B} = 35.51</math></div><div>&lt;</div><div><math>S_{\text{ф}} = 119 \text{ МПа}</math></div></div>										
Взам. инв.	<div><div>Окружное напряжение во фланце</div><div><math>S_T = \frac{YM_0}{t^2 B} - ZS_R = 30.03</math></div><div>&lt;</div><div><math>S_{\text{ф}} = 119 \text{ МПа}</math></div></div>										
Подп. и дата	<div><div>Полусумма продольно- го и радиального напряжений во фланце</div><div><math>\frac{S_H + S_R}{2} = 31.73</math></div><div>&lt;</div><div><math>S_{\text{ф}} = 119 \text{ МПа}</math></div></div>										
Инв. № подл.	<div><div>Полусумма продольно- го и окружного напря- жений во фланце</div><div><math>\frac{S_H + S_T}{2} = 28.99</math></div><div>&lt;</div><div><math>S_{\text{ф}} = 119 \text{ МПа}</math></div></div>										
<div>- при затяжке:</div>											
Подп. и дата	<div><div>Продольное напряже- ние во втулке фланца</div><div><math>S_H = \frac{fM_0}{Lg_1^2 B_1} = 54.1</math></div><div>&lt;</div><div><math>1.5S_{\text{ф2}} = 220.5 \text{ МПа}</math></div></div>										
Инв. № подл.	<div><div>Радиальное напряжение во фланце</div><div><math>S_R = \frac{(1.33tF / h_0 + 1)M_0}{Lt^2 B} = 68.75</math></div><div>&lt;</div><div><math>S_{\text{ф2}} = 147 \text{ МПа}</math></div></div>										
3					Изм.	б / н	Редикульцев	06.18	20/30КУ-3N-2470.00.00.000 PP		Лист
2					Изм.	б / н	Редикульцев	06.18			192
Изм.					Лист	№ док.	Подпись	Дата			



Окружное напряжение  
во фланце

$$S_T = \frac{YM_0}{t^2 B} - ZS_R = 58.13 < S_{fz} = 147 \text{ МПа}$$

Полусумма продольно-  
го и радиального  
напряжений во фланце

$$\frac{S_H + S_R}{2} = 61.42 < S_{fz} = 147 \text{ МПа}$$

Полусумма продольно-  
го и окружного напря-  
жений во фланце

$$\frac{S_H + S_T}{2} = 56.11 < S_{fz} = 147 \text{ МПа}$$

Условия прочности и герметичности фланцевого соединения выполняются.

Инв. № подл.	Подп. и дата		Инв. №		Взам. инв.		Подп. и дата		
3	Изм.	б / н	Редикульцев	06.18	20/30КУ-3N-2470.00.00.000 PP				Лист
2	Изм.	б / н	Редикульцев	06.18					193
Изм.	Лист	№ док.	Подпись	Дата					

### 3.24. Штуцер люк-лаза МН DN450

Расчёт на прочность по ГОСТ Р 52857.3-2007.

Расчёт выполнен с помощью пакета прикладных программ расчёта на прочность элементов сосудов, аппаратов и трубопроводов PVP Design (Свидетельство о государственной регистрации 2008614973)

Элемент: Укрепление отверстий в обечайках и днищах.

Внутреннее давление.

Отверстие в эллиптическом днище.

Расчёт укрепления одиночного отверстия.

Укрепление пропущенным (проходящим) штуцером.

Штуцер с осью нормальной к корпусу сосуда.

Только расчёт укрепления отверстия.

Режим: Рабочий.

#### Исходные данные

Материал корпуса	20КА, Лист
Материал штуцера	20КА, Лист
Расчётная температура	$T$ 300 °C
Расчётное давление	$P$ 4.51 МПа
Внутренний диаметр обечайки, днища или конического перехода, в месте расположения отверстия	$D$ 1000 мм
Исполнительная толщина стенки обечайки, конического перехода или днища	$s$ 28 мм
Коэффициент прочности сварных соединений обечаек и днищ	$\varphi$ 1
Допускаемое напряжение для материала обечайки, перехода или днища при расчётной температуре	$[\sigma]$ 119 МПа
Внутренняя высота эллиптической части днища	$H$ 250 мм
Внутренний диаметр штуцера	$d$ 450 мм
Исполнительная толщина стенки штуцера	$s_1$ 30 мм
Исполнительная длина штуцера (для заведомо длинных штуцеров $l_1=0$ )	$l_1$ 200 мм
Допускаемое напряжение для материала штуцера	$[\sigma]_1$ 119 МПа
Коэффициент прочности продольного сварного шва штуцера	$\varphi_1$ 1
Длина пропущенной части штуцера	$l_3$ 112 мм
Исполнительная толщина стенки пропущенной части штуцера	$s_3$ 30 мм
Допускаемое напряжение для материала пропущенной части штуцера	$[\sigma]_3$ 119 МПа
Расстояние от наружной поверхности штуцера до ближайшего несущего конструктивного элемента (или $L_k=0$ )	$L_k$ 0 мм
Расстояние от центра укрепляемого отверстия до оси днища	$x$ 0 мм
Прибавка для компенсации коррозии и эрозии стенки корпуса	$c_1$ 3 мм
Прибавка для компенсации минусового допуска стенки корпуса	$c_2$ 0.9 мм
Прибавка технологическая стенки корпуса	$c_3$ 4.2 мм
Прибавка для компенсации коррозии и эрозии стенки штуцера	$c_{s1}$ 3 мм
Прибавка для компенсации минусового допуска стенки штуцера	$c_{s2}$ 0.8 мм

Подп. и дата	Инв. №	Взам. инв.	Подп. и дата	Инв. № подл.	3	Изм.	б / н	Редикульцев	06.18	20/30КУ-3N-2470.00.00.000 PP	Лист
					2	Изм.	б / н	Редикульцев	06.18		194
					Изм.	Лист	№ док.	Подпись	Дата		



Допускаемое давление для узла врезки штуцера

$$[p] = \frac{2K_1(s-c)\varphi[\sigma]}{D_p + (s-c)V} V =$$

4.573 МПа

где

$$K_1 =$$

2

Узел врезки отвечает условиям прочности в соответствии с требованиями ГОСТ Р 52857.3-2007.

Инв. № подл.	Подп. и дата		Инв. №		Взам. инв.		Подп. и дата		
3	Изм.	б / н	Редикульцев	06.18	20/30КУ-3N-2470.00.00.000 PP				Лист
2	Изм.	б / н	Редикульцев	06.18					196
Изм.	Лист	№ док.	Подпись	Дата					

### 3.25. Фланец люк-лаза МН DN450 PN63

Расчёт на прочность и плотность по ASME Boiler and Pressure Vessel Code.

Расчёт выполнен с помощью пакета прикладных программ расчёта на прочность элементов сосудов, аппаратов и трубопроводов PVP Design (Свидетельство о государственной регистрации 2008614973)

Фланцевое соединение фланца и крышки.

Овальная или восьмигранная прокладка.

Допускаемые напряжения для материалов фланцев принимаются по ГОСТ Р 52857.1-2007.

Режим: Рабочий.

#### Исходные данные

Материал фланца	20КА, Поковка
Материал обечайки	20КА, Лист
Материал второго фланца	20КА, Поковка
Материал болтов	35X, Diam = 1-M30
Материал прокладки	Сталь 08X18H10T

Расчётное давление	P (P <sub>1</sub> )	4.51	МПа
Допускаемое напряжение для материала болтов (шпилек) при температуре 20С	S <sub>a</sub>	160	МПа
Допускаемое напряжение для материала болтов (шпилек) при расчётной температуре	S <sub>b</sub>	160	МПа
Средний диаметр прокладки	G	510	мм
Ширина прокладки	N	12	мм
Минимальное удельное давление смятия прокладки	q	180	МПа
Прокладочный коэффициент	m	6.5	
Диаметр окружности расположения болтов (шпилек)	C	580	мм
Диаметр болта(шпильки)	d	30	мм
Площадь сечения болта(шпильки) по наименьшему диаметру	f <sub>b</sub>	520	мм <sup>2</sup>
Количество болтов(шпилек)	n <sub>b</sub>	20	
Температура первого фланца (крышки)	T <sub>f1</sub>	300	С
Внутренний диаметр первого фланца	D	450	мм
Наружный диаметр первого фланца (крышки)	A	640	мм
Толщина тарелки первого фланца (крышки)	t (t <sub>f1</sub> )	75	мм
Толщина втулки первого фланца в месте присоединения к обечайке	S <sub>0</sub>	14	мм
Толщина втулки первого фланца в месте присоединения к тарелке	S <sub>1</sub>	30	мм
Высота конической части первой втулки	h	48	мм
Длина цилиндрической части втулки первого фланца	h <sub>цил</sub>	0	мм
Прибавка на коррозию для первого фланца (крышки)	c	3	мм
Допускаемое напряжение для материала первого фланца при температуре 20 С	S <sub>fa</sub>	147	МПа
Допускаемое напряжение для материала первого фланца при расчётной температуре	S <sub>fb</sub>	119	МПа
Допускаемое напряжение для материала первой обечайки (трубы) при температуре 20 С	S <sub>na</sub>	147	МПа
Допускаемое напряжение для материала первой обечайки (трубы) при расчётной температуре	S <sub>nb</sub>	119	МПа
Наружный диаметр второго фланца (крышки)	A	640	мм
Толщина тарелки второго фланца (крышки)	t (t <sub>f2</sub> )	55	мм

Инв. № подл.	Подп. и дата				Инв. №	Взам. инв.	Подп. и дата	Инв. № подл.	Минимальное удельное давление смятия прокладок	$q$	180	МПа	
	Прокладочный коэффициент								$m$	6.5			
Инв. № подл.	Подп. и дата				Инв. №	Взам. инв.	Подп. и дата	Инв. № подл.	Диаметр окружности расположения болтов (шпилек)	$C$	580	мм	
	Диаметр болта(шпильки)								$d$	30	мм		
	Площадь сечения болта(шпильки) по наименьшему диаметру								$f_b$	520	мм <sup>2</sup>		
	Количество болтов(шпилек)								$n_b$	20			
	Температура первого фланца (крышки)								$T_{f1}$	300	С		
	Внутренний диаметр первого фланца								$D$	450	мм		
	Наружный диаметр первого фланца (крышки)								$A$	640	мм		
	Толщина тарелки первого фланца (крышки)								$t(t_{f1})$	75	мм		
	Толщина втулки первого фланца в месте присоединения к обечайке								$S_0$	14	мм		
	Толщина втулки первого фланца в месте присоединения к тарелке								$S_1$	30	мм		
	Высота конической части первой втулки								$h$	48	мм		
	Длина цилиндрической части втулки первого фланца								$h_{\text{цил}}$	0	мм		
	Прибавка на коррозию для первого фланца (крышки)								$c$	3	мм		
	Допускаемое напряжение для материала первого фланца при температуре 20 С								$S_{fa}$	147	МПа		
Допускаемое напряжение для материала первого фланца при расчётной температуре				$S_{fb}$	119	МПа							
Допускаемое напряжение для материала первой обечайки (трубы) при температуре 20 С				$S_{na}$	147	МПа							
Допускаемое напряжение для материала первой обечайки (трубы) при расчётной температуре				$S_{nb}$	119	МПа							
Наружный диаметр второго фланца (крышки)				$A$	640	мм							
Толщина тарелки второго фланца (крышки)				$t(t_{f2})$	55	мм							
Инв. № подл.	Подп. и дата				Инв. №	Взам. инв.	Подп. и дата	Инв. № подл.	20/30КУ-3N-2470.00.00.000 PP			Лист	
	3	Изм.	б / н	Редикульцев								06.18	197
	2	Изм.	б / н	Редикульцев								06.18	
Изм.	Лист	№ док.	Подпись	Дата									

Толщина крышки	$t(t_{f2})$	55	мм
Прибавка на коррозию для второго фланца (крышки)	$c$	3	мм
Допускаемое напряжение для материала второго фланца при температуре 20 С	$S_{fa}$	147	МПа
Допускаемое напряжение для материала второго фланца при расчётной температуре	$S_{fb}$	119	МПа

Результаты расчёта

Параметры прокладки и крепежа

Эффективная ширина прокладки:	$b = \frac{N}{8} =$	1.5 мм
Расчётная площадь поперечного сечения болтов (шпилек)	$A_b = n_b f_b =$	1.04e+04 мм²
Расстояние от места приложения силы реакции прокладки до болтовой окружности	$h_G = \frac{C - G}{2} =$	35 мм

Определение усилий в болтах (шпильках) и проверка их прочности

Минимальное усилие, необходимое для смятия прокладки	$W_{m2} = \pi b G q =$	4.326e+05 Н
Общее гидростатическое усилие, действующее на фланец	$H = 0.785 G^2  P  =$	9.208e+05 Н
Общая сжимающая нагрузка на контактную поверхность соединения	$H_p = 2 b \pi G m P =$	1.409e+05 Н
Нагрузка на болты (шпильки) в рабочих условиях	$W_{m1} = H + H_p =$	1.062e+06 Н
Минимальная необходимая площадь сечения болтов (шпилек)	$A_m = Max \left\{ \frac{W_{m1}}{S_b}, \frac{W_{m2}}{S_a} \right\} =$	6636 < $A_b = 1.04e+04$ мм²
Расчётное усилие в болтах (шпильках) при затяжке	$W = \frac{A_m + A_b}{2} S_a =$	1.363e+06 Н

Расчёт на прочность фланца

Расчётный внутренний диаметр фланца после снятия прибавки на коррозию	$B = D + 2c =$	456 мм
Толщина втулки первого фланца в месте присоединения к обечайке, после снятия прибавки на коррозию	$g_0 = S_0 - c =$	11 мм
Толщина втулки первого фланца в месте присоединения к тарелке, после снятия прибавки на коррозию	$g_1 = S_1 - c =$	27 мм
Плечи действия сил:		
Расстояние от окружности расположения болтов до точки пересечения втулки и основания фланца	$R = \frac{(C - B)}{2} - g_1 =$	35 мм
Плечо действия гидростатического усилия внутри фланца	$h_D = R + \frac{g_1}{2} =$	48.5 мм
Плечо действия разницы между общим гидростатическим усилием и гидростатическим усилием внутри фланца	$h_T = \frac{R + g_1 + h_G}{2} =$	48.5 мм

Инв. № подл.	Подп. и дата		площадь сечения болтов (шпилек)			$A_m = \text{Max} \left\{ \frac{A_{m1}}{S_\phi}, \frac{A_{m2}}{S_a} \right\} = 6636$	$<$	$A_\phi = 1.04\text{e}+04 \text{ мм}^2$	
	Инв. №		Расчётное усилие в болтах (шпильках) при затяжке			$W = \frac{A_m + A_\phi}{2} S_a = 1.363\text{e}+06$	Н		
	Взам. инв.		Расчёт на прочность фланца						
	Подп. и дата		Расчётный внутренний диаметр фланца после снятия прибавки на коррозию			$B = D + 2c =$	456 мм		
Инв. № подл.	Подп. и дата		Толщина втулки первого фланца в месте присоединения к обечайке, после снятия прибавки на коррозию			$g_0 = S_0 - c =$	11 мм		
	Инв. №		Толщина втулки первого фланца в месте присоединения к тарелке, после снятия прибавки на коррозию			$g_1 = S_1 - c =$	27 мм		
	Взам. инв.		Плечи действия сил:						
	Подп. и дата		Расстояние от окружности расположения болтов до точки пересечения втулки и основания фланца			$R = \frac{(C - B)}{2} - g_1 =$	35 мм		
Инв. № подл.	Подп. и дата		Плечо действия гидростатического усилия внутри фланца			$h_D = R + \frac{g_1}{2} =$	48.5 мм		
	Инв. №		Плечо действия разницы между общим гидростатическим усилием и гидростатическим усилием внутри фланца			$h_T = \frac{R + g_1 + h_G}{2} =$	48.5 мм		
	Взам. инв.								
	Подп. и дата								
Инв. № подл.	3	Изм.	б / н	Редикульцев	06.18	20/30КУ-3N-2470.00.00.000 PP			Лист
	2	Изм.	б / н	Редикульцев	06.18				198
	Изм.	Лист	№ док.	Подпись	Дата				

					Коэффициенты				
$K = \frac{A}{B} =$					1.404	$h_0 = \sqrt{Bg_0} =$		70.82	мм
$Y =$					5.893	$T =$		1.753	
$U =$					6.476	$Z =$		3.062	
$F =$					0.7732	$V =$		0.1475	
$f =$					1.163	$L = \frac{(Ft/h_0 + 1)}{T} + \frac{Vt^3}{Uh_0g_0^2} =$		2.159	
Усилия и моменты, действующие на фланец									
Гидростатическое усилие внутри фланца					$H_D = 0.785B^2 P  =$		7.362e+05	Н	
Разница между общим гидростатическим усилием и гидростатическим усилием внутри фланца					$H_T = H - H_D =$		1.847e+05	Н	
Усилие на прокладке в рабочих условиях					$H_G = W_{м1} - H =$		1.409e+05	Н	
Составляющая момента от гидростатического усилия внутри фланца					$M_D = H_D h_D =$		3.57e+07	Н мм	
Составляющая момента от разницы между общим гидростатическим усилием и гидростатическим усилием внутри фланца					$M_T = H_T h_T =$		8.957e+06	Н мм	
Составляющая момента от усилия на прокладке в рабочих условиях					$M_G = H_G h_G =$		4.932e+06	Н мм	
Суммарный момент, действующий на фланец									
- в рабочих условиях:					$M_0 = M_D + M_T + M_G =$		4.959e+07	Н мм	
- при затяжке					$M_0 = Wh_G =$		4.77e+07	Н мм	
Приведенный внутренний диаметр фланца при определении продольных напряжений во втулке					$B_1 = \begin{cases} B & \text{при } B \geq 20S_1 \\ B + g_0 & \text{при } B < 20g_1 \text{ и } f > 1 \\ B + g_1 & \text{при } B < 20g_1 \text{ и } f = 1 \end{cases} =$		467	мм	
Напряжения в расчётных сечениях фланца									
- в рабочих условиях:									
Продольное напряжение во втулке фланца					$S_H = \frac{fM_0}{Lg_1^2 B_1} =$		78.46	<	$1.5S_{\text{ф}} = 178.5 \text{ МПа}$
Радиальное напряжение во фланце					$S_R = \frac{(1.33tF/h_0 + 1)M_0}{Lt^2 B} =$		18.71	<	$S_{\text{ф}} = 119 \text{ МПа}$
Окружное напряжение во фланце					$S_T = \frac{YM_0}{t^2 B} - ZS_R =$		56.65	<	$S_{\text{ф}} = 119 \text{ МПа}$
Полусумма продольного и радиального напряжений во фланце					$\frac{S_H + S_R}{2} =$		48.58	<	$S_{\text{ф}} = 119 \text{ МПа}$
Полусумма продольного и окружного напряжений во фланце					$\frac{S_H + S_T}{2} =$		67.56	<	$S_{\text{ф}} = 119 \text{ МПа}$
Инв. № подл.	3	Изм.	б / н	Редикульцев	06.18	20/30КУ-3N-2470.00.00.000 PP			
	2	Изм.	б / н	Редикульцев	06.18				
	Изм.	Лист	№ док.	Подпись	Дата				
									Лист
									199

- при затяжке:

Продольное напряжение во втулке фланца	$S_H = \frac{fM_0}{Lg_1^2 B_1} =$	75.47	<	$1.5S_{fz} = 220.5 \text{ МПа}$
Радиальное напряжение во фланце	$S_R = \frac{(1.33tF/h_0 + 1)M_0}{Lt^2 B} =$	17.99	<	$S_{fz} = 147 \text{ МПа}$
Окружное напряжение во фланце	$S_T = \frac{YM_0}{t^2 B} - ZS_R =$	54.49	<	$S_{fz} = 147 \text{ МПа}$
Полусумма продольного и радиального напряжений во фланце	$\frac{S_H + S_R}{2} =$	46.73	<	$S_{fz} = 147 \text{ МПа}$
Полусумма продольного и окружного напряжений во фланце	$\frac{S_H + S_T}{2} =$	64.98	<	$S_{fz} = 147 \text{ МПа}$

Условия прочности и герметичности фланцевого соединения выполняются.

Инв. № подл.	Подп. и дата	Взам. инв.	Инв. №	Подп. и дата					
3	Изм.	б / н	Редикульцев	06.18	20/30КУ-3N-2470.00.00.000 PP				
2	Изм.	б / н	Редикульцев	06.18					
Изм.	Лист	№ док.	Подпись	Дата					
									Лист
									200



### 3.26. Крышка люк-лаза МН DN450 PN63

Расчёт на прочность по ГОСТ Р 52857.2-2007

Расчёт выполнен с помощью пакета прикладных программ расчёта на прочность элементов сосудов, аппаратов и трубопроводов PVP Design (Свидетельство о государственной регистрации 2008614973)

Элемент: Плоская круглая крышка с дополнительным краевым моментом.

Режим: Рабочий.

#### Исходные данные

Расчётная температура	T	300	°C
Расчётное давление (по абсолютной величине)	P	4.51	МПа
Наружный диаметр крышки	D <sub>н</sub>	640	мм
Наименьший диаметр наружной утоненной части крышки	D <sub>2</sub>	541	мм
Диаметр болтовой окружности	D <sub>3</sub>	580	мм
Ширина прокладки	b <sub>п</sub>	12	мм
Средний диаметр овальной или восьмигранной прокладки	D <sub>сп</sub>	510	мм
Исполнительная толщина днища (крышки)	s <sub>1</sub>	55	мм
Исполнительная толщина крышки в месте уплотнения или кольцевой выточки	s <sub>2</sub>	52	мм
Исполнительная толщина крышки вне уплотнения	s <sub>3</sub>	55	мм
Прибавка для компенсации коррозии и эрозии к расчётной толщине стенки крышки	c <sub>1 1</sub>	3	мм
Прибавка для компенсации минусового допуска к расчётной толщине стенки крышки	c <sub>1 2</sub>	0	мм
Прибавка технологическая к расчётной толщине стенки крышки	c <sub>1 3</sub>	0	мм
Сумма прибавок к расчётной толщине днища (крышки)	c <sub>1</sub>	3	мм
Коэффициент прочности сварных швов днища (крышки)	φ	1	
Допускаемое напряжение для материала днища (крышки) в рабочих условиях	[σ] <sub>p</sub>	119	МПа
Допускаемое напряжение для материала днища (крышки) в условиях монтажа до подачи давления	[σ] <sub>м</sub>	147	МПа
Нагрузка на болты крепления крышки в рабочих условиях (см. результаты расчёта по ГОСТ Р 52857.4-2007)	F <sub>бр</sub>	9.208e+05	Н
Нагрузка на болты крепления крышки в условиях монтажа до подачи давления (см. результаты расчёта по ГОСТ Р 52857.4-2007)	F <sub>бм</sub>	1.363e+06	Н

#### Результаты расчёта

Средний диаметр прокладки	$1.5S_{\text{ш}} =$	510 мм
Расчётный диаметр днища (крышки):	$D_{\text{р}} =$	510 мм

Поправочный коэффициент, учитывающий напряжения сдвига:

Подп. и дата	Инов. №	Взам. инв.	Подп. и дата	Инов. № подл.
3	Изм.	б / н	Редикульцев	06.18
2	Изм.	б / н	Редикульцев	06.18
Изм.	Лист	№ док.	Подпись	Дата
20/30КУ-3N-2470.00.00.000 PP				
				Лист
				201

$$K_p = \min \left\{ 1; \frac{2,2}{1 + \sqrt{1 + \left( 6 \frac{s_1 - c}{D_p} \right)^2}} \right\} = 1$$

Равнодействующая внутреннего давления, действующего на крышку:

$$Q_d = 0,785 p D_{\text{сп.}}^2 = 9.208\text{e}+05 \text{ Н}$$

Коэффициент  $\psi$ :

$$\psi = \frac{F_6^p}{Q_d} = 1.153$$

Коэффициент  $K_6$ :

$$K_6 = 0,41 \sqrt{\frac{1 + 3\psi \left( \frac{D_3}{D_{\text{сп.}}} - 1 \right)}{\frac{D_3}{D_{\text{сп.}}}}} = 0.4669$$

Допускаемое давление для крышки с дополнительным краевым моментом:

$$[p] = K_p \left( \frac{s_1 - c}{K_6 K_6 D_p} \right)^2 [\sigma] \varphi = 5.675 \text{ МПа}$$

Вспомогательная величина  $\Phi$ :

$$\Phi = \max \left\{ \frac{F_6^p}{[\sigma]_p}, \frac{F_6^m}{[\sigma]_m} \right\} = 9271 \text{ мм}^2$$

Коэффициент  $K_7$  для расчёта толщины плоской круглой крышки в месте уплотнения:

$$K_7 = 0,8 \sqrt{\frac{D_3}{D_{\text{сп}}} - 1} = 0.2964$$

Толщина плоской круглой крышки с дополнительным краевым моментом в месте уплотнения:

$$s_2 \geq \max \left\{ K_7 \sqrt{\Phi}; \frac{0,6}{D_{\text{сп}}} \Phi \right\} + c = 31.54 \text{ мм}$$

Коэффициент  $K_7$  для расчёта толщины плоской круглой крышки вне зоны уплотнения:

$$K_7 = 0,8 \sqrt{\frac{D_3}{D_2} - 1} = 0.2148 \text{ мм}$$

Толщина плоской круглой крышки с дополнительным краевым моментом вне зоны уплотнения:

$$s_3 \geq \max \left\{ K_7 \sqrt{\Phi}; \frac{0,6}{D_2} \Phi \right\} = 20.68$$

Плоская круглая крышка отвечает условиям прочности в соответствии с требованиями ГОСТ Р 52857.2-2007.

Инв. № подл.	Подп. и дата	Инв. №	Взам. инв.	Подп. и дата	Инв. № подл.
3	Изм.	б / н	Редикульцев	06.18	20/30КУ-3N-2470.00.00.000 PP
2	Изм.	б / н	Редикульцев	06.18	
Изм.	Лист	№ док.	Подпись	Дата	
					Лист
					202

#### 4.1. Эллиптическое днище барабана DN1000

*Расчёт выполнен с помощью пакета прикладных программ расчёта на прочность элементов сосудов, аппаратов и трубопроводов PVP Design (Свидетельство о государственной регистрации 2008614973)*

### *Исходные данные*

20КА, Лист

### Результаты расчёта

$$R = \frac{D^2}{4H} = \quad 1000 \text{ mm}$$
$$[\rho] = \frac{[\rho]_{\text{т}}}{\sqrt{1 + \left( \frac{[\rho]_{\text{т}}}{[\rho]_{\text{г}}} \right)^2}} = 4.578 \text{ МПа}$$
$$[p]_{\kappa} = \frac{2[\sigma](s_1 - c)}{R + 0.5(s_1 - c)} = 5.162 \text{ МПа}$$
$$[\mathcal{P}]_E = \frac{26 \cdot 10^{-6} E}{n_y} \left[ \frac{100(s_1 - c)}{K_y R} \right]^2 = 9.907 \text{ МПа}$$

					модуль продольной упругости	E	1.755e+05	МПа	
					Длина цилиндрической отбортовки	h <sub>1</sub>	60	мм	
					<b>Результаты расчёта</b>				
					Радиус кривизны в вершине эллиптического или полусферического днища:				
					$R = \frac{D^2}{4H} =$		1000 мм		
					Допускаемое наружное давление: здесь:				
					$[p] = \frac{[p]_n}{\sqrt{1 + \left(\frac{[p]_n}{[p]_E}\right)^2}} =$		4.578 МПа		
					[p] <sub>н</sub> – допускаемое наружное давление из условий прочности:				
					$[p]_n = \frac{2[\sigma](s_1 - c)}{R + 0.5(s_1 - c)} =$		5.162 МПа		
					[p] <sub>Е</sub> – допускаемое наружное давление из условий устойчивости в пределах упругости:				
					$[p]_E = \frac{26 \cdot 10^{-6} E}{n_y} \left[ \frac{100(s_1 - c)}{K, R} \right]^2 =$		9.907 МПа		
Инв. № подл.	3	Изм.	б / н	Редикульцев	06.18	<b>20/30КУ-3N-2470.00.00.000 PP</b>			Лист
	2	Изм.	б / н	Редикульцев	06.18				203
	Изм.	Лист	№ док.	Подпись	Дата				

где: коэффициент

$K_{э} =$

0.8718

Днище отвечает условиям прочности и устойчивости в соответствии с требованиями ГОСТ Р 52857.2-2007.

Инв. № подл.	Подп. и дата		Взам. инв.	Инв. №	Подп. и дата	
3	Изм.	б / н	Редикульцев	06.18	20/30КУ-3N-2470.00.00.000 PP	Лист
2	Изм.	б / н	Редикульцев	06.18		204
Изм.	Лист	№ док.	Подпись	Дата		

## 4.2. Цилиндрическая обечайка барабана DN1000

## Расчёт на прочность по ГОСТ Р 52857.2-2007

*Расчёт выполнен с помощью пакета прикладных программ расчёта на прочность элементов сосудов, аппаратов и трубопроводов PVP Design (Свидетельство о государственной регистрации 2008614973)*

Элемент: Гладкая цилиндрическая обечайка, работающая под действием  
наружного давления.

Режим: Расчет на вакуум.

### Исходные данные

## Материал обечайки

20КА, Лист

### Расчётная температура

T 252 °C

Расчётное давление

P            0.1            МПа

Внутренний диаметр обечайки

D 1000 MM

### Фактическая длина обечайки

Lact 3000 MM

### Расчётная длина обечайки

L 3000 MM

Толщина стенки обечайки

S 26 MM

### Прибавка на коррозию

c<sub>1</sub>                      3                      MM

### Прибавка – минусовый допуск

$c_2$  0.9 MM

### Прибавка технологическая

$$c_3 = 0 \quad \text{MM}$$

Сумма прибавок к расчётной толщине стенки

(см. п.12 ГОСТ Р 52857.1)

c	3.9	MM
---	-----	----

Коэффициент прочности продольного сварного шва

$$\mathbb{Q}_p \quad 1$$

Допускаемое напряжение

[ $\sigma$ ] 131 MIIa

Модуль продольной упругости

E 1.755e+05 MПа

### Результаты расчёта

Допускаемое наружное давление

$$[p] = \frac{[p]_R}{\sqrt{1 + \left(\frac{[p]_R}{[p]_E}\right)^2}} = 3.087 \text{ МПа}$$

Допускаемое наружное давление из условий прочности

$$[p]_n = \frac{2[\sigma](s-c)}{D+(s-c)} = 5.665 \text{ МПа}$$

Допускаемое наружное давление из условий устойчивости в пределах упругости

$$[p]_E = \frac{20,8 \cdot 10^{-6} E D}{n_v \cdot B_1} \frac{D}{L} \left[ \frac{100(s-c)}{D} \right]^{2,5} = \quad 3.681$$

Коэффициент

$$B_1 = \min \left\{ 1, 0; \quad 9,45 \frac{D}{L} \sqrt{\frac{D}{100(s-c)}} \right\} = \quad 1$$

Наибольший диаметр отверстия не требующего доп. укрепления

$$d_2 = 1000 \text{ mm}$$

	Подп. и дата	Результаты расчёта						
	Инв. №	Допускаемое наружное давление						
	Взам. инв.	$[p] = \frac{[p]_н}{\sqrt{1 + \left(\frac{[p]_н}{[p]_з}\right)^2}} =$						3.087 МПа
	Подп. и дата	Допускаемое наружное давление из условий прочности						
	Инв. № подл.	$[p]_н = \frac{2[\sigma](s - c)}{D + (s - c)} =$						5.665 МПа
		Допускаемое наружное давление из условий устойчивости в пределах упругости						
		$[p]_з = \frac{20,8 \cdot 10^{-6} E D}{n_y \cdot B_1 L} \left[ \frac{100(s - c)}{D} \right]^{2,5} =$						3.681
		Коэффициент						
		$B_1 = \min \left\{ 1,0; \quad 9,45 \frac{D}{L} \sqrt{\frac{D}{100(s - c)}} \right\} =$						1
		Наибольший диаметр отверстия не требующего доп. укрепления						
		$d_o =$						1000 мм
3	Изм.	б / н	Редикульцев	06.18	20/30КУ-3N-2470.00.00.000 PP			Лист
2	Изм.	б / н	Редикульцев	06.18				205
Изм.	Лист	№ док.	Подпись	Дата				

Обечайка отвечает условиям прочности и устойчивости в соответствии с требованиями ГОСТ Р 52857.2-2007.

Инв. № подл.	Подп. и дата		Инв. №		Взам. инв.		Подп. и дата		
3	Изм.	б / н	Редикульцев	06.18	20/30КУ-3N-2470.00.00.000 PP				Лист
2	Изм.	б / н	Редикульцев	06.18					206
Изм.	Лист	№ док.	Подпись	Дата					

### 4.3. Штуцера Q1, Q2, Q3 DN85

Расчёт на прочность по ГОСТ Р 52857.3-2007.

Расчёт выполнен с помощью пакета прикладных программ расчёта на прочность элементов сосудов, аппаратов и трубопроводов PVP Design (Свидетельство о государственной регистрации 2008614973)

Элемент: Укрепление отверстий в обечайках и днищах.

Наружное давление.

Отверстие в цилиндрической обечайке.

Расчёт укрепления одиночного отверстия.

Укрепление непропущенным (непроходящим) штуцером.

Штуцер с осью нормальной к корпусу сосуда.

Расчёт с учетом внешних нагрузок методом конечных элементов.

Внешние нагрузки определялись без учета стесненности температурных деформаций.

Внешние нагрузки приложены в месте пересечения оси штуцера с образующей обечайки или днища.

Штуцер с утолщенной частью - переход в виде радиуса.

Режим: Расчет на вакуум.

#### Исходные данные

Материал корпуса	20КА, Лист
Материал штуцера	20КА, Поковка
Расчётная температура	$T$ 252 °C
Расчётное давление	$P$ 0.1 МПа
Внутренний диаметр обечайки, днища или конического перехода, в месте расположения отверстия	$D$ 1000 мм
Исполнительная толщина стенки обечайки, конического перехода или днища	$s$ 26 мм
Коэффициент прочности сварных соединений обечаек и днищ	$\varphi$ 1
Допускаемое напряжение для материала обечайки, перехода или днища при расчётной температуре	$[\sigma]$ 131 МПа
Допускаемое наружное давление в пределах упругости	$[p]_E$ 3.681 МПа
Внутренний диаметр штуцера	$d$ 85 мм
Исполнительная толщина усиленной части штуцера	$s_1$ 50 мм
Исполнительная длина усиленной части штуцера	$l_1$ 80 мм
Исполнительная толщина стенки штуцера	$s_{шт}$ 25 мм
Исполнительная длина штуцера	$l_{шт}$ 169 мм
Допускаемое напряжение для материала штуцера	$[\sigma]_1$ 131 МПа
Коэффициент прочности продольного сварного шва штуцера	$\varphi_1$ 1
Расстояние от наружной поверхности штуцера до ближайшего несущего конструктивного элемента (или $L_k=0$ )	$L_k$ 488 мм
Размер сварного шва приварки штуцера (по образующей обечайки)	$\alpha$ 0 мм
Размер сварного шва приварки штуцера (по образующей штуцера)	$b$ 0 мм
Вылет штуцера	$L_f$ 169 мм
Осевая нагрузка на штуцер	$F_x$ -3.025e+04 Н
Изгибающий момент вокруг оси X действующий на штуцер	$M_x$ 1.728e+07 Н*мм

Подп. и дата	Инв. №	Взам. инв.	Подп. и дата	Инв. № подл.	3	Изм.	б / н	Редикульцев	06.18	20/30КУ-3N-2470.00.00.000 PP	Лист
					2	Изм.	б / н	Редикульцев	06.18		207
					Изм.	Лист	№ док.	Подпись	Дата		

Изгибающий момент вокруг оси Y действующий на штуцер	$M_y$	1.728e+07	H*мм
Изгибающий момент вокруг оси Z действующий на штуцер	$M_z$	1.728e+07	H*мм
Перерезывающая сила вдоль оси X действующая на штуцер	$F_x$	2e+04	H
Перерезывающая сила вдоль оси Y действующая на штуцер	$F_y$	2e+04	H
Модуль продольной упругости материала обечайки	$E$	1.755e+05	МПа
Коэффициент Пуассона обечайки	$\mu$	0.3	
Модуль продольной упругости материала штуцера	$E_1$	1.755e+05	МПа
Коэффициент Пуассона штуцера	$\mu_1$	0.3	
Прибавка для компенсации коррозии и эрозии стенки корпуса	$c_1$	3	мм
Прибавка для компенсации минусового допуска стенки корпуса	$c_2$	0.9	мм
Прибавка технологическая стенки корпуса	$c_3$	0	мм
Прибавка для компенсации коррозии и эрозии стенки штуцера	$c_{,1}$	3	мм
Прибавка для компенсации минусового допуска стенки штуцера	$c_{,2}$	0	мм
Прибавка технологическая стенки штуцера	$c_{,3}$	0	мм
Сумма прибавок к расчётной толщине стенки корпуса	$c$	3.9	мм
Сумма прибавок к расчётной толщине стенки штуцера	$c_s$	3	мм



$$V = \min \left\{ 1; \frac{1 + \frac{l_{1p}(s_1 - c_s) \chi_1 + l_{2p}s_2 \chi_2 + l_{3p}(s_3 - c_s - c_{s1}) \chi_3}{l_p(s - c)}}{1 + 0,5 \frac{d_p - d_{оп}}{l_p} + K_1 \frac{d + 2c_s}{D_p} \frac{\varphi l_{1p}}{\varphi_1 l_p}} \right\} = 1$$

Допускаемое давление в пределах пластичности

$$[p]_н = \frac{2K_1(s - c)[\sigma]}{D_p + (s - c)V} V = 5.665 \text{ МПа}$$

Допускаемое давление для узла врезки штуцера

$$[p] = \frac{[p]_н}{\sqrt{1 + \left( \frac{[p]_н}{[p]_с} \right)^2}} = 3.087 \text{ МПа}$$

где

$$K_1 = 1$$

Приведенное суммарное напряжение в зоне обечайки

$$\sigma_{p-o} = 238.3 < 3[\sigma] = 393 \text{ МПа}$$

Приведенное мембранное напряжение в зоне обечайки

$$\sigma_{pm-o} = 112.7 < 1.5[\sigma] = 196.5 \text{ МПа}$$

Приведенное суммарное напряжение в зоне штуцера

$$\sigma_{p-шт} = 196.4 < 3[\sigma] = 393 \text{ МПа}$$

Приведенное мембранное напряжение в зоне штуцера

$$\sigma_{pm-шт} = 163.8 < 1.5[\sigma] = 196.5 \text{ МПа}$$

Приведенное суммарное напряжение на внутренней поверхности обечайки, перехода или днища

$$\sigma_{p-en-o} = 357.1 < 3[\sigma] = 393 \text{ МПа}$$

Приведенное суммарное напряжение на внутренней поверхности штуцера

$$\sigma_{p-en-шт} = 191.6 < 3[\sigma] = 393 \text{ МПа}$$

Узел врезки отвечает условиям прочности в соответствии с требованиями ГОСТ Р 52857.3-2007.

Инв. № подл.	Подп. и дата	Инв. №	Взам. инв.	Подп. и дата					
3	Изм.	б / н	Редикульцев	06.18	20/30КУ-3N-2470.00.00.000 PP				
2	Изм.	б / н	Редикульцев	06.18					
Изм.	Лист	№ док.	Подпись	Дата					
									Лист
									209



Сумма прибавок к расчётной толщине стенки штуцера	$c_s$	3	мм
---	-------	---	----

### Результаты расчёта

### Расчётный внутренний диаметр цилиндрической обечайки

$$D_{\text{p}} = D = 1000 \text{ mm}$$

### Расчётная толщина стенки корпуса

$$s_p = \frac{pD}{2[\sigma]\phi_p - p} = 0.3818 \text{ mm}$$

### Расчётный диаметр отверстия

$$d_p = d + 2c_s = 58 \text{ mm}$$

### Расчётная толщина стенки штуцера

$$s_{lp} = \frac{p(d + 2c_s)}{2[\sigma_b \varphi - p]} = 0.02215 \text{ mm}$$

### Расчётная длина штуцера

$$l_{\text{tp}} = \min \left\{ l_1; 1,25 \sqrt{(d + 2c_s)(s_1 - c_s)} \right\} = 45.65 \text{ mm}$$

### Отношение допускаемых напряжений штуцера и корпуса

$$\chi_1 = \min \left\{ 1, 0, \frac{[\sigma]_1}{[\sigma]} \right\} = \quad 1$$

Ширина зоны укрепления, прилегающей к штуцеру

$$L_o = \sqrt{D_p(s - c)} = 148.7 \text{ mm}$$

Расчётная ширина зоны укрепления, прилегающей к штуцеру

$$l_p = 148.7 \text{ mm}$$

Расчётный диаметр неукрепляемого отверстия

$$d_{\text{оп}} = 0,4 \sqrt{D_p(s - c)} = 59.46 \text{ мм}$$

### Коэффициент понижения прочности узла врезки штуцера

$$V = \min \left\{ 1; \frac{1 + \frac{l_{1p}(s_1 - c_s) \chi_1 + l_{2p}s_2 \chi_2 + l_{3p}(s_3 - c_s - c_{s1}) \chi_3}{l_p(s - c)}}{1 + 0,5 \frac{d_p - d_{op}}{l_p} + \kappa_1 \frac{d + 2c_s}{D_p} \frac{\varphi l_{1p}}{\varphi_1 l_p}} \right\} =$$

### Допускаемое давление в пределах пластичности

$$[p]_n = \frac{2K_1(s-c)[\sigma]}{D_n + (s-c)V} V = 5.665 \text{ МПа}$$

### Допускаемое давление для узла врезки штуцера

$$[\rho] = \frac{[\rho]_{\text{н}}}{\sqrt{1 + \left(\frac{[\rho]_{\text{н}}}{[\rho]_{\text{г}}}\right)^2}} = 3.087 \text{ МПа}$$

где

$$K_1 = 1$$

Узел врезки отвечает условиям прочности в соответствии с требованиями ГОСТ Р 52857.3-2007

Инв. № подл.	Подп. и дата	Взам. инв.	Инв. №	Подп. и дата	$l_p =$	148.7 мм												
					Расчётный диаметр неукрепляемого отверстия $d_{оп} = 0,4\sqrt{D_p(s - c)} =$	59.46 мм												
Инв. № подл.	Подп. и дата	Взам. инв.	Инв. №	Подп. и дата	Коэффициент понижения прочности узла врезки штуцера $V = \min \left\{ 1; \frac{1 + \frac{l_{1p}(s_1 - c_s) \chi_1 + l_{2p}s_2 \chi_2 + l_{3p}(s_3 - c_s - c_{s1}) \chi_3}{l_p(s - c)}}{1 + 0,5 \frac{d_p - d_{оп}}{l_p} + K_1 \frac{d + 2c_s}{D_p} \frac{\varphi l_{1p}}{\varphi l_p}} \right\} =$	1												
					Допускаемое давление в пределах пластичности $[p]_н = \frac{2K_1(s - c)[\sigma]}{D_p + (s - c)V} V =$	5.665 МПа												
Инв. № подл.	Подп. и дата	Взам. инв.	Инв. №	Подп. и дата	Допускаемое давление для узла врезки штуцера $[p] = \frac{[p]_н}{\sqrt{1 + \left( \frac{[p]_н}{[p]_в} \right)^2}} =$	3.087 МПа												
					где $K_1 =$	1												
Инв. № подл.	Подп. и дата	Взам. инв.	Инв. №	Подп. и дата	Узел врезки отвечает условиям прочности в соответствии с требованиями ГОСТ Р 52857.3-2007													
					<table><tr><td>3</td><td>Изм.</td><td>б / н</td><td>Редикульцев</td><td>06.18</td><td rowspan="3">20/30КУ-3N-2470.00.00.000 PP</td><td>Лист</td></tr><tr><td>2</td><td>Изм.</td><td>б / н</td><td>Редикульцев</td><td>06.18</td><td rowspan="2">211</td></tr><tr><td>Изм.</td><td>Лист</td><td>№ док.</td><td>Подпись</td><td>Дата</td></tr></table>	3	Изм.	б / н	Редикульцев	06.18	20/30КУ-3N-2470.00.00.000 PP	Лист	2	Изм.	б / н	Редикульцев	06.18	211
3	Изм.	б / н	Редикульцев	06.18	20/30КУ-3N-2470.00.00.000 PP	Лист												
2	Изм.	б / н	Редикульцев	06.18		211												
Изм.	Лист	№ док.	Подпись	Дата														



Обечайка отвечает условиям прочности и устойчивости в соответствии с требованиями ГОСТ Р 52857.2-2007 .

Инв. № подл.	Подп. и дата		Взам. инв.		Инв. №		Подп. и дата		
3	Изм.	б / н	Редикульцев	06.18	20/30КУ-3N-2470.00.00.000 PP				Лист
2	Изм.	б / н	Редикульцев	06.18					213
Изм.	Лист	№ док.	Подпись	Дата					

Подп. и дата		Допускаемое напряжение для материала обечайки, перехода или днища при расчётной температуре	$[\sigma]$	131	МПа			
		Допускаемое наружное давление в пределах упругости	$[p]_E$	3.681	МПа			
		Внутренний диаметр штуцера	$d$	47	мм			
		Исполнительная толщина стенки штуцера	$s_1$	20	мм			
Инв. №		Исполнительная длина штуцера (для заведомо длинных штуцеров l1=0)	$l_1$	275.9	мм			
		Допускаемое напряжение для материала штуцера	$[\sigma]_1$	131	МПа			
		Коэффициент прочности продольного сварного шва штуцера	$\varphi$	1				
		Расстояние от наружной поверхности штуцера до ближайшего несущего конструктивного элемента (или Lk=0)	$L_k$	237	мм			
Взам. инв.		Длина отверстия в окружном направлении	$t$	58.84	мм			
		Угол между проекциями нормали к поверхности обечайки и оси штуцера на плоскость поперечного сечения обечайки	$\alpha_2$	36.87	град			
		Прибавка для компенсации коррозии и эрозии стенки корпуса	$c_1$	3	мм			
		Прибавка для компенсации минусового допуска стенки корпуса	$c_2$	0.9	мм			
Подп. и дата		Прибавка технологическая стенки корпуса	$c_3$	0	мм			
		Прибавка для компенсации коррозии и эрозии стенки штуцера	$c_{s1}$	3	мм			
		Прибавка для компенсации минусового допуска стенки штуцера	$c_{s2}$	0	мм			
		Прибавка технологическая стенки штуцера	$c_{s3}$	0	мм			
Инв. № подл.		Сумма прибавок к расчётной толщине стенки корпуса	$c$	3.9	мм			
		3	Изм.	б / н	Редикульцев	06.18	20/30КУ-3N-2470.00.00.000 PP	Лист
		2	Изм.	б / н	Редикульцев	06.18		214
		Изм.	Лист	№ док.	Подпись	Дата		

Сумма прибавок к расчётной толщине стенки штуцера

$c_s$	3	MM
-------	---	----

### Результаты расчёта

### Расчётный внутренний диаметр цилиндрической обечайки

$$D_n = D = 1000 \text{ mm}$$

### Расчётная толщина стенки корпуса

$$s_p = \frac{pD}{2[\sigma]\phi_0 - p} = 0.3818 \text{ mm}$$

### Расчётный диаметр отверстия

$$d_p = \max\{d; 0,5t\} + 2c_s = 53 \text{ mm}$$

### Расчётная толщина стенки штуцера

$$s_{lp} = \frac{p(d + 2c_s)}{2[\sigma] \varphi_1 - p} = 0.02024 \text{ mm}$$

### Расчётная длина штуцера

$$l_{1p} = \min \left\{ l_1; 1,25 \sqrt{(d + 2c_s)(s_1 - c_s)} \right\} = 37.52 \text{ mm}$$

### Отношение допускаемых напряжений штуцера и корпуса

$$\chi_1 = \min \left\{ 1, 0; \frac{[\sigma]_1}{[\sigma]} \right\} = \quad 1$$

Ширина зоны укрепления, прилегающей к штуцеру

$$L_o = \sqrt{D_p(s - c)} = 148.7 \text{ mm}$$

Расчётная ширина зоны укрепления, прилегающей к штуцеру

$$l_p = 148.7 \text{ mm}$$

Расчётный диаметр неукрепляемого отверстия

$$d_{\text{op}} = 0,4 \sqrt{D_p(s - c)} = 59.46 \text{ mm}$$

Коэффициент понижения прочности узла врезки штуцера

$$V = \min \left\{ 1; \frac{1 + \frac{l_p(s_1 - c_s)}{D_p} x_1 + \frac{l_p s_2}{D_p} x_2 + \frac{l_p(s_3 - c_s - c_{s1})}{D_p} x_3}{1 + 0,5 \frac{d_p - d_{op}}{l_p} + K_1 \frac{d + 2c_s}{D_p} \frac{\varphi l_p}{q_1 l_p}} \right\} =$$

### Допускаемое давление в пределах пластичности

$$[p]_n = \frac{2K_1(s-c)[\sigma]}{D_p + (s-c)V} = 5.665 \text{ МПа}$$

### Допускаемое давление для узла врезки штуцера

$$[\mathcal{P}] = \frac{[\mathcal{P}]_{\text{н}}}{\sqrt{1 + \left( \frac{[\mathcal{P}]_{\text{н}}}{[\mathcal{P}]_{\text{в}}} \right)^2}} = 3.087 \text{ МПа}$$

где

$$K_1 = 1$$

Узел врезки отвечает условиям прочности в соответствии с требованиями ГОСТ Р 52857.3-2007.

Подп. и дата	Расчётный диаметр неукрепляемого отверстия					148.7 мм
	$d_{\text{оп}} = 0,4 \sqrt{D_p (s - c)} =$					59.46 мм
Инв. №	Коэффициент понижения прочности узла врезки штуцера					
	$V = \min \left\{ 1; \frac{1 + \frac{l_{1p}(s_1 - c_s) \chi_1 + l_{2p}s_2 \chi_2 + l_{3p}(s_3 - c_s - c_{s1}) \chi_3}{l_p(s - c)}}{1 + 0,5 \frac{d_p - d_{\text{оп}}}{l_p} + K_1 \frac{d + 2c_s}{D_p} \frac{\varphi l_{1p}}{\varphi_1 l_p}} \right\} =$					1
Взам. инв.	Допускаемое давление в пределах пластичности					
	$[p]_{\text{н}} = \frac{2K_1(s - c)[\sigma]}{D_p + (s - c)V} V =$					5.665 МПа
Подп. и дата	Допускаемое давление для узла врезки штуцера					
	$[p] = \frac{[p]_{\text{н}}}{\sqrt{1 + \left( \frac{[p]_{\text{н}}}{[p]_{\text{в}}} \right)^2}} =$					3.087 МПа
Инв. № подл.	где					
	$K_1 =$					1
Узел врезки отвечает условиям прочности в соответствии с требованиями ГОСТ Р 52857.3-2007.						
Инв. № подл.	3	Изм.	б / н	Редикульцев	06.18	20/30КУ-3N-2470.00.00.000 PP
	2	Изм.	б / н	Редикульцев	06.18	
	Изм.	Лист	№ док.	Подпись	Дата	
						Лист 215





Сумма прибавок к расчётной толщине стенки штуцера  $c_s$  3 мм

**Результаты расчёта**

Расчётный внутренний диаметр цилиндрической обечайки  
 $D_p = D =$  1000 мм

Расчётная толщина стенки корпуса  
 $s_p = \frac{pD}{2[\sigma]\varphi_p - p} =$  0.3818 мм

Расчётный диаметр отверстия  
 $d_p = \max\{d; 0,5t\} + 2c_s =$  53 мм

Расчётная толщина стенки штуцера  
 $s_{1p} = \frac{p(d + 2c_s)}{2[\sigma_1]\varphi_1 - p} =$  0.02024 мм

Расчётная длина штуцера  
 $l_{1p} = \min\{l_1; 1,25\sqrt{(d + 2c_s)(s_1 - c_s)}\} =$  37.52 мм

Отношение допускаемых напряжений штуцера и корпуса  
 $\chi_1 = \min\left\{1,0; \frac{[\sigma_1]}{[\sigma]}\right\} =$  1

Ширина зоны укрепления, прилегающей к штуцеру  
 $L_o = \sqrt{D_p(s - c)} =$  148.7 мм

Расчётная ширина зоны укрепления, прилегающей к штуцеру  
 $l_p =$  148.7 мм

Расчётный диаметр неукрепляемого отверстия  
 $d_{op} = 0,4\sqrt{D_p(s - c)} =$  59.46 мм

Коэффициент понижения прочности узла врезки штуцера  
 $V = \min\left\{1; \frac{1 + \frac{l_{1p}(s_1 - c_s)\chi_1 + l_{2p}s_2\chi_2 + l_{3p}(s_3 - c_s - c_{s1})\chi_3}{l_p(s - c)}}{1 + 0,5\frac{d_p - d_{op}}{l_p} + K_1\frac{d + 2c_s}{D_p}\frac{\varphi}{\varphi_1}\frac{l_{1p}}{l_p}}\right\} =$  1

Допускаемое давление в пределах пластичности  
 $[p]_n = \frac{2K_1(s - c)[\sigma]V}{D_p + (s - c)V} =$  5.665 МПа

Допускаемое давление для узла врезки штуцера  
 $[p] = \frac{[p]_n}{\sqrt{1 + \left(\frac{[p]_n}{[p]_s}\right)^2}} =$  3.087 МПа

где  
 $K_1 =$  1

Узел врезки отвечает условиям прочности в соответствии с требованиями ГОСТ Р 52857.3-2007.

Инв. № подл.	Подп. и дата	Взам. инв.	Инв. №	Подп. и дата	Расчётный диаметр неукрепляемого отверстия	148.7 мм			
					$d_{\text{оп}} = 0,4\sqrt{D_{\text{п}}(s - c)} =$	59.46 мм			
					Коэффициент понижения прочности узла врезки штуцера				
					$V = \min \left\{ 1; \frac{1 + \frac{l_{1\text{п}}(s_1 - c_1) \chi_1 + l_{2\text{п}}s_2 \chi_2 + l_{3\text{п}}(s_3 - c_3 - c_{31}) \chi_3}{l_{\text{п}}(s - c)}}{1 + 0,5 \frac{d_{\text{п}} - d_{\text{оп}}}{l_{\text{п}}} + K_1 \frac{d + 2c_3}{D_{\text{п}}} \frac{\varphi l_{1\text{п}}}{\varphi_1 l_{\text{п}}}} \right\} =$	1			
Инв. № подл.	Подп. и дата	Взам. инв.	Инв. №	Подп. и дата	Допускаемое давление в пределах пластичности				
					$[p]_{\text{н}} = \frac{2K_1(s - c)[\sigma]}{D_{\text{п}} + (s - c)V} V =$	5.665 МПа			
					Допускаемое давление для узла врезки штуцера				
					$[p] = \frac{[p]_{\text{н}}}{\sqrt{1 + \left( \frac{[p]_{\text{н}}}{[p]_{\text{в}}} \right)^2}} =$	3.087 МПа			
Инв. № подл.	Подп. и дата	Взам. инв.	Инв. №	Подп. и дата	где				
					$K_1 =$	1			
					Узел врезки отвечает условиям прочности в соответствии с требованиями ГОСТ Р 52857.3-2007.				

3	Изм.	б / н	Редикульцев	06.18	20/30КУ-3N-2470.00.00.000 PP	Лист
2	Изм.	б / н	Редикульцев	06.18		217
Изм.	Лист	№ док.	Подпись	Дата		

## 4.8. Штуцера L2 и L4 DN50

Расчёт на прочность по ГОСТ Р 52857.3-2007.

*Расчёт выполнен с помощью пакета прикладных программ расчёта на прочность элементов сосудов, аппаратов и трубопроводов PVP Design (Свидетельство о государственной регистрации 2008614973)*

Элемент: Укрепление отверстий в обечайках и днищах.

Наружное давление.

Отверстие в цилиндрической обечайке.

Расчёт укрепления одиночного отверстия.

Укрепление непропущенным (непроходящим) штуцером.

Наклонный штуцер, ось которого лежит в плоскости поперечного сечения обечайки.

Только расчёт укрепления отверстия.

Режим: Расчет на вакуум.

### Исходные данные

Материал корпуса	20КА, Лист		
Материал штуцера	20КА, Поковка		
Расчётная температура	$T$	252	°C
Расчётное давление	$P$	0.1	МПа
Внутренний диаметр обечайки, днища или конического перехода, в месте расположения отверстия	$D$	1000	мм
Исполнительная толщина стенки обечайки, конического перехода или днища	$s$	26	мм
Коэффициент прочности сварных соединений обечаек и днищ	$\varphi$	1	
Допускаемое напряжение для материала обечайки, перехода или днища при расчётной температуре	$[\sigma]$	131	МПа
Допускаемое наружное давление в пределах упругости	$[p]_B$	3.681	МПа
Внутренний диаметр штуцера	$d$	47	мм
Исполнительная толщина стенки штуцера	$s_1$	20	мм
Исполнительная длина штуцера (для заведомо длинных штуцеров $l_1=0$ )	$l_1$	275.9	мм
Допускаемое напряжение для материала штуцера	$[\sigma]_1$	131	МПа
Коэффициент прочности продольного сварного шва штуцера	$\varphi_1$	1	
Расстояние от наружной поверхности штуцера до ближайшего несущего конструктивного элемента (или $L_k=0$ )	$L_k$	237	мм
Длина отверстия в окружном направлении	$t$	58.84	мм
Угол между проекциями нормали к поверхности обечайки и оси штуцера на плоскость поперечного сечения обечайки	$\alpha_2$	-36.87	град
Прибавка для компенсации коррозии и эрозии стенки корпуса	$c_1$	3	мм
Прибавка для компенсации минусового допуска стенки корпуса	$c_2$	0.9	мм
Прибавка технологическая стенки корпуса	$c_3$	0	мм
Прибавка для компенсации коррозии и эрозии стенки штуцера	$c_{s1}$	3	мм
Прибавка для компенсации минусового допуска стенки штуцера	$c_{s2}$	0	мм
Прибавка технологическая стенки штуцера	$c_{s3}$	0	мм
Сумма прибавок к расчётной толщине стенки корпуса	$c$	3.9	мм

Инв. № подл.	Подп. и дата	Взам. инв.	Инв. №	Подп. и дата	3	Изм.	б / н	Редикульцев	06.18	<b>20/30КУ-3N-2470.00.00.000 PP</b>	Лист
						2	Изм.	б / н	Редикульцев		218
						Изм.	Лист	№ док.	Подпись		
									Дата		

Сумма прибавок к расчётной толщине стенки штуцера

$C_s$	3	MM
-------	---	----

### Результаты расчёта

### Расчётный внутренний диаметр цилиндрической обечайки

$$D_p = D =$$

1000 mm

### Расчётная толщина стенки корпуса

$$s_p = \frac{pD}{2[\sigma]\phi_p - p} =$$

0.3818 mm

### Расчётный диаметр отверстия

$$d_n = \max\{d; 0,5t\} + 2c_s =$$

53 MM

### Расчётная толщина стенки штуцера

$$s_{lp} = \frac{p(d + 2c_s)}{2[\sigma] \omega_s - p} =$$

0.02024 MM

### Расчётная длина штуцера

$$l_{lp} = \min \{ l_1; 1,25\sqrt{(d + 2c_s)(s_1 - c_s)} \} =$$

37.52 MM

### Отношение допускаемых напряжений штуцера и корпуса

$$\chi_1 = \min \left\{ 1, 0; \frac{[\sigma]_1}{[\sigma]} \right\} =$$

1

Ширина зоны укрепления, прилегающей к штуцеру

$$L_0 = \sqrt{D_p(s - c)} =$$

148.7 MM

Расчётная ширина зоны укрепления, прилегающей к штуцеру

$$z_p =$$

148.7 MM

Расчётный диаметр неукрепляемого отверстия

$$d_{\text{op}} = 0,4 \sqrt{D_p (s - c)} =$$

59.46 MM

Коэффициент понижения прочности узла врезки штуцера

$$V = \min \left\{ 1; \frac{1 + \frac{l_{1p}(s_1 - c_s)x_1 + l_{2p}s_2x_2 + l_{3p}(s_3 - c_s - c_{s1})x_3}{l_p(s - c)}}{1 + 0,5 \frac{d_p - d_{op}}{l_p} + K_1 \frac{d + 2c_s}{D_p} \frac{\varphi l_{1p}}{\varphi_1 l_p}} \right\} =$$

1

### Допускаемое давление в пределах пластичности

$$[p]_x = \frac{2K_1(s-c)[\sigma]}{D_p + (s-c)V} V =$$

5.665 МПа

### Допускаемое давление для узла врезки штуцера

$$[p] = \frac{[p]_{\text{H}}}{\sqrt{1 + \left( \frac{[p]_{\text{H}}}{[p]_{\text{E}}} \right)^2}} =$$

3.087 МПа

где

$$K_1 =$$

1

Узел врезки отвечает условиям прочности в соответствии с требованиями ГОСТ Р 52857.3-2007.

Подп. и дата	Расчётный диаметр неукрепляемого отверстия					148.7 мм
	$d_{оп} = 0,4 \sqrt{D_p (s - c)} =$					59.46 мм
Инв. №	Коэффициент понижения прочности узла врезки штуцера					
	$V = \min \left\{ 1; \frac{1 + \frac{l_{1p}(s_1 - c_s) \chi_1 + l_{2p}s_2 \chi_2 + l_{3p}(s_3 - c_s - c_{s1}) \chi_3}{l_p(s - c)}}{1 + 0,5 \frac{d_p - d_{оп}}{l_p} + K_1 \frac{d + 2c_s}{D_p} \frac{\varphi l_{1p}}{\varphi l_p}} \right\} =$					1
Взам. инв.	Допускаемое давление в пределах пластичности					
	$[p]_н = \frac{2K_1(s - c)[\sigma]}{D_p + (s - c)V} V =$					5.665 МПа
Подп. и дата	Допускаемое давление для узла врезки штуцера					
	$[p] = \frac{[p]_н}{\sqrt{1 + \left( \frac{[p]_н}{[p]_в} \right)^2}} =$					3.087 МПа
Инв. № подл.	где					
	$K_1 =$					1
Узел врезки отвечает условиям прочности в соответствии с требованиями ГОСТ Р 52857.3-2007.						
3	Изм.	б / н	Редикульцев	06.18	<b>20/30КУ-3N-2470.00.00.000 PP</b>	Лист
2	Изм.	б / н	Редикульцев	06.18		219
Изм.	Лист	№ док.	Подпись	Дата		



Сумма прибавок к расчётной толщине стенки штуцера

 $C_3$ 

3

MM

### Результаты расчёта

### Расчётный внутренний диаметр цилиндрической обечайки

$$D_p = D =$$

1000 mm

### Расчётная толщина стенки корпуса

$$s_p = \frac{pD}{2[\sigma]\phi_p - p} =$$

0.3818 mm

### Расчётный диаметр отверстия

$$d_n = \max\{d; 0,5t\} + 2c_s =$$

53 MM

### Расчётная толщина стенки штуцера

$$s_{lp} = \frac{p(d + 2c_s)}{2[\sigma] \omega_s - p} =$$

0.02024 MM

### Расчётная длина штуцера

$$l_{lp} = \min \{ l_1; 1,25\sqrt{(d + 2c_s)(s_1 - c_s)} \} =$$

37.52 MM

### Отношение допускаемых напряжений штуцера и корпуса

$$\chi_1 = \min \left\{ 1, 0; \frac{[\sigma]_1}{[\sigma]} \right\} =$$

1

Ширина зоны укрепления, прилегающей к штуцеру

$$L_0 = \sqrt{D_p (s - c)} =$$

148.7 MM

Расчётная ширина зоны укрепления, прилегающей к штуцеру

$$z_p =$$

148.7 MM

Расчётный диаметр неукрепляемого отверстия

$$d_{\text{op}} = 0,4 \sqrt{D_p(s-c)} =$$

59.46 MM

Коэффициент понижения прочности узла врезки штуцера

$$V = \min \left\{ 1; \frac{1 + \frac{l_{1p}(s_1 - c_s)}{l_p} x_1 + \frac{l_{2p}s_2}{l_p} x_2 + \frac{l_{3p}(s_3 - c_s - c_{s1})}{l_p} x_3}{1 + 0,5 \frac{d_p - d_{op}}{l_p} + K_1 \frac{d + 2c_s}{D_p} \frac{\varphi l_{1p}}{\varphi_1 l_p}} \right\} =$$

1

### Допускаемое давление в пределах пластичности

$$[p]_x = \frac{2K_1(s-c)[\sigma]}{D_n + (s-c)V} V =$$

5.665 МПа

### Допускаемое давление для узла врезки штуцера

$$[p] = \frac{[p]_{\text{H}}}{\sqrt{1 + \left( \frac{[p]_{\text{H}}}{[p]_{\text{E}}} \right)^2}} =$$

3.087 МПа

где

$$K_1 =$$

1

Узел врезки отвечает условиям прочности в соответствии с требованиями ГОСТ Р 52857.3-2007.

Подп. и дата	Расчётный диаметр неукрепляемого отверстия $d_{\text{оп}} = 0,4 \sqrt{D_p (s - c)} =$ 148.7 мм				
Инв. №	Коэффициент понижения прочности узла врезки штуцера $V = \min \left\{ 1; \frac{1 + \frac{l_{1p}(s_1 - c_s) \chi_1 + l_{2p}s_2 \chi_2 + l_{3p}(s_3 - c_s - c_{s1}) \chi_3}{l_p(s - c)}}{1 + 0,5 \frac{d_p - d_{\text{оп}}}{l_p} + K_1 \frac{d + 2c_s}{D_p} \frac{\varphi l_{1p}}{\varphi l_p}} \right\} =$ 59.46 мм				
Взам. инв.	Допускаемое давление в пределах пластичности $[p]_{\text{н}} = \frac{2K_1(s - c)[\sigma]}{D_p + (s - c)V} V =$ 1				
Подп. и дата	Допускаемое давление для узла врезки штуцера $[p] = \frac{[p]_{\text{н}}}{\sqrt{1 + \left( \frac{[p]_{\text{н}}}{[p]_{\text{в}}} \right)^2}} =$ 5.665 МПа				
Инв. № подл.	где $K_1 =$ 3.087 МПа				
Узел врезки отвечает условиям прочности в соответствии с требованиями ГОСТ Р 52857.3-2007.					
3	Изм.	б / н	Редикульцев	06.18	20/30КУ-3N-2470.00.00.000 PP
2	Изм.	б / н	Редикульцев	06.18	
Изм.	Лист	№ док.	Подпись	Дата	
					Лист
					221



Сумма прибавок к расчётной толщине стенки штуцера

 $c_s$ 

3

MM

### Результаты расчёта

### Расчётный внутренний диаметр цилиндрической обечайки

$$D_p = D =$$

1000 mm

### Расчётная толщина стенки корпуса

$$s_p = \frac{pD}{2[\sigma]\phi_p - p} =$$

0.3818 mm

### Расчётный диаметр отверстия

$$d_n = \max\{d; 0,5t\} + 2c_s =$$

53 MM

### Расчётная толщина стенки штуцера

$$s_{lp} = \frac{p(d + 2c_s)}{2[\sigma] \omega_s - p} =$$

0.02024 MM

### Расчётная длина штуцера

$$l_{lp} = \min \{ l_1; 1,25\sqrt{(d + 2c_s)(s_1 - c_s)} \} =$$

37.52 MM

### Отношение допускаемых напряжений штуцера и корпуса

$$\chi_1 = \min \left\{ 1, 0; \frac{[\sigma]_1}{[\sigma]} \right\} =$$

1

Ширина зоны укрепления, прилегающей к штуцеру

$$L_0 = \sqrt{D_p (s - c)} =$$

148.7 MM

Расчётная ширина зоны укрепления, прилегающей к штуцеру

$$z_p =$$

148.7 MM

Расчётный диаметр неукрепляемого отверстия

$$d_{\text{op}} = 0,4 \sqrt{D_p (s - c)} =$$

59.46 MM

Коэффициент понижения прочности узла врезки штуцера

$$V = \min \left\{ 1; \frac{1 + \frac{l_{1p}(s_1 - c_s)}{l_p} \chi_1 + \frac{l_{2p} s_2}{l_p} \chi_2 + \frac{l_{3p}(s_3 - c_s - c_{s1})}{l_p} \chi_3}{1 + 0,5 \frac{d_p - d_{op}}{l_p} + K_1 \frac{d + 2c_s}{D_p} \frac{\varphi l_{1p}}{\varphi_1 l_p}} \right\} =$$

1

### Допускаемое давление в пределах пластичности

$$[p]_x = \frac{2K_1(s-c)[\sigma]}{D_p + (s-c)V} V =$$

5.665 МПа

### Допускаемое давление для узла врезки штуцера

$$[p] = \frac{[p]_{\text{H}}}{\sqrt{1 + \left( \frac{[p]_{\text{H}}}{[p]_{\text{E}}} \right)^2}} =$$

3.087 МПа

где

$$K_1 =$$

1

Узел врезки отвечает условиям прочности в соответствии с требованиями ГОСТ Р 52857.3-2007.

Подп. и дата	Расчётный диаметр неукрепляемого отверстия $d_{op} = 0,4 \sqrt{D_p (s - c)} =$ 148.7 мм				
Инв. №	Коэффициент понижения прочности узла врезки штуцера $V = \min \left\{ 1; \frac{1 + \frac{l_{1p}(s_1 - c_s) \chi_1 + l_{2p}s_2 \chi_2 + l_{3p}(s_3 - c_s - c_{s1}) \chi_3}{l_p(s - c)}}{1 + 0,5 \frac{d_p - d_{op}}{l_p} + K_1 \frac{d + 2c_s}{D_p} \frac{\varphi l_{1p}}{\varphi l_p}} \right\} =$ 59.46 мм				
Взам. инв.	Допускаемое давление в пределах пластичности $[p]_n = \frac{2K_1(s - c)[\sigma]}{D_p + (s - c)V} V =$ 1				
Подп. и дата	Допускаемое давление для узла врезки штуцера $[p] = \frac{[p]_n}{\sqrt{1 + \left( \frac{[p]_n}{[p]_B} \right)^2}} =$ 5.665 МПа				
Инв. № подл.	где $K_1 =$ 3.087 МПа				
Узел врезки отвечает условиям прочности в соответствии с требованиями ГОСТ Р 52857.3-2007.					
3	Изм.	б / н	Редикульцев	06.18	20/30КУ-3N-2470.00.00.000 PP
2	Изм.	б / н	Редикульцев	06.18	
Изм.	Лист	№ док.	Подпись	Дата	
					Лист
					223





Сумма прибавок к расчётной толщине стенки штуцера

 $C_3$ 

3

MM

### Результаты расчёта

### Расчётный внутренний диаметр цилиндрической обечайки

$$D_p = D =$$

1000 MM

### Расчётная толщина стенки корпуса

$$s_p = \frac{pD}{2[\sigma]\varphi_p - p} =$$

0.3818 MM

### Расчётный диаметр отверстия

$$d_p = \max\{d; 0,5t\} + 2c_s =$$

53 MM

### Расчётная толщина стенки штуцера

$$s_{lp} = \frac{p(d + 2c_s)}{2[\sigma_1 \varphi_1 - p]} =$$

0.02024 mm

### Расчётная длина штуцера

$$l_{lp} = \min \{l_1; 1,25\sqrt{(d+2c_s)(s_1-c_s)}\} =$$

37.52 MM

### Отношение допускаемых напряжений штуцера и корпуса

$$\chi_1 = \min \left\{ 1, 0; \frac{[\sigma]_1}{[\sigma]} \right\} =$$

1

Ширина зоны укрепления, прилегающей к штуцеру

$$L_0 = \sqrt{D_p (s - c)} =$$

148.7 MM

Расчётная ширина зоны укрепления, прилегающей к штуцеру

$$z_p =$$

148.7 MM

Расчётный диаметр неукрепляемого отверстия

$$d_{\text{op}} = 0,4 \sqrt{D_p (s - c)} =$$

59.46 mm

### Коэффициент понижения прочности узла врезки штуцера

$$V = \min \left\{ 1; \frac{1 + \frac{l_{1p}(s_1 - c_s)}{l_p} x_1 + \frac{l_{2p}s_2}{l_p} x_2 + \frac{l_{3p}(s_3 - c_s - c_{s1})}{l_p} x_3}{1 + 0,5 \frac{d_p - d_{op}}{l_p} + K_1 \frac{d + 2c_s}{D_p} \frac{\varphi l_{1p}}{\varphi_1 l_p}} \right\} =$$

1

### Допускаемое давление в пределах пластичности

$$[p]_n = \frac{2K_1(s-c)[\sigma]}{D_n + (s-c)V} V =$$

5.665 МПа

### Допускаемое давление для узла врезки штуцера

$$[p] = \frac{[p]_{\text{H}}}{\sqrt{1 + \left( \frac{[p]_{\text{H}}}{[p]_{\text{E}}} \right)^2}} =$$

3.087 МПа

где

$$K_1 =$$

1

Узел врезки отвечает условиям прочности в соответствии с требованиями ГОСТ Р 52857.3-2007.

Подл. и дата	$l_p = 148.7 \text{ мм}$				
Инв. №	<p>Расчётный диаметр неукрепляемого отверстия</p> $d_{op} = 0,4\sqrt{D_p(s-c)} = 59.46 \text{ мм}$				
Взам. инв.	<p>Коэффициент понижения прочности узла врезки штуцера</p> $V = \min \left\{ 1; \frac{1 + \frac{l_{1p}(s_1 - c_1)}{l_p} \chi_1 + \frac{l_{2p}s_2}{l_p} \chi_2 + \frac{l_{3p}(s_3 - c_3 - c_{s1})}{l_p} \chi_3}{1 + 0,5 \frac{d_p - d_{op}}{l_p} + K_1 \frac{d + 2c_3}{D_p} \frac{\varphi l_{1p}}{\varphi l_p}} \right\} = 1$				
Подл. и дата	<p>Допускаемое давление в пределах пластичности</p> $[p]_n = \frac{2K_1(s-c)[\sigma]}{D_p + (s-c)V} V = 5.665 \text{ МПа}$				
Инв. № подл.	<p>Допускаемое давление для узла врезки штуцера</p> $[p] = \frac{[p]_n}{\sqrt{1 + \left( \frac{[p]_n}{[p]_g} \right)^2}} = 3.087 \text{ МПа}$				
Лист	<p>где</p> $K_1 = 1$				
Изм.	<p>Узел врезки отвечает условиям прочности в соответствии с требованиями ГОСТ Р 52857.3-2007.</p>				
3	Изм.	б / н	Редикульцев	06.18	<p><b>20/30КУ-3N-2470.00.00.000 PP</b></p>
2	Изм.	б / н	Редикульцев	06.18	
Изм.	Лист	№ док.	Подпись	Дата	
					Лист
					225





$$V = \min \left\{ 1; \frac{1 + \frac{l_{1p}(s_1 - c_s) \chi_1 + l_{2p}s_2 \chi_2 + l_{3p}(s_3 - c_s - c_{s1}) \chi_3}{l_p(s - c)}}{1 + 0,5 \frac{d_p - d_{оп}}{l_p} + K_1 \frac{d + 2c_s}{D_p} \frac{\varphi l_{1p}}{\varphi_1 l_p}} \right\} = 1$$

Допускаемое давление в пределах пластичности

$$[p]_н = \frac{2K_1(s - c)[\sigma]}{D_p + (s - c)V} V = 5.665 \text{ МПа}$$

Допускаемое давление для узла врезки штуцера

$$[p] = \frac{[p]_н}{\sqrt{1 + \left( \frac{[p]_н}{[p]_с} \right)^2}} = 3.087 \text{ МПа}$$

где

$$K_1 = 1$$

Приведенное суммарное напряжение в зоне обечайки

$$\sigma_{p-o} = 10.69 < 3[\sigma] = 393 \text{ МПа}$$

Приведенное мембранное напряжение в зоне обечайки

$$\sigma_{pm-o} = 9.28 < 1.5[\sigma] = 196.5 \text{ МПа}$$

Приведенное суммарное напряжение в зоне штуцера

$$\sigma_{p-шт} = 10.5 < 3[\sigma] = 393 \text{ МПа}$$

Приведенное мембранное напряжение в зоне штуцера

$$\sigma_{pm-шт} = 9.7 < 1.5[\sigma] = 196.5 \text{ МПа}$$

Приведенное суммарное напряжение на внутренней поверхности обечайки, перехода или днища

$$\sigma_{p-en-o} = 15.59 < 3[\sigma] = 393 \text{ МПа}$$

Приведенное суммарное напряжение на внутренней поверхности штуцера

$$\sigma_{p-en-шт} = 15.63 < 3[\sigma] = 393 \text{ МПа}$$

Узел врезки отвечает условиям прочности в соответствии с требованиями ГОСТ Р 52857.3-2007.

Инв. № подл.	Подп. и дата	Инв. №	Взам. инв.	Подп. и дата					
3	Изм.	б / н	Редикульцев	06.18	20/30КУ-3N-2470.00.00.000 PP				
2	Изм.	б / н	Редикульцев	06.18					
Изм.	Лист	№ док.	Подпись	Дата					
									Лист
									228



Обечайка отвечает условиям прочности и устойчивости в соответствии с требованиями ГОСТ Р 52857.2-2007.

Инв. № подл.	Подп. и дата					Взам. инв.	Инв. №	Подп. и дата
3	Изм.	б / н	Редикульцев	06.18	<div>20/30КУ-3N-2470.00.00.000 PP</div>			
2	Изм.	б / н	Редикульцев	06.18				
Изм.	Лист	№ док.	Подпись	Дата				
					Лист			
					230			

## 4.14. Штуцер E DN32

Расчёт на прочность по ГОСТ Р 52857.3-2007.

Расчёт выполнен с помощью пакета прикладных программ расчёта на прочность элементов сосудов, аппаратов и трубопроводов PVP Design (Свидетельство о государственной регистрации 2008614973)

Элемент: Укрепление отверстий в обечайках и днищах.

Наружное давление.

Отверстие в цилиндрической обечайке.

Расчёт укрепления одиночного отверстия.

Укрепление непропущенным (непроходящим) штуцером.

Наклонный штуцер, ось которого лежит в плоскости поперечного сечения обечайки.

Только расчёт укрепления отверстия.

Штуцер с утолщенной частью - переход в виде радиуса.

Режим: Расчет на вакуум.

### Исходные данные

Материал корпуса	20КА, Лист		
Материал штуцера	20КА, Поковка		
Расчётная температура	$T$	252	°C
Расчётное давление	$P$	0.1	МПа
Внутренний диаметр обечайки, днища или конического перехода, в месте расположения отверстия	$D$	1000	мм
Исполнительная толщина стенки обечайки, конического перехода или днища	$s$	26	мм
Коэффициент прочности сварных соединений обечаек и днищ	$\varphi$	1	
Допускаемое напряжение для материала обечайки, перехода или днища при расчётной температуре	$[\sigma]$	131	МПа
Допускаемое наружное давление в пределах упругости	$[p]_B$	3.681	МПа
Внутренний диаметр штуцера	$d$	36	мм
Исполнительная толщина стенки штуцера	$s_1$	26	мм
Исполнительная длина штуцера (для заведомо длинных штуцеров $l_1=0$ )	$l_1$	100	мм
Допускаемое напряжение для материала штуцера	$[\sigma]_1$	131	МПа
Коэффициент прочности продольного сварного шва штуцера	$\varphi_1$	1	
Расстояние от наружной поверхности штуцера до ближайшего несущего конструктивного элемента (или $L_k=0$ )	$L_k$	1544	мм
Длина отверстия в окружном направлении	$t$	36.48	мм
Угол между проекциями нормали к поверхности обечайки и оси штуцера на плоскость поперечного сечения обечайки	$\alpha_n$	9.207	град
Прибавка для компенсации коррозии и эрозии стенки корпуса	$c_1$	3	мм
Прибавка для компенсации минусового допуска стенки корпуса	$c_2$	0.9	мм
Прибавка технологическая стенки корпуса	$c_3$	0	мм
Прибавка для компенсации коррозии и эрозии стенки штуцера	$c_{s1}$	3	мм
Прибавка для компенсации минусового допуска стенки штуцера	$c_{s2}$	0	мм
Прибавка технологическая стенки штуцера	$c_{s3}$	0	мм
Сумма прибавок к расчётной толщине стенки корпуса	$c$	3.9	мм

Инв. № подл.	Подп. и дата	Взам. инв.	Инв. №	Подп. и дата	Лист
3	Изм.	б / н	Редикульцев	06.18	20/30КУ-3N-2470.00.00.000 PP
2	Изм.	б / н	Редикульцев	06.18	
Изм.	Лист	№ док.	Подпись	Дата	
					231

Сумма прибавок к расчётной толщине стенки штуцера

$C_s$	3	MM
-------	---	----

### Результаты расчёта

### Расчётный внутренний диаметр цилиндрической обечайки

$$D_p = D =$$

1000 mm

### Расчётная толщина стенки корпуса

$$s_p = \frac{pD}{2[\sigma]\phi_p - p} =$$

0.3818 mm

Расчётный диаметр отверстия

$$d_n = \max\{d; 0,5t\} + 2c_s =$$

42 MM

### Расчётная толщина стенки штуцера

$$s_{lp} = \frac{p(d + 2c_s)}{2[\sigma_1 \varphi_1 - p]} =$$

0.01604 mm

### Расчётная длина штуцера

$$l_{lp} = \min \{ l_1; 1,25\sqrt{(d + 2c_s)(s_1 - c_s)} \} =$$

38.85 MM

### Отношение допускаемых напряжений штуцера и корпуса

$$\chi_1 = \min \left\{ 1, 0; \frac{[\sigma]_1}{[\sigma]} \right\} =$$

1

Ширина зоны укрепления, прилегающей к штуцеру

$$L_0 = \sqrt{D_p (s - c)} =$$

148.7 MM

Расчётная ширина зоны укрепления, прилегающей к штуцеру

$$z_p =$$

148.7 MM

Расчётный диаметр неукрепляемого отверстия

$$d_{\text{op}} = 0,4 \sqrt{D_p(s-c)} =$$

59.46 MM

Коэффициент понижения прочности узла врезки штуцера

$$V = \min \left\{ 1; \frac{1 + \frac{l_{1p}(s_1 - c_s) \chi_1 + l_{2p}s_2 \chi_2 + l_{3p}(s_3 - c_s - c_{s1}) \chi_3}{l_p(s - c)}}{1 + 0,5 \frac{d_p - d_{op}}{l_p} + K_1 \frac{d + 2c_s}{D_p} \frac{\varphi l_{1p}}{\varphi_1 l_p}} \right\} =$$

1

### Допускаемое давление в пределах пластичности

$$[p]_x = \frac{2K_1(s-c)[\sigma]}{D_p + (s-c)V} V =$$

5.665 МПа

### Допускаемое давление для узла врезки штуцера

$$[p] = \frac{[p]_{\text{H}}}{\sqrt{1 + \left( \frac{[p]_{\text{H}}}{[p]_{\text{E}}} \right)^2}} =$$

3.087 МПа

где

$$K_1 =$$

1

Узел врезки отвечает условиям прочности в соответствии с требованиями ГОСТ Р 52857.3-2007.

[illegible]





Инв. № подл.	Подп. и дата	Взам. инв.	Инв. №	Подп. и дата
3	Изм.	б / н	Редикульцев	06.18
2	Изм.	б / н	Редикульцев	06.18
Изм.	Лист	№ док.	Подпись	Дата

20/30КУ-3N-2470.00.00.000 PP

Лист

234





$$V = \min \left\{ 1; \frac{1 + \frac{l_{1p}(s_1 - c_s) \chi_1 + l_{2p}s_2 \chi_2 + l_{3p}(s_3 - c_s - c_{s1}) \chi_3}{l_p(s - c)}}{1 + 0,5 \frac{d_p - d_{оп}}{l_p} + K_1 \frac{d + 2c_s}{D_p} \frac{\varphi l_{1p}}{\varphi_1 l_p}} \right\} = 1$$

Допускаемое давление в пределах пластичности

$$[p]_н = \frac{2K_1(s - c)[\sigma]}{D_p + (s - c)V} V = 5.665 \text{ МПа}$$

Допускаемое давление для узла врезки штуцера

$$[p] = \frac{[p]_н}{\sqrt{1 + \left( \frac{[p]_н}{[p]_с} \right)^2}} = 3.087 \text{ МПа}$$

где

$$K_1 = 1$$

Приведенное суммарное напряжение в зоне обечайки

$$\sigma_{p-o} = 20.27 < 3[\sigma] = 393 \text{ МПа}$$

Приведенное мембранное напряжение в зоне обечайки

$$\sigma_{pm-o} = 18.03 < 1.5[\sigma] = 196.5 \text{ МПа}$$

Приведенное суммарное напряжение в зоне штуцера

$$\sigma_{p-шт} = 22.27 < 3[\sigma] = 393 \text{ МПа}$$

Приведенное мембранное напряжение в зоне штуцера

$$\sigma_{pm-шт} = 20.49 < 1.5[\sigma] = 196.5 \text{ МПа}$$

Приведенное суммарное напряжение на внутренней поверхности обечайки, перехода или днища

$$\sigma_{p-en-o} = 26.98 < 3[\sigma] = 393 \text{ МПа}$$

Приведенное суммарное напряжение на внутренней поверхности штуцера

$$\sigma_{p-en-шт} = 42.93 < 3[\sigma] = 393 \text{ МПа}$$

Узел врезки отвечает условиям прочности в соответствии с требованиями ГОСТ Р 52857.3-2007.

Инв. № подл.	Подп. и дата	Инв. №	Взам. инв.	Подп. и дата					
3	Изм.	б / н	Редикульцев	06.18	20/30КУ-3N-2470.00.00.000 PP				
2	Изм.	б / н	Редикульцев	06.18					
Изм.	Лист	№ док.	Подпись	Дата					
									Лист
									237



Сумма прибавок к расчётной толщине стенки штуцера

 $C_3$ 

3

MM

### Результаты расчёта

### Расчётный внутренний диаметр цилиндрической обечайки

$$D_p = D =$$

1000 mm

### Расчётная толщина стенки корпуса

$$s_p = \frac{pD}{2[\sigma]\phi_p - p} =$$

0.3818 mm

Расчётный диаметр отверстия

$$d_{\text{D}}^2 = d^2 + 2c_s =$$

53 MM

### Расчётная толщина стенки штуцера

$$s_{lp} = \frac{p(d + 2c_s)}{2[\sigma_0 \omega_0 - p]} =$$

0.02024 MM

### Расчётная длина штуцера

$$l_{lp} = \min \{ l_1, 1, 25\sqrt{(d + 2c_s)(s_1 - c_s)} \} =$$

37.52 MM

### Отношение допускаемых напряжений штуцера и корпуса

$$\chi_1 = \min \left\{ 1, 0; \frac{[\sigma]_1}{[\sigma]} \right\} =$$

1

Ширина зоны укрепления, прилегающей к штуцеру

$$L_0 = \sqrt{D_p (s - c)} =$$

148.7 MM

Расчётная ширина зоны укрепления, прилегающей к штуцеру

$$z_p =$$

148.7 MM

Расчётный диаметр неукрепляемого отверстия

$$d_{\text{op}} = 0,4 \sqrt{D_p (s - c)} =$$

59.46 MM

Коэффициент понижения прочности узла врезки штуцера

$$V = \min \left\{ 1; \frac{1 + \frac{l_{1p}(s_1 - c_s)}{l_p} \chi_1 + \frac{l_{2p} s_2}{l_p} \chi_2 + \frac{l_{3p}(s_3 - c_s - c_{s1})}{l_p} \chi_3}{1 + 0,5 \frac{d_p - d_{op}}{l_p} + K_1 \frac{d + 2c_s}{D_p} \frac{\varphi l_{1p}}{\varphi_1 l_p}} \right\} =$$

1

### Допускаемое давление в пределах пластичности

$$[p]_x = \frac{2K_1(s-c)[\sigma]}{D_p + (s-c)V} V =$$

5.665 МПа

### Допускаемое давление для узла врезки штуцера

$$[p] = \frac{[p]_{\Pi}}{\sqrt{1 + \left( \frac{[p]_{\Pi}}{[p]_E} \right)^2}} =$$

3.087 МПа

где

$$K_1 =$$

1

Узел врезки отвечает условиям прочности в соответствии с требованиями ГОСТ Р 52857.3-2007.

3	Изм.	б / н	Редикульцев	06.18	<div style="text-align: center;"> <b>20/30КУ-3N-2470.00.00.000 PP</b> </div>	Лист
2	Изм.	б / н	Редикульцев	06.18		239
Изм.	Лист	№ док.	Подпись	Дата		

## 4.18. Патрубки штуцеров К1, К2, К3, J DN50

Расчёт на прочность по ГОСТ Р 52857.2-2007.

Расчёт выполнен с помощью пакета прикладных программ расчёта на прочность элементов сосудов, аппаратов и трубопроводов PVP Design (Свидетельство о государственной регистрации 2008614973)

Элемент: Гладкая цилиндрическая обечайка, работающая под действием наружного давления.

Режим: Расчет на вакуум.

### Исходные данные

Материал обечайки	20КА, Труба		
Расчётная температура	T	252	°C
Расчётное давление	P	0.1	МПа
Внутренний диаметр обечайки	D	47	мм
Фактическая длина обечайки	Lact	100	мм
Расчётная длина обечайки	L	100	мм
Толщина стенки обечайки	S	5	мм
Прибавка на коррозию	c <sub>1</sub>	3	мм
Прибавка – минусовый допуск	c <sub>2</sub>	0.75	мм
Прибавка технологическая	c <sub>3</sub>	0	мм
Сумма прибавок к расчётной толщине стенки (см. п.12 ГОСТ Р 52857.1)	c	3.75	мм
Коэффициент прочности продольного сварного шва	φ <sub>p</sub>	1	
Допускаемое напряжение	[σ]	131	МПа
Модуль продольной упругости	E	1.755e+05	МПа

### Результаты расчёта

Допускаемое наружное давление

$$[p] = \frac{[p]_k}{\sqrt{1 + \left(\frac{[p]_n}{[p]_E}\right)^2}} = 5.241 \text{ МПа}$$

Допускаемое наружное давление из условий прочности

$$[p]_k = \frac{2[\sigma](s - c)}{D + (s - c)} = 6.788 \text{ МПа}$$

Допускаемое наружное давление из условий устойчивости в пределах упругости

$$[p]_E = \frac{20,8 \cdot 10^{-6} E D}{n_y \cdot B_1 L} \left[ \frac{100(s - c)}{D} \right]^{2,5} = 8.246$$

Коэффициент

$$B_1 = \min \left\{ 1,0; \quad 9,45 \frac{D}{L} \sqrt{\frac{D}{100(s - c)}} \right\} = 1$$

Наибольший диаметр отверстия не требующего доп. укрепления

$$d_o = 47 \text{ мм}$$

Подп. и дата									
Инв. №									
Взам. инв.									
Подп. и дата									
Инв. № подл.									
3	Изм.	б / н	Редикульцев	06.18	20/30КУ-3N-2470.00.00.000 PP				Лист
2	Изм.	б / н	Редикульцев	06.18					240
Изм.	Лист	№ док.	Подпись	Дата					



Обечайка отвечает условиям прочности и устойчивости в соответствии с требованиями ГОСТ Р 52857.2-2007.

Инв. № подл.	Подп. и дата		Взам. инв.		Инв. №		Подп. и дата		
3	Изм.	б / н	Редикульцев	06.18	20/30КУ-3N-2470.00.00.000 PP				Лист
2	Изм.	б / н	Редикульцев	06.18					241
Изм.	Лист	№ док.	Подпись	Дата					



### Результаты расчёта

Расчётный внутренний диаметр цилиндрической обечайки

$$D_p = D = 1000 \text{ мм}$$

Расчётная толщина стенки корпуса

$$s_p = \frac{pD}{2[\sigma]\varphi_p - p} = 0.3818 \text{ мм}$$

Расчётный диаметр отверстия

$$d_p = d + 2c_s = 52 \text{ мм}$$

Расчётная толщина стенки штуцера

$$s_{1p} = \frac{p(d + 2c_s)}{2[\sigma]_1\varphi_1 - p} = 0.01985 \text{ мм}$$

Расчётная длина штуцера

$$l_{1p} = \min \{l_1; 1,25\sqrt{(d + 2c_s)(s_1 - c_s)}\} = 37.17 \text{ мм}$$

Отношение допускаемых напряжений штуцера и корпуса

$$\chi_1 = \min \left\{ 1, 0, \frac{[\sigma]_1}{[\sigma]} \right\} = 1$$

Ширина зоны укрепления, прилегающей к штуцеру

$$L_0 = \sqrt{D_p(s - c)} = 148.7 \text{ мм}$$

Расчётная ширина зоны укрепления, прилегающей к штуцеру

$$l_p = 148.7 \text{ мм}$$

Расчётный диаметр неукрепляемого отверстия

$$d_{оп} = 0,4\sqrt{D_p(s - c)} = 59.46 \text{ мм}$$

Коэффициент понижения прочности узла врезки штуцера

$$V = \min \left\{ 1; \frac{1 + \frac{l_{1p}(s_1 - c_s)}{l_p} \chi_1 + l_{2p}s_2 \chi_2 + l_{3p}(s_3 - c_s - c_{s1}) \chi_3}{1 + 0,5 \frac{d_p - d_{оп}}{l_p} + K_1 \frac{d + 2c_s}{D_p} \frac{\varphi l_{1p}}{\varphi_1 l_p}} \right\} = 1$$

Допускаемое давление в пределах пластичности

$$[p]_н = \frac{2K_1(s - c)[\sigma]}{D_p + (s - c)V} = 5.665 \text{ МПа}$$

Допускаемое давление для узла врезки штуцера

$$[p] = \frac{[p]_н}{\sqrt{1 + \left( \frac{[p]_н}{[p]_в} \right)^2}} = 3.087 \text{ МПа}$$

где

$$K_1 = 1$$

Узел врезки отвечает условиям прочности в соответствии с требованиями ГОСТ Р 52857.3-2007

Подп. и дата						
Инв. №						
Взам. инв.						
Подп. и дата						
Инв. № подл.						
3	Изм.	б / н	Редикульцев	06.18	<b>20/30КУ-3N-2470.00.00.000 PP</b>	Лист
2	Изм.	б / н	Редикульцев	06.18		243
Изм.	Лист	№ док.	Подпись	Дата		

#### 4.20. Эллиптическое днище барабана DN1000

Расчёт на прочность по ГОСТ Р 52857.2-2007.

*Расчёт выполнен с помощью пакета прикладных программ расчёта на прочность элементов сосудов, аппаратов и трубопроводов PVP Design (Свидетельство о государственной регистрации 2008614973)*

Элемент: Эллиптическое днище, работающее под действием наружного давления.

Режим: Расчет на вакуум.

### *Исходные данные*

## Материал днища

20КА, Лист

### Расчётная температура

T 252 °C

Расчётное давление

p 0.1 МПа

Внутренний диаметр днища

D 1000 MM

Высота выпуклой части днища без учета цилиндрической части

H 250 MM

Исполнительная толщина стенки днища

S<sub>1</sub> 28 MM

### Прибавка на коррозию и эрозию

c<sub>1</sub> 3 MM

### Прибавка – минусовый допуск

$c_2$	0.9	MM
-------	-----	----

## Прибавка технологическая

$c_3$	4.2	MM
-------	-----	----

Сумма прибавок к расчётной толщине стенки

c 8.1 MM

### Коэффициент прочности сварного шва

$$\emptyset \quad 1 \quad -$$

Допускаемое напряжение

$[\sigma]$	131	МПа
------------	-----	-----

Модуль продольной упругости

E 1.755e+05 МПа

### Длина цилиндрической отбортовки

$h_1$  60 MM

### Результаты расчёта

Радиус кривизны в вершине эллиптического или полусферического днища:

$$R = \frac{D^2}{4H} = \quad 1000 \text{ mm}$$

Допускаемое наружное давление:

здесь:

$$[\bar{p}] = \frac{[p]_H}{\sqrt{1 + \left(\frac{[p]_H}{[p]_E}\right)^2}} = 4.578 \text{ МПа}$$

$[p]_n$  – допускаемое наружное давление из условий прочности:

$$[p]_n = \frac{2[\sigma](s_1 - c)}{R + 0.5(s_1 - c)} = 5.162 \text{ МПа}$$

$[p]_E$  – допускаемое наружное давление из условий устойчивости в пределах упругости:

$$[\sigma]_E = \frac{26 \cdot 10^{-6} E}{n_y} \left[ \frac{100(s_1 - c)}{K_3 R} \right]^2 = 9.907 \text{ МПа}$$

где: коэффициент

$$K_{\mathfrak{A}} = 0.8718$$

Подп. и дата					Результаты расчёта	
Инв. №					Допускаемое наружное давление:	
Взам. инв.					здесь:	
Подп. и дата					[p] <sub>н</sub> – допускаемое наружное давление из условий прочности:	
Инв. № подл.					[p] <sub>в</sub> – допускаемое наружное давление из условий устойчивости в пределах упругости:	
3	Изм.	б / н	Редикульцев	06.18	$R = \frac{D^2}{4H} = 1000 \text{ мм}$ $[p] = \frac{[p]_н}{\sqrt{1 + \left( \frac{[p]_н}{[p]_в} \right)^2}} = 4.578 \text{ МПа}$ $[p]_н = \frac{2[\sigma](s_1 - c)}{R + 0.5(s_1 - c)} = 5.162 \text{ МПа}$ $[p]_в = \frac{26 \cdot 10^{-6} E}{n_y} \left[ \frac{100(s_1 - c)}{K, R} \right]^2 = 9.907 \text{ МПа}$ <p>где: коэффициент</p> $Kэ = 0.8718$	
2	Изм.	б / н	Редикульцев	06.18		
Изм.	Лист	№ док.	Подпись	Дата		
					<b>20/30КУ-3N-2470.00.00.000 PP</b>	
					Лист 244	

Днище отвечает условиям прочности и устойчивости в соответствии с требованиями ГОСТ Р 52857.2-2007.

Инв. № подл.	Подп. и дата		Инв. №		Взам. инв.		Подп. и дата		
3	Изм.	б / н	Редикульцев	06.18	20/30КУ-3N-2470.00.00.000 PP				Лист
2	Изм.	б / н	Редикульцев	06.18					245
Изм.	Лист	№ док.	Подпись	Дата					

## 4.21. Штуцер люк-лаза МН DN450

Расчёт на прочность по ГОСТ Р 52857.3-2007

Расчёт выполнен с помощью пакета прикладных программ расчёта на прочность элементов сосудов, аппаратов и трубопроводов PVP Design (Свидетельство о государственной регистрации 2008614973)

Элемент: Укрепление отверстий в обечайках и днищах.

Наружное давление.

Отверстие в эллиптическом днище.

Расчёт укрепления одиночного отверстия.

Укрепление пропущенным (проходящим) штуцером.

Штуцер с осью нормальной к корпусу сосуда.

Только расчёт укрепления отверстия.

Режим: Расчет на вакуум.

### Исходные данные

Материал корпуса	20КА, Лист
Материал штуцера	20КА, Лист
Расчётная температура	$T$ 252 °C
Расчётное давление	$P$ 0.1 МПа
Внутренний диаметр обечайки, днища или конического перехода, в месте расположения отверстия	$D$ 1000 мм
Исполнительная толщина стенки обечайки, конического перехода или днища	$s$ 28 мм
Коэффициент прочности сварных соединений обечаек и днищ	$\varphi$ 1
Допускаемое напряжение для материала обечайки, перехода или днища при расчётной температуре	$[\sigma]$ 131 МПа
Допускаемое наружное давление в пределах упругости	$[p]_B$ 9.907 МПа
Внутренняя высота эллиптической части днища	$H$ 250 мм
Внутренний диаметр штуцера	$d$ 450 мм
Исполнительная толщина стенки штуцера	$s_1$ 30 мм
Исполнительная длина штуцера (для заведомо длинных штуцеров $l_1=0$ )	$l_1$ 200 мм
Допускаемое напряжение для материала штуцера	$[\sigma]_1$ 131 МПа
Коэффициент прочности продольного сварного шва штуцера	$\varphi_1$ 1
Длина пропущенной части штуцера	$l_3$ 112 мм
Исполнительная толщина стенки пропущенной части штуцера	$s_3$ 30 мм
Допускаемое напряжение для материала пропущенной части штуцера	$[\sigma]_B$ 131 МПа
Расстояние от наружной поверхности штуцера до ближайшего несущего конструктивного элемента (или $L_k=0$ )	$L_k$ 0 мм
Расстояние от центра укрепляемого отверстия до оси днища	$x$ 0 мм
Прибавка для компенсации коррозии и эрозии стенки корпуса	$c_1$ 3 мм
Прибавка для компенсации минусового допуска стенки корпуса	$c_2$ 0.9 мм
Прибавка технологическая стенки корпуса	$c_3$ 4.2 мм
Прибавка для компенсации коррозии и эрозии стенки штуцера	$c_{s1}$ 3 мм

Подп. и дата	Инов. №	Взам. инв.	Подп. и дата	Инов. № подл.	3	Изм.	б / н	Редикульцев	06.18	20/30КУ-3N-2470.00.00.000 PP	Лист
					2	Изм.	б / н	Редикульцев	06.18		246
					Изм.	Лист	№ док.	Подпись	Дата		



Допускаемое давление в пределах пластичности

$$[p]_н = \frac{2K_1(s-c)[\sigma]}{D_p + (s-c)V} V =$$

5.035 МПа

Допускаемое давление для узла врезки штуцера

$$[p] = \frac{[p]_н}{\sqrt{1 + \left(\frac{[p]_н}{[p]_в}\right)^2}} =$$

4.488 МПа

где

$$K_1 =$$

2

Узел врезки отвечает условиям прочности в соответствии с требованиями ГОСТ Р 52857.3-2007.

Инв. № подл.	Подп. и дата		Взам. инв.		Инв. №		Подп. и дата		
3	Изм.	б / н	Редикульцев	06.18	20/30КУ-3N-2470.00.00.000 PP				Лист
2	Изм.	б / н	Редикульцев	06.18					248
Изм.	Лист	№ док.	Подпись	Дата					



**Лист регистрации изменений**

Изм	Номера листов (страниц)				Всего листов (страниц) в документе	№ документа	Входящий № сопроводительного документа и дата	Подпись	Дата
	Измененных	Замененных	Новых	Аннулированных					

Инов. № подл.	Подп. и дата	Взам. инв.	Инв. №	Подп. и дата

3	Изм.	б / н	Редикульцев	06.18	20/30КУ-3N-2470.00.00.000 PP	Лист
2	Изм.	б / н	Редикульцев	06.18		249
Изм.	Лист	№ док.	Подпись	Дата		